



REGISTRE DES CANCERS DE LA REGION DU GRAND CASABLANCA.



Rapport d'Incidence
2013 - 2017



Registre des cancers de la région du Grand
Casablanca
Rapport d'incidence 2013-2017

Comité scientifique et Fondateur

| | |
|--------------|---|
| A.Benider : | Professeur de l'enseignement supérieur en Radiothérapie Oncologique |
| M.Harif : | Professeur de l'enseignement supérieur en Oncologie Pédiatrique |
| M.Karkouri : | Professeur de l'enseignement supérieur en Anatomie Pathologique |
| A.Quessar : | Professeur de l'enseignement supérieur en Hématologie Oncologique |
| S.Sahraoui : | Professeur de l'enseignement supérieur en Radiothérapie Oncologique |
| S.Sqalli : | Professeur de l'enseignement supérieur en Anatomie Pathologique |

Equipe du Registre

| | |
|--------------------------------|---|
| Directeur : | Pr. Benider Abdellatif Professeur de l'enseignement supérieur en Radiothérapie Oncologique Directeur du centre Mohammed VI pour le traitement des cancers, CHU IBN ROCHD, Casablanca. Membre du comité scientifique de la Fondation Lalla Salma Prévention et traitement des Cancers |
| Responsable du registre | Dr Karima Bendahhou Médecin épidémiologiste |

Comité de lecture

| | |
|--------------------------------|---|
| Dr R.Bekkali | Directeur de la Fondation Lalla Salma |
| Pr M.Bennani | Directrice adjointe de la Fondation Lalla Salma |
| Dr Y.Chami | Chef de projet, Fondation Lalla Salma |
| M^{me} S.Fatemi | Chef de projet, Fondation Lalla Salma |
| Dr L.Abouselham | Chef de Service de prévention et de contrôle du cancer, Ministère de la Santé |
| Pr Z.Serhier | Professeur de l'enseignement supérieur, Faculté de Médecine de Casablanca |

Production et édition

Fondation Lalla Salma-Prévention et traitement des Cancers

Analyse statistique et rédaction

Karima Bendahhou

Registre des cancers du Grand Casablanca

Remerciements

Nous présentons nos vifs remerciements à toutes les personnes et organismes qui ont contribué à la mise en place et au développement de ce registre en particulier :

- La Fondation Lalla Salma – Prévention et traitement des cancers
- Le Ministère de la Santé et de la protection sociale
- La Direction du Centre Hospitalier Universitaire IBN ROCHD
- La Direction Régionale de la Santé et de la protection sociale
- La Wilaya de la région Casablanca-Settat
- Le Conseil Communal de Casablanca
- L'Association Internationale des Registres « AIRC »
- Le Centre International de Recherche sur le Cancer « CIRC »
- Les responsables des établissements de santé publique au niveau du Grand Casablanca
- Les directeurs des cliniques privées à Casablanca
- Les laboratoires d'anatomopathologie privés de Casablanca
- Les responsables des bureaux communaux d'hygiène
- Les chefs des services du CHU IBN ROCHD
- Toutes les personnes ayant participé à la collecte des données

Avant-propos

Ce rapport d'incidence est le fruit d'un travail colossal réalisé par l'équipe du registre des cancers du Grand Casablanca selon des procédures standards définies par le centre international de recherche sur le cancer (CIRC). Les résultats de cette surveillance active ont permis de confirmer les chiffres retrouvés au cours des années précédentes tout en soulignant quelques variations dans le temps suivant les actions de sensibilisation et de lutte contre le cancer entreprises par le Ministère de la Santé et de la Protection Sociale et la Fondation Lalla Salma-Prévention et traitement des cancers.

Dans cette quatrième édition du rapport d'incidence, les données analysées portent sur une période de cinq années successives (de 2013 à 2017). Les incidences ont été présentées selon un regroupement anatomique des organes, suivi d'un détail pour chaque organe pour les deux sexes puis pour chaque sexe à part.

Le soutien financier et organisationnel de la Fondation Lalla Salma ainsi que la collaboration des différentes structures de santé des deux secteurs public et privé, permettent de pérenniser cette activité dans notre pays. La collaboration des chefs de services et des directeurs des hôpitaux et cliniques privées, ainsi que les anatomopathologistes des différents laboratoires de Casablanca, a joué un rôle important dans l'aboutissement à des chiffres sur l'ampleur du cancer dans la Région de Grand Casablanca.

Pr A.Benider
Pour le comité

Sommaire

| | |
|---|----|
| Comité scientifique et Fondateur..... | 2 |
| Equipe du Registre | 2 |
| Comité de lecture..... | 2 |
| Production et édition | 3 |
| Analyse statistique et rédaction..... | 3 |
| Remerciements | 3 |
| Avant-propos | 4 |
| Sommaire | 5 |
| Liste des tableaux | 7 |
| Liste des figures..... | 9 |
| Abréviations | 15 |
| Introduction | 16 |
| Objectif..... | 16 |
| Données démographiques de la région du Grand Casablanca..... | 17 |
| Matériel et méthodes | 19 |
| Sources des données..... | 19 |
| Nouveaux cas | 19 |
| Les données de la population de la zone couverte..... | 20 |
| Données de mortalité..... | 20 |
| Confidentialité..... | 20 |
| Analyse des données | 20 |
| Indicateurs utilisés..... | 21 |
| Toutes les localisations C00-C80.9 | 24 |
| Les cinq cancers les plus fréquents | 27 |
| La lèvre, la cavité buccale et le pharynx (C00-14)..... | 30 |
| la lèvre, la langue et la cavité buccale (C00-06)..... | 33 |
| Pharynx (Oropharynx C09-10, Nasopharynx C11, Hypopharynx C12-13 et Pharynx non spécifié C14)..... | 35 |
| Nasopharynx C11 (Cavum)..... | 36 |
| Organes digestifs C15-26 | 40 |
| Œsophage (C15)..... | 43 |
| Estomac (C16)..... | 45 |
| Intestin grêle (C17)..... | 47 |
| Colorectum (C18-20) | 49 |
| Colon(C18)..... | 52 |
| Rectum (C19-20)..... | 53 |
| Anus (C21) | 55 |
| Foie (C22) | 57 |
| Vésicule biliaire et voies biliaires extra-hépatiques (C23-24)..... | 59 |
| Pancréas (C25) | 61 |
| Système respiratoire et organes intra-thoraciques (C30-39, C45)..... | 64 |
| Larynx C32..... | 67 |
| Trachée, bronches et poumon C33-34..... | 69 |

| | |
|--|-----|
| Mésothéliome C45 | 71 |
| Os C40-41 | 74 |
| Peau C43-44 | 78 |
| Mélanomes C43..... | 81 |
| Peau (autres que le mélanome) C44 | 83 |
| Système nerveux autonome (SNA), nerfs périphériques (NP) et tissus mous C47, C49 | 86 |
| Organes féminins C50-58..... | 90 |
| Sein C50 | 92 |
| Col de l'utérus C53..... | 96 |
| Utérus C54-55 | 99 |
| Ovaire C56 | 102 |
| Les organes masculins C60-63..... | 106 |
| Prostate C61 | 108 |
| Les voies urinaires C64-68..... | 111 |
| Les voies urinaires C64-68..... | 112 |
| Rein C64..... | 115 |
| Vessie C67..... | 117 |
| Œil, cerveau et autres localisations du Système nerveux central C69-72 | 120 |
| Système nerveux central C70-72..... | 123 |
| Thyroïde et autres glandes endocrines C73-75 | 125 |
| Thyroïde et autres glandes endocrines C73-75 | 126 |
| Thyroïde C73..... | 130 |
| Hémopathies malignes (C81-85 ; C88 ; C91-96, MPD,MDS)..... | 134 |
| Maladie de Hodgkin C81 | 138 |
| Lymphomes malins non Hodgkiniens C82-85,C96 | 139 |
| Leucémies C91,C92-94, C95 | 141 |
| Leucémies lymphoïdes C91 | 143 |
| Leucémies Myéloïdes C92-94..... | 144 |
| Cancer de l'enfant et de l'adolescent (0-19 ans) | 148 |
| Hémopathies malignes (C81-85 ; C88 ; C91-96, MPD,MDS)..... | 152 |
| Œil, cerveau et autres localisations du système nerveux central C69-72..... | 154 |
| Os articulation et cartilage articulaire (C40-41)..... | 155 |
| Rein et voies urinaires (C64-68) | 157 |
| Glandes endocrines (C73-75)..... | 159 |
| Cancer de l'enfant (0 à 14 ans)..... | 162 |
| Conclusion..... | 178 |
| Annexe | 179 |
| Références | 180 |

Liste des tableaux

| | |
|--|-----|
| Tableau 1 : Nombre d'arrondissements, municipalités et communes de chaque préfecture de la Région du Grand Casablanca | 18 |
| Tableau 2 : Incidences du cancer, toutes localisations confondues, par sexe pour la période 2013-2017. RCGC | 26 |
| Tableau 3 : les localisations de cancer les plus fréquentes selon le sexe..... | 27 |
| Tableau 4 : Incidences des cinq cancers les plus fréquents par sexe pour la période 2013-2017. RCGC..... | 28 |
| Tableau 5 : Incidences du cancer de la lèvre, de la cavité buccale et du pharynx par sexe pour la période 2013-2017. RCGC..... | 30 |
| Tableau 6 : Incidence du cancer de la lèvre, de la langue et de la cavité buccale par sexe pour la période 2013-2017. RCGC..... | 33 |
| Tableau 7 : Incidences du cancer du pharynx par sexe pour la période 2013-2017. RCGC | 35 |
| Tableau 8 : Incidences du cancer du Nasopharynx par sexe pour la période 2013-2017. RCGC | 36 |
| Tableau 9 : Incidences des cancers digestifs par sexe pour la période 2013-2017. RCGC | 40 |
| Tableau 10 : Incidences du cancer de l'œsophage par sexe pour la période 2013-2017. RCGC | 43 |
| Tableau 11 : Incidences du cancer de l'estomac par sexe pour la période 2013-2017. RCGC | 45 |
| Tableau 12 : Incidences du cancer de l'intestin grêle par sexe pour la période 2013-2017. RCGC | 47 |
| Tableau 13 : Incidences du cancer colorectal par sexe pour la période 2013-2017. RCGC..... | 49 |
| Tableau 14 : Incidences du cancer du colon par sexe pour la période 2013-2017. RCGC | 52 |
| Tableau 15 : Incidences du cancer du rectum par sexe pour la période 2013-2017. RCGC | 53 |
| Tableau 16 : Incidences du cancer de l'anus par sexe pour la période 2013-2017. RCGC..... | 55 |
| Tableau 17 : Incidences du cancer du foie par sexe pour la période 2013-2017. RCGC | 57 |
| Tableau 18 : Incidences du cancer de la vésicule biliaire par sexe pour la période 2013-2017. RCGC | 59 |
| Tableau 19 : Incidences du cancer du pancréas par sexe pour la période 2013-2017. RCGC | 61 |
| Tableau 20 : Incidences des cancers du système respiratoire et les organes intra-thoraciques par sexe pour la période 2013-2017. RCGC..... | 64 |
| Tableau 21 : Incidences du cancer du larynx par sexe pour la période 2013-2017. RCGC | 67 |
| Tableau 22 : Incidences du cancer du poumon par sexe pour la période 2013-2017. RCGC | 69 |
| Tableau 23 : Incidences du mésothéliome par sexe pour la période 2013-2017. RCGC | 71 |
| Tableau 24 : Incidences du cancer de l'os et des articulations par sexe pour la période 2013-2017. RCGC..... | 74 |
| Tableau 25 : Incidences du cancer de la peau par sexe pour la période 2013-2017. RCGC | 78 |
| Tableau 26 : Incidences du Mélanome par sexe pour la période 2013-2017. RCGC..... | 81 |
| Tableau 27 : Incidences du cancer de la peau autre que le mélanome par sexe pour la période 2013-2017. RCGC | 83 |
| Tableau 28 : Incidences du cancer du système nerveux autonome, des nerfs périphériques et des tissus mous par sexe pour la période 2013-2017. RCGC | 86 |
| Tableau 29 : Incidence des cancers des organes féminins pour la période 2013-2017. RCGC..... | 90 |
| Tableau 30 : Incidences du cancer du sein par sexe pour la période 2013-2017. RCGC..... | 92 |
| Tableau 31 : Incidences du cancer du sein chez la population ciblée par le programme de la détection précoce (40 à 69 ans) durant la période 2013-2017. RCGC | 96 |
| Tableau 32 : Incidences du cancer du col de l'utérus pour la période 2013-2017. RCGC..... | 96 |
| Tableau 33 : Incidences du cancer du col de l'utérus chez la population ciblée par le programme de dépistage (30 à 49 ans) durant la période 2013-2017. RCGC | 99 |
| Tableau 34 : Incidences du cancer de l'utérus pour la période 2013-2017. RCGC | 99 |
| Tableau 35 : Incidences du cancer de l'ovaire pour la période 2013-2017. RCGC | 102 |
| Tableau 36 : Incidences des cancers des organes masculins pour la période 2013-2017. RCGC | 106 |
| Tableau 37 : Incidences du cancer de la prostate pour la période 2013-2017. RCGC | 108 |
| Tableau 38 : Incidences du cancer des voies urinaires pour la période 2013-2017. RCGC..... | 112 |
| Tableau 39 : Incidences du cancer du rein pour la période 2013-2017. RCGC | 115 |
| Tableau 40 : Incidences du cancer de la vessie pour la période 2013-2017. RCGC | 117 |

| | |
|--|-----|
| Tableau 41 : Incidences des cancers de l'œil, du cerveau et des autres localisations du Système nerveux central pour la période 2013-2017. RCGC | 120 |
| Tableau 42 : Incidences des cancers du Système nerveux central pour la période 2013-2017. RCGC..... | 123 |
| Tableau 43 : Incidences du cancer de la thyroïde et des autres glandes endocrines pour la période 2013-2017. RCGC..... | 126 |
| Tableau 44 : Incidences du cancer de la thyroïde pour la période 2013-2017. RCGC..... | 130 |
| Tableau 45 : Incidences des hémopathies malignes pour la période 2013-2017. RCGC..... | 134 |
| Tableau 46 : Incidences de la maladie de Hodgkin pour la période 2013-2017. RCGC..... | 138 |
| Tableau 47 : Incidences des lymphomes malins non hodgkiniens selon le sexe pour la période 2013-2017. RCGC | 139 |
| Tableau 48 : Incidences des leucémies selon le sexe pour la période 2013-2017. RCGC | 141 |
| Tableau 49 : Incidences des leucémies lymphoïdes selon le sexe pour la période 2013-2017. RCGC..... | 143 |
| Tableau 50 : Incidence des leucémies myéloïdes selon le sexe pour la période 2013-2017. RCGC | 144 |
| Tableau 51 : Incidences du cancer chez les enfants et les adolescents (0-19 ans) selon le sexe pour la période 2013-2017. RCGC | 150 |
| Tableau 52 : Incidences des hémopathies malignes chez les enfants et les adolescents (0-19 ans) selon le sexe pour la période 2013-2017. RCGC | 152 |
| Tableau 53 : Incidences des cancers de l'œil, du cerveau et des autres localisations du SNC chez les enfants et les adolescents (0-19 ans) selon le sexe pour la période 2013-2017. RCGC..... | 154 |
| Tableau 54 : Incidences des cancers de l'os et des articulations chez les enfants et adolescents (0-19 ans) selon le sexe pour la période 2013-2017. RCGC..... | 155 |
| Tableau 55 : Incidences des cancers du rein et des voies urinaires chez les enfants et adolescents (0-19 ans) selon le sexe pour la période 2013-2017. RCGC | 157 |
| Tableau 56 : Incidences des cancers des glandes endocrines chez les enfants et adolescents (0-19 ans) selon le sexe pour la période 2013-2017. RCGC | 159 |
| Tableau 57 : Présentation du nombre de cas incidents, de la fréquence et de l'incidence brute des cancers enregistrés chez l'enfant de 0-14 ans selon le sexe | 164 |
| Tableau 58 : Nombre de cas incidents, incidences brutes, incidences spécifiques, incidences cumulées et taux d'incidences standardisées selon la localisation du cancer chez les femmes pour la période 2013-2017.RCGC | 166 |
| Tableau 59 : Nombre de cas incidents, incidences brutes, incidences spécifiques, incidences cumulées et taux d'incidences standardisées selon la localisation du cancer chez les hommes pour la période 2013-2017.RCGC | 167 |
| Tableau 60 : Nombre de cas incidents, incidences brutes, incidences spécifiques, incidences cumulées et taux d'incidences standardisées selon la localisation du cancer chez les femmes en 2013.RCGC..... | 168 |
| Tableau 61 : Nombre de cas incidents, incidences brutes, incidences spécifiques, incidences cumulées et taux d'incidences standardisées selon la localisation du cancer chez les hommes en 2013.RCGC | 169 |
| Tableau 62 : Nombre de cas incidents, incidences brutes, incidences spécifiques, incidences cumulées et taux d'incidences standardisées selon la localisation du cancer chez les femmes en 2014.RCGC..... | 170 |
| Tableau 63 : nombre de cas incidents, incidences brutes, incidences spécifiques, incidences cumulées et taux d'incidences standardisées selon la localisation du cancer chez les hommes en 2014.RCGC | 171 |
| Tableau 64 : Nombre de cas incidents, incidences brutes, incidences spécifiques , incidences cumulées et taux d'incidences standardisées selon la localisation du cancer chez les femmes en 2015.RCGC..... | 172 |
| Tableau 65 : nombre de cas incidents, incidences brutes, incidences spécifiques, incidences cumulées et taux d'incidences standardisées selon la localisation du cancer chez les hommes en 2015.RCGC..... | 173 |
| Tableau 66 : Nombre de cas incidents, incidences brutes, incidences spécifiques , incidences cumulées et taux d'incidences standardisées selon la localisation du cancer chez les femmes en 2016.RCGC..... | 174 |
| Tableau 67 : Nombre de cas incidents, incidences brutes, incidences spécifiques , incidences cumulées et taux d'incidences standardisées selon la localisation du cancer chez les hommes en 2016.RCGC | 175 |
| Tableau 68 : Nombre de cas incidents, incidences brutes, incidences spécifiques , incidences cumulées et taux d'incidences standardisées selon la localisation du cancer chez les femmes en 2017.RCGC..... | 176 |
| Tableau 69 : Nombre de cas incidents, incidences brutes, incidences spécifiques , incidences cumulées et taux d'incidences standardisées selon la localisation du cancer chez les hommes en 2017.RCGC | 177 |
| Tableau 70 : population du Grand Casablanca pour la période 2013-2017 selon le sexe. | 179 |

Liste des figures

| | |
|---|----|
| Figure 1 : Préfectures et provinces de la région du Grand Casablanca | 17 |
| Figure 2 : Répartition en pourcentage des cas incidents de cancer chez les deux sexes selon la localisation pour la période 2013-2017.RCGC..... | 24 |
| Figure 3 : Répartition en pourcentage des cas incidents de cancer chez la femme selon la localisation pour la période 2013-2017.RCGC..... | 25 |
| Figure 4 : Répartition en pourcentage des cas incidents de cancer chez l'homme selon la localisation pour la période 2013-2017.RCGC..... | 25 |
| Figure 5 : Répartition des cas incidents de cancer, toutes localisations confondues selon l'âge pour la période 2013-2017. RCGC. | 26 |
| Figure 6 : Incidences spécifiques du cancer, toutes localisations confondues, selon le sexe pour la période 2013-2017. RCGC..... | 27 |
| Figure 7 : Répartition des cas incidents du cancer de la lèvre, de la cavité buccale et du pharynx selon l'âge pour la période 2013-2017. RCGC. | 31 |
| Figure 8 : Incidences spécifiques du cancer de la lèvre, de la cavité buccale et du pharynx, selon le sexe pour la période 2013-2017. RCGC..... | 31 |
| Figure 9 : Fréquences (%) des différentes localisations du cancer au sein du groupe C00-14 chez les hommes durant la période 2013-2017. RCGC..... | 32 |
| Figure 10 : Fréquences (%) des différentes localisations du cancer au sein du groupe C00-14 chez les femmes durant la période 2013-2017. RCGC..... | 32 |
| Figure 11 : Répartition des cas incidents du cancer de la lèvre, de la langue et de la cavité buccale selon l'âge pour la période 2013-2017. RCGC | 33 |
| Figure 12 : Incidences spécifiques du cancer de la lèvre, de la langue et de la cavité buccale, selon le sexe pour la période 2013-2017. RCGC..... | 34 |
| Figure 13 : Répartition des cas de cancer de la lèvre, de la langue et de la cavité buccale selon le type histologique pour la période 2013-2017. RCGC..... | 34 |
| Figure 14 : Répartition de cas incidents du Pharynx selon l'âge pour la période 2013-2017. RCGC..... | 35 |
| Figure 15 : Incidences spécifiques du cancer du pharynx selon le sexe pour la période 2013-2017. RCGC..... | 36 |
| Figure 16 : Répartition de cas incidents du Nasopharynx selon l'âge pour la période 2013-2017. RCGC..... | 37 |
| Figure 17 : Incidences spécifiques du cancer du Nasopharynx selon le sexe pour la période 2013-2017. RCGC | 37 |
| Figure 18 : Répartition des cas selon le type histologique du cancer du nasopharynx, pour la période 2013-2017.RCGC..... | 38 |
| Figure 19 : Répartition des cas selon le stade au moment du diagnostic du cancer du nasopharynx, pour la période 2013-2017.RCGC..... | 38 |
| Figure 20 : Répartition de cas incidents des cancers digestifs selon l'âge pour la période 2013-2017. RCGC ... | 41 |
| Figure 21 : Incidences spécifiques des cancers digestifs selon le sexe pour la période 2013-2017. RCGC | 41 |
| Figure 22 : Fréquences (%) des différentes localisations du cancer au sein du groupe C15-26 chez les hommes durant la période 2013-2017. RCGC..... | 42 |
| Figure 23 : Fréquences (%) des différentes localisations du cancer au sein du groupe C15-26 chez les femmes durant la période 2013-2017. RCGC..... | 42 |
| Figure 24 : Répartition de cas incidents du cancer de l'œsophage selon l'âge pour la période 2013-2017. RCGC | 43 |
| Figure 25 : Incidences spécifiques du cancer de l'œsophage selon le sexe pour la période 2013-2017. RCGC.. | 44 |
| Figure 26 : Répartition des cas de cancer de l'œsophage selon le type histologique, pour la période 2013-2017.RCGC..... | 44 |
| Figure 27 : Répartition de cas incidents du cancer de l'estomac selon l'âge pour la période 2013-2017. RCGC | 45 |
| Figure 28 : Incidences spécifiques du cancer de l'estomac selon le sexe pour la période 2013-2017. RCGC | 46 |

| | |
|---|----|
| Figure 29 : Répartition des cas du cancer de l'estomac selon le type histologique, pour la période 2013-2017.RCGC..... | 46 |
| Figure 30 : Répartition des cas du cancer de l'estomac, selon le stade au moment du diagnostic, pour la période 2013-2017.RCGC | 47 |
| Figure 31 : Répartition de cas incidents du cancer de l'intestin grêle selon l'âge pour la période 2013-2017. RCGC..... | 48 |
| Figure 32 : Incidences spécifiques du cancer de l'intestin grêle selon le sexe pour la période 2013-2017. RCGC | 48 |
| Figure 33 : Répartition des cas de cancer de l'intestin grêle selon le type histologique, pour la période 2013-2017.RCGC..... | 49 |
| Figure 34 : Répartition des cas incidents du cancer colorectal selon l'âge pour la période 2013-2017. RCGC ... | 50 |
| Figure 35 : Incidences spécifiques du cancer colorectal selon le sexe pour la période 2013-2017. RCGC | 50 |
| Figure 36 : Répartition des cas du cancer colorectal selon le type histologique, pour la période 2013-2017.RCGC | 51 |
| Figure 37 : Répartition des cas du cancer colorectal, selon le stade au moment du diagnostic, pour la période 2013-2017.RCGC | 51 |
| Figure 38 : Répartition de cas incidents du cancer du colon selon l'âge pour la période 2013-2017. RCGC..... | 52 |
| Figure 39 : Incidences spécifiques du cancer du colon selon le sexe pour la période 2013-2017. RCGC | 53 |
| Figure 40 : Répartition des cas incidents du cancer du rectum selon l'âge pour la période 2013-2017. RCGC ... | 54 |
| Figure 41 : Incidences spécifiques du cancer du rectum selon le sexe pour la période 2013-2017. RCGC..... | 54 |
| Figure 42 : Répartition des cas incidents du cancer de l'anus selon l'âge pour la période 2013-2017. RCGC ... | 55 |
| Figure 43 : Incidences spécifiques du cancer de l'anus selon le sexe pour la période 2013-2017. RCGC | 56 |
| Figure 44 : Répartition des cas du cancer de l'anus selon le type histologique, pour la période 2013-2017.RCGC | 56 |
| Figure 45 : Répartition de cas incidents du cancer du foie selon l'âge pour la période 2013-2017. RCGC | 57 |
| Figure 46 : Incidences spécifiques du cancer du foie selon le sexe pour la période 2013-2017. RCGC..... | 58 |
| Figure 47 : Répartition des cas du cancer du foie selon le type histologique, pour la période 2013-2017.RCGC | 58 |
| Figure 48 : Répartition des cas incidents du cancer de la vésicule biliaire selon l'âge pour la période 2013-2017. RCGC..... | 59 |
| Figure 49 : Incidences spécifiques du cancer de la vésicule biliaire selon le sexe pour la période 2013-2017. RCGC..... | 60 |
| Figure 50 : Répartition des cas du cancer de la vésicule biliaire selon le type histologique, pour la période 2013-2017.RCGC..... | 60 |
| Figure 51 : Répartition du nombre de cas de cancer du pancréas en fonction des classes d'âge et du sexe pour la période 2013-2017.RCGC..... | 61 |
| Figure 52 : Incidences spécifiques du cancer du pancréas selon le sexe pour la période 2013-2017. RCGC..... | 62 |
| Figure 53 : Répartition des cas de cancer du pancréas selon le type histologique, pour la période 2013-2017.RCGC..... | 62 |
| Figure 54 : Répartition du nombre de cas des cancers du système respiratoires et des organes intra-thoraciques en fonction des classes d'âge et du sexe pour la période 2013-2017.RCGC..... | 65 |
| Figure 55 : Incidences spécifiques des cancers du système respiratoires et des organes intra-thoraciques selon le sexe pour la période 2013-2017. RCGC | 65 |
| Figure 56 : Fréquences (%) des différentes localisations du cancer au sein du groupe C30-39 et C45 chez les hommes durant la période 2013-2017. RCGC | 66 |
| Figure 57 : Fréquences (%) des différentes localisations du cancer au sein du groupe C30-39 et C45 chez les femmes durant la période 2013-2017. RCGC | 66 |
| Figure 58 : Répartition du nombre de cas des cancers du larynx en fonction des classes d'âge et du sexe pour la période 2013-2017.RCGC..... | 67 |
| Figure 59 : Incidences spécifiques des cancers du larynx selon le sexe pour la période 2013-2017. RCGC..... | 68 |
| Figure 60 : Répartition des cas de cancer du Larynx selon le type histologique de la tumeur, pour la période 2013-2017. RCGC | 68 |
| Figure 61 : Répartition du nombre de cas des cancers du poumon en fonction des classes d'âge et du sexe pour la période 2013-2017.RCGC..... | 69 |

| | |
|---|----|
| Figure 62 : Incidences spécifiques du cancer pulmonaire selon le sexe pour la période 2013-2017. RCGC..... | 70 |
| Figure 63 : Répartition des cas de cancer du poumon selon le type histologique de la tumeur, pour la période 2013-2017. RCGC | 70 |
| Figure 64 : Répartition des cas de cancer du poumon selon le stade au moment du diagnostic, pour la période 2013-2017.RCGC | 71 |
| Figure 65 : Répartition du nombre de cas de mésothéliome en fonction des classes d'âge et du sexe pour la période 2013-2017.RCGC..... | 72 |
| Figure 66 : Incidences spécifiques du mésothéliome selon le sexe pour la période 2013-2017. RCGC..... | 72 |
| Figure 67 : Répartition du nombre de cas du cancer de l'os et des articulations en fonction des classes d'âge et du sexe pour la période 2013-2017.RCGC | 74 |
| Figure 68 : Incidences spécifiques des cancers de l'os et des articulations selon le sexe pour la période 2013-2017. RCGC..... | 75 |
| Figure 69 : Répartition des cas de l'os et des articulations selon le type histologique de la tumeur, pour la période 2013-2017. RCGC | 76 |
| Figure 70 : Répartition du nombre de cas du cancer de la peau en fonction des classes d'âge et du sexe pour la période 2013-2017.RCGC..... | 79 |
| Figure 71 : Incidences spécifiques des cancers de la peau selon le sexe pour la période 2013-2017. RCGC..... | 79 |
| Figure 72 : Répartition des cas de cancer de la peau selon le type histologique de la tumeur, pour la période 2013-2017. RCGC | 80 |
| Figure 73 : Fréquences (%) des différentes localisations du cancer au sein du groupe C43-44 chez les hommes durant la période 2013-2017. RCGC..... | 80 |
| Figure 74 : Fréquences (%) des différentes localisations du cancer au sein du groupe C43-44 chez les femmes durant la période 2013-2017. RCGC..... | 81 |
| Figure 75 : Répartition du nombre de cas du Mélanome en fonction des classes d'âge et du sexe pour la période 2013-2017.RCGC | 82 |
| Figure 76 : Incidences spécifiques du Mélanome selon le sexe pour la période 2013-2017. RCGC | 82 |
| Figure 77 : Répartition du nombre de cas du cancer de la peau à l'exception du mélanome en fonction des classes d'âge et du sexe pour la période 2013-2017.RCGC..... | 83 |
| Figure 78 : Incidences spécifiques du cancer de la peau à l'exception du mélanome selon le sexe pour la période 2013-2017. RCGC | 84 |
| Figure 79 : Répartition du nombre de cas des cancers du système nerveux autonomes, des nerfs périphériques et des tissus mous en fonction des classes d'âge et du sexe pour la période 2013-2017. RCGC..... | 86 |
| Figure 80 : Incidences spécifiques des cancers du système nerveux autonomes, des nerfs périphériques et des tissus mous selon le sexe pour la période 2013-2017. RCGC..... | 87 |
| Figure 81 : Répartition des cas des cancers du système nerveux autonomes, des nerfs périphériques et des tissus mous selon le type histologique de la tumeur, pour la période 2013-2017. RCGC | 88 |
| Figure 82 : Répartition du nombre de cas des cancers des organes féminins en fonction des classes d'âge pour la période 2013-2017. RCGC..... | 91 |
| Figure 83 : Incidences spécifiques des cancers des organes féminins pour la période 2013-2017. RCGC..... | 91 |
| Figure 84 : Fréquences (%) des différentes localisations du cancer au sein du groupe C50-58 chez les femmes durant la période 2013-2017. RCGC..... | 92 |
| Figure 85 : Répartition du nombre de nouveaux cas du cancer du sein en fonction des classes d'âge et du sexe pour la période 2013-2017. RCGC | 93 |
| Figure 86 : Incidences spécifiques du cancer du sein selon le sexe pour la période 2013-2017. RCGC | 93 |
| Figure 87 : Répartition des cas des cancers du sein selon le type histologique de la tumeur, pour la période 2013-2017. RCGC..... | 94 |
| Figure 88 : Répartition des cas de cancer du sein selon le stade au moment du diagnostic, pour la période 2013-2017.RCGC..... | 95 |
| Figure 89 : Répartition du nombre de nouveaux cas de cancer du col de l'utérus en fonction des classes d'âge pour la période 2013-2017. RCGC | 97 |
| Figure 90 : Incidences spécifiques du cancer du col de l'utérus pour la période 2013-2017. RCGC | 97 |
| Figure 91 : Répartition des cas des cancers du col de l'utérus selon le type histologique de la tumeur, pour la période 2013-2017. RCGC..... | 98 |

| | |
|---|-----|
| Figure 92 : Répartitions des cas du cancer du col de l'utérus selon le stade au moment du diagnostic, pour la période 2013-2017. RCGC..... | 98 |
| Figure 93 : Répartition du nombre de nouveaux cas de cancer de l'utérus en fonction des classes d'âge pour la période 2013-2017. RCGC..... | 100 |
| Figure 94 : Incidences spécifiques du cancer de l'utérus pour la période 2013-2017. RCGC..... | 100 |
| Figure 95 : Répartition des cas du cancer de l'utérus selon le type histologique de la tumeur, pour la période 2013-2017. RCGC..... | 101 |
| Figure 96 : Répartitions des cas de cancer de l'utérus selon le stade au moment du diagnostic, pour la période 2013-2017. RCGC..... | 101 |
| Figure 97 : Répartition du nombre de nouveaux cas de cancer de l'ovaire en fonction des classes d'âge pour la période 2013-2017. RCGC..... | 102 |
| Figure 98 : Incidences spécifiques du cancer de l'ovaire pour la période 2013-2017. RCGC..... | 103 |
| Figure 99 : Répartition des cas de cancer de l'ovaire selon le type histologique de la tumeur, pour la période 2013-2017. RCGC..... | 104 |
| Figure 100 : Répartition du nombre de cas des cancers des organes masculins en fonction des classes d'âge pour la période 2013-2017. RCGC..... | 107 |
| Figure 101 : Incidences spécifiques des cancers des organes masculins pour la période 2013-2017. RCGC..... | 107 |
| Figure 102 : Fréquences (%) des différentes localisations du cancer au sein du groupe C60-63 chez les hommes durant la période 2013-2017. RCGC..... | 108 |
| Figure 103 : Répartition du nombre de cas du cancer de la prostate en fonction des classes d'âge pour la période 2013-2017. RCGC..... | 109 |
| Figure 104 : Incidences spécifiques du cancer de la prostate pour la période 2013-2017. RCGC..... | 109 |
| Figure 105 : Répartition des cas du cancer de la prostate selon le type histologique de la tumeur, pour la période 2013-2017. RCGC..... | 110 |
| Figure 106 : Répartition des cas de cancer de la prostate selon le stade au moment du diagnostic, pour la période 2013-2017. RCGC..... | 110 |
| Figure 107 : Répartition du nombre de cas des cancers des voies urinaires en fonction du sexe et des classes d'âge pour la période 2013-2017. RCGC..... | 113 |
| Figure 108 : Incidences spécifiques des cancers des voies urinaires selon le sexe pour la période 2013-2017. RCGC..... | 113 |
| Figure 109 : Fréquences (%) des différentes localisations du cancer au sein du groupe C64-68 chez les hommes durant la période 2013-2017. RCGC..... | 114 |
| Figure 110 : Fréquences (%) des différentes localisations du cancer au sein du groupe C64-68 chez les femmes durant la période 2013-2017. RCGC..... | 114 |
| Figure 111 : Répartition du nombre de cas de cancer du rein en fonction du sexe et des classes d'âge pour la période 2013-2017. RCGC..... | 115 |
| Figure 112 : Incidences spécifiques du cancer du rein selon le sexe pour la période 2013-2017. RCGC..... | 116 |
| Figure 113 : Répartition des cas de cancer du rein selon le type histologique de la tumeur, pour la période 2013-2017. RCGC..... | 116 |
| Figure 114 : Répartition du nombre de cas de cancer de la vessie en fonction du sexe et des classes d'âge pour la période 2013-2017. RCGC..... | 117 |
| Figure 115 : Incidences spécifiques du cancer de la vessie selon le sexe pour la période 2013-2017. RCGC..... | 118 |
| Figure 116 : Répartition des cas de cancer de la vessie selon le type histologique de la tumeur, pour la période 2013-2017. RCGC..... | 118 |
| Figure 117 : Répartition du nombre de cas des cancers de l'œil, du cerveau et des autres localisations du Système nerveux central en fonction du sexe et des classes d'âge pour la période 2013-2017. RCGC..... | 121 |
| Figure 118 : Incidences spécifiques des cancers de l'œil, du cerveau et des autres localisations du Système nerveux central selon le sexe pour la période 2013-2017. RCGC..... | 121 |
| Figure 119 : Fréquences (%) des différentes localisations du cancer au sein du groupe C69-72 chez les hommes durant la période 2013-2017. RCGC..... | 122 |
| Figure 120 : Fréquences (%) des différentes localisations du cancer au sein du groupe C69-72 chez les femmes durant la période 2013-2017. RCGC..... | 122 |

| | |
|--|-----|
| Figure 121 : Répartition du nombre de cas de cancer du Système nerveux central en fonction du sexe et des classes d'âge pour la période 2013-2017. RCGC..... | 123 |
| Figure 122 : Incidences spécifiques du cancer du Système nerveux central selon le sexe pour la période 2013-2017. RCGC..... | 124 |
| Figure 123 : Répartition des cas de cancer du Système nerveux central selon le type histologique de la tumeur, pour la période 2013-2017. RCGC | 124 |
| Figure 124 : Répartition du nombre de cas du cancer de la thyroïde et des autres glandes endocrines en fonction du sexe et des classes d'âge pour la période 2013-2017. RCGC | 127 |
| Figure 125 : Incidences spécifiques du cancer de la thyroïde et des autres glandes endocrines selon le sexe pour la période 2013-2017. RCGC..... | 128 |
| Figure 126 : Fréquences (%) des différentes localisations du cancer au sein du groupe C73-75 chez les hommes durant la période 2013-2017. RCGC..... | 129 |
| Figure 127 : Fréquences (%) des différentes localisations du cancer au sein du groupe C73-75 chez les femmes durant la période 2013-2017. RCGC..... | 129 |
| Figure 128 : Répartition du nombre de cas du cancer de la thyroïde en fonction du sexe et des classes d'âge pour la période 2013-2017. RCGC..... | 130 |
| Figure 129 : Incidences spécifiques du cancer de la thyroïde selon le sexe pour la période 2013-2017. RCGC | 131 |
| Figure 130 : Répartition des cas du cancer de la thyroïde selon le type histologique de la tumeur, pour la période 2013-2017. RCGC | 131 |
| Figure 131 : Répartition des cas de cancer de la thyroïde selon le stade au moment du diagnostic, pour la période 2013-2017. RCGC | 132 |
| Figure 132 : Répartition du nombre de cas d'hémopathies malignes en fonction du sexe et des classes d'âge pour la période 2013-2017. RCGC..... | 135 |
| Figure 133 : Incidences spécifiques des hémopathies malignes selon le sexe pour la période 2013-2017. RCGC | 136 |
| Figure 134 : Fréquences (%) des différents types d'hémopathies malignes au sein du groupe d'hémopathies chez les hommes durant la période 2013-2017. RCGC..... | 137 |
| Figure 135 : Fréquences (%) des différents types d'hémopathies malignes au sein du groupe d'hémopathies chez les femmes durant la période 2013-2017. RCGC..... | 137 |
| Figure 136 : Répartition du nombre de cas de la maladie de Hodgkin en fonction du sexe et des classes d'âge pour la période 2013-2017. RCGC | 138 |
| Figure 137 : Incidences spécifiques de la maladie de Hodgkin selon le sexe pour la période 2013-2017. RCGC | 139 |
| Figure 138 : Répartition du nombre de cas de lymphomes malin non hodgkiniens en fonction du sexe et des classes d'âge pour la période 2013-2017. RCGC..... | 140 |
| Figure 139 : Incidences spécifiques des lymphomes malin non hodgkiniens selon le sexe pour la période 2013-2017. RCGC..... | 141 |
| Figure 140 : Répartition du nombre de cas des leucémies en fonction du sexe et des classes d'âge pour la période 2013-2017. RCGC..... | 142 |
| Figure 141 : Incidences spécifiques des leucémies selon le sexe pour la période 2013-2017. RCGC..... | 142 |
| Figure 142 : Répartition du nombre de cas des leucémies lymphoïdes en fonction du sexe et des classes d'âge pour la période 2013-2017. RCGC | 143 |
| Figure 143 : Incidences spécifiques des leucémies lymphoïdes selon le sexe pour la période 2013-2017. RCGC | 144 |
| Figure 144 : Répartition du nombre de cas des leucémies myéloïdes en fonction du sexe et des classes d'âge pour la période 2013-2017. RCGC | 145 |
| Figure 145 : Incidences spécifiques des leucémies lymphoïdes selon le sexe pour la période 2013-2017. RCGC | 146 |
| Figure 146 : Représentation des fréquences (%) des localisations des cancers chez l'enfant et l'adolescent (0-19 ans) enregistrées durant la période 2013-2017 chez les deux sexes. RCGC | 148 |
| Figure 147 : Représentation des fréquences (%) des localisations cancéreuses chez l'enfant et l'adolescent (0-19 ans) de sexe féminin enregistrées durant la période 2013-2017. RCGC | 149 |

| | |
|--|-----|
| Figure 148 : Représentation des fréquences (%) des localisations cancéreuses chez l'enfant et l'adolescent (0-19 ans) de sexe masculin enregistrées durant la période 2013-2017. RCGC..... | 150 |
| Figure 149 : Répartition des cas de cancers de l'enfant et de l'adolescent (0-19 ans) en fonction des classes d'âge et du sexe durant la période 2013-2017.RCGC..... | 151 |
| Figure 150 : Incidences spécifiques des cancers de l'enfant et de l'adolescent (0-19 ans) selon le sexe durant la période 2013-2019.RCGC..... | 151 |
| Figure 151 : Répartition des hémopathies malignes chez l'enfant et l'adolescent (0-19 ans) selon le type durant la période 2013-2017.RCGC..... | 152 |
| Figure 152 : Répartition des cas d'hémopathies malignes chez l'enfant et l'adolescent (0-19 ans) en fonction des classes d'âge et du sexe durant la période 2013-2017.RCGC..... | 153 |
| Figure 153 : Incidences spécifiques des hémopathies malignes chez l'enfant et l'adolescent (0-19 ans) selon le sexe durant la période 2013-2019.RCGC..... | 153 |
| Figure 154 : Répartition des cancers de l'œil, du cerveau et des autres localisations du SNC chez l'enfant et l'adolescent (0-19 ans) en fonction des classes d'âge et du sexe durant la période 2013-2017.RCGC..... | 154 |
| Figure 155 : Incidences spécifiques des cancers du l'œil, du cerveau et des autres localisations du SNC chez l'enfant et l'adolescent (0-19 ans) selon le sexe durant la période 2013-2019.RCGC..... | 155 |
| Figure 156 : Répartition des cas de cancers de l'os et des articulations chez l'enfant et l'adolescent (0-19 ans) en fonction des classes d'âge et du sexe durant la période 2013-2017.RCGC..... | 156 |
| Figure 157 : Incidences spécifiques des cancers de l'os et des articulations chez l'enfant et l'adolescent..... | 156 |
| Figure 158 : Répartition des cas de cancers du rein et des voies urinaires chez l'enfant et l'adolescent (0-19 ans) en fonction des classes d'âge et du sexe durant la période 2013-2017.RCGC..... | 157 |
| Figure 159 : Incidences spécifiques du cancer du rein et des voies urinaires chez l'enfant et l'adolescent..... | 158 |
| Figure 160 : Répartition des cas de cancers des glandes endocrines chez l'enfant et l'adolescent (0-19 ans) en fonction des classes d'âge et du sexe durant la période 2013-2017.RCGC..... | 159 |
| Figure 161 : Incidences spécifiques des cancers des glandes endocrines chez l'enfant et de l'adolescent..... | 160 |
| Figure 162 : Représentation des fréquences (%) des localisations des cancers chez l'enfant de 0 à 14 ans enregistrées durant la période 2013-2017 chez les deux sexes. RCGC..... | 162 |
| Figure 163 : Représentation des fréquences (%) des localisations cancéreuses chez l'enfant de 0 à 14 ans de sexe féminin enregistrées durant la période 2013-2017. RCGC..... | 163 |
| Figure 164 : Représentation des fréquences (%) des localisations cancéreuses chez l'enfant de 0 à 14 ans de sexe masculin enregistrées durant la période 2013-2017. RCGC..... | 163 |

Abréviations

| | |
|--------------|---|
| CIM 10 | Classification internationale des maladies version 10 |
| CIM-O-3 | Classification internationale des maladies en oncologie version 3 |
| CUM 0-64 ans | Incidence cumulée 0-64 ans |
| CUM 0-74 ans | Incidence cumulée 0-74 ans |
| HM | Hémopathies malignes |
| LNH | Lymphome malin non Hodgkinien |
| Log | Echelle logarithmique |
| MDS | Syndrome myélodysplasique |
| MPD | Syndrome myélo-prolifératif |
| NP | Nerfs périphériques |
| NS | Non spécifié |
| RCGC | Registre des cancers du Grand Casablanca |
| SAI | Sans autres indications |
| SNA | Système nerveux autonome |
| SNC | Système nerveux central |
| TIB | Taux d'incidence brute |
| TIS | Taux d'incidence standardisée sur la population mondiale |

Introduction

Le Registre des Cancers du Grand Casablanca est un registre jeune, il a été mis en place en 2004 grâce à l'initiative d'un nombre d'enseignants chercheurs de la faculté de médecine et de pharmacie de Casablanca et depuis 2005 il est soutenu par la Fondation Lalla Salma (FLSC). Sa mission se résume en une surveillance épidémiologique active des cancers au niveau de la zone couverte, qui lui a été attribuée par le Ministère de la Santé. En 2018, il a été nommé centre collaborateur du centre international de recherche sur le cancer au niveau de l'Afrique contribuant à la formation en matière d'enregistrement des cancers pour les différents registres au niveau de la région. Il est également membre du Hub des registres de la région EMRO.

Le soutien scientifique, logistique et financier de la FLSC au registre a renforcé et a consolidé la surveillance des cancers par la publication de trois rapports d'incidence couvrant respectivement l'année 2004, la période 2005-2007 puis la période 2008-2012. Conformément au Plan National de Prévention et de Contrôle du cancer 2020-2029, les missions du registre apparaissent essentielles pour approfondir les connaissances et fournir des données utiles aux décisions en santé publique aussi bien à l'échelle nationale que régionale.

Le Registre des Cancers du Grand Casablanca répond à la définition d'un registre de population, il effectue un recueil continu et exhaustif de données nominatives sur les nouveaux cas de cancer résidents au sein de la région du Grand Casablanca, à des fins de recherche en santé publique, tout en suivant les standards du Centre International de Recherche sur le Cancer (CIRC). En tant que dispositif de surveillance, il contribue à la constitution de la base de données nationale sur le cancer.

Objectif

L'objectif de ce rapport est de dresser une description des cancers dans la région du Grand Casablanca en termes d'incidences sur la période 2013-2017.

Données démographiques de la région du Grand Casablanca

La Région du Grand Casablanca s'étend sur une superficie de 1 140,54 km², elle a connu plusieurs découpages administratifs au cours des années. Selon le découpage de 2003, celui utilisé pour définir la zone couverte par le registre pour les années étudiées dans ce rapport 2013-2017, la Région du Grand Casablanca se compose de la préfecture de Casablanca et de Mohammedia et la Province de Médiouna et Nouaceur (1). (Figure 1)



Figure 1 : Préfectures et provinces de la région du Grand Casablanca

La préfecture de Casablanca englobe 8 préfectures d'arrondissements et une municipalité :

- Préfecture d'arrondissement d'Ain Chock
- Préfecture d'arrondissement de Hay Hassani
- Préfecture des arrondissements de Casablanca Anfa
- Préfecture des arrondissements d'Al Fida Mers Sultan
- Préfecture des arrondissements de Ben M'Sick
- Municipalité de Mechouar de Casablanca
- Préfecture des arrondissements de Moulay Rachid
- Préfecture des arrondissements de Sidi Bernoussi
- Préfecture des arrondissements d'Ain Sebaa–Hay Mohammadi

Ces préfectures et provinces sont découpées en : 16 Arrondissements ; 6 Municipalités et 10 Communes Rurales. (Tableau 1)

Tableau 1 : Nombre d'arrondissements, municipalités et communes de chaque préfecture de la Région du Grand Casablanca

| Préfecture ou province | Arrondissements | Municipalités | Communes rurales |
|--|-----------------|---------------|------------------|
| Préfecture d'arrondissement d'Ain Chock | 1 | - | - |
| Préfecture d'arrondissement de Hay Hassani | 1 | - | - |
| Préfecture des arrondissements de Casablanca Anfa | 3 | | |
| Préfecture des arrondissements d'Al Fida Mers Sultan | 2 | | |
| Préfecture des arrondissements de Ben M'Sick | 2 | | |
| Municipalité de Mechouar de Casablanca | - | 1 | - |
| Préfecture des arrondissements de Moulay Rachid | 2 | - | - |
| Préfecture des arrondissements de Sidi Bernoussi | 2 | - | |
| Préfecture des arrondissements d'Ain Sebaa-Hay Mohammadi | 3 | | |
| La préfecture de Mohammedia | - | 2 | 4 |
| La Province de Médiouna | - | 2 | 3 |
| La Province de Nouaceur | - | 1 | 3 |

Matériel et méthodes

Sources des données

Nouveaux cas

Les données d'incidence présentées dans ce rapport ont été obtenues en se basant sur les données recueillies pour tous les nouveaux cas de cancers diagnostiqués parmi les résidents de la région du Grand Casablanca entre l'année 2013 et 2017.

L'inclusion des nouveaux cas de cancer dans la base de données du registre depuis sa mise en place se fait selon les critères suivants :

- Les critères d'inclusion
 - Toute tumeur maligne invasive, quel que soit son siège primitif, diagnostiquée depuis le 1er janvier 2004.
 - Chez un sujet de tout âge résidant dans la zone géographique concernée au moment du diagnostic.
- Les critères d'exclusion
 - Toute tumeur bénigne ou de malignité incertaine.
 - Toute récurrence tumorale.
- Dans ce rapport, sont analysés tous cas de cancers répondant aux critères d'inclusion ayant été diagnostiqués durant la période 2013 à 2017.

Les nouveaux cas sont recueillis à partir d'une multitude de sources. Ces sources incluent toutes les structures sanitaires pouvant accueillir les patients atteints de cancer à un moment donné de leurs parcours pour se faire diagnostiquer ou traiter. Ces différentes structures peuvent représenter un point de dépistage, de diagnostic, de prise en charge thérapeutique ou d'un accompagnement au cours des soins palliatifs.

Ces sources de cas sont représentées par les hôpitaux publics, les centres d'oncologie, les cliniques privées et les laboratoires d'anatomie pathologique publics et privés. Les bureaux communaux d'hygiène sont aussi considérés comme une source de cas à travers l'enregistrement et les notifications des décès par cancer.

Les données de la population de la zone couverte

Les données de la population de la Région du Grand Casablanca pour les années 2013-2017 ont été estimées en se basant sur les deux recensements Généraux de la population et de l'habitat 2004 et 2014 publiés par le Haut-Commissariat au Plan (HCP) (1). La population estimée pour les années considérées dans ce rapport est présentée en annexe.

Données de mortalité

Les données de mortalité ont été recueillies à partir des registres de mortalité des différents arrondissements du Grand Casablanca. Les décès par cancer ont été définis en se basant sur la variable « cause de décès » qui est documentée dans le certificat de décès délivré par les médecins responsables de chaque bureau communal d'hygiène dans chaque arrondissement desservi par le registre.

Confidentialité

Tous les membres de l'équipe du registre respectent les règles d'éthiques en vigueur, notamment celles relatives au respect du secret professionnel. Par ailleurs, le responsable du registre effectue de manière régulière une sensibilisation de tout le personnel du registre, à la confidentialité des données recueillies et traitées.

Analyse des données

Dans ce rapport, une première analyse globale a été réalisée incluant tous les types de cancers, ensuite l'analyse par groupe de localisation de cancer intéressant un ensemble d'organes ou de localisations très proches du point de vue anatomique ou fonctionnel. Puis dans chaque groupe les localisations les plus fréquentes ont été analysées individuellement.

L'incidence a été calculée en tenant compte de toutes les tumeurs primitives invasives selon les recommandations du Centre International de Recherche sur le Cancer (CIRC).

Taux brut d'Incidence

Le taux brut (Tb) d'incidence est défini comme le nombre de nouveaux cas de cancer dans une population définie (dans notre contexte, il s'agit de la population de la Région du Grand Casablanca) sur une période de temps donnée (dans ce rapport il s'agit de la période qui s'étale entre 2013 et 2017).

Taux d'Incidence Standardisée sur l'âge

Afin de pouvoir comparer les taux d'incidence calculés pour notre population avec ceux d'autres populations qui peuvent être différentes de la nôtre, nous avons procédé à la standardisation pour éliminer l'effet lié à l'âge. Ainsi la structure d'âge d'une population «standard» est utilisée (2). Les pourcentages relatifs à chaque classe d'âge de cette population «standard» sont multipliés aux taux bruts correspondants observés dans notre population. Un nombre de cas attendus pour 100 000 Personnes-Années est ainsi obtenu dans chaque classe d'âge. Le taux standardisé correspond à la somme du nombre de cas attendus dans chaque classe d'âge. Dans ce rapport la standardisation a été faite sur la population Mondiale et la population Marocaine. Les données d'incidence ont été calculées selon le sexe et selon les différentes classes d'âge. Les strates d'âge utilisées ont été définies à partir des données démographiques qui étaient disponibles par tranches d'âge de 5 ans.

Incidence cumulée :

Le taux cumulé est la somme, pour chaque année d'âge, des taux d'incidence spécifiques, en prenant de la naissance à l'âge de 74 ans pour le taux 0-74 ou bien jusqu'à l'âge de 64 ans pour le taux 0-64 ans selon la formule (3) :

$$\text{Taux cumulé} = \sum_{i=1}^A a_i t_i$$

Sachant que A est le nombre de classes d'âge, a_i est le taux d'incidence spécifique à chaque tranche d'âge et t_i est l'amplitude de la $i^{\text{ème}}$ classe d'âge correspondante. Dans notre situation l'amplitude était fixé à 5 ans. Ce taux cumulé peut être considéré comme une approximation du risque cumulé.

Risque cumulé

Le risque cumulé est le risque pour un individu de développer le cancer étudié jusqu'à un certain âge (généralement 64 ans ou 74 ans), s'il n'y avait pas d'autres causes de décès. Dans ce rapport les risque cumulé 0-64 ans et 0-74 ans ont été calculés pour chaque localisation et selon le sexe selon la formule suivante (3):

$$\text{Risque cumulé} = 100 \times [1 - \exp(-\text{Taux cumulé} / 100)]$$

Description des types histologiques

Les types histologiques des cancers enregistrés ont été décrits sous forme de proportions des grandes familles des types histologiques rapportés par les anatomo-pathologistes selon les comptes rendus anatomopathologiques des tumeurs.

Stade au moment du diagnostic

Le degré d'extension de la tumeur au moment du diagnostic a été résumé sous forme de pourcentage de chaque catégorie du stade. Ainsi, le stade au moment du diagnostic ou la classification TNM lorsqu'ils étaient renseignés sur le dossier médical, étaient considérés ; par contre, lorsque cette information manquait dans le dossier du patient, le recueil d'information concernant l'existence de métastases ou d'atteinte ganglionnaire ainsi que la taille de la tumeur a été fait dans le but de stadifier ces tumeurs selon les « *flowscharts* » de la TNM essentielle surtout pour les cancers les plus fréquents à savoir les cancers du sein, du col de l'utérus, du colorectum et de la prostate.

Toutes les localisations C00 - C80,9

REGISTRE DES CANCERS

de la Région
du Grand Casablanca

Rapport d'Incidence
2013 - 2017

Toutes les localisations C00-C80.9

Durant la période allant de 2013 à 2017, un nombre total de 25143 nouveaux cas de cancer a été enregistré au niveau du Grand Casablanca. Les localisations les plus fréquentes étaient représentées, chez la femme, par le cancer du sein suivi du cancer de la thyroïde, le col de l'utérus et le cancer colorectal. Chez l'homme, le poumon était le chef de file suivi de la prostate puis le colorectal. Lorsqu'on considère les deux sexes, le cancer du sein occupait le premier rang suivi du poumon puis la prostate. (Figure 3, Figure 4, Figure 2)

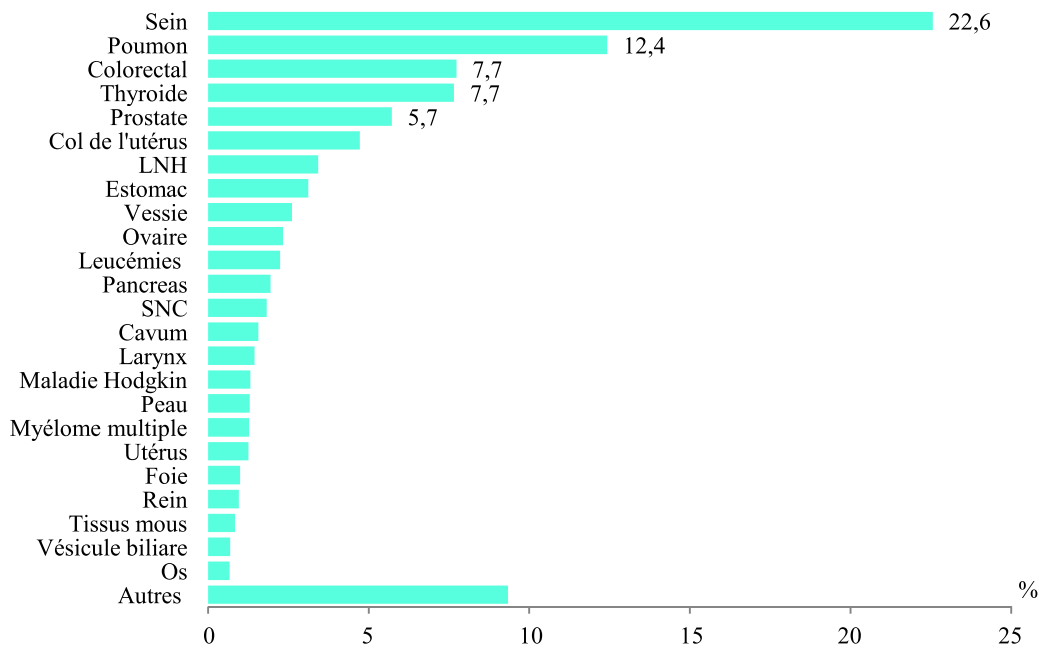


Figure 2 : Répartition en pourcentage des cas incidents de cancer chez les deux sexes selon la localisation pour la période 2013-2017.RCGC

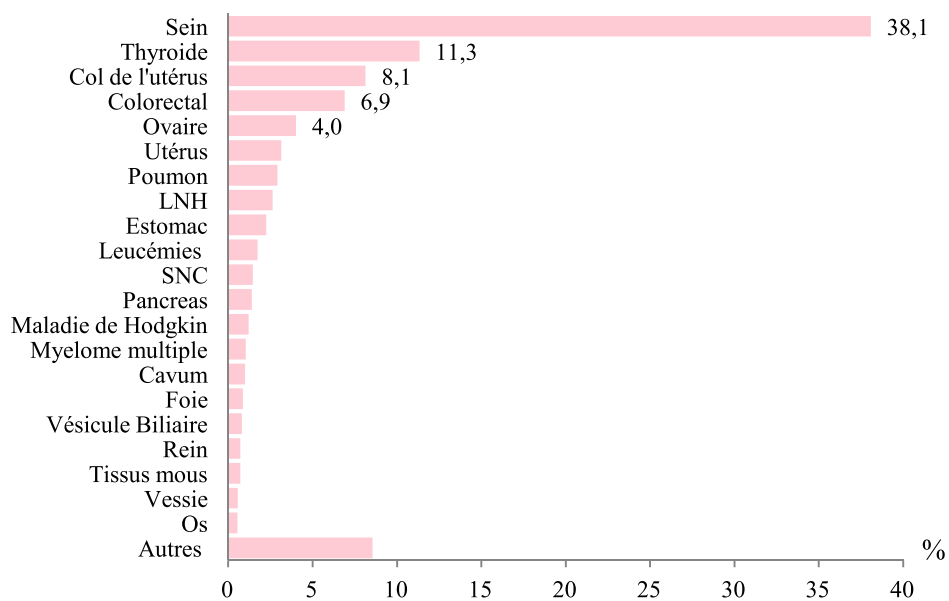


Figure 3 : Répartition en pourcentage des cas incidents de cancer chez la femme selon la localisation pour la période 2013-2017.RCGC

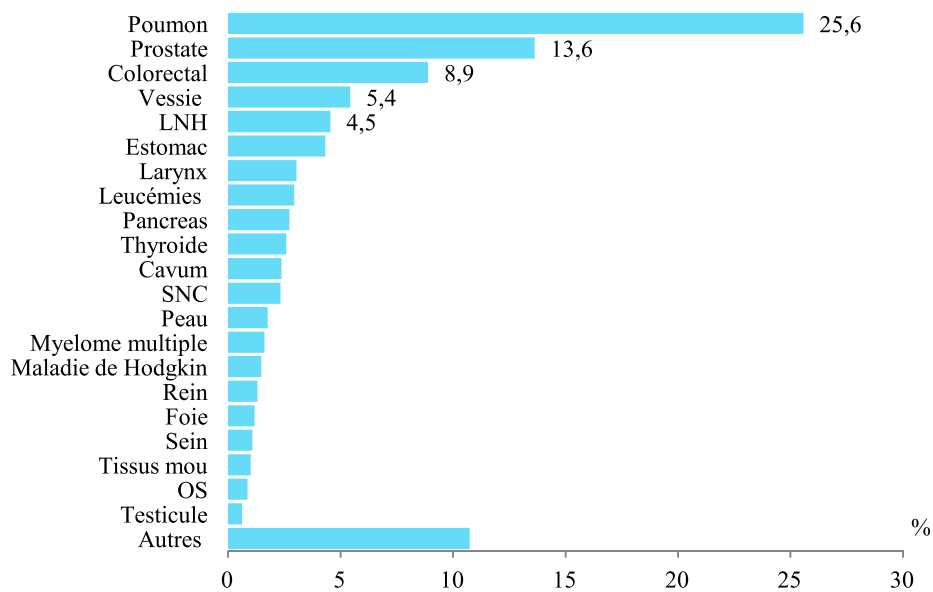


Figure 4 : Répartition en pourcentage des cas incidents de cancer chez l'homme selon la localisation pour la période 2013-2017.RCGC

L'incidence brute durant la période considérée était de 134 pour 100000 femmes et de 98,9 pour 100000 hommes. Les taux d'incidence standardisés sur la population du Monde étaient respectivement de 123,0 et 101,9 pour 100000. (Tableau 2)

Tableau 2 : Incidences du cancer, toutes localisations confondues, par sexe pour la période 2013-2017. RCGC

| | Hommes | Femmes | Deux sexes |
|---|--------|--------|------------|
| Cas incidents | 10557 | 14586 | 25143 |
| Incidence brute ^a | 98,9 | 134,3 | 116,8 |
| Incidence standardisée sur la population Marocaine ^a | 82,7 | 116,3 | 99,4 |
| Incidence standardisée sur la population Mondiale ^a | 101,9 | 123,0 | 111,9 |
| Incidence cumulée 0-64 ans (%) | 5,4 | 8,9 | 7,2 |
| Incidence cumulée 0-74 ans (%) | 12,3 | 13,5 | 12,8 |
| Risque cumulé 0-64 ans (%) | 5,3 | 8,5 | 7,0 |
| Risque cumulé 0-74 ans (%) | 11,5 | 12,7 | 12,0 |

a : pour 100000 habitants (selon sexe)

La répartition des cas selon les classes d'âge, comme illustrée dans la Figure 5, a montré que les classes les plus représentées chez la femme sont celles comprises entre 55 et 59 ans puis entre 50 et 54 ans et entre 45 et 49 ans. Chez l'homme, les sujets âgés de 75 ans ou plus étaient les plus représentés suivis de la classe d'âge 60-64 ans puis 55-59 ans. (Figure 5)

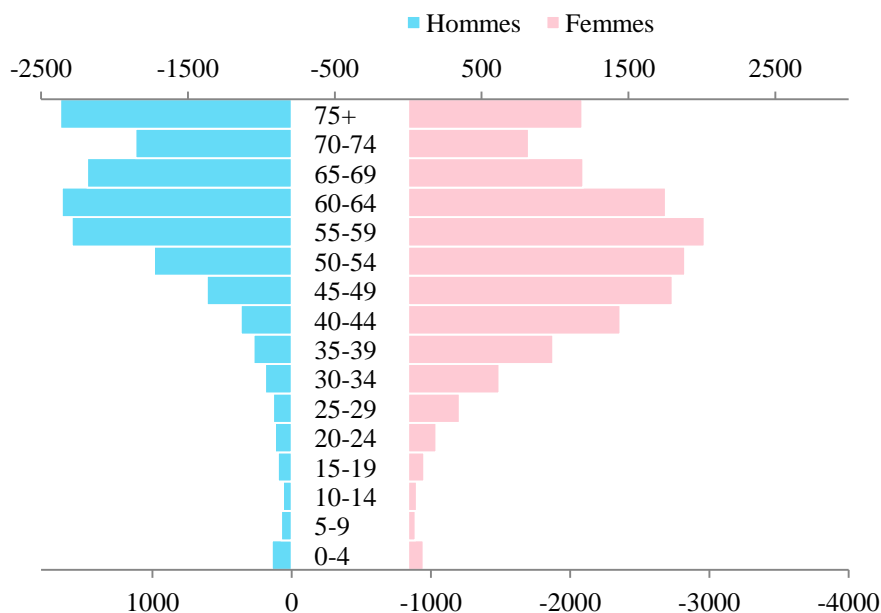


Figure 5 : Répartition des cas incidents de cancer, toutes localisations confondues selon l'âge pour la période 2013-2017. RCGC.

L'incidence spécifique du cancer augmentait avec l'âge, enregistrant des pics pour les classes d'âge 65-69 ans et 60-64 ans chez la femme, avec respectivement des taux d'incidence spécifique de 512,3 et 420,6 pour 100000 femmes. Chez l'homme, le taux d'incidence spécifique le plus élevé a été noté pour les sujets âgés de 75 ans et plus avec 765,0 pour 100000 hommes. (Figure 6)

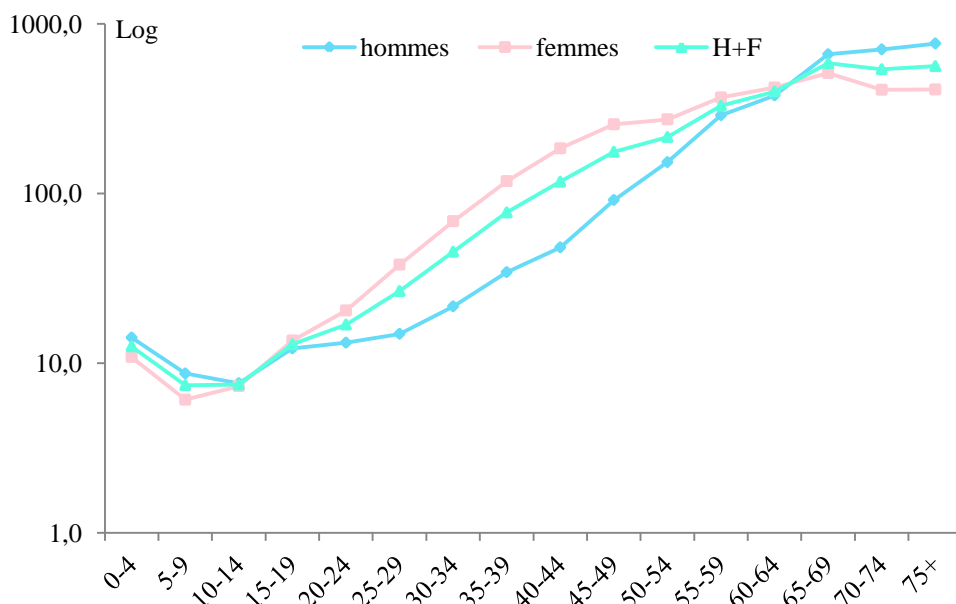


Figure 6 : Incidences spécifiques du cancer, toutes localisations confondues, selon le sexe pour la période 2013-2017. RCGC

Les cinq cancers les plus fréquents

Tableau 3 : les localisations de cancer les plus fréquentes selon le sexe

| sexe | Les localisations incluses |
|--------------|--|
| Hommes : | Poumon Prostate Colo-rectum Vessie LNH |
| Femmes : | Sein Thyroïde Col de l'utérus Colo-rectum ovaire |
| Deux sexes : | Sein Poumon Colo-rectum Thyroïde Prostate |

Les cinq cancers les plus fréquents représentaient respectivement 58,0 % et 68,4 % du total des cancers enregistré chez les hommes et les femmes avec des incidences brutes respectives de 57,4 et 91,9 pour 100000. (Tableau 4)

Tableau 4 : Incidences des cinq cancers les plus fréquents par sexe pour la période 2013-2017. RCGC

| | Hommes | Femmes | Deux sexes |
|---|--------|--------|------------|
| Cas incidents | 6127 | 9982 | 14097 |
| Fréquence ^a (%) | 58,0 | 68,4 | 56,1 |
| Incidence brute ^b | 57,4 | 91,9 | 65,5 |
| Incidence standardisée sur la population Marocaine ^b | 46,8 | 80,6 | 55,8 |
| Incidence standardisée sur la population Mondiale ^b | 60,1 | 82,7 | 62,0 |
| Incidence cumulée 0-64 ans (%) | 2,9 | 6,4 | 4,2 |
| Incidence cumulée 0-74 ans (%) | 7,7 | 9,1 | 7,3 |
| Risque cumulé 0-64 ans (%) | 2,9 | 6,2 | 4,1 |
| Risque cumulé 0-74 ans (%) | 7,4 | 8,7 | 7,0 |

a : proportion calculée par rapport au total des cas de cancer enregistré selon le sexe

b : pour 100000 habitants (selon sexe)

**La lèvre, la cavité buccale
et le pharynx (C00- 14)**

REGISTRE DES CANCERS

**de la Région
du Grand Casablanca**

**Rapport d'Incidence
2013 - 2017**

La lèvre, la cavité buccale et le pharynx (C00-14)

Dans ce groupe, ont été incluses les localisations suivantes :

| Organes | Code CIM-O-3 |
|--------------------------|--------------|
| Lèvres et cavité buccale | C00-06 |
| Glandes salivaires | C07-08 |
| Oropharynx | C09-10 |
| Nasopharynx (Cavum) | C11 |
| Hypopharynx | C12-13 |
| Pharynx non spécifié | C14 |

Durant la période étudiée, un total de 810 nouveaux cas a été enregistré pour ce groupe, soit une incidence brute respectivement de 4,4 et 3,1 pour 100000 chez les hommes et les femmes. Ces localisations représentaient 3,2 % du total des cas de cancer chez les deux sexes. (Tableau5)

Tableau 5 : Incidences du cancer de la lèvre, de la cavité buccale et du pharynx par sexe pour la période 2013-2017. RCGC

| | Hommes | Femmes | Deux sexes |
|--|--------|--------|------------|
| Cas incidents | 474 | 336 | 810 |
| Fréquence (%) ^a | 4,5 | 2,3 | 3,2 |
| Incidence brute /100000 | 4,4 | 3,1 | 3,8 |
| Incidence standardisée sur la population Marocaine /100000 | 3,9 | 2,6 | 3,3 |
| Incidence standardisée sur la population Mondiale /100000 | 4,3 | 2,8 | 3,5 |
| Incidence cumulée 0-64 ans (%) | 0,3 | 0,2 | 0,2 |
| Incidence cumulée 0-74 ans (%) | 0,5 | 0,3 | 0,4 |
| Risque cumulé 0-64 ans (%) | 0,3 | 0,2 | 0,2 |
| Risque cumulé 0-74 ans (%) | 0,5 | 0,3 | 0,4 |

a : proportion calculée par rapport au total des cas de cancers enregistrés en fonction du sexe

En termes de cas incidents, la tranche d'âge la plus représentée chez l'homme ainsi que chez la femme était celle comprise entre 55 et 59 ans, suivie par la tranche 60-64 ans chez l'homme et 55-59 ans chez la femme. (Figure 7)

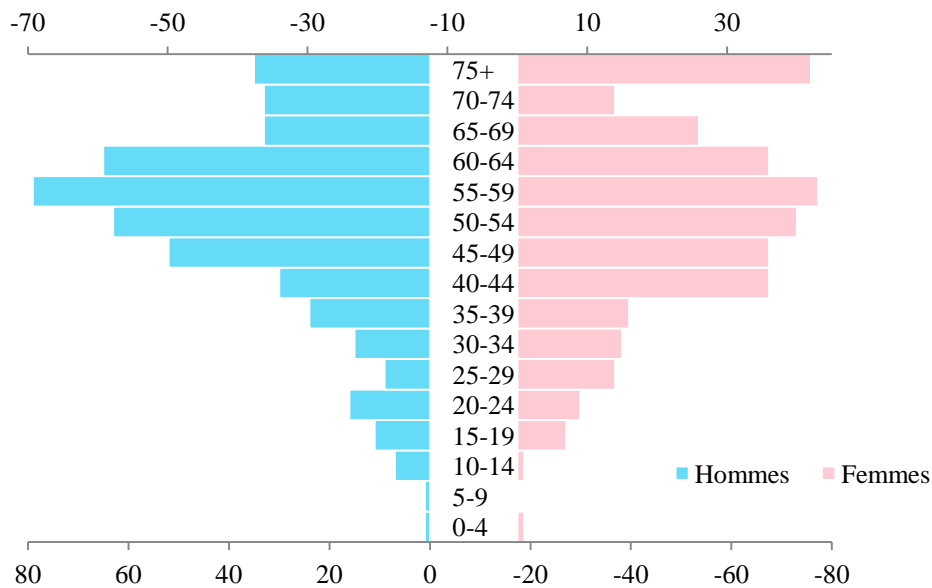


Figure 7 : Répartition des cas incidents du cancer de la lèvre, de la cavité buccale et du pharynx selon l'âge pour la période 2013-2017. RCGC.

Les incidences spécifiques augmentaient avec l'âge pour enregistrer un pic de 20,7 pour 100000 pour la classe d'âge 70-74 ans chez l'homme et de 14,5 pour 100000 femmes âgées de 75 ans et plus. (Figure 8)

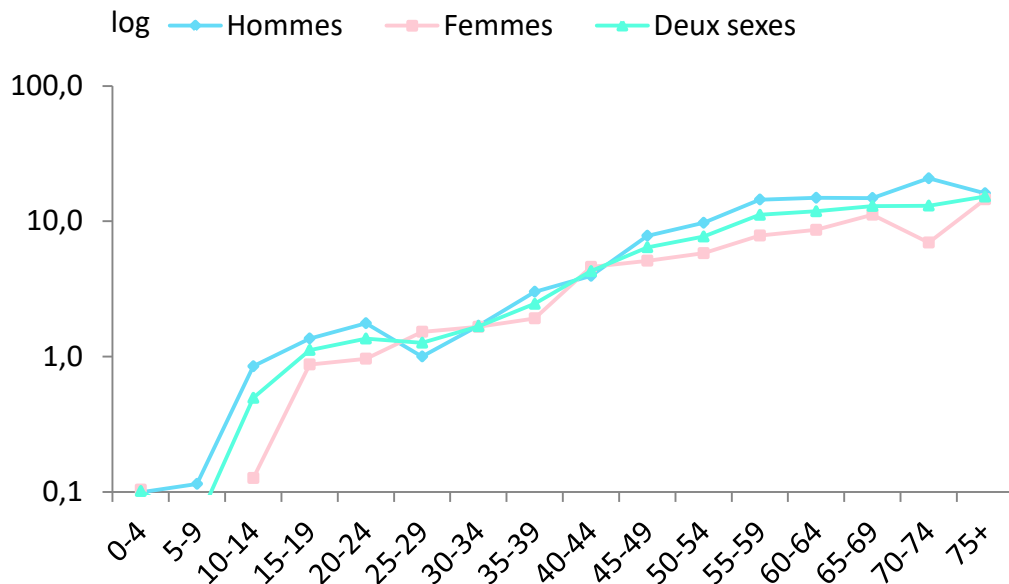


Figure 8 : Incidences spécifiques du cancer de la lèvre, de la cavité buccale et du pharynx, selon le sexe pour la période 2013-2017. RCGC

Le cancer du nasopharynx (cavum) représentait la localisation la plus fréquente parmi les cancers composant ce groupe avec une proportion de 52,7 % chez les hommes et de 42,9 % chez les femmes. (Figure 9, Figure 10)

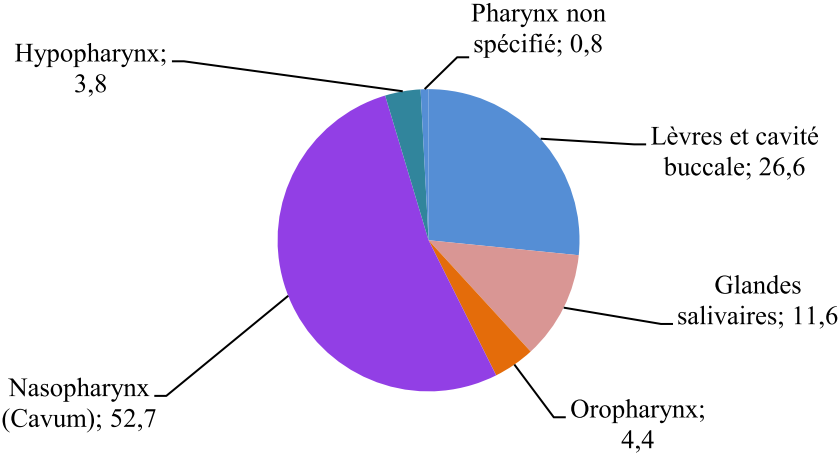


Figure 9 : Fréquences (%) des différentes localisations du cancer au sein du groupe C00-14 chez les hommes durant la période 2013-2017. RCGC

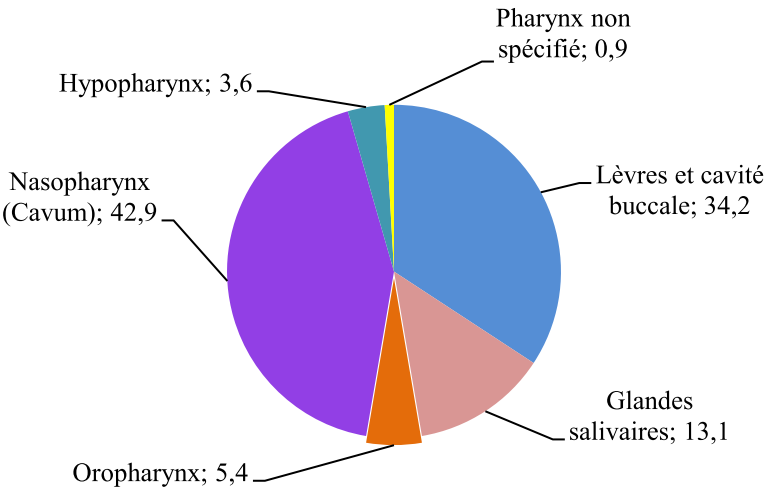


Figure 10 : Fréquences (%) des différentes localisations du cancer au sein du groupe C00-14 chez les femmes durant la période 2013-2017. RCGC

la lèvre, la langue et la cavité buccale (C00-06)

Les cancers de la cavité buccale, de la langue et des lèvres étaient enregistrés avec une proportion de 1 % toutes localisations et sexe confondus. Leur incidence brute était de 1,1 pour 100000 habitants avec un risque cumulé 0-74 ans de 0,12 %. (Tableau 6)

Tableau 6 : Incidence du cancer de la lèvre, de la langue et de la cavité buccale par sexe pour la période 2013-2017. RCGC

| | Hommes | Femmes | Deux sexes |
|--|--------|--------|------------|
| Cas incidents | 126 | 115 | 241 |
| Fréquence (%) ^a | 1,2 | 0,8 | 1,0 |
| Incidence brute / 100000 | 1,2 | 1,1 | 1,1 |
| Incidence standardisée sur la population Marocaine /100000 | 1,0 | 0,8 | 0,9 |
| Incidence standardisée sur la population Mondiale /100000 | 1,2 | 0,9 | 1,1 |
| Incidence cumulée 0-64 ans (%) | 0,08 | 0,06 | 0,07 |
| Incidence cumulée 0-74 ans (%) | 0,15 | 0,09 | 0,12 |
| Risque cumulé 0-64 ans (%) | 0,08 | 0,06 | 0,07 |
| Risque cumulé 0-74 ans (%) | 0,15 | 0,09 | 0,12 |

a : proportion calculée par rapport au total des cas enregistrés en fonction du sexe

Chez les femmes, le plus grand nombre de cas incidents a été enregistré chez celles âgées de 75 ans et plus puis dans la classe de 55-59 ans. Chez l'homme la classe d'âge allant de 60 à 64 ans était la plus représentée suivie de la classe 55-59 ans. (Figure 11)

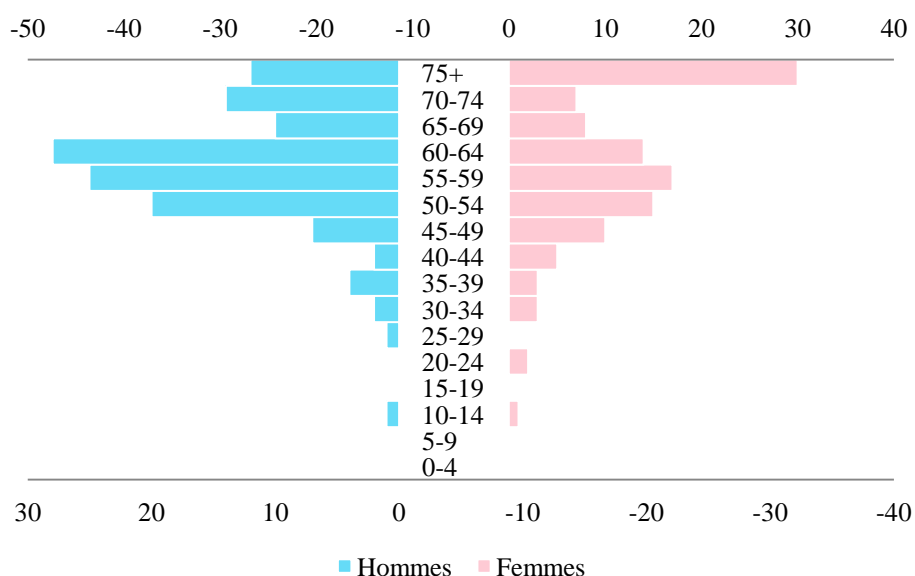


Figure 11 : Répartition des cas incidents du cancer de la lèvre, de la langue et de la cavité buccale selon l'âge pour la période 2013-2017. RCGC

Les taux d'incidence spécifique pour ce groupe augmentaient avec l'âge, enregistrant ainsi des pics pour les âges les plus avancées, soit 9,7 pour 100000 femmes âgées de 75 ans et plus et 8,2 pour 100000 hommes âgés entre 70 et 74 ans. (Figure 12)

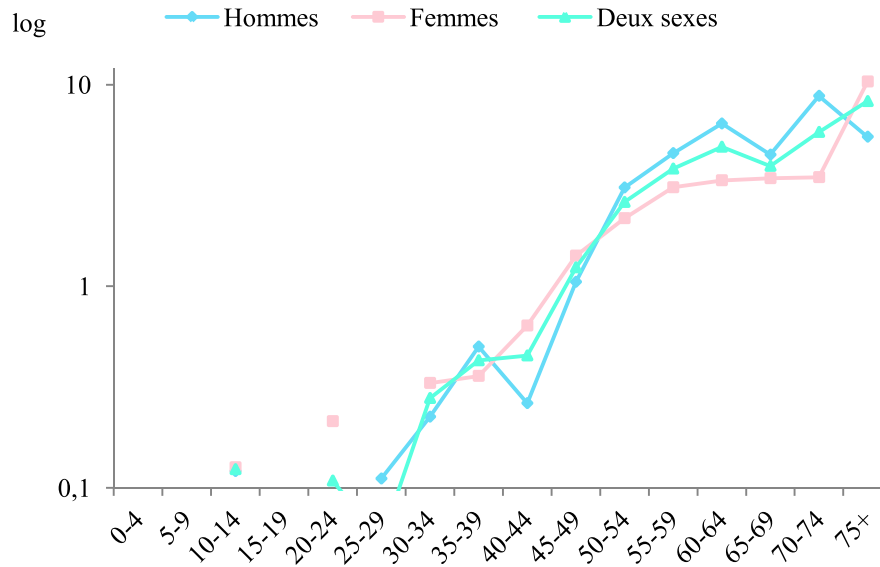


Figure 12 : Incidences spécifiques du cancer de la lèvre, de la langue et de la cavité buccale, selon le sexe pour la période 2013-2017. RCGC

La majorité des tumeurs de la cavité buccale et des lèvres était de type carcinome épidermoïde avec une proportion de 91,1 % des cas. (Figure 13)

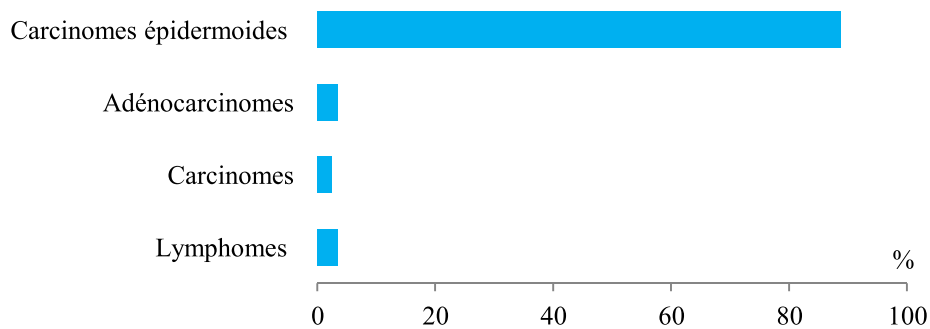


Figure 13 : Répartition des cas de cancer de la lèvre, de la langue et de la cavité buccale selon le type histologique pour la période 2013-2017. RCGC

Pharynx (Oropharynx C09-10, Nasopharynx C11, Hypopharynx C12-13 et Pharynx non spécifié C14)

Ce groupe inclut les cancers ayant survenus dans l'une des trois parties du pharynx, à savoir le nasopharynx, l'oropharynx ou l'hypopharynx en plus des cas pour lesquels la localisation exacte n'était pas spécifiée. Il représentait 1,8 % du total des cas enregistrés durant la période étudiée avec une incidence brute de 2,1 pour 100000 habitants lorsqu'on considère les deux sexes. Une prédominance masculine a été notée avec une proportion d'environ 62 %. (Tableau 7)

Tableau 7 : Incidences du cancer du pharynx par sexe pour la période 2013-2017. RCGC

| | Hommes | Femmes | Deux sexes |
|--|--------|--------|------------|
| Cas incidents | 277 | 165 | 442 |
| Fréquence (%) ^a | 2,6 | 1,1 | 1,8 |
| Incidence brute /100000 | 2,6 | 1,5 | 2,1 |
| Incidence standardisée sur la population Marocaine /100000 | 2,3 | 1,4 | 1,8 |
| Incidence standardisée sur la population Mondiale /100000 | 2,4 | 1,4 | 1,9 |
| Incidence cumulée 0-64 ans (%) | 0,2 | 0,1 | 0,1 |
| Incidence cumulée 0-74 ans (%) | 0,3 | 0,1 | 0,2 |
| Risque cumulé 0-64 ans (%) | 0,2 | 0,1 | 0,1 |
| Risque cumulé 0-74 ans (%) | 0,3 | 0,1 | 0,2 |

a : proportion calculée par rapport au total des cas enregistrés en fonction du sexe

La classe d'âge la plus représentée était celle des sujets de 55 à 59 ans pour les hommes et de 45 à 49 ans pour les femmes. (Figure 14)

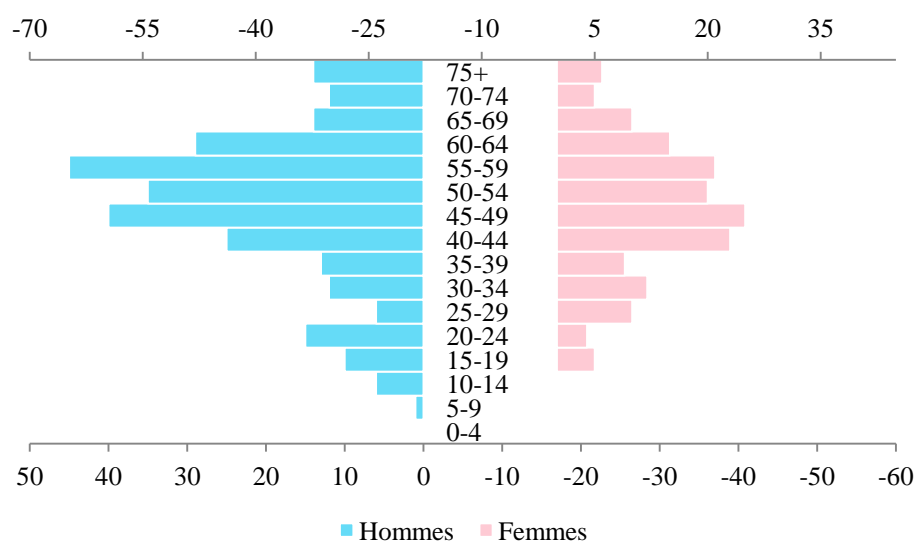


Figure 14 : Répartition de cas incidents du Pharynx selon l'âge pour la période 2013-2017. RCGC

Les taux d'incidences spécifiques enregistrés chez l'homme étaient, en général, plus élevés que ceux notés chez la femme. Un pic a été observé pour la classe d'âge 55-59 ans chez l'homme et pour la classe de 65-69 chez la femme. (Figure 15)

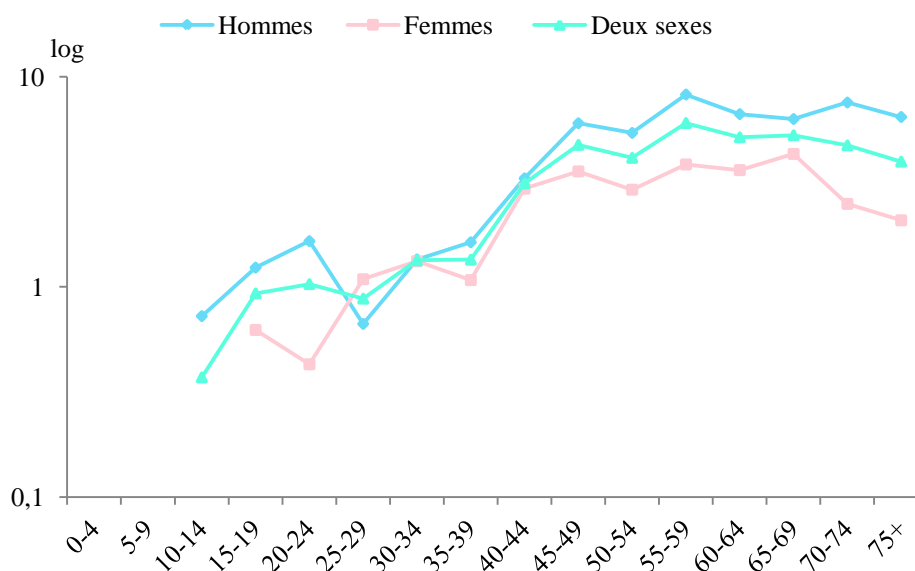


Figure 15 : Incidences spécifiques du cancer du pharynx selon le sexe pour la période 2013-2017. RCGC

Nasopharynx C11 (Cavum)

Durant la période étudiée, un total de 394 nouveaux cas a été enregistré, soit une incidence brute de 1,8 pour 100000 (2,3 chez l'homme versus 1,3 chez la femme). L'incidence cumulée 0-74 ans était de 0,2 %.(Tableau 8)

Tableau 8 : Incidences du cancer du Nasopharynx par sexe pour la période 2013-2017. RCGC

| | Hommes | Femmes | Deux sexes |
|--|--------|--------|------------|
| Cas incidents | 250 | 144 | 394 |
| Fréquence (%) ^a | 2,4 | 1,0 | 1,6 |
| Incidence brute /100000 | 2,3 | 1,3 | 1,8 |
| Incidence standardisée sur la population Marocaine /100000 | 2,1 | 1,2 | 1,7 |
| Incidence standardisée sur la population Mondiale /100000 | 2,2 | 1,2 | 1,7 |
| Incidence cumulée 0-64 ans (%) | 0,2 | 0,1 | 0,1 |
| Incidence cumulée 0-74 ans (%) | 0,2 | 0,1 | 0,2 |
| Risque cumulé 0-64 ans (%) | 0,2 | 0,1 | 0,1 |
| Risque cumulé 0-74 ans (%) | 0,2 | 0,1 | 0,2 |

a : proportion calculée par rapport au total des cas enregistrés en fonction du sexe

Les plus grand nombres de cas enregistrés concernaient surtout les classes d'âge comprises entre 45 et 59 ans chez l'homme et entre 40 et 59 ans chez la femme. (Figure 16)

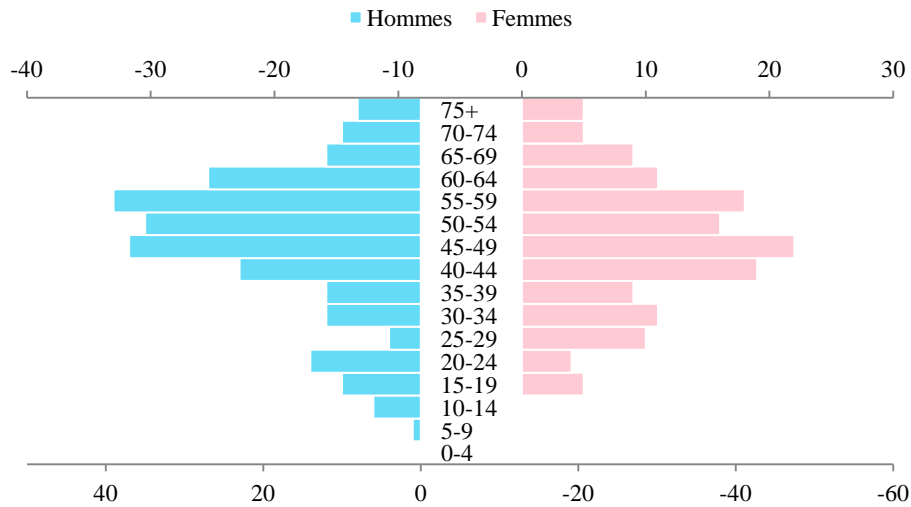


Figure 16 : Répartition de cas incidents du Nasopharynx selon l'âge pour la période 2013-2017. RCGC

Le cancer du Cavum était plus fréquent chez le sexe masculin, comme le montre la figure ci-dessous, avec des taux d'incidence spécifique élevés chez l'homme comparativement à ceux notés chez la femme. Un pic d'incidence a été noté pour la classe d'âge de 55-59 ans chez l'homme et la classe d'âge de 65-69 ans chez la femme. (Figure 17)

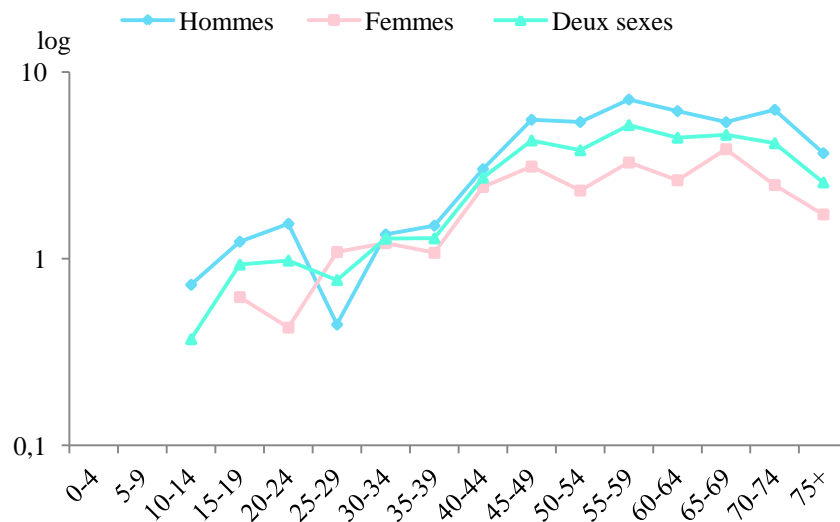


Figure 17 : Incidences spécifiques du cancer du Nasopharynx selon le sexe pour la période 2013-2017. RCGC

Le type histologique le plus fréquent, parmi les cas enregistrés était représenté par le carcinome indifférencié de type nasopharyngé avec une proportion de 71,5 % des cas. Les carcinomes indifférencié et épidermoïdes représentaient respectivement 10 et 6 %.

(Figure 18)

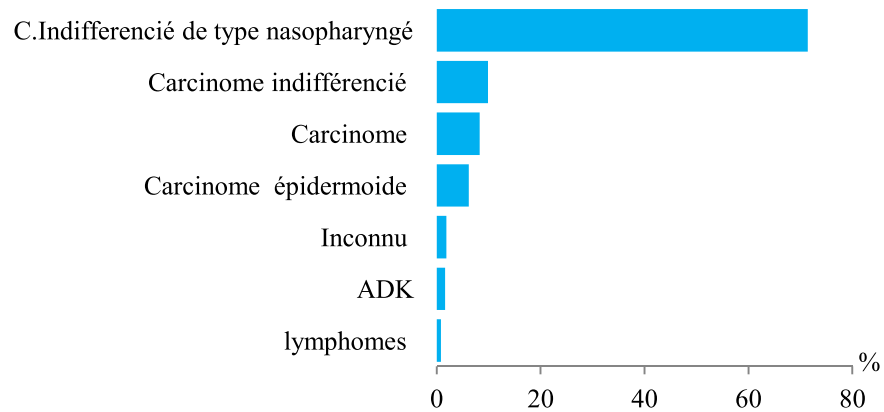


Figure 18 : Répartition des cas selon le type histologique du cancer du nasopharynx, pour la période 2013-2017.RCGC

Dans plus des deux tiers des cas, le stade au moment du diagnostic n'était pas documenté. Parmi les cas pour lesquels le stade a pu être collecté à partir des dossiers médicaux, le stade IV était le plus fréquent avec une proportion de 46,6 % du total des tumeurs enregistrées.

(Figure 19)

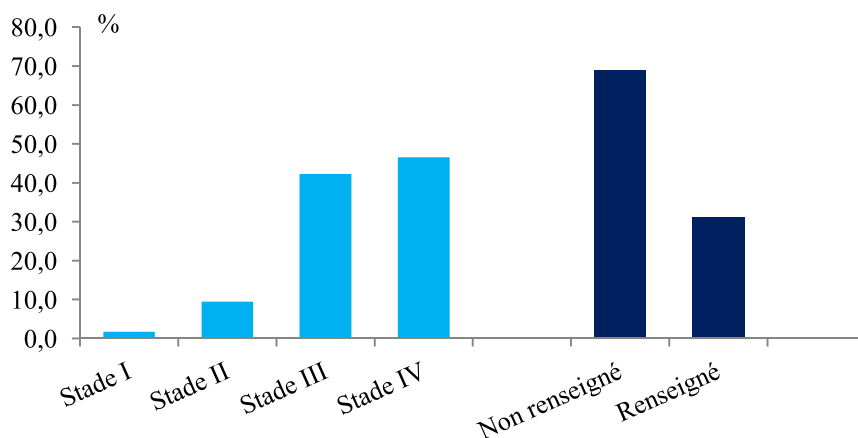


Figure 19 : Répartition des cas selon le stade au moment du diagnostic du cancer du nasopharynx, pour la période 2013-2017.RCGC

Organes digestifs C15 - 26

REGISTRE DES CANCERS

**de la Région
du Grand Casablanca**

**Rapport d'Incidence
2013 - 2017**

Organes digestifs C15-26

Dans ce groupe, ont été incluses les localisations suivantes :

| Organes | Code CIM-O-3 |
|---|--------------|
| Œsophage | C15 |
| Estomac | C16 |
| Intestin grêle | C17 |
| Colon | C18 |
| Rectum | C19-20 |
| Anus | C21 |
| Foie et voies biliaires intra-hépatiques | C22 |
| Vésicule biliaire et voies biliaires extra-hépatiques | C23-24 |
| Pancréas | C25 |
| Autres localisations mal définies des organes digestifs | C26 |

Pour ce groupe de tumeurs, un total de 3901 nouveaux cas a été enregistré entre 2013 et 2017, donnant ainsi un taux brut de 18,1 pour 100000 habitants de la zone couverte. Cette entité représentait 15,5 % du total des cas chez les deux sexes et 18,9 % des cas observés chez l'homme. (Tableau 9)

Tableau 9 : Incidences des cancers digestifs par sexe pour la période 2013-2017. RCGC

| | Hommes | Femmes | Deux sexes |
|--|--------|--------|------------|
| Cas incidents | 1997 | 1904 | 3901 |
| Fréquence (%) ^a | 18,9 | 13,1 | 15,5 |
| Incidence brute /100000 | 18,7 | 17,5 | 18,1 |
| Incidence standardisée sur la population Marocaine /100000 | 15,7 | 14,5 | 15,0 |
| Incidence standardisée sur la population Mondiale /100000 | 19,0 | 16,5 | 17,6 |
| Incidence cumulée 0-64 ans (%) | 1,1 | 1,0 | 1,1 |
| Incidence cumulée 0-74 ans (%) | 2,4 | 2,0 | 2,2 |
| Risque cumulé 0-64 ans (%) | 1,1 | 1,0 | 1,1 |
| Risque cumulé 0-74 ans (%) | 2,3 | 2,0 | 2,1 |

a : proportion calculée par rapport au total des cas enregistrés en fonction du sexe

La répartition des cas incidents selon l'âge, avait montré une prédominance des sujets âgés entre 60 et 64 ans chez l'homme et entre 55 et 59 ans chez la femme. (Figure 20)

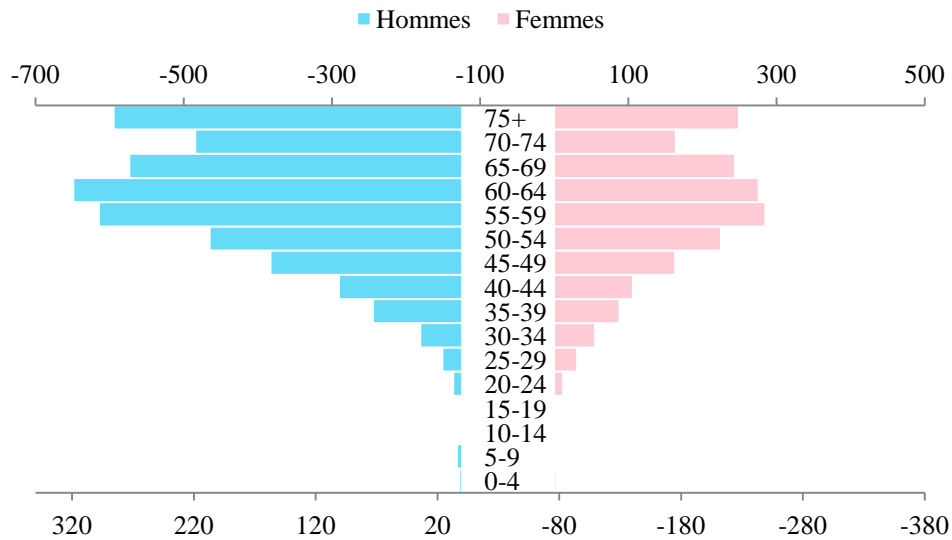


Figure 20 : Répartition de cas incidents des cancers digestifs selon l'âge pour la période 2013-2017. RCGC

Les taux d'incidence spécifique étaient pratiquement les mêmes pour les deux sexes jusqu'à l'âge de 64 ans. Ils étaient plus élevés chez les hommes comparativement aux femmes pour les sujets âgés de 65 ans et plus, avec un pic de 137,7 chez les hommes âgés entre 70-74 ans et 104,8 pour 100000 chez les femmes âgées entre 65 et 69 ans. (Figure 21)

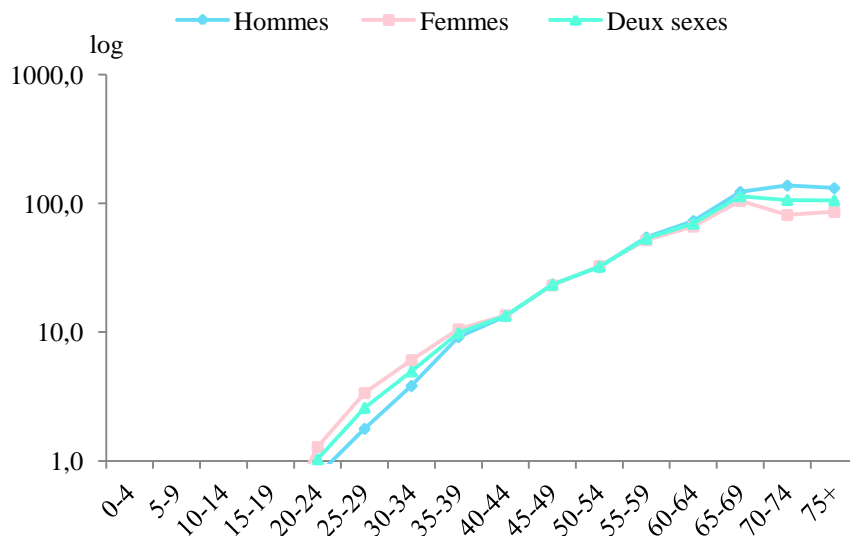


Figure 21 : Incidences spécifiques des cancers digestifs selon le sexe pour la période 2013-2017. RCGC

Chez les hommes, la localisation la plus fréquente était représentée par le colon avec une proportion de 25,3 % suivie du rectum puis de l'estomac avec respectivement 21,6 % et 22,8 %. Chez les femmes, le colon représentait 31 %, le rectum 21,7 % et l'estomac 17,2 %. (Figure 22, Figure 23)

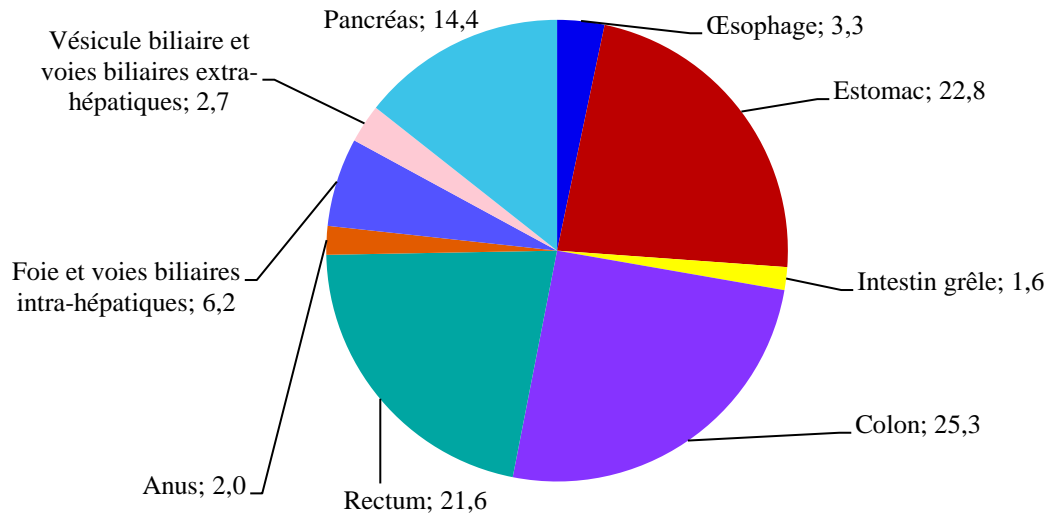


Figure 22 : Fréquences (%) des différentes localisations du cancer au sein du groupe C15-26 chez les hommes durant la période 2013-2017. RCGC

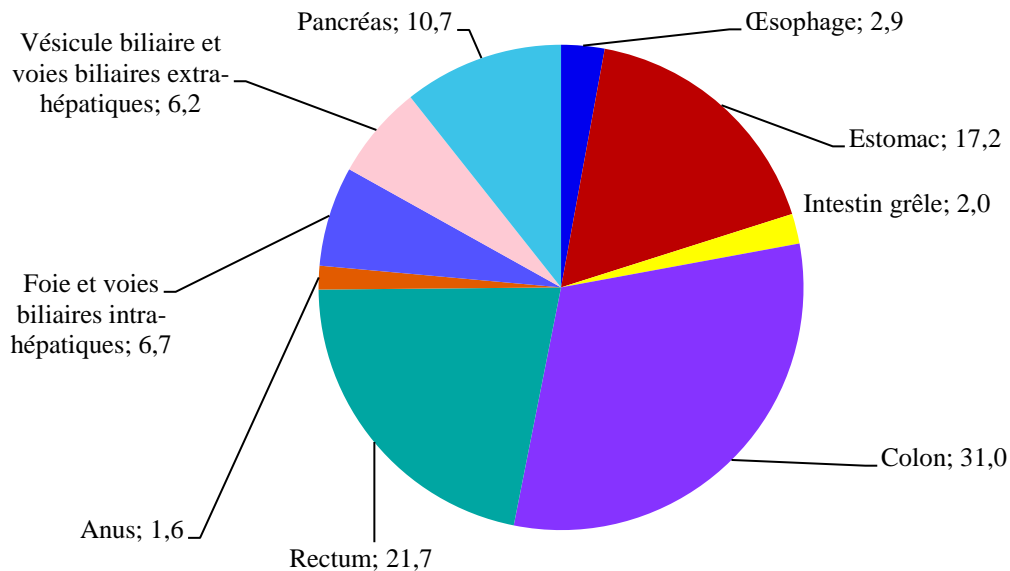


Figure 23 : Fréquences (%) des différentes localisations du cancer au sein du groupe C15-26 chez les femmes durant la période 2013-2017. RCGC

Œsophage (C15)

Le nombre total de cancer de l'œsophage enregistré durant la période 2013-2017 (121 nouveaux cas) représentait 0,5 % du total des cas de cancer enregistrés. Son incidence brute était de 0,6 pour 100000 chez l'homme et de 0,5 pour 100000 chez la femme. Les taux d'incidences standardisés sur la population Marocaine et mondiale étaient de 0,4 et 0,5 pour 100000 respectivement. (Tableau 10)

Tableau 10 : Incidences du cancer de l'œsophage par sexe pour la période 2013-2017. RCGC

| | Hommes | Femmes | Deux sexes |
|--|--------|--------|------------|
| Cas incidents | 66 | 55 | 121 |
| Fréquence (%) | 0,6 | 0,4 | 0,5 |
| Incidence brute /100000 | 0,6 | 0,5 | 0,6 |
| Incidence standardisée sur la population Marocaine /100000 | 0,5 | 0,4 | 0,4 |
| Incidence standardisée sur la population Mondiale /100000 | 0,6 | 0,5 | 0,5 |
| Incidence cumulée 0-64 ans (%) | 0,03 | 0,03 | 0,03 |
| Incidence cumulée 0-74 ans (%) | 0,07 | 0,05 | 0,06 |
| Risque cumulé 0-64 ans (%) | 0,03 | 0,03 | 0,03 |
| Risque cumulé 0-74 ans (%) | 0,07 | 0,05 | 0,06 |

a : proportion calculée par rapport au total des cas enregistrés en fonction du sexe

Une prédominance des sujets âgés était notée parmi les cas de cancer de l'œsophage. Ainsi la classe d'âge la plus représentée dans cette répartition des cas selon l'âge était la classe de 75 ans et plus chez les hommes et les classes 55-59 ans et 75 ans et plus chez les femmes. (Figure 24)

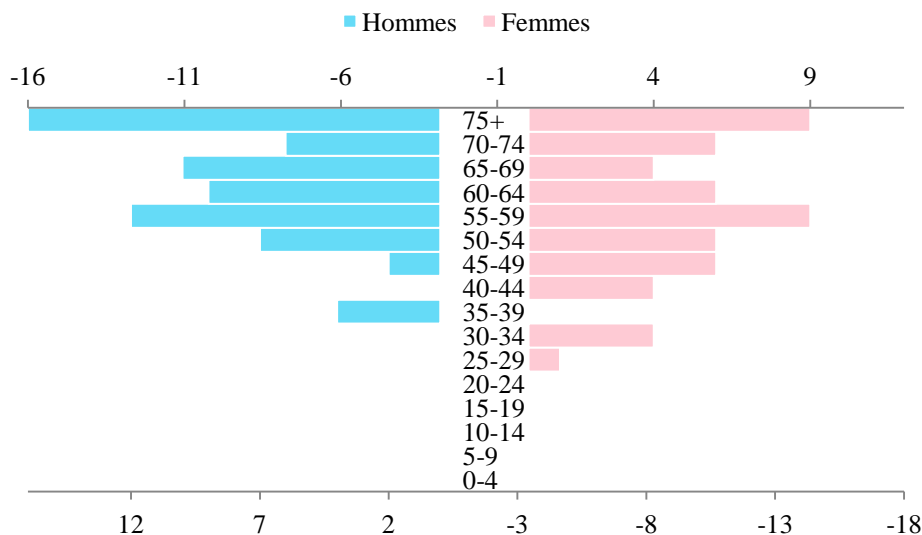


Figure 24 : Répartition de cas incidents du cancer de l'œsophage selon l'âge pour la période 2013-2017. RCGC

Les taux d'incidence spécifique enregistrés chez l'homme étaient plus élevés comparativement à ceux des femmes avec un pic d'incidence de 7,4 pour 100000 chez les hommes de 75 ans et plus versus 3,1 pour 100000 chez les femmes. (Figure 25)

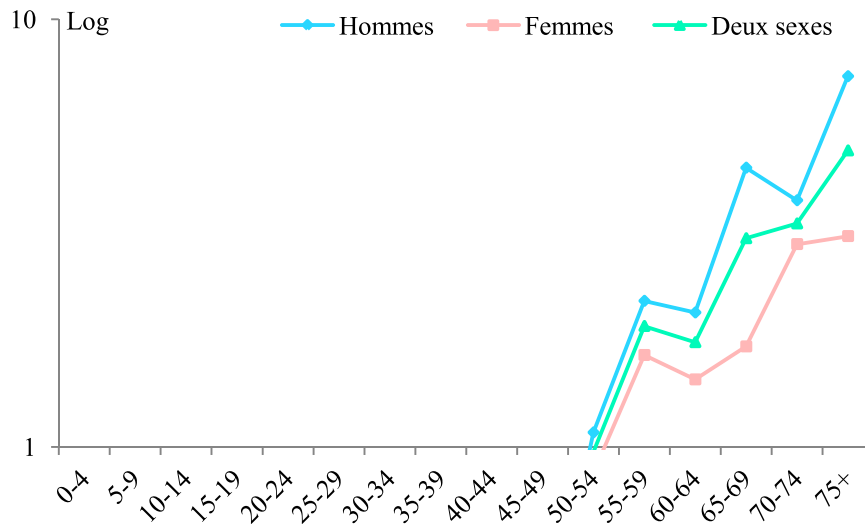


Figure 25 : Incidences spécifiques du cancer de l'œsophage selon le sexe pour la période 2013-2017. RCGC

Deux types histologiques étaient les plus fréquents chez les sujets présentant un cancer de l'œsophage. Il s'agissait de l'adénocarcinome avec une proportion de 47,5 % et du carcinome épidermoïde avec une proportion de 42 %. (Figure 26)

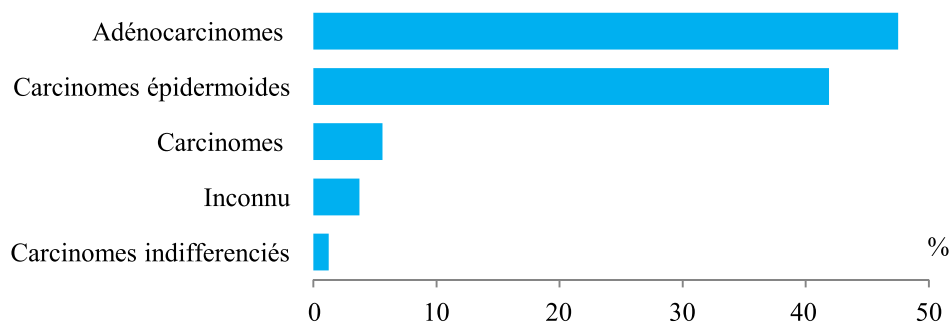


Figure 26 : Répartition des cas de cancer de l'œsophage selon le type histologique, pour la période 2013-2017. RCGC

Estomac (C16)

Un total de 784 nouveaux cas de cancer de l'estomac a été enregistré pour la période 2013-2017. Cette localisation représentait 3,1 % de tous les cas tout sexe confondu, soit 4,3 % des cancers de l'homme et 2,2 % des cancers de la femme. L'incidence brute était de 3,6 pour 100000 habitants (4,3 pour 100000 chez l'homme et 3,0 pour 100000 chez la femme). (Tableau 11)

Tableau 11 : Incidences du cancer de l'estomac par sexe pour la période 2013-2017. RCGC

| | Hommes | Femmes | Deux sexes |
|--|--------|--------|------------|
| Cas incidents | 456 | 328 | 784 |
| Fréquence ^a (%) | 4,3 | 2,2 | 3,1 |
| Incidence brute /100000 | 4,3 | 3,0 | 3,6 |
| Incidence standardisée sur la population Marocaine /100000 | 3,6 | 2,6 | 3,1 |
| Incidence standardisée sur la population Mondiale /100000 | 4,3 | 2,8 | 3,5 |
| Incidence cumulée 0-64 ans (%) | 0,3 | 0,2 | 0,2 |
| Incidence cumulée 0-74 ans (%) | 0,5 | 0,3 | 0,4 |
| Risque cumulé 0-64 ans (%) | 0,3 | 0,2 | 0,2 |
| Risque cumulé 0-74 ans (%) | 0,5 | 0,3 | 0,4 |

a : proportion calculée par rapport au total des cas enregistrés en fonction du sexe

La distribution des cas en fonction de l'âge avait montré que la classe d'âge allant de 55 à 59 ans avait enregistré le plus grand nombre de cas incidents aussi bien chez l'homme que chez la femme, suivie de la classe de 60- 64 ans chez l'homme et la classe de 45-49 ans chez la femme. (Figure 27)

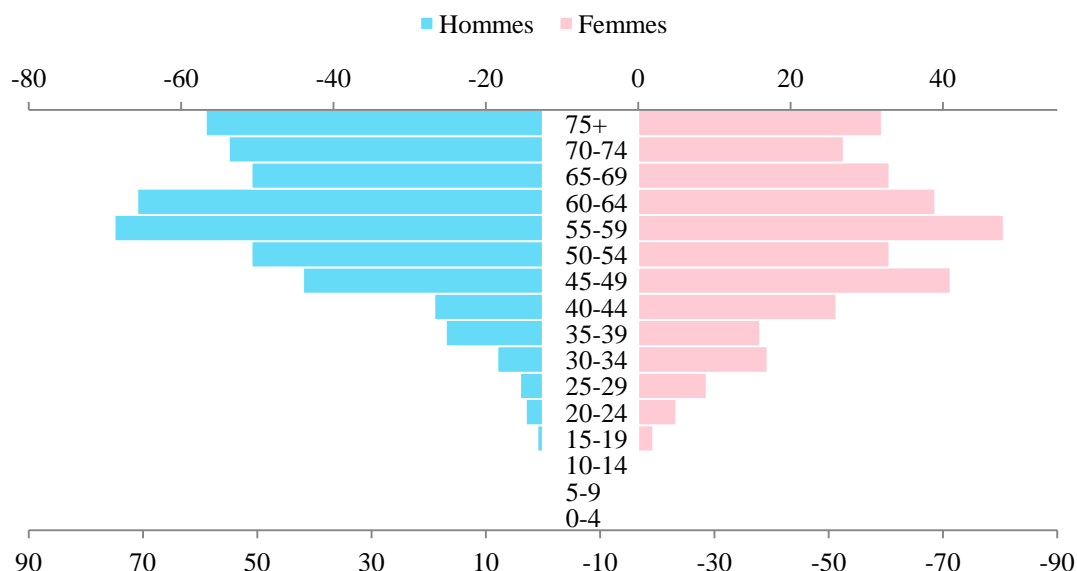


Figure 27 : Répartition de cas incidents du cancer de l'estomac selon l'âge pour la période 2013-2017. RCGC

Avant l'âge de 50 ans, le taux d'incidence spécifique du cancer de l'estomac était faible et presque similaires pour les deux sexes (ne dépassant pas 6,3 pour 100000). Au delà de cet âge des taux plus élevés étaient observés chez les hommes comparativement aux femmes, enregistrant un pic de 34,6 pour 100000 chez l'homme de 70 à 74 ans et de 14,2 pour 100000 chez la femme de 65 à 69 ans. (Figure 28)

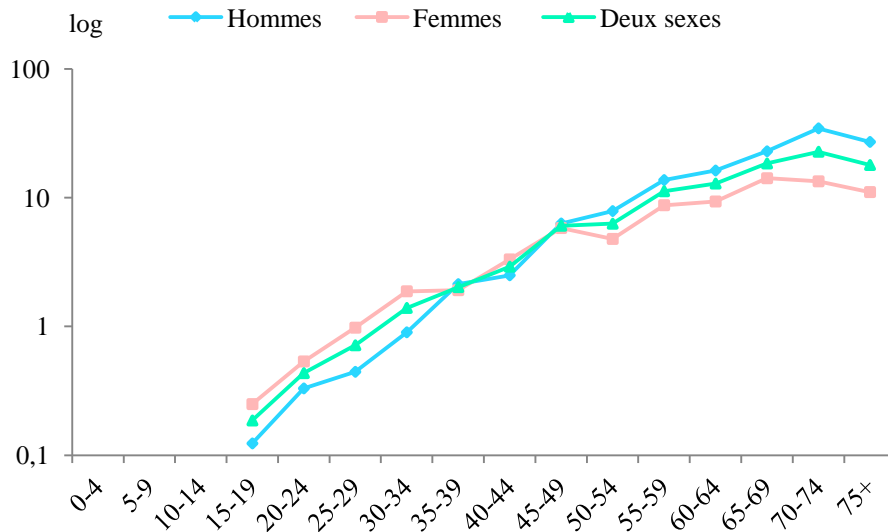


Figure 28 : Incidences spécifiques du cancer de l'estomac selon le sexe pour la période 2013-2017. RCGC

La majorité des cas de cancer de l'estomac étaient de type adénocarcinome représentant 77,8 % des cas, les carcinomes et les sarcomes étaient moins fréquents avec respectivement 10,6 % et 4,5 % des cas. (Figure 29)

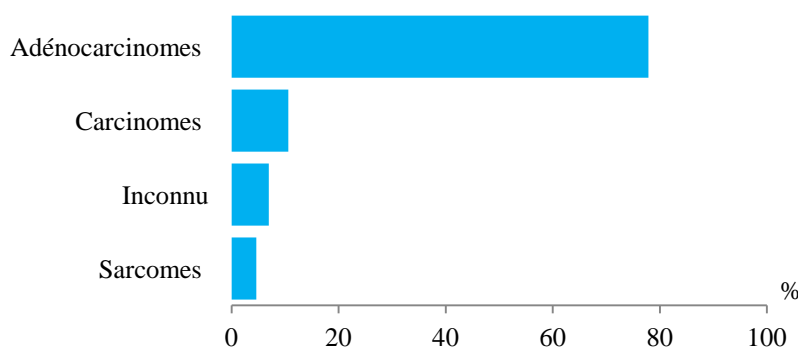


Figure 29 : Répartition des cas du cancer de l'estomac selon le type histologique, pour la période 2013-2017. RCGC

Le stade au diagnostic était non documenté pour 61,5 % des cas. Le stade III et IV représentait respectivement 24,4 % et 55,5 % des cas pour lesquels le stade était renseigné. (Figure 30)

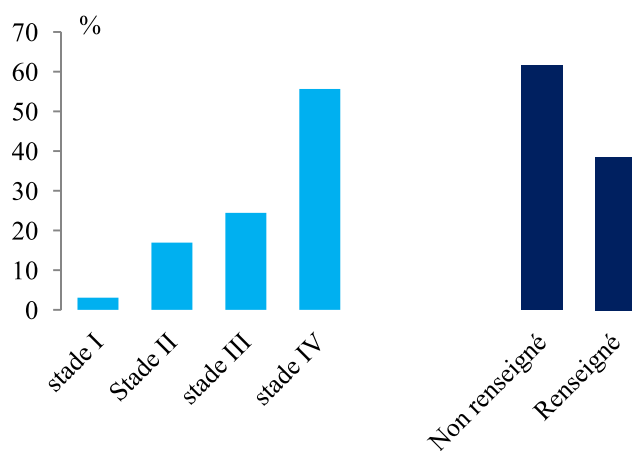


Figure 30 : Répartition des cas du cancer de l'estomac, selon le stade au moment du diagnostic, pour la période 2013-2017.RCGC

Intestin grêle (C17)

Le cancer de l'intestin grêle était enregistré pour 70 cas répartis de manière presque équitable entre les hommes et les femmes et donnant ainsi une même fréquence (0,3 % des cas enregistrés) et une même incidence brute ne dépassant pas 0,3 pour 100000 habitants et une incidence cumulée avant l'âge de 75 ans de 0,04 %. (Tableau 12)

Tableau 12 : Incidences du cancer de l'intestin grêle par sexe pour la période 2013-2017. RCGC

| | Hommes | Femmes | Deux sexes |
|--|--------|--------|------------|
| Cas incidents | 32 | 38 | 70 |
| Fréquence (%) | 0,3 | 0,3 | 0,3 |
| Incidence brute /100000 | 0,3 | 0,3 | 0,3 |
| Incidence standardisée sur la population Marocaine /100000 | 0,3 | 0,3 | 0,3 |
| Incidence standardisée sur la population Mondiale /100000 | 0,3 | 0,3 | 0,3 |
| Incidence cumulée 0-64 ans (%) | 0,02 | 0,02 | 0,02 |
| Incidence cumulée 0-74 ans (%) | 0,05 | 0,04 | 0,04 |
| Risque cumulé 0-64 ans (%) | 0,02 | 0,02 | 0,02 |
| Risque cumulé 0-74 ans (%) | 0,05 | 0,04 | 0,04 |

a : proportion calculée par rapport au total des cas enregistrés en fonction du sexe

Le nombre de cas incidents augmentait avec l'âge, enregistrant un pic pour la classe 60-64 ans chez les deux sexes. En termes d'incidence spécifique, le taux le plus élevé était observé pour les sujets âgés entre 70 et 74 ans avec respectivement 3,8 pour 100000 chez l'homme et 2,0 pour 100000 chez la femme (Figure 31, Figure 32)

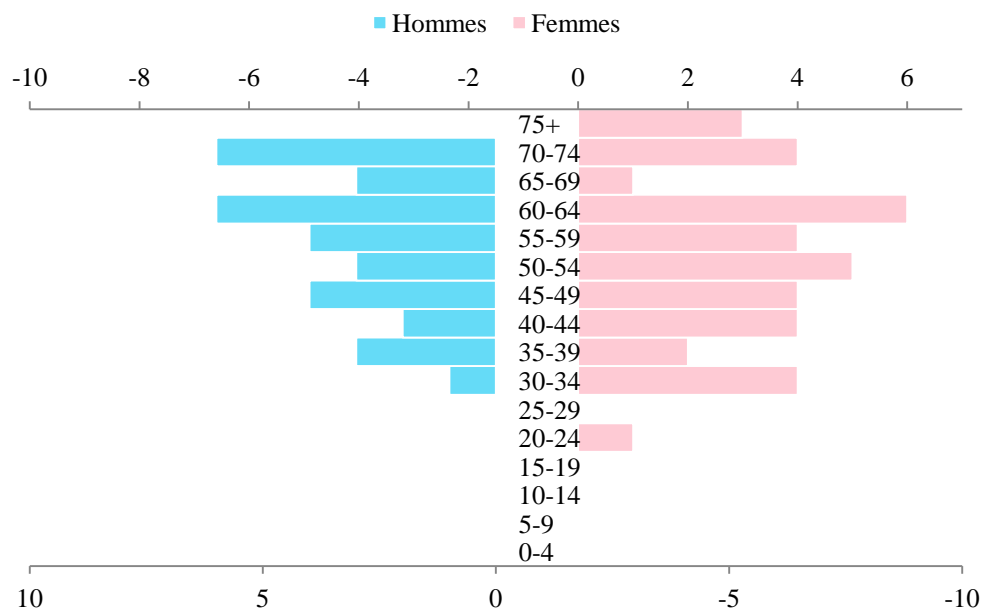


Figure 31 : Répartition de cas incidents du cancer de l'intestin grêle selon l'âge pour la période 2013-2017. RCGC

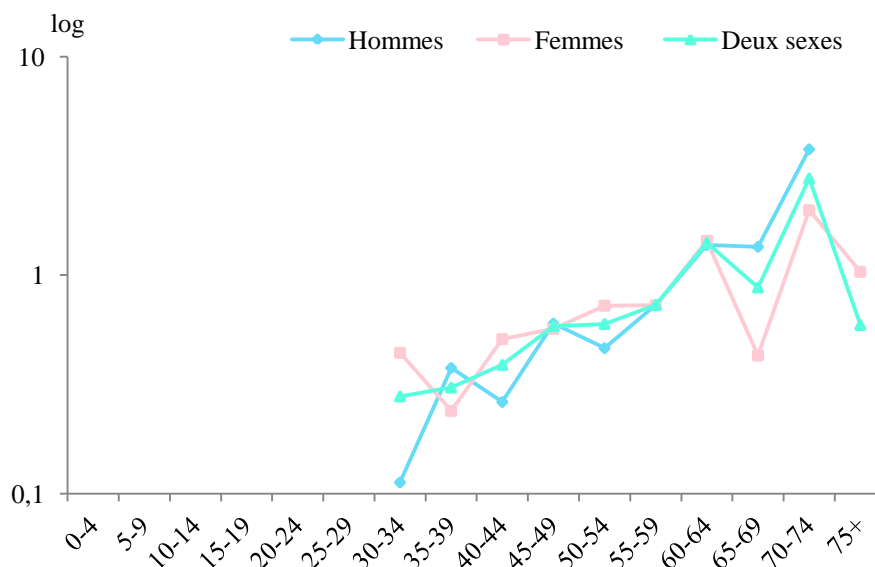


Figure 32 : Incidences spécifiques du cancer de l'intestin grêle selon le sexe pour la période 2013-2017. RCGC

Un peu plus que le tiers des cas de cancer de l'intestin grêle était de type « *tumeur stromale* » représentant ainsi 38,8 % des cas, les adénocarcinomes, les lymphomes étaient enregistrés respectivement dans 30 % et 11,2 % des cas. Les carcinomes neuroendocrines et les tumeurs carcinoïdes étaient moins fréquents avec une proportion de 2,8 % des cas. (Figure 33)

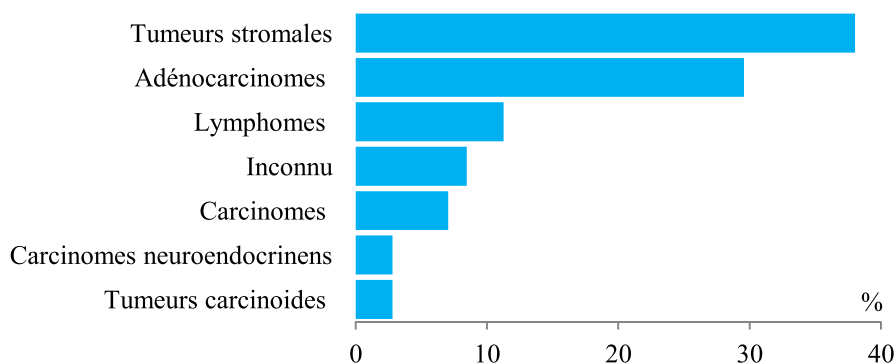


Figure 33 : Répartition des cas de cancer de l'intestin grêle selon le type histologique, pour la période 2013-2017.RCGC

Colorectum (C18-20)

Un total de 1942 nouveaux cas a été enregistré durant la période 2013-2017 représentant 7,7 % de tous les cas enregistrés avec une incidence brute de 9,0 pour 100000 habitants et un risque cumulé avant l'âge de 75 ans de 1,1 %. (Tableau 13)

Tableau 13 : Incidences du cancer colorectal par sexe pour la période 2013-2017. RCGC

| | Hommes | Femmes | Deux sexes |
|--|--------|--------|------------|
| Cas incidents | 938 | 1004 | 1942 |
| Fréquence (%) ^a | 8,9 | 6,9 | 7,7 |
| Incidence brute /100000 | 8,8 | 9,2 | 9,0 |
| Incidence standardisée sur la population Marocaine /100000 | 7,5 | 7,8 | 7,6 |
| Incidence standardisée sur la population Mondiale /100000 | 9,0 | 8,7 | 8,8 |
| Incidence cumulée 0-64 ans (%) | 0,5 | 0,6 | 0,5 |
| Incidence cumulée 0-74 ans (%) | 1,1 | 1,1 | 1,1 |
| Risque cumulé 0-64 ans (%) | 0,5 | 0,6 | 0,5 |
| Risque cumulé 0-74 ans (%) | 1,1 | 1,1 | 1,1 |

a : proportion calculée par rapport au total des cas enregistrés en fonction du sexe

La répartition des cas selon l'âge avait montré un pic du nombre de cas incidents enregistré pour la classe d'âge de 60- 64 ans, représentant respectivement 17 % et 15 % du total des cancers colorectaux chez les hommes et les femmes. La proportion de sujets de plus de 60 ans était respectivement de 54 ,1 % et 47 % chez les hommes et les femmes. (Figure 34)

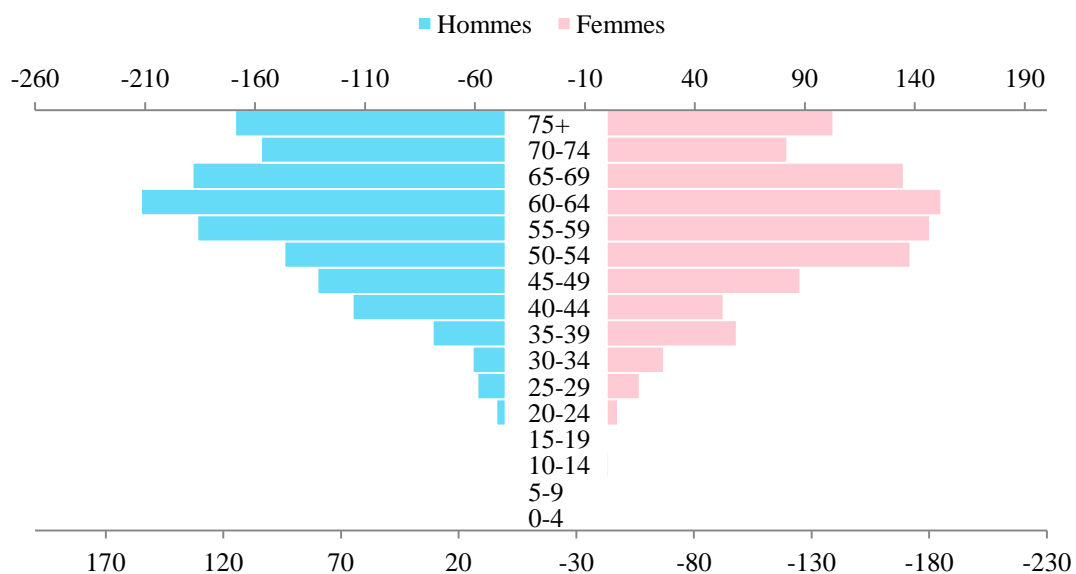


Figure 34 : Répartition des cas incidents du cancer colorectal selon l'âge pour la période 2013-2017. RCGC

Les taux d'incidence spécifique du cancer colorectal étaient similaires en comparant les deux sexes. Ces taux augmentaient avec l'âge. Au-delà de 69 ans, un pic a été enregistré pour les hommes atteignant 65,4 pour 100000 hommes versus 58,9 pour 100000 femmes âgées entre 65 et 69 ans. (Figure 35)

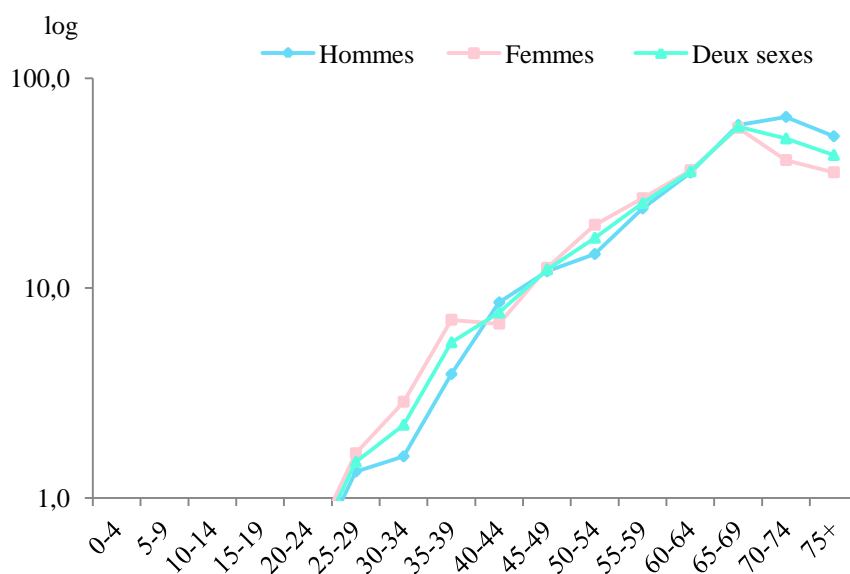


Figure 35 : Incidences spécifiques du cancer colorectal selon le sexe pour la période 2013-2017. RCGC

Les adénocarcinomes représentaient le type histologique le plus fréquent des cancers colorectaux avec une proportion de 93 % des cas. Les carcinomes et les carcinomes neuroendocriniens étaient enregistrés dans 4 % et moins de 1 % des cas. (Figure 36)

Le stade au moment du diagnostic était renseigné pour 53% des cas. Parmi les cas où le stade a été renseigné, les stades III et IV étaient les plus fréquents avec respectivement des proportions de 18,1 % et 19,2 %. (Figure 37)

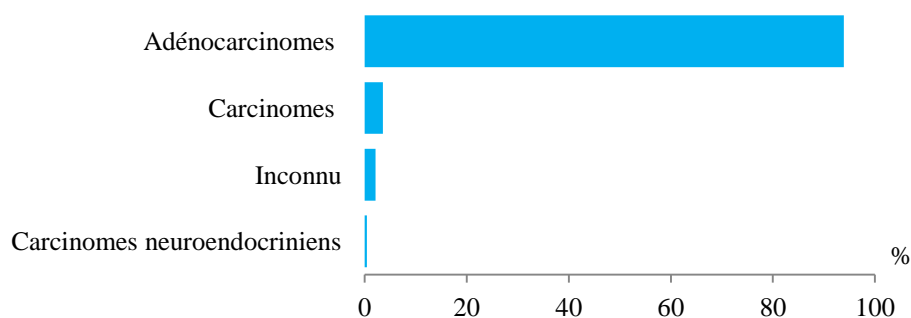


Figure 36 : Répartition des cas du cancer colorectal selon le type histologique, pour la période 2013-2017.RCGC

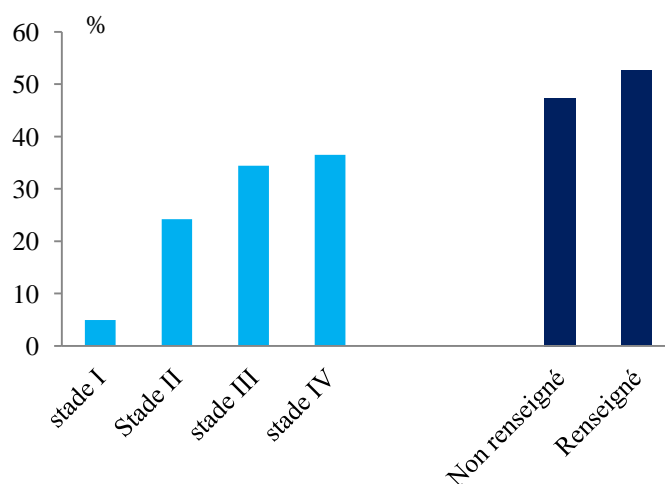


Figure 37 : Répartition des cas du cancer colorectal, selon le stade au moment du diagnostic, pour la période 2013-2017.RCGC

Colon(C18)

Le cancer du colon représentait, à lui seul, 56,4 % des cancers colorectaux avec un total de nouveaux cas pour la période étudiée de 1069 et 4,4 % du total des cancers enregistrés toutes localisations confondues. Son taux d'incidence brute était de 5 pour 100000 habitants, il était légèrement plus élevé chez les femmes avec 5,4 versus 4,7 pour 100000 chez les hommes. L'incidence cumulée avant 75 ans était de 0,6 %. (Tableau 14)

Tableau 14 : Incidences du cancer du colon par sexe pour la période 2013-2017. RCGC

| | Hommes | Femmes | Deux sexes |
|--|--------|--------|------------|
| Cas incidents | 499 | 570 | 1069 |
| Fréquence ^a (%) | 4,8 | 4,0 | 4,4 |
| Incidence brute /100000 | 4,7 | 5,4 | 5,1 |
| Incidence standardisée sur la population Marocaine /100000 | 4,0 | 4,6 | 4,3 |
| Incidence standardisée sur la population Mondiale /100000 | 4,9 | 5,2 | 5,0 |
| Incidence cumulée 0-64 ans (%) | 0,3 | 0,3 | 0,3 |
| Incidence cumulée 0-74 ans (%) | 0,6 | 0,6 | 0,6 |
| Risque cumulé 0-64 ans (%) | 0,3 | 0,3 | 0,3 |
| Risque cumulé 0-74 ans (%) | 0,6 | 0,6 | 0,6 |

a : proportion calculée par rapport au total des cas enregistrés en fonction du sexe

En termes du nombre de cas incidents, les sujets de plus 60 ans représentaient un peu plus que la moitié des cas enregistrés (52 %) avec un pic pour la classe d'âge de 65-69 ans chez l'homme ; pour les femmes le pic était dans la tranche d'âge 50-54 ans. (Figure 38)

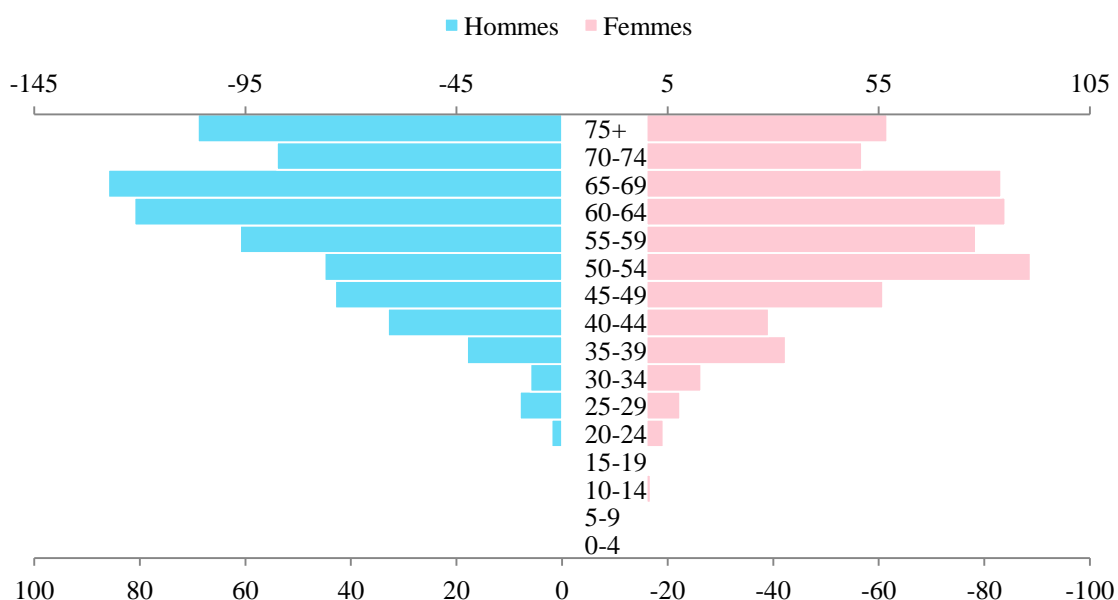


Figure 38 : Répartition de cas incidents du cancer du colon selon l'âge pour la période 2013-2017. RCGC

Les taux d'incidence spécifique du cancer du colon étaient légèrement plus élevés chez la femme avant 65 ans, âge à partir duquel la tendance était inversée pour donner des taux d'incidence spécifique plus élevés chez les hommes comparativement aux femmes avec des pics respectivement de 38,7 et 36,1 pour la tranche 65-69 ans. (Figure 39)

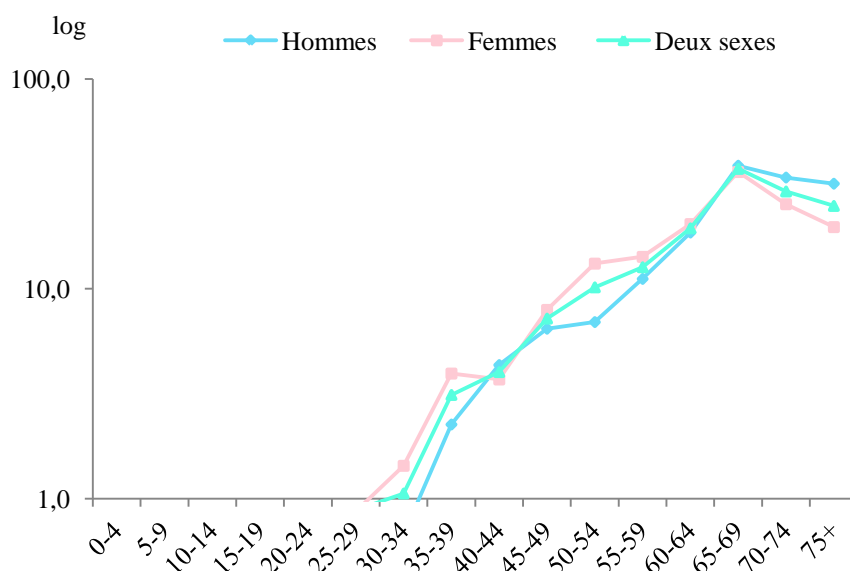


Figure 39 : Incidences spécifiques du cancer du colon selon le sexe pour la période 2013-2017. RCGC

Rectum (C19-20)

Le nombre total de nouveaux cas de cancer du rectum enregistré pendant la période étudiée s'élevait à 846 représentant ainsi 3,4 % de tous les cas enregistrés. Son incidence brute était de 3,9 pour 100000 habitants avec un risque cumulé avant 75 ans de 0,5 %. (Tableau 15)

Tableau 15 : Incidences du cancer du rectum par sexe pour la période 2013-2017. RCGC

| | Hommes | Femmes | Deux sexes |
|--|--------|--------|------------|
| Cas incidents | 432 | 414 | 846 |
| Fréquence ^a (%) | 4,1 | 2,8 | 3,4 |
| Incidence brute /100000 | 4,0 | 3,8 | 3,9 |
| Incidence standardisée sur la population Marocaine /100000 | 3,5 | 3,2 | 3,3 |
| Incidence standardisée sur la population Mondiale /100000 | 4,0 | 3,6 | 3,8 |
| Incidence cumulée 0-64 ans (%) | 0,3 | 0,2 | 0,2 |
| Incidence cumulée 0-74 ans (%) | 0,5 | 0,4 | 0,5 |
| Risque cumulé 0-64 ans (%) | 0,3 | 0,2 | 0,2 |
| Risque cumulé 0-74 ans (%) | 0,5 | 0,4 | 0,5 |

a : proportion calculée par rapport au total des cas enregistrés en fonction du sexe

La classe d'âge comprise entre 60 et 64 avait enregistré le plus grand nombre chez l'homme comparativement aux autres classes d'âge. Chez la femme, la classe 55-59 était la plus représentée. Les sujets de 55 ans et plus représentaient respectivement 66,4 % et 64 % des cas de cancer du rectum chez les hommes et les femmes. (Figure 40)

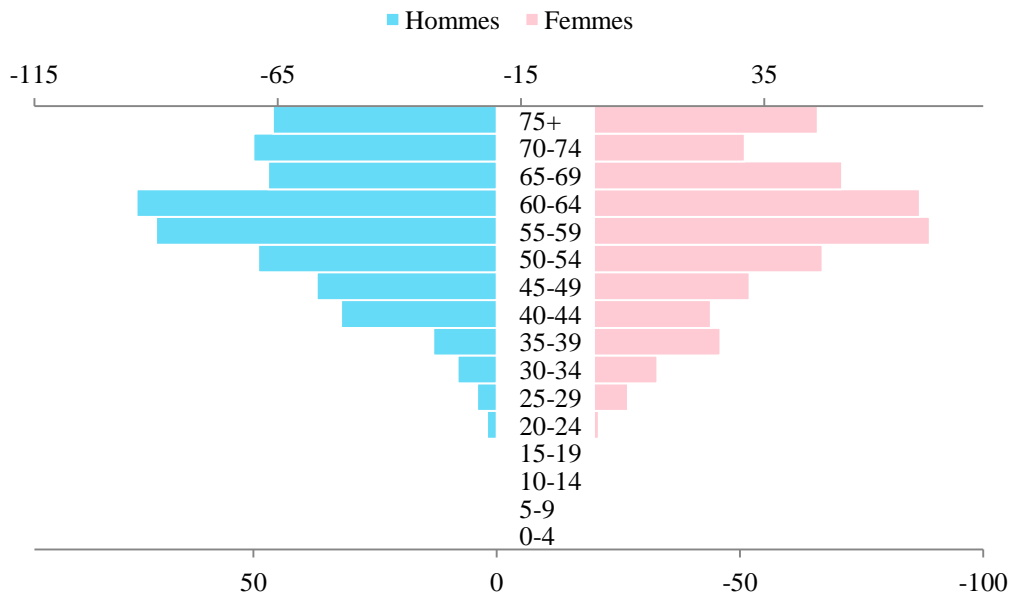


Figure 40 : Répartition des cas incidents du cancer du rectum selon l'âge pour la période 2013-2017. RCGC

Les taux d'incidence spécifique du cancer rectal étaient similaires en comparant les deux sexes. Ces taux augmentaient avec l'âge. Un pic de 31,4 pour 100000 a été enregistré chez les hommes de 70 et 74 versus 21,9 pour 100000 femmes âgées entre 65 et 69 ans. (Figure 41)

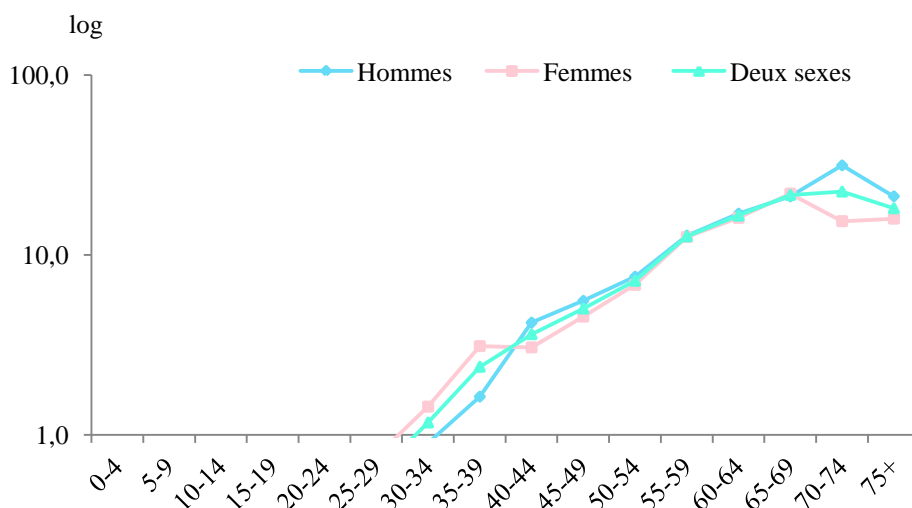


Figure 41 : Incidences spécifiques du cancer du rectum selon le sexe pour la période 2013-2017. RCGC

Anus (C21)

Le cancer de l'anus était moins fréquent que le cancer colorectal avec une proportion de 0,3 % du total des cas enregistrés. Son incidence brute est de moins 1 pour 100000 habitants et une incidence cumulée avant 75 ans de 0,04 %. (Tableau 16)

Tableau 16 : Incidences du cancer de l'anus par sexe pour la période 2013-2017. RCGC

| | Hommes | Femmes | Deux sexes |
|--|--------|--------|------------|
| Cas incidents | 40 | 30 | 70 |
| Fréquence ^a (%) | 0,4 | 0,2 | 0,3 |
| Incidence brute /100000 | 0,4 | 0,3 | 0,3 |
| Incidence standardisée sur la population Marocaine /100000 | 0,3 | 0,2 | 0,3 |
| Incidence standardisée sur la population Mondiale /100000 | 0,4 | 0,3 | 0,3 |
| Incidence cumulée 0-64 ans (%) | 0,02 | 0,01 | 0,02 |
| Incidence cumulée 0-74 ans (%) | 0,05 | 0,03 | 0,04 |
| Risque cumulé 0-64 ans (%) | 0,02 | 0,01 | 0,02 |
| Risque cumulé 0-74 ans (%) | 0,05 | 0,03 | 0,04 |

a : proportion calculée par rapport au total des cas enregistrés en fonction du sexe

Chez les femmes, le plus grand nombre de cas incidents a été enregistré chez celles âgées de 75 et plus, par contre chez les hommes, c'est la classe comprise entre 60 et 64 ans qui était la plus représentée. (Figure 42)



Figure 42 : Répartition des cas incidents du cancer de l'anus selon l'âge pour la période 2013-2017. RCGC

En termes d'incidence spécifique, les taux les plus élevés ont été notés pour la classe 70-74 ans pour l'homme et 75 ans et plus pour la femme. (Figure 43)

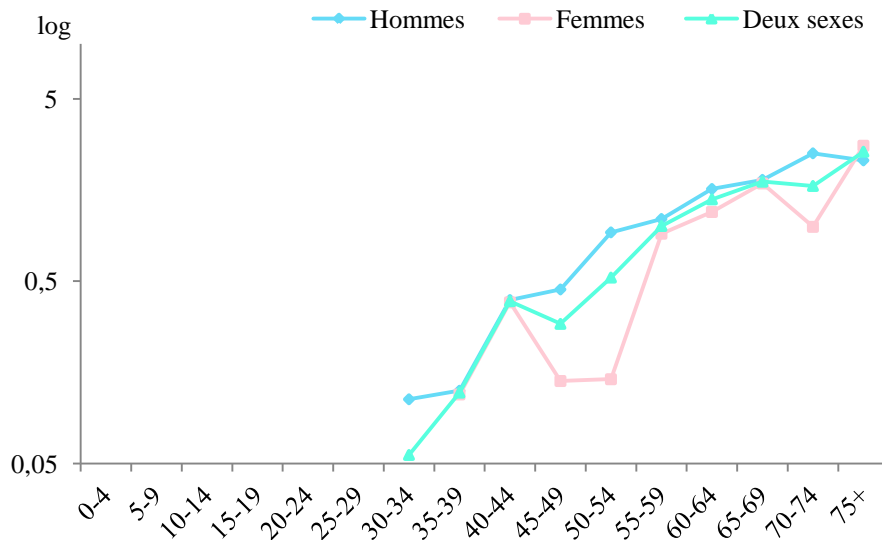


Figure 43 : Incidences spécifiques du cancer de l'anus selon le sexe pour la période 2013-2017. RCGC

Dans la majorité des cas, le cancer de l'anus était de type carcinome épidermoïde soit une proportion de 77,3 % des cas. Les adénocarcinomes et les mélanomes étaient enregistrés respectivement dans 19,7 et 3,0 % des cas. (Figure 44)

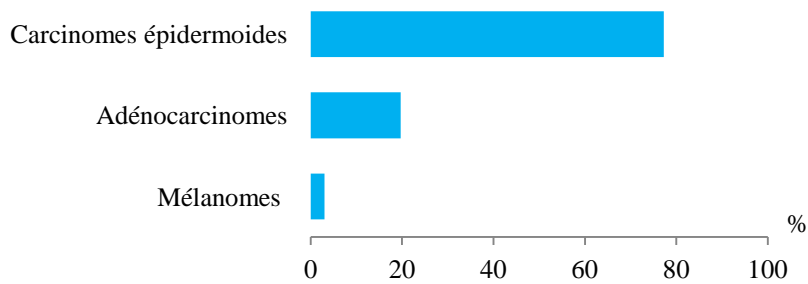


Figure 44 : Répartition des cas du cancer de l'anus selon le type histologique, pour la période 2013-2017. RCGC

Foie (C22)

La localisation hépatique de la maladie cancéreuse a été enregistrée chez 251 sujets durant la période 2013-2017, représentant ainsi 1 % du total des nouveaux cas. Son taux brut était de 1,2 pour 100000 habitants avec une incidence cumulée avant l'âge de 75 ans de 0,1 %. (Tableau 17)

Tableau 17 : Incidences du cancer du foie par sexe pour la période 2013-2017. RCGC

| | Hommes | Femmes | Deux sexes |
|--|--------|--------|------------|
| Cas incidents | 124 | 127 | 251 |
| Fréquence ^a (%) | 1,2 | 0,9 | 1,0 |
| Incidence brute /100000 | 1,2 | 1,2 | 1,2 |
| Incidence standardisée sur la population Marocaine /100000 | 0,8 | 0,8 | 0,8 |
| Incidence standardisée sur la population Mondiale /100000 | 1,2 | 1,1 | 1,1 |
| Incidence cumulée 0-64 ans (%) | 0,05 | 0,05 | 0,05 |
| Incidence cumulée 0-74 ans (%) | 0,11 | 0,12 | 0,12 |
| Risque cumulé 0-64 ans (%) | 0,05 | 0,05 | 0,05 |
| Risque cumulé 0-74 ans (%) | 0,11 | 0,12 | 0,12 |

a : proportion calculée par rapport au total des cas enregistrés en fonction du sexe

Le plus grand nombre de cas de cancer du foie a été enregistré pour la classe de 75 ans et plus, représentant ainsi le tiers du total des cas. Les taux d'incidence spécifique étaient presque similaires pour les deux sexes et augmentaient avec l'âge pour atteindre respectivement un maximum de 18,4 et 12,4 pour 100000 chez les hommes et les femmes (Figure 45, Figure 46)

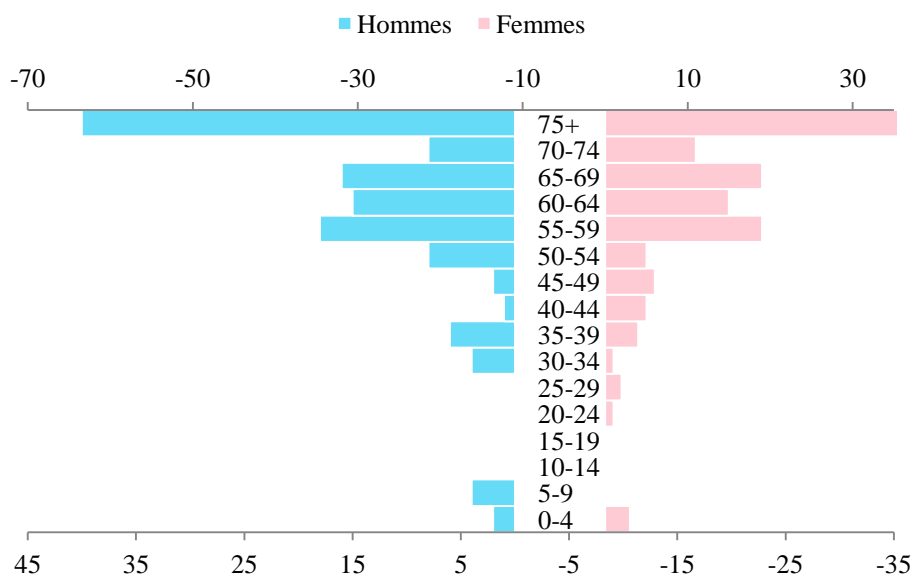


Figure 45 : Répartition de cas incidents du cancer du foie selon l'âge pour la période 2013-2017. RCGC

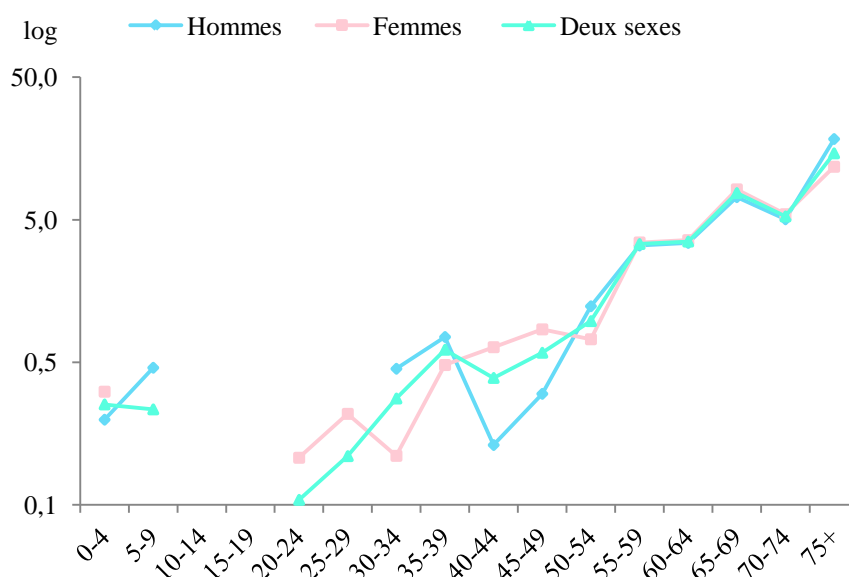


Figure 46 : Incidences spécifiques du cancer du foie selon le sexe pour la période 2013-2017. RCGC

Le Type histologique était inconnu dans environ 23 % des cas. Plus du tiers (40 %) des tumeurs enregistrées pour le foie était de type carcinome hépatocellulaire. Les adénocarcinomes et les carcinomes neuroendocriniens étaient enregistrés dans 19,1 % et 11,4 % des cas. (Figure 47)

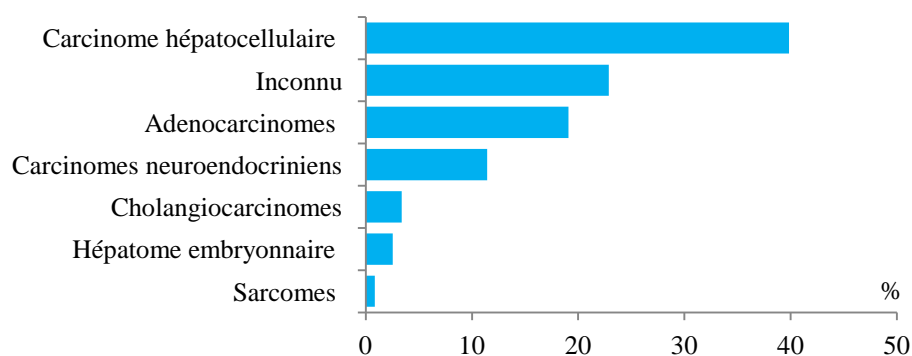


Figure 47 : Répartition des cas du cancer du foie selon le type histologique, pour la période 2013-2017. RCGC

Vésicule biliaire et voies biliaires extra-hépatiques (C23-24)

Durant la période étudiée, un total de 173 cas a été enregistré représentant 0,7 % du total, avec une incidence brute de 0,8 pour 100000 habitants et une incidence cumulée avant l'âge de 64 ans de 0,04 %. (Tableau 18)

Tableau 18 : Incidences du cancer de la vésicule biliaire par sexe pour la période 2013-2017. RCGC

| | Hommes | Femmes | Deux sexes |
|--|--------|--------|------------|
| Cas incidents | 54 | 119 | 173 |
| Fréquence ^a (%) | 0,5 | 0,8 | 0,7 |
| Incidence brute /100000 | 0,5 | 1,1 | 0,8 |
| Incidence standardisée sur la population Marocaine /100000 | 0,4 | 0,8 | 0,6 |
| Incidence standardisée sur la population Mondiale /100000 | 0,5 | 1,0 | 0,8 |
| Incidence cumulée 0-64 ans (%) | 0,03 | 0,06 | 0,04 |
| Incidence cumulée 0-74 ans (%) | 0,06 | 0,12 | 0,09 |
| Risque cumulé 0-64 ans (%) | 0,03 | 0,06 | 0,04 |
| Risque Cumulé 0-74 ans (%) | 0,06 | 0,12 | 0,09 |

a : proportion calculée par rapport au total des cas enregistrés en fonction du sexe

Pour le sexe masculin, un pic du nombre de cas incidents a été enregistré pour les classes d'âge 50-54 ans, 65-69 ans et la classe des plus de 75ans. Chez la femme, le premier pic concernait les sujets âgés entre 55 et 59 ans et le deuxième chez les femmes ayant 75 ans ou plus. (Figure 48)

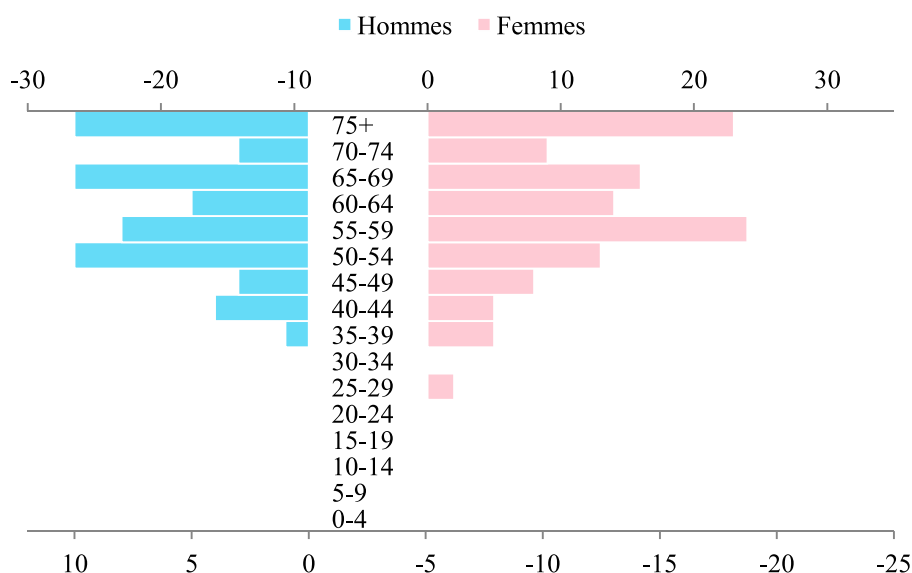


Figure 48 : Répartition des cas incidents du cancer de la vésicule biliaire selon l'âge pour la période 2013-2017. RCGC

Les taux d'incidence spécifiques enregistrés chez la femme étaient plus élevés comparativement à ceux de l'homme. Une tendance vers l'augmentation avec l'âge a été notée avec les taux les plus élevés chez les femmes et chez les hommes de 75 ans et plus. (Figure 49)

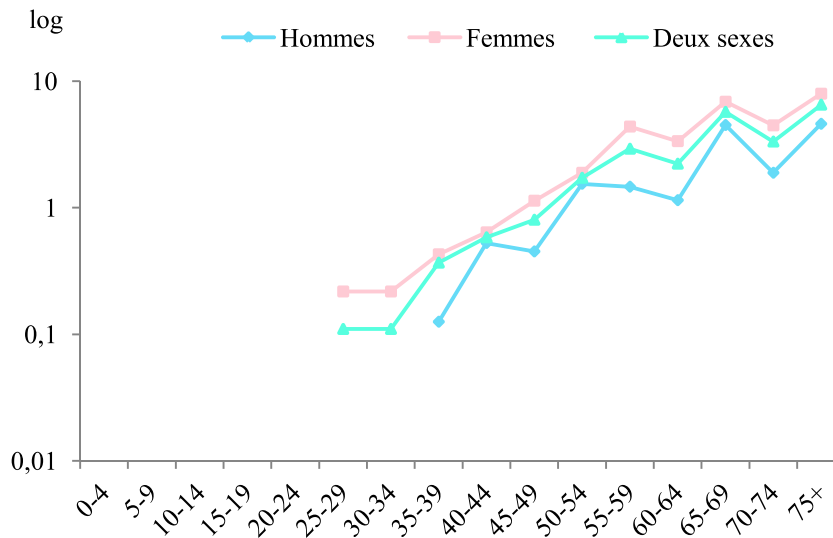


Figure 49 : Incidences spécifiques du cancer de la vésicule biliaire selon le sexe pour la période 2013-2017. RCGC

L'adénocarcinome représentait le type histologique le plus fréquent pour le cancer de la vésicule biliaire avec une proportion de 77,7 % des cas. (Figure 50)

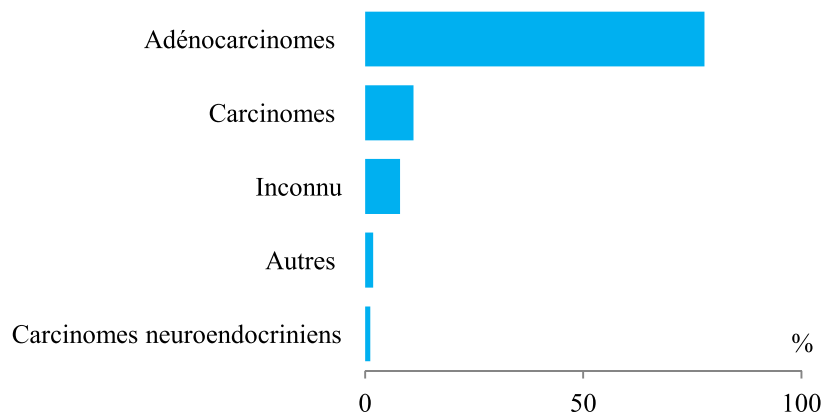


Figure 50 : Répartition des cas du cancer de la vésicule biliaire selon le type histologique, pour la période 2013-2017. RCGC

Pancréas (C25)

Durant la période étudiée, un total de 490 cas de cancer du pancréas a été enregistré représentant ainsi 1,9 % de tous les cas de cancer quelque soit sa localisation. Son taux brut était de 2,3 pour 100000 habitants (2,7 Pour 100000 chez l'homme versus 1,9 chez la femme). L'incidence cumulée avant l'âge de 74 ans était de 0,3 %. (Tableau 19)

Tableau 19 : Incidences du cancer du pancréas par sexe pour la période 2013-2017. RCGC

| | Hommes | Femmes | Deux sexes |
|--|--------|--------|------------|
| Cas incidents | 287 | 203 | 490 |
| Fréquence (%) | 2,7 | 1,4 | 1,9 |
| Incidence brute /100000 | 2,7 | 1,9 | 2,3 |
| Incidence standardisée sur la population Marocaine /100000 | 2,3 | 1,5 | 1,9 |
| Incidence standardisée sur la population Mondiale /100000 | 2,8 | 1,8 | 2,3 |
| Incidence cumulée 0-64 ans (%) | 0,15 | 0,10 | 0,13 |
| Incidence cumulée 0-74 ans (%) | 0,36 | 0,23 | 0,29 |
| Risque cumulé 0-64 ans (%) | 0,15 | 0,10 | 0,13 |
| Risque cumulé 0-74 ans (%) | 0,36 | 0,23 | 0,29 |

a : proportion calculée par rapport au total des cas enregistrés en fonction du sexe

La classe d'âge enregistrant le nombre de cas le plus élevé était celle comprise entre 60 et 64 ans pour les deux sexes, suivie de la classe 65-69 ans pour les hommes et celle de 75 ans et plus pour les femmes. (Figure 51)

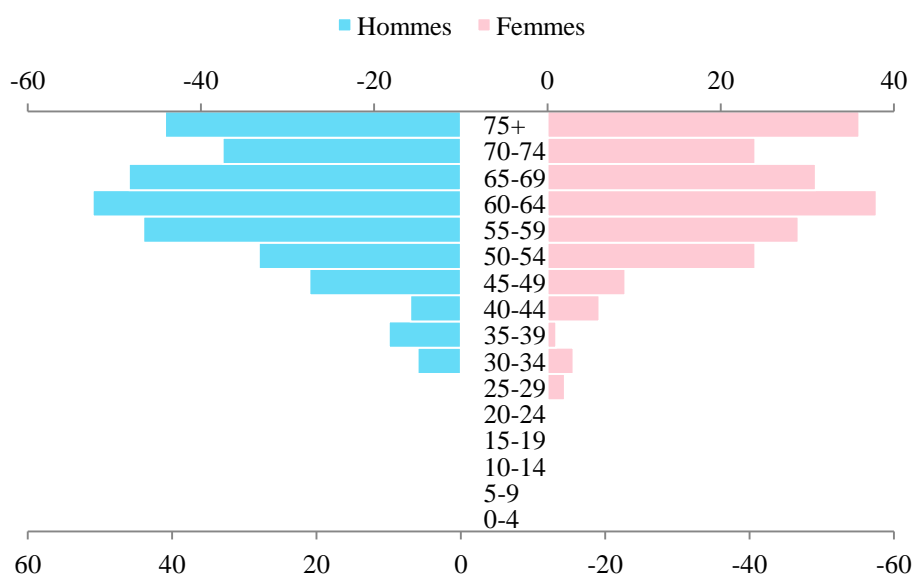


Figure 51 : Répartition du nombre de cas de cancer du pancréas en fonction des classes d'âge et du sexe pour la période 2013-2017. RCGC

Les taux d'incidence spécifique du cancer du pancréas étaient légèrement plus élevés chez l'homme comparativement à ceux de la femme. Ces taux augmentaient avec l'âge passant par un pic noté pour la classe d'âge 65-69 ans respectivement de 20,7 et 13,3 pour 100000 chez les hommes et les femmes. (Figure 52)

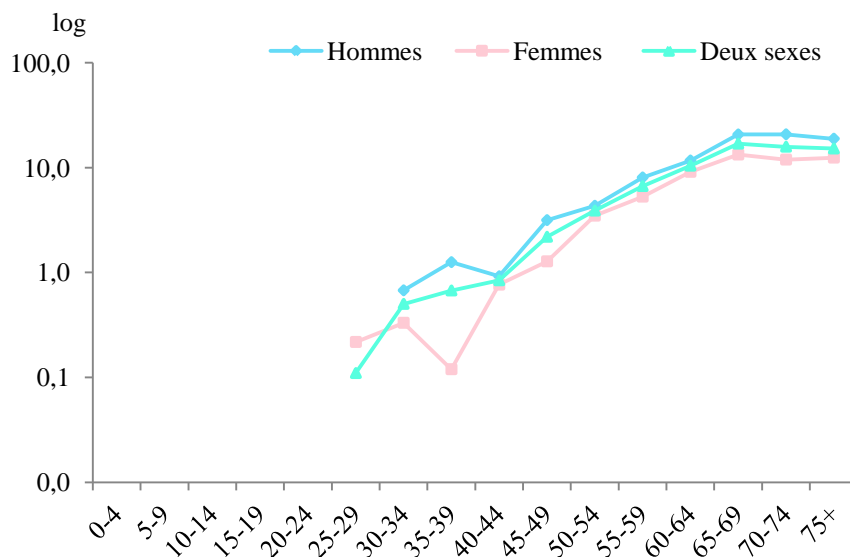


Figure 52 : Incidences spécifiques du cancer du pancréas selon le sexe pour la période 2013-2017. RCGC

La majorité des cancers du pancréas était des adénocarcinomes avec une proportion de 50,5 % des cas. Le type histologique de la tumeur n'était pas connu dans 30 % des cas. (Figure 53)

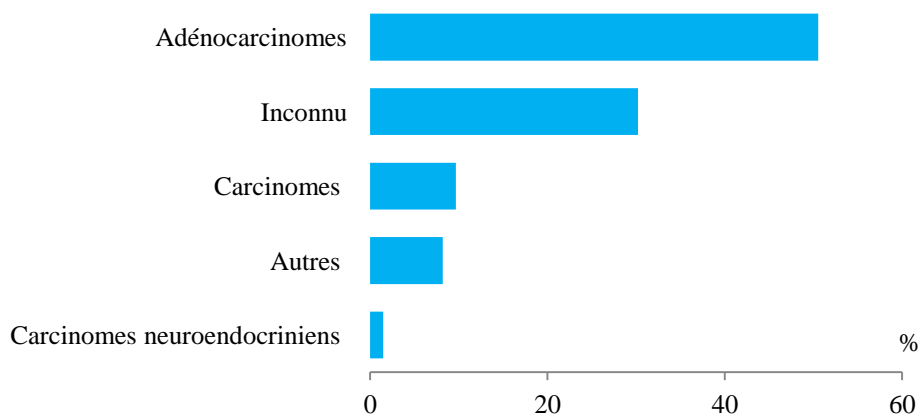


Figure 53 : Répartition des cas de cancer du pancréas selon le type histologique, pour la période 2013-2017. RCGC

**Système respiratoire et organes
intra-thoraciques (C30 - 39, C45)**

REGISTRE DES CANCERS

**de la Région
du Grand Casablanca**

**Rapport d'Incidence
2013 - 2017**

Système respiratoire et organes intra-thoraciques (C30-39, C45)

Dans ce groupe, ont été incluses les localisations suivantes :

| Organes | Code CIM-O-3 |
|---|--------------|
| Fosse nasale et oreille moyenne | C30 |
| Sinus annexes de la face | C31 |
| Larynx | C32 |
| Trachée | C33 |
| Bronches et poumon | C34 |
| Thymus | C37 |
| Cœur, Médiastin et plèvre | C38 |
| Autres localisations mal définies de l'appareil respiratoire et des organes intra-thoraciques | C39 |

Un total de 3665 cas de cancer a été enregistré au niveau du système respiratoire et des organes intra-thoraciques, représentant ainsi 14,6 % de tous les cancers tout sexe confondu et environ 30 % des cancers de l'homme. Le taux d'incidence brut pour ce groupe s'élevait à 17 pour 100000 habitants. Cette incidence était plus élevée chez l'homme que chez la femme avec des taux d'incidence brute respectifs de 29,3 et 5,0 pour 100000. L'incidence cumulée avant 75 ans était de 4 % chez l'homme et de 0,6 % chez la femme. (Tableau 20)

Tableau 20 : Incidences des cancers du système respiratoire et les organes intra-thoraciques par sexe pour la période 2013-2017. RCGC

| | Hommes | Femmes | Deux sexes |
|--|--------|--------|------------|
| Cas incidents | 3127 | 538 | 3665 |
| Fréquence (%) | 29,6 | 3,7 | 14,6 |
| Incidence brute /100000 | 29,3 | 5,0 | 17,0 |
| Incidence standardisée sur la population Marocaine /100000 | 25,0 | 4,1 | 14,3 |
| Incidence standardisée sur la population Mondiale /100000 | 29,9 | 4,7 | 16,8 |
| Incidence cumulée 0-64 ans (%) | 1,8 | 0,3 | 1,1 |
| Incidence cumulée 0-74 ans (%) | 3,9 | 0,6 | 2,2 |
| Risque cumulé 0-64 ans (%) | 1,8 | 0,3 | 1,1 |
| Risque cumulé 0-74 ans (%) | 3,9 | 0,6 | 2,2 |

a : proportion calculée par rapport au total des cas enregistrés en fonction du sexe

En termes de nombre de cas incidents, la classe d'âge comprise entre 55 et 59 ans était la plus touchée chez l'homme et celle comprise entre 60 et 64 ans chez la femme. Les sujets âgés entre 55 ans et 69 ans représentaient plus des trois quarts des cas chez l'homme, soit 77,3 % versus 69,9 % chez la femme. (Figure 54)

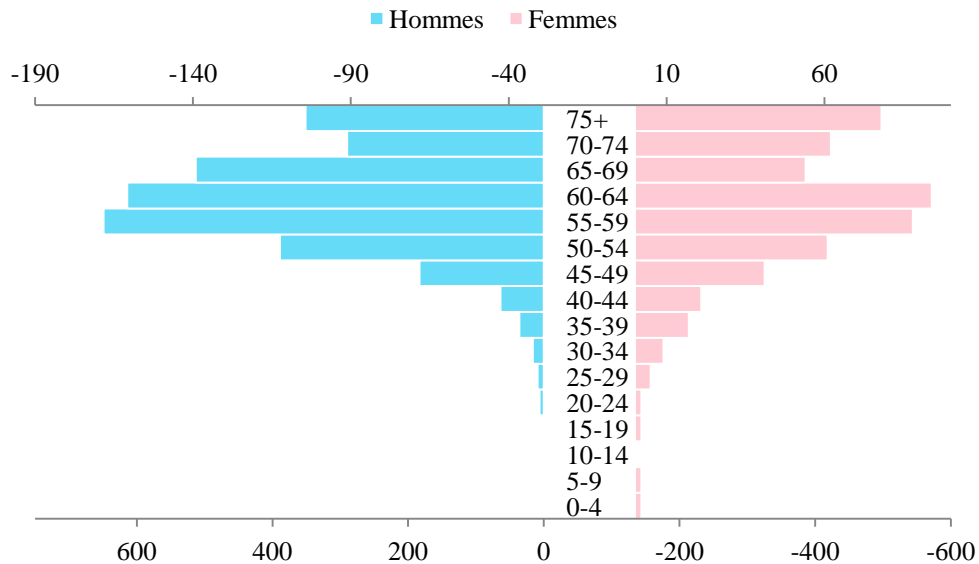


Figure 54 : Répartition du nombre de cas des cancers du système respiratoires et des organes intra-thoraciques en fonction des classes d'âge et du sexe pour la période 2013-2017. RCGC

Généralement les taux d'incidence spécifique observés chez l'homme étaient plus élevés comparés à ceux enregistrés chez la femme. Ces taux augmentaient avec l'âge tout en passant par un pic d'incidence de 230,6 pour 100000 chez les hommes âgés entre 65 et 69 ans et de 30,8 pour 100000 chez les femmes de la classe 70-74 ans. (Figure 55)

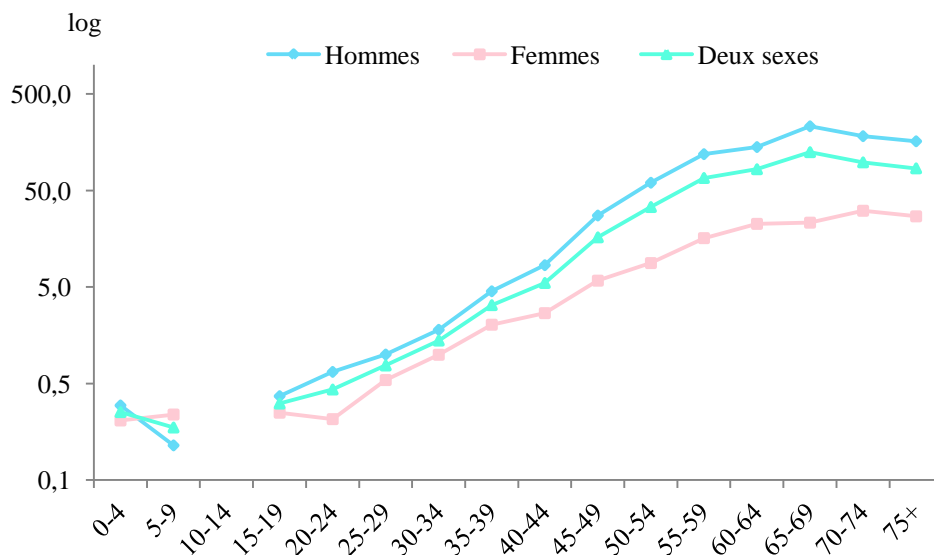


Figure 55 : Incidences spécifiques des cancers du système respiratoires et des organes intra-thoraciques selon le sexe pour la période 2013-2017. RCGC

La majorité des cancers enregistrés pour ce groupe d'organes était localisée dans le poumon, les bronches et la trachée avec respectivement des proportions de 86,3 % et 79,2 % chez les hommes et les femmes. (Figure 56, Figure 57)

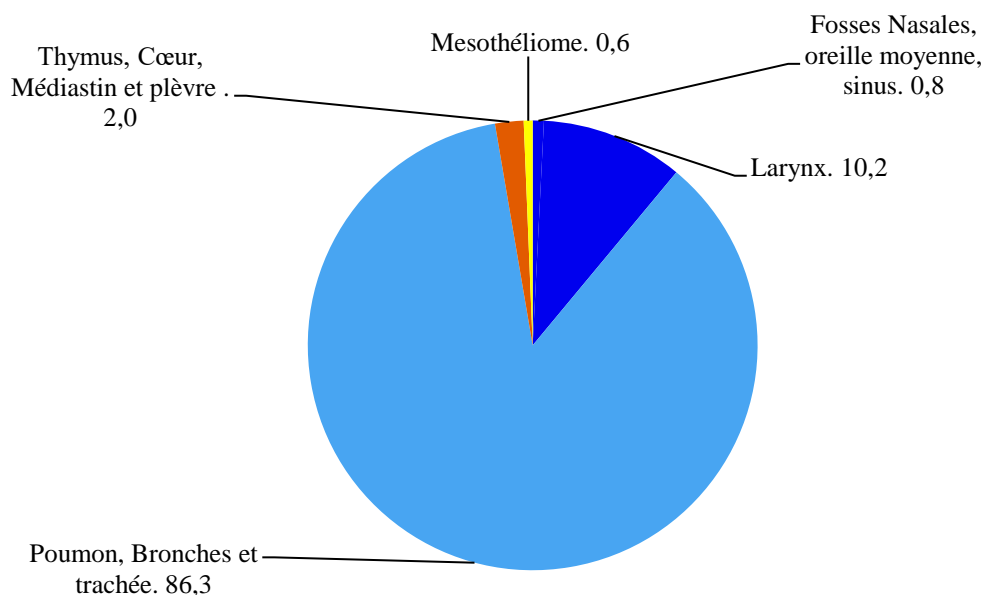


Figure 56 : Fréquences (%) des différentes localisations du cancer au sein du groupe C30-39 et C45 chez les hommes durant la période 2013-2017. RCGC

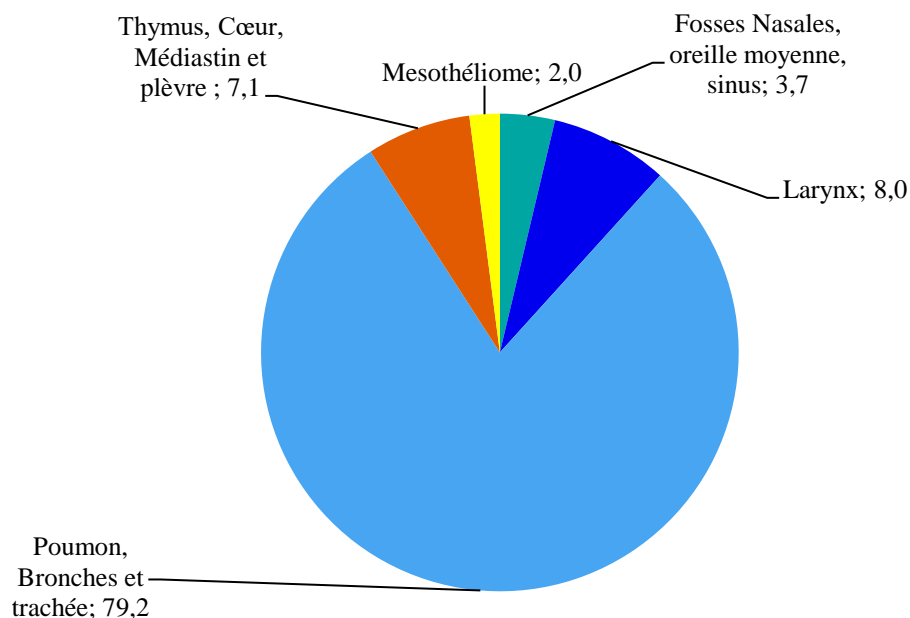


Figure 57 : Fréquences (%) des différentes localisations du cancer au sein du groupe C30-39 et C45 chez les femmes durant la période 2013-2017. RCGC

Larynx C32

Durant la période 2013-2017, 363 nouveaux cas de cancer du larynx ont été enregistrés représentant 1,4 % du total des nouveaux cas avec une incidence brute de 1,7 pour 100000 habitants, ce taux était un peu plus élevé chez l'homme que chez la femme soit 3 versus 0,4 pour 100000 respectivement. L'incidence cumulée 0-64 ans était 0,2 % chez l'homme versus 0,02 % pour la femme. (Tableau 21)

Tableau 21 : Incidences du cancer du larynx par sexe pour la période 2013-2017. RCGC

| | Hommes | Femmes | Deux sexes |
|--|--------|--------|------------|
| Cas incidents | 320 | 43 | 363 |
| Fréquence (%) ^a | 3,0 | 0,3 | 1,4 |
| Incidence brute /100000 | 3,0 | 0,4 | 1,7 |
| Incidence standardisée sur la population Marocaine /100000 | 2,5 | 0,3 | 1,4 |
| Incidence standardisée sur la population Mondiale /100000 | 3,1 | 0,4 | 1,7 |
| Incidence cumulée 0-64 ans (%) | 0,18 | 0,02 | 0,10 |
| Incidence cumulée 0-74 ans (%) | 0,39 | 0,04 | 0,21 |
| Risque cumulé 0-64 ans (%) | 0,18 | 0,02 | 0,10 |
| Risque cumulé 0-74 ans (%) | 0,39 | 0,04 | 0,21 |

a : proportion calculée par rapport au total des cas enregistrés en fonction du sexe

Chez l'homme les cas enregistrés étaient généralement âgés entre 55 et 69 ans représentant ainsi 68,1 % des cas. Chez les femmes, les plus grands nombres de cas ont été enregistrés pour les classes d'âge 60-64 et 75 ans et plus. (Figure 58)



Figure 58 : Répartition du nombre de cas des cancers du larynx en fonction des classes d'âge et du sexe pour la période 2013-2017. RCGC

La Figure 59, montre des taux d'incidence spécifique du cancer du larynx plus élevés chez l'homme que chez la femme qui augmentaient avec l'âge pour atteindre un maximum de 22,5 et 3,8 pour 100000 respectivement chez les hommes et les femmes âgés de 75 ans et plus. (Figure 59)

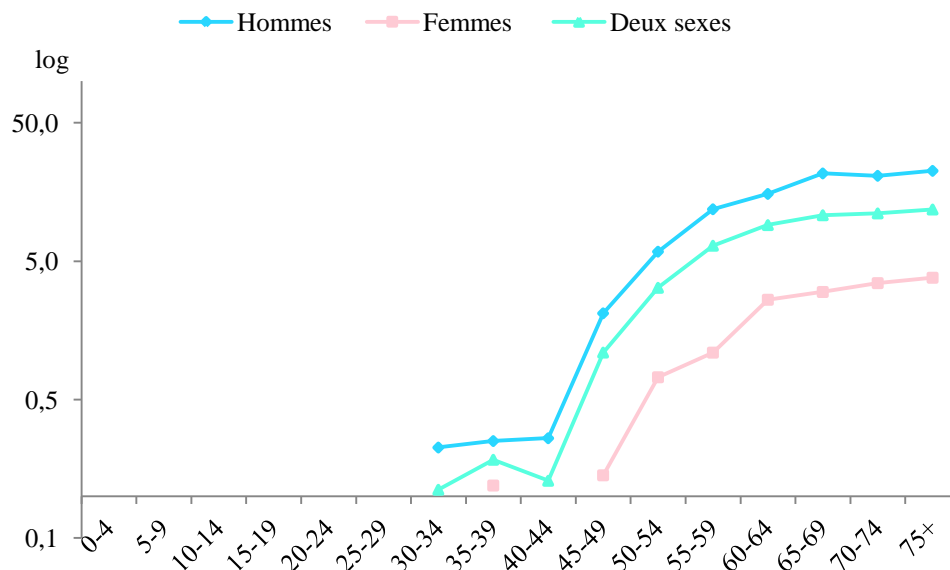


Figure 59 : Incidences spécifiques des cancers du larynx selon le sexe pour la période 2013-2017. RCGC

Le type histologique des cancers du larynx était dominé par le carcinome épidermoïde qui représentait 91 % des cas. Le carcinome épidermoïde sans aucune autre indication était retrouvé dans 65 % des cas, le type non kératinisant était retrouvé dans 24 % des cas et le type kératinisant dans 1,7 % des cas. (Figure 60)

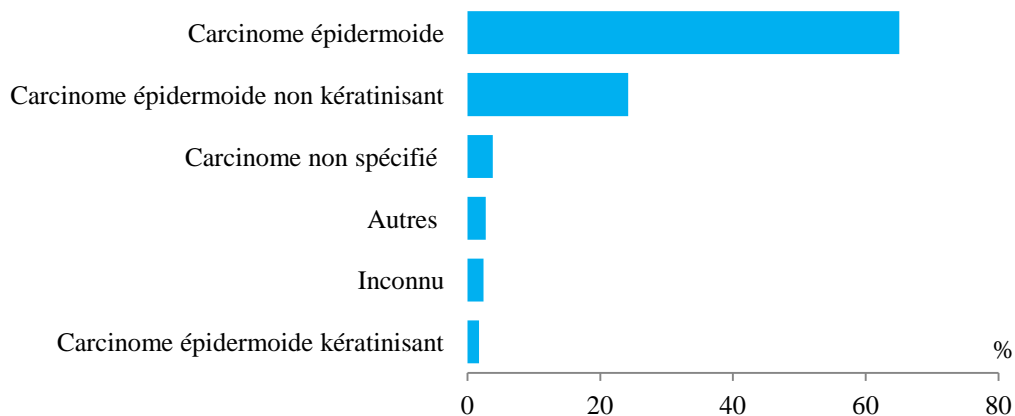


Figure 60 : Répartition des cas de cancer du Larynx selon le type histologique de la tumeur, pour la période 2013-2017. RCGC

Trachée, bronches et poumon C33-34

Le cancer pulmonaire regroupe toutes les tumeurs malignes survenant au niveau des poumons, des bronches ou de la trachée. Ainsi, un total de 3124 nouveaux cas de cancer pulmonaire a été enregistré représentant 12,4 % du total des cas incidents. Une prédominance du sexe masculin a été notée, constituant ainsi 26 % environ de tous les cancers de l'homme versus 2,9 % de tous les cancers de la femme. Son incidence brute était de 25,3 pour 100000 chez l'homme et de 3,9 pour 100000 chez la femme. (Tableau 22)

Tableau 22 : Incidences du cancer du poumon par sexe pour la période 2013-2017. RCGC

| | Hommes | Femmes | Deux sexes |
|--|--------|--------|------------|
| Cas incidents | 2698 | 426 | 3124 |
| Fréquence (%) | 25,6 | 2,9 | 12,4 |
| Incidence brute /100000 | 25,3 | 3,9 | 14,5 |
| Incidence standardisée sur la population Marocaine /100000 | 21,6 | 3,2 | 12,2 |
| Incidence standardisée sur la population Mondiale /100000 | 25,8 | 3,7 | 14,4 |
| Incidence cumulée 0-64 ans (%) | 1,58 | 0,25 | 0,91 |
| Incidence cumulée 0-74 ans (%) | 3,37 | 0,45 | 1,86 |
| Risque cumulé 0-64 ans (%) | 1,57 | 0,24 | 0,91 |
| Risque cumulé 0-74 ans (%) | 3,31 | 0,45 | 1,84 |

a : proportion calculée par rapport au total des cas enregistrés en fonction du sexe

Les classes d'âge ayant enregistré plus de cas de cancer pulmonaire étaient celles comprises entre 55 et 69 ans chez l'homme représentant ainsi 57 % des cas et 56 % des cas pour les deux sexes. (Figure 61)

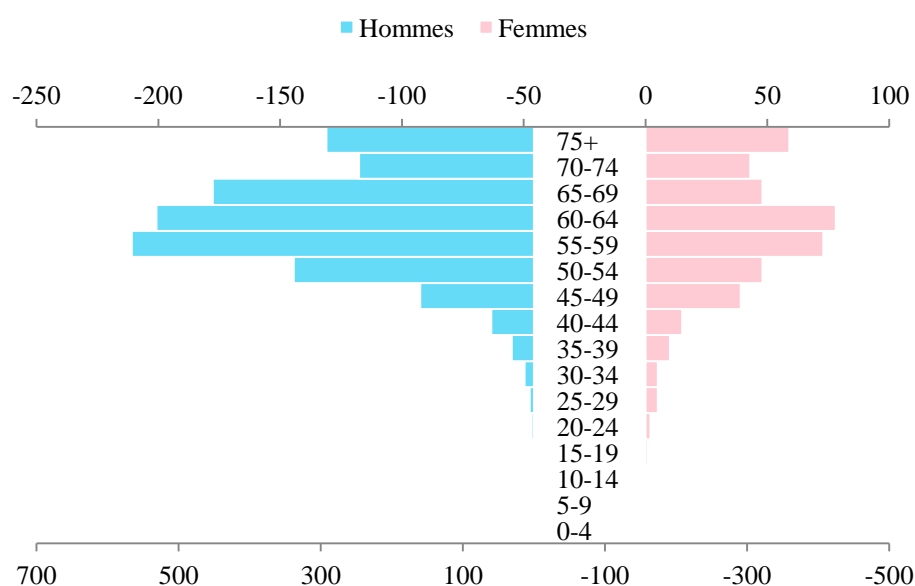


Figure 61 : Répartition du nombre de cas des cancers du poumon en fonction des classes d'âge et du sexe pour la période 2013-2017. RCGC

Les taux d'incidence spécifique étaient très élevés chez l'homme comparés à ceux de la femme. Ces taux augmentaient avec l'âge enregistrant un pic de 203,2 pour 100000 hommes à 65-69 ans. (Figure 62)

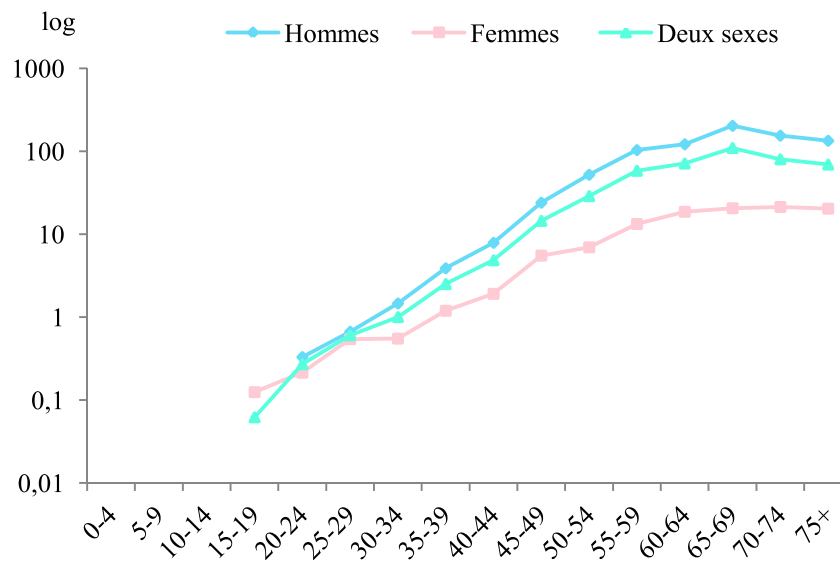


Figure 62 : Incidences spécifiques du cancer pulmonaire selon le sexe pour la période 2013-2017. RCGC

Le type histologique des cancers du poumon était dominé par l'adénocarcinome qui représentait 43,3 % des cas. Le carcinome non spécifié (sans aucune autre indication) était retrouvé dans 24,6 % des cas et le carcinome épidermoïdes était noté dans 14,6 % des cas. Le type histologique était inconnu dans environ 12 % des cas. (Figure 63)

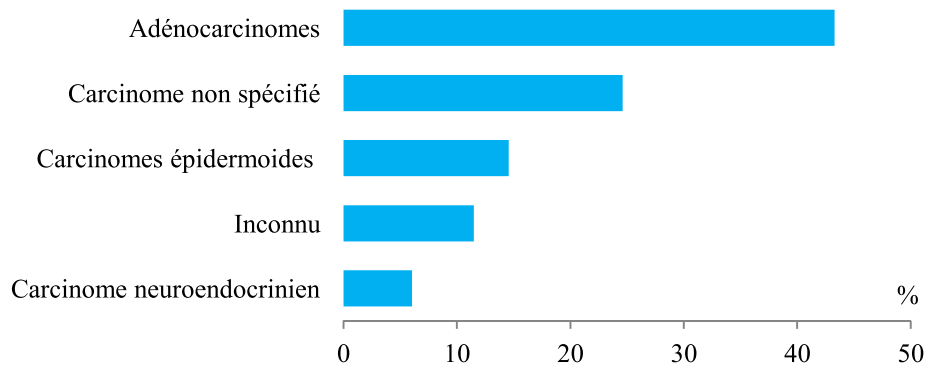


Figure 63 : Répartition des cas de cancer du poumon selon le type histologique de la tumeur, pour la période 2013-2017. RCGC

Le stade au moment du diagnostic était renseigné dans 48 % des cas avec presque 76,5 % des cas diagnostiqués à un stade IV. (Figure 64)

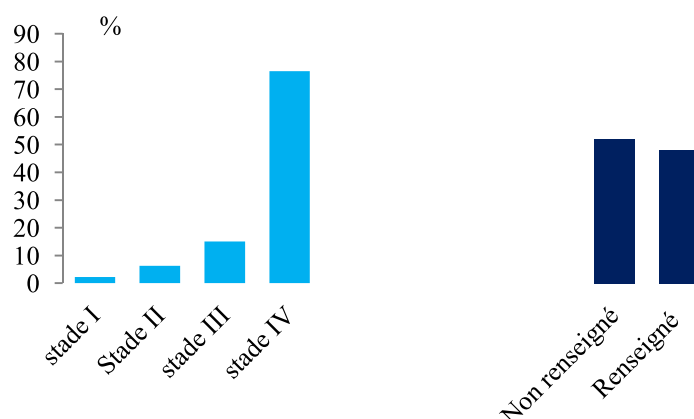


Figure 64 : Répartition des cas de cancer du poumon selon le stade au moment du diagnostic, pour la période 2013-2017.RCGC

Mésothéliome C45

Peu de cas de mésothéliome ont été enregistrés au niveau de la zone couverte durant les cinq années rapportées. Le nombre de cas incidents était de 31 cas soit une fréquence de 0,1 % du total des cas de cancers enregistrés. Son taux d'incidence brut était de 0,1 pour 100000 habitants avec une incidence cumulée de 0,02 % avant l'âge de 75 ans. (Tableau 23)

Tableau 23 : Incidences du mésothéliome par sexe pour la période 2013-2017. RCGC

| | Hommes | Femmes | Deux sexes |
|--|--------|--------|------------|
| Cas incidents | 20 | 11 | 31 |
| Fréquence ^a (%) | 0,2 | 0,1 | 0,1 |
| Incidence brute /100000 | 0,2 | 0,1 | 0,1 |
| Incidence standardisée sur la population Marocaine /100000 | 0,1 | 0,1 | 0,1 |
| Incidence standardisée sur la population Mondiale /100000 | 0,2 | 0,1 | 0,1 |
| Incidence cumulée 0-64 ans (%) | 0,01 | 0,00 | 0,01 |
| Incidence cumulée 0-74 ans (%) | 0,03 | 0,02 | 0,02 |
| Risque cumulé 0-64 ans (%) | 0,01 | 0,00 | 0,01 |
| Risque cumulé 0-74 ans (%) | 0,03 | 0,02 | 0,02 |

a : proportion calculée par rapport au total des cas enregistrés en fonction du sexe

Les nouveaux cas de mésothéliome étaient principalement notés pour les hommes âgés entre 60 et 64 ans et les femmes âgées entre 70 et 74 ans. (Figure 65)

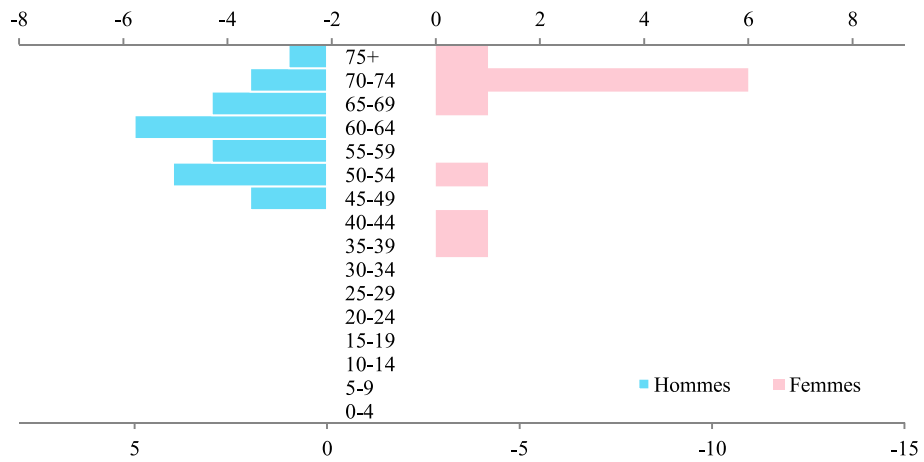


Figure 65 : Répartition du nombre de cas de mésothéliome en fonction des classes d'âge et du sexe pour la période 2013-2017. RCGC

Les courbes des taux d'incidence spécifique avaient montré un pic pour la classe d'âge 70 -74 ans pour les hommes et les femmes avec respectivement 1,3 et 3 pour 100000. (Figure 66)

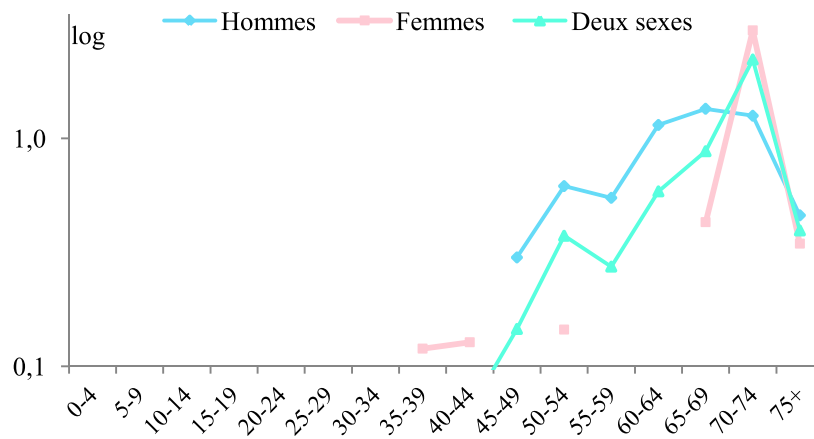


Figure 66 : Incidences spécifiques du mésothéliome selon le sexe pour la période 2013-2017. RCGC

Os C40 - 41

REGISTRE DES CANCERS

de la Région
du Grand Casablanca

Rapport d'Incidence
2013 - 2017

Os C40-41

Un total de 166 cas de cancer de l'os a été enregistré durant la période étudiée, soit une fréquence de 0,7 % du total des cancers enregistrés. Le taux d'incidence brute ne dépassait pas 0,8 pour 100000 habitants et l'incidence cumulée de 0 à 74 ans était de 0,07 %. (Tableau 24)

Tableau 24 : Incidences du cancer de l'os et des articulations par sexe pour la période 2013-2017. RCGC

| | Hommes | Femmes | Deux sexes |
|--|--------|--------|------------|
| Cas incidents | 89 | 77 | 166 |
| Fréquence (%) ^a | 0,8 | 0,5 | 0,7 |
| Incidence brute /100000 | 0,8 | 0,7 | 0,8 |
| Incidence standardisée sur la population Marocaine /100000 | 0,8 | 0,7 | 0,8 |
| Incidence standardisée sur la population Mondiale /100000 | 0,9 | 0,7 | 0,8 |
| Incidence cumulée 0-64 ans (%) | 0,06 | 0,04 | 0,05 |
| Incidence cumulée 0-74 ans (%) | 0,07 | 0,06 | 0,07 |
| Risque cumulé 0-64 ans (%) | 0,06 | 0,04 | 0,05 |
| Risque cumulé 0-74 ans (%) | 0,07 | 0,06 | 0,07 |

a : proportion calculée par rapport au total des cas enregistrés en fonction du sexe

La répartition des cas du cancer de l'os avait montré une distribution bimodale pour les deux sexes. Une première classe modale a été enregistrée chez les filles et les garçons âgés entre 15-19 ans. La deuxième classe modale a été notée chez les adultes de sexe masculin âgés entre 60 et 64 ans et entre 55 et 59 ans pour le sexe féminin. (Figure 67)

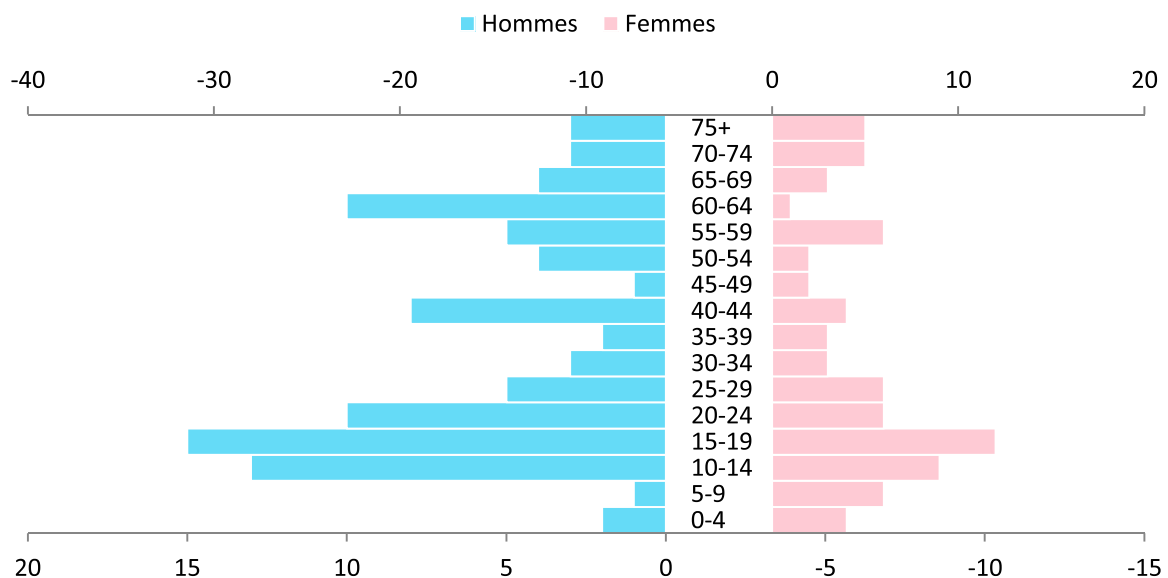


Figure 67 : Répartition du nombre de cas du cancer de l'os et des articulations en fonction des classes d'âge et du sexe pour la période 2013-2017. RCGC

Les taux d'incidence spécifique avaient enregistré deux pics, le premier de 1,9 pour 100000 garçons et 1,5 pour 100000 filles, intéressant les adolescents âgés de 15 à 19 ans et le deuxième à l'âge de 60-64 ans chez les hommes et 70-74 ans chez les femmes avec les taux respectifs de 2,3 et 2,5 pour 100000. (Figure 68)

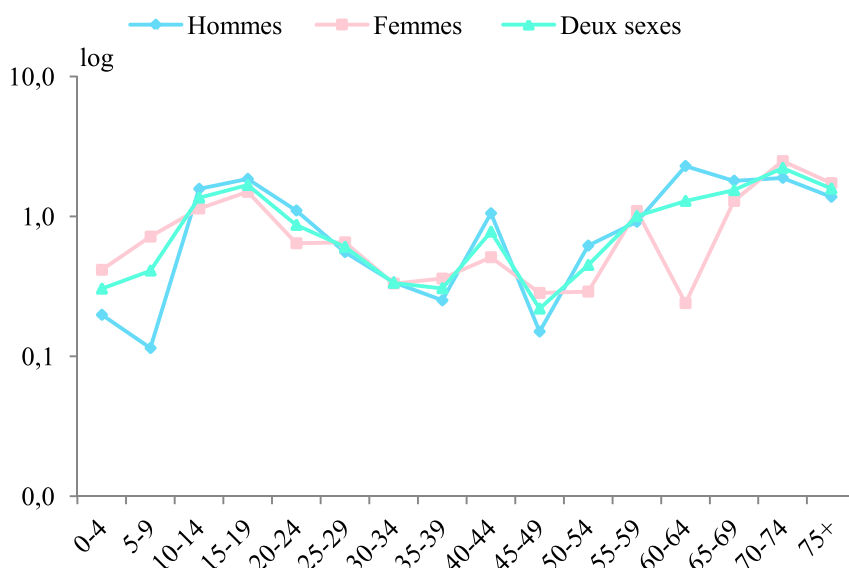


Figure 68 : Incidences spécifiques des cancers de l'os et des articulations selon le sexe pour la période 2013-2017. RCGC

Environ 30 % des cancers de l'os enregistrés étaient de type ostéosarcome et 27,2 % étaient des sarcomes d'Ewing. Les sarcomes sans aucune autre indication étaient enregistrés dans 12 % des cas. (Figure 69)

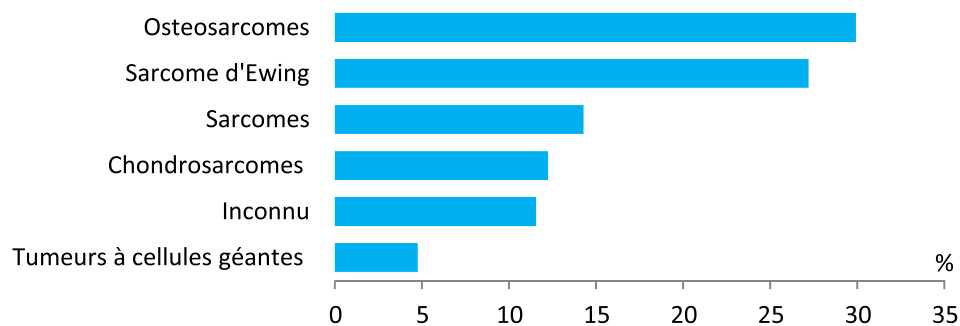


Figure 69 : Répartition des cas de l'os et des articulations selon le type histologique de la tumeur, pour la période 2013-2017. RCGC

Peau C43-44

REGISTRE DES CANCERS

de la Région
du Grand Casablanca

Rapport d'Incidence
2013 - 2017

Peau C43-44

Dans ce groupe, ont été inclus les cancers suivants :

| Organes | Code CIM-O-3 |
|-----------------------------|--------------|
| Mélanome | C43 |
| Peau autres que le mélanome | C44 |

L'atteinte de la peau par la maladie cancéreuse a été enregistrée chez 408 sujets durant la période étudiée, représentant ainsi une fréquence de 1,6 % de toutes les localisations du cancer. Son taux brut ne dépassait pas 2,1 pour 100000 hommes versus 1,7 pour 100000 femmes avec une incidence cumulée avant l'âge de 75 ans de 0,19 %. (Tableau 25)

Tableau 25 : Incidences du cancer de la peau par sexe pour la période 2013-2017. RCGC

| | Hommes | Femmes | Deux sexes |
|--|--------|--------|------------|
| Cas incidents | 222 | 186 | 408 |
| Fréquence ^a (%) | 2,1 | 1,3 | 1,6 |
| Incidence brute /100000 | 2,1 | 1,7 | 1,9 |
| Incidence standardisée sur la population Marocaine /100000 | 1,6 | 1,3 | 1,4 |
| Incidence standardisée sur la population Mondiale /100000 | 2,1 | 1,5 | 1,8 |
| Incidence cumulée 0-64 ans (%) | 0,11 | 0,09 | 0,10 |
| Incidence cumulée 0-74 ans (%) | 0,23 | 0,15 | 0,19 |
| Risque cumulé 0-64 ans (%) | 0,11 | 0,09 | 0,10 |
| Risque cumulé 0-74 ans (%) | 0,23 | 0,15 | 0,19 |

a : proportion calculée par rapport au total des cas enregistrés en fonction du sexe

La distribution des cas de cancer de la peau se présentait avec deux classes modales, la première concernait les femmes et les hommes âgés de 75 ans et plus tout en représentant 23 % et 26 % du total des cas de cancer de la peau chez les hommes et les femmes de manière respective, et la deuxième concernait les sujets âgés entre 60 et 64 ans chez les deux sexes . (Figure 70)

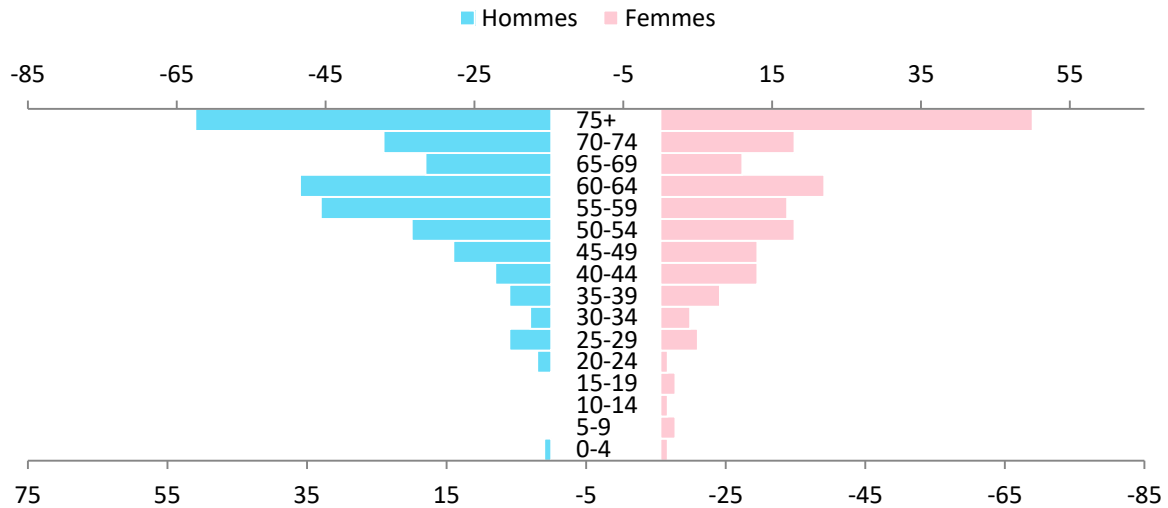


Figure 70 : Répartition du nombre de cas du cancer de la peau en fonction des classes d'âge et du sexe pour la période 2013-2017. RCGC

Les taux d'incidence spécifique des cancers de la peau augmentaient avec l'âge pour atteindre un taux d'incidence spécifique maximal chez les sujets âgés de 75 ans et plus. Ce taux était de 23,4 pour 100000 hommes et 17,3 pour 100000 femmes. (Figure 71)

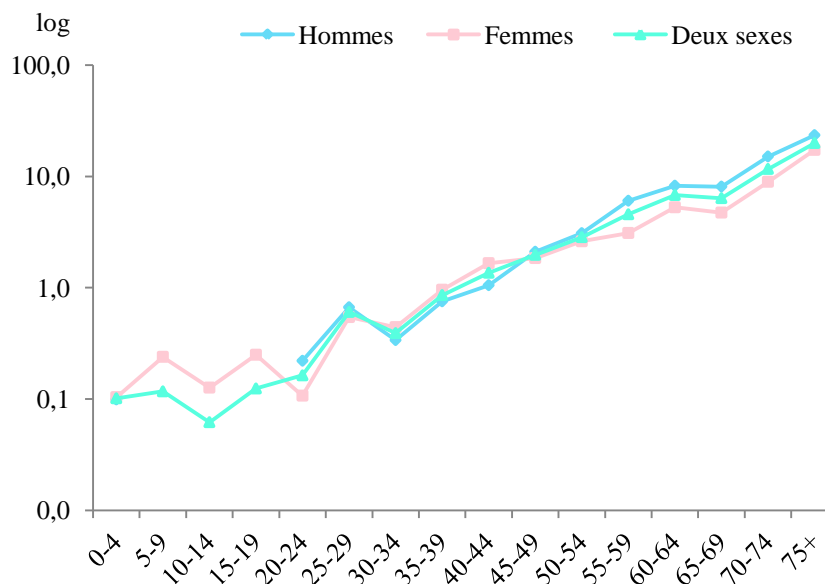


Figure 71 : Incidences spécifiques des cancers de la peau selon le sexe pour la période 2013-2017. RCGC

Les types histologiques les plus fréquents pour les cancers de la peau étaient les carcinomes épidermoïdes avec une fréquence de 35 % suivis des mélanomes avec une proportion de 20,1 %. Les carcinomes basocellulaires représentaient environ 13 % des cas. (Figure 72)

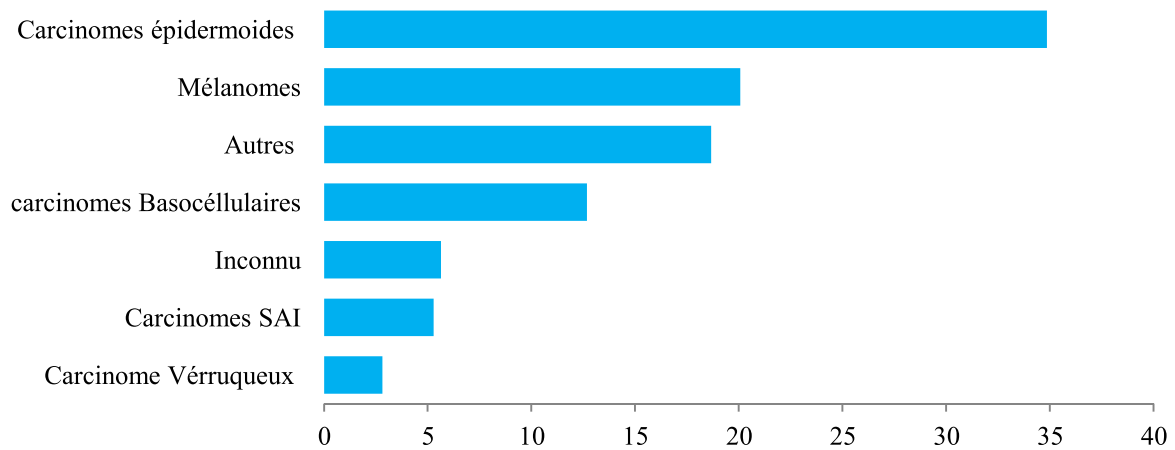


Figure 72 : Répartition des cas de cancer de la peau selon le type histologique de la tumeur, pour la période 2013-2017. RCGC

Le mélanome, représentait respectivement 16,7 % et 23,7 % des cas de cancer de la peau chez les hommes et les femmes (Figure 73, Figure 74)

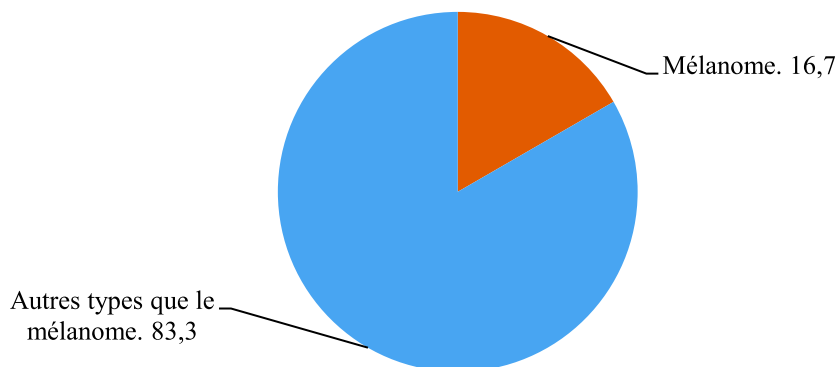


Figure 73: Fréquences (%) des différentes localisations du cancer au sein du groupe C43-44 chez les hommes durant la période 2013-2017. RCGC

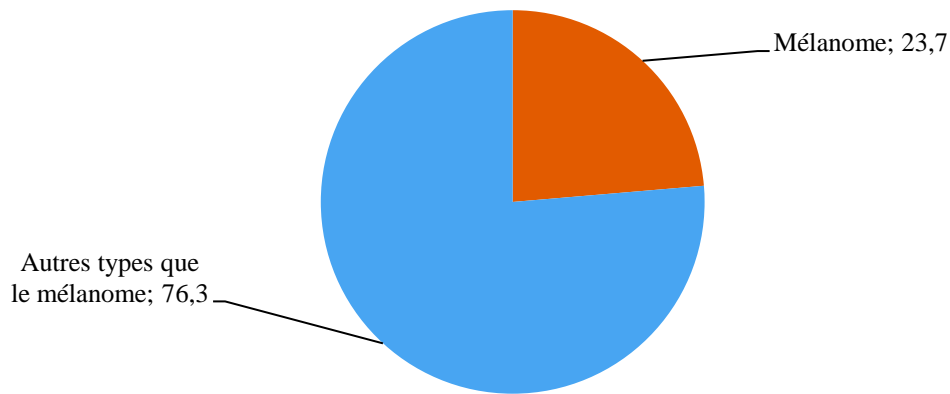


Figure 74 : Fréquences (%) des différentes localisations du cancer au sein du groupe C43-44 chez les femmes durant la période 2013-2017. RCGC

Mélanomes C43

Le nombre total des mélanomes enregistrés parmi les habitants de la zone couverte ne dépassait pas 81 nouveaux cas durant la période étudiée, soit une fréquence de 0,3 % du nombre total de tous les cancers enregistrés et un taux brut de 0,4 pour 100000 habitants. (Tableau 26)

Tableau 26 : Incidences du Mélanome par sexe pour la période 2013-2017. RCGC

| | Hommes | Femmes | Deux sexes |
|--|--------|--------|------------|
| Cas incidents | 37 | 44 | 81 |
| Fréquence ^a (%) | 0,4 | 0,3 | 0,3 |
| Incidence brute /100000 | 0,3 | 0,4 | 0,4 |
| Incidence standardisée sur la population Marocaine /100000 | 0,3 | 0,3 | 0,3 |
| Incidence standardisée sur la population Mondiale /100000 | 0,3 | 0,4 | 0,4 |
| Incidence cumulée 0-64 ans (%) | 0,01 | 0,03 | 0,02 |
| Incidence cumulée 0-74 ans (%) | 0,03 | 0,04 | 0,04 |
| Risque cumulé 0-64 ans (%) | 0,01 | 0,03 | 0,02 |
| Risque cumulé 0-74 ans (%) | 0,03 | 0,04 | 0,04 |

a : proportion calculée par rapport au total des cas enregistrés en fonction du sexe

La distribution des cas du mélanome selon l'âge avait montré que les classes d'âge les plus touchées étaient celles des hommes de 75 ans et plus et des femmes âgées entre 60 et 64 ans. (Figure 75)

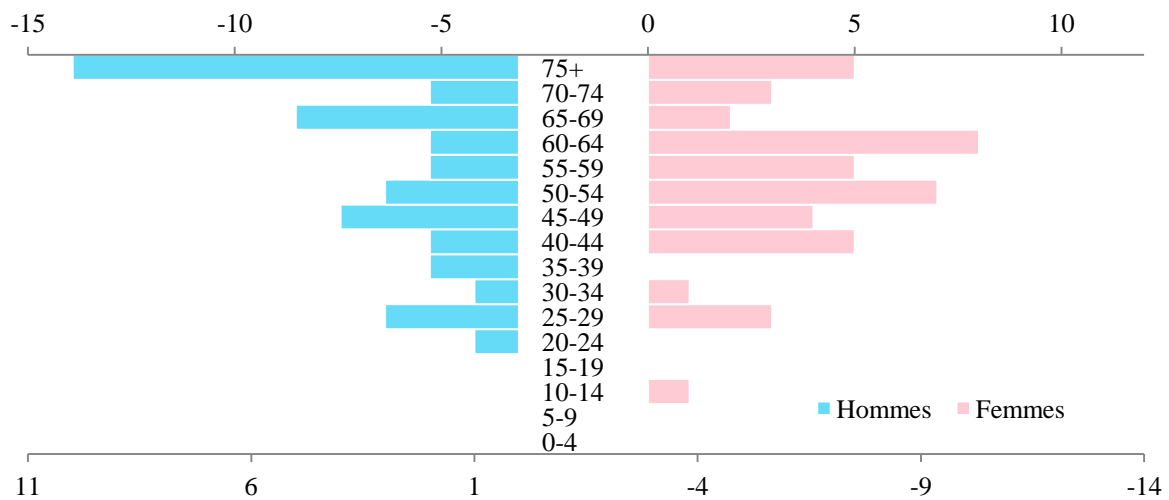


Figure 75 : Répartition du nombre de cas du Mélanome en fonction des classes d'âge et du sexe pour la période 2013-2017. RCGC

Un pic d'incidence spécifique a été noté chez les hommes de 75 ans et plus et les femmes de 60-64 ans avec respectivement 4,6 et 2,0 pour 100000. (Figure 76)

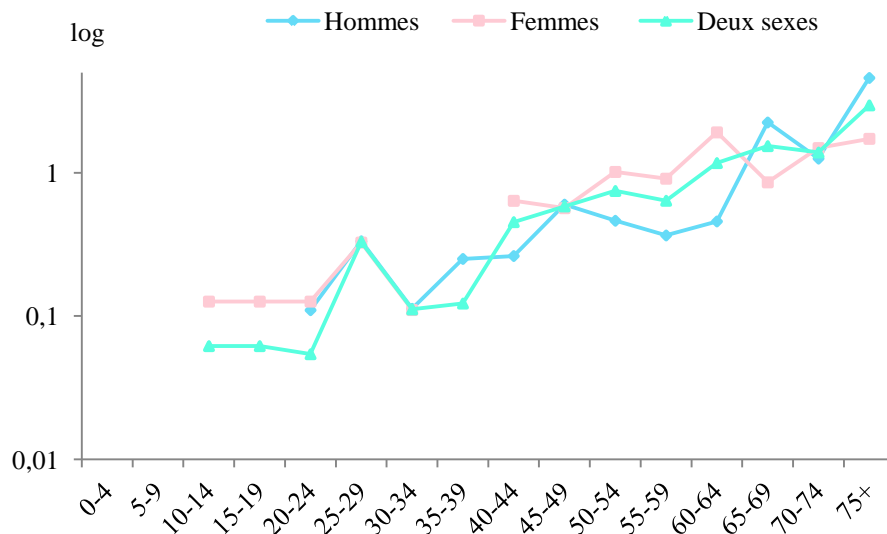


Figure 76 : Incidences spécifiques du Mélanome selon le sexe pour la période 2013-2017. RCGC

Peau (autres que le mélanome) C44

En dehors du mélanome, la peau était le site d'un nombre total de cancer, durant la période étudiée, de 327 nouveaux cas, représentant ainsi une fréquence de 1,3 % du total des cancers. L'incidence brute était de 1,5 pour 100000 (1,7 chez homme versus 1,3 pour 100000 chez la femme). (Tableau 27)

Tableau 27 : Incidences du cancer de la peau autre que le mélanome par sexe pour la période 2013-2017. RCGC

| | Hommes | Femmes | Deux sexes |
|--|--------|--------|------------|
| Cas incidents | 185 | 142 | 327 |
| Fréquence ^a (%) | 1,8 | 1,0 | 1,3 |
| Incidence brute /100000 | 1,7 | 1,3 | 1,5 |
| Incidence standardisée sur la population Marocaine /100000 | 1,4 | 0,9 | 1,1 |
| Incidence standardisée sur la population Mondiale /100000 | 1,7 | 1,2 | 1,4 |
| Incidence cumulée 0-64 ans (%) | 0,10 | 0,06 | 0,08 |
| Incidence cumulée 0-74 ans (%) | 0,20 | 0,11 | 0,15 |
| Risque cumulé 0-64 ans (%) | 0,10 | 0,06 | 0,08 |
| Risque cumulé 0-74 ans (%) | 0,20 | 0,11 | 0,15 </td |

a : proportion calculée par rapport au total des cas enregistrés en fonction du sexe

La distribution des cas de cancer de la peau, sauf le mélanome, avait montré que la classe d'âge de 75 ans et plus avait enregistré le plus grand nombre de cas chez les deux sexes. Les sujets de 55 ans et plus représentaient les deux tiers du total de cas enregistrés pour cette localisation à l'exception du mélanome. (Figure 77)

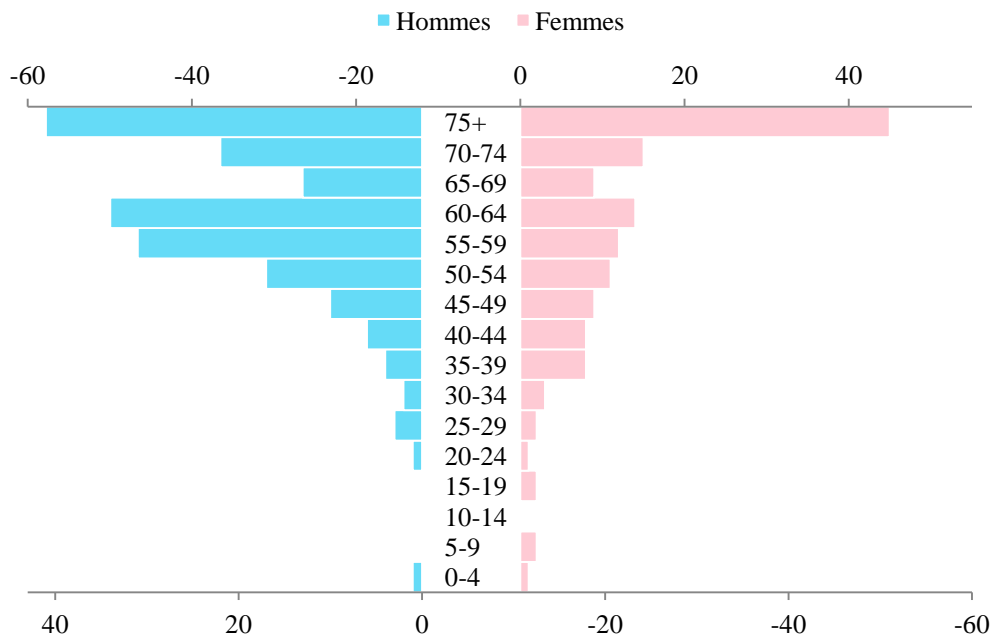


Figure 77 : Répartition du nombre de cas du cancer de la peau à l'exception du mélanome en fonction des classes d'âge et du sexe pour la période 2013-2017. RCGC

Généralement les taux d'incidence spécifique observés chez les deux sexes étaient similaires avant l'âge de 50 ans, puis les taux d'incidences spécifiques observés chez les hommes étaient légèrement plus élevés comparés à ceux des femmes. Un pic des taux d'incidence spécifique a été noté pour les hommes et les femmes de 75 ans et plus avec respectivement 18,9 et 15,6 pour 100000. (Figure 78)

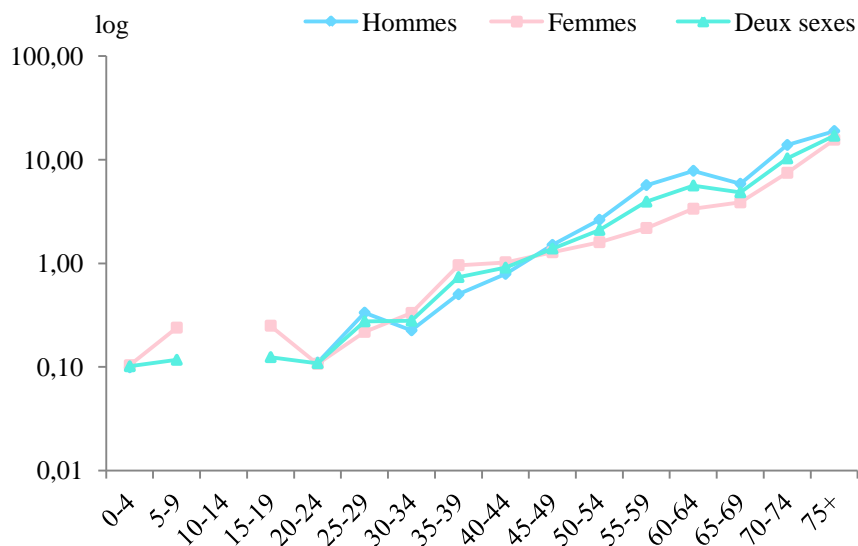


Figure 78 : Incidences spécifiques du cancer de la peau à l'exception du mélanome selon le sexe pour la période 2013-2017. RCGC

**Systeme nerveux autonome (SNA),
nerfs périphériques (NP) et tissus
mous C47, C49**

REGISTRE DES CANCERS

**de la Région
du Grand Casablanca**

**Rapport d'Incidence
2013 - 2017**

Système nerveux autonome (SNA), nerfs périphériques (NP) et tissus mous C47, C49

Ce groupe représentait 0,8 % de toutes les tumeurs enregistrées entre 2013 et 2017, correspondant à un total de cas incidents de 210 cas. Le taux d'incidence brut était de 1 pour 100000 habitants. (Tableau 28)

Tableau 28 : Incidences du cancer du système nerveux autonome, des nerfs périphériques et des tissus mous par sexe pour la période 2013-2017. RCGC

| | Hommes | Femmes | Deux sexes |
|--|--------|--------|------------|
| Cas incidents | 106 | 104 | 210 |
| Fréquence ^a (%) | 1,0 | 0,7 | 0,8 |
| Incidence brute /100000 | 1,0 | 1,0 | 1,0 |
| Incidence standardisée sur la population Marocaine /100000 | 0,9 | 0,9 | 0,9 |
| Incidence standardisée sur la population Mondiale /100000 | 1,0 | 0,9 | 0,9 |
| Incidence cumulée 0-64 ans (%) | 0,05 | 0,06 | 0,06 |
| Incidence cumulée 0-74 ans (%) | 0,09 | 0,08 | 0,09 |
| Risque cumulé 0-64 ans (%) | 0,05 | 0,06 | 0,06 |
| Risque cumulé 0-74 ans (%) | 0,09 | 0,08 | 0,09 |

a : proportion calculée par rapport au total des cas enregistrés en fonction du sexe

La distribution des cas incidents de ce groupe de cancer avait montré deux pics, le premier concernait les hommes de 75 ans et les femmes âgées entre 40 et 44 ans (Figure 79)

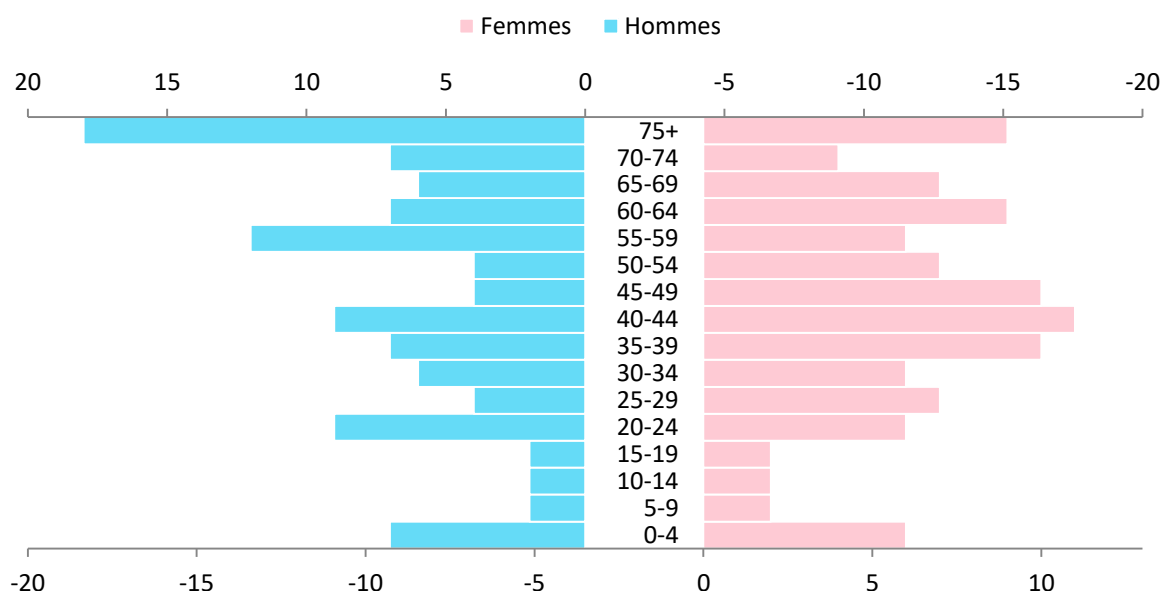


Figure 79 : Répartition du nombre de cas des cancers du système nerveux autonomes, des nerfs périphériques et des tissus mous en fonction des classes d'âge et du sexe pour la période 2013-2017. RCGC

Avant l'âge de 54 ans les femmes avaient enregistré des taux d'incidence spécifique plus élevés comparées aux hommes, par contre au delà de 64 ans, une tendance inverse a été observée avec des pics d'incidence spécifique de 8,3 et 3,1 pour 100000 chez les hommes et femmes âgés de 75 ans et plus respectivement. (Figure 80)

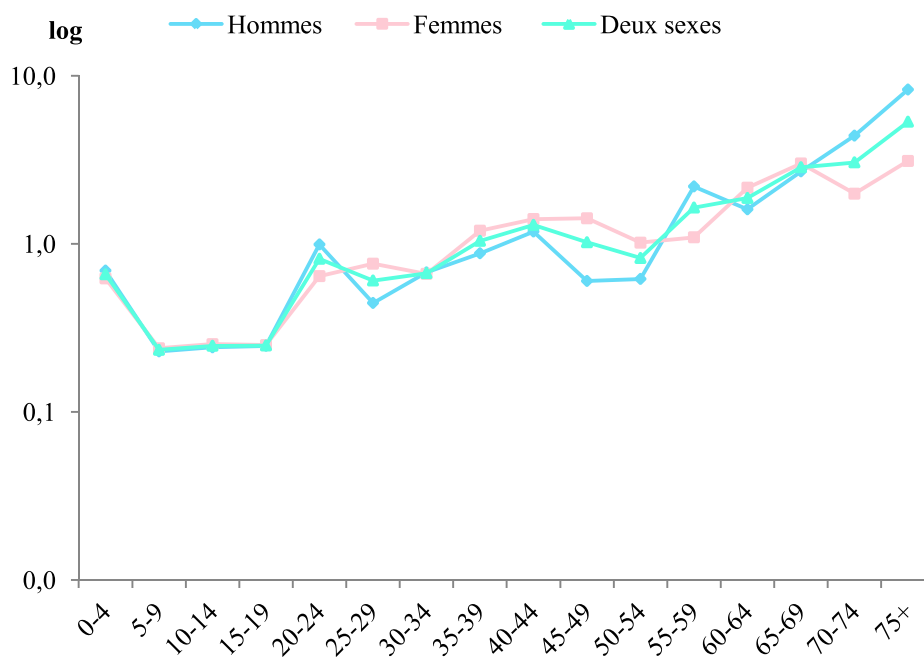


Figure 80 : Incidences spécifiques des cancers du système nerveux autonomes, des nerfs périphériques et des tissus mous selon le sexe pour la période 2013-2017. RCGC

Les types histologiques les plus fréquents pour ce groupe étaient représentés par les sarcomes avec une proportion de 27 % suivis des léiomyosarcomes puis liposarcomes et les tumeurs mixtes du stroma avec respectivement 19,3 %, 17,8 % et 13,9 % des cas. (Figure 81)

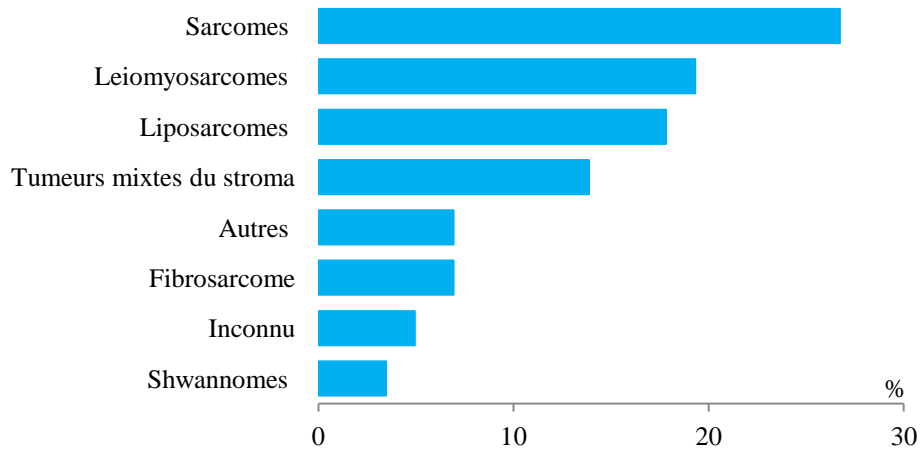


Figure 81 : Répartition des cas des cancers du système nerveux autonomes, des nerfs périphériques et des tissus mous selon le type histologique de la tumeur, pour la période 2013-2017. RCGC

Organes féminins C50-58

REGISTRE DES CANCERS

de la Région
du Grand Casablanca

Rapport d'Incidence
2013 - 2017

Organes féminins C50-58

Dans ce groupe, ont été incluses les localisations suivantes:

| Organes | Code CIM-O-3 |
|--|--------------|
| Sein | C50 |
| Vulve | C51 |
| Vagin | C52 |
| Col de l'utérus | C53 |
| Corps de l'utérus | C54 |
| Utérus non spécifié | C55 |
| Ovaire | C56 |
| Autres sites des organes génitaux féminins | C57 |
| Placenta | C58 |

Les cancers des organes féminins enregistrés durant la période 2013-2017 représentaient, à peu près, le tiers de tous les cancers chez les deux sexes. Chez les femmes ce groupe représentait 54,3 % des cancers féminins avec une incidence brute de 72,9 pour 100000 femmes, soit un taux standardisé sur la population mondiale de 65,7 pour 100000.(Tableau 29)

Tableau 29 : Incidence des cancers des organes féminins pour la période 2013-2017. RCGC

| Paramètre | Résultat |
|--|----------|
| Cas incidents | 7914 |
| Fréquence parmi les cancers féminins (%) | 54,3 |
| Fréquence parmi tous les cancers (deux sexes) (%) | 31,5 |
| Incidence brute /100000 | 72,9 |
| Incidence standardisée sur la population Marocaine /100000 | 63,4 |
| Incidence standardisée sur la population Mondiale /100000 | 65,7 |
| Incidence cumulée 0-64 ans (%) | 5,1 |
| Incidence cumulée 0-74 ans (%) | 7,3 |
| Risque cumulé 0-64 ans (%) | 5,0 |
| Risque cumulé 0-74 ans (%) | 7,0 |

La majorité des cas de cancer de ce groupe était enregistrée chez les femmes âgées entre 45 et 59 ans, représentant ainsi 44 % des cas. Les femmes âgées entre 40 et 44 ans étaient représentées avec une proportion de 12,2 % de même pour la classe comprise entre 60 et 64 ans. (Figure 82)

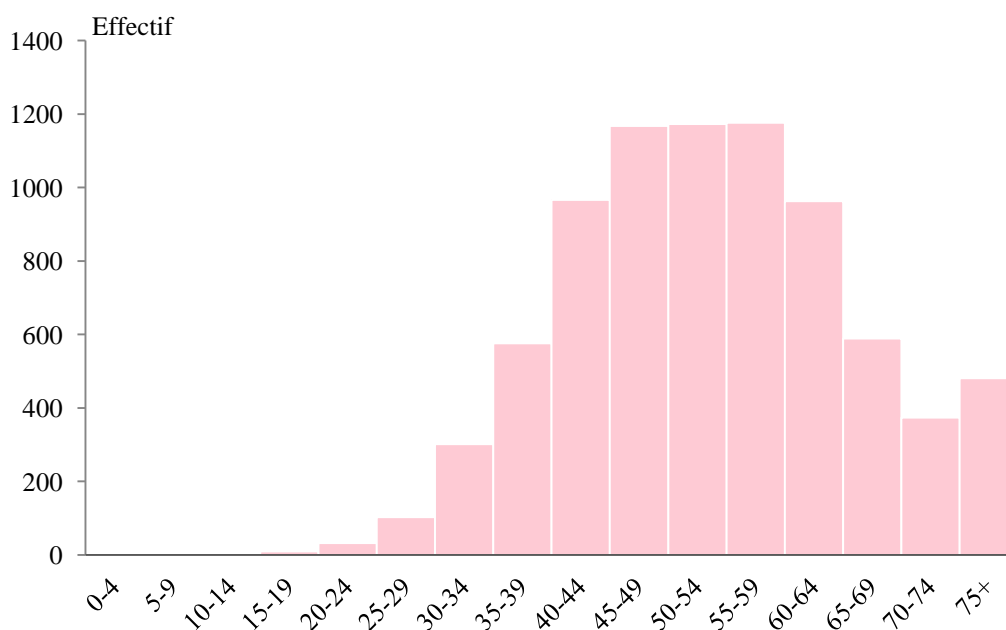


Figure 82 : Répartition du nombre de cas des cancers des organes féminins en fonction des classes d'âge pour la période 2013-2017. RCGC

Les taux d'incidence spécifique augmentaient avec l'âge pour atteindre un pic de 252,9 pour 100000 femmes pour la classe d'âge de 65-69 ans. (Figure 83)

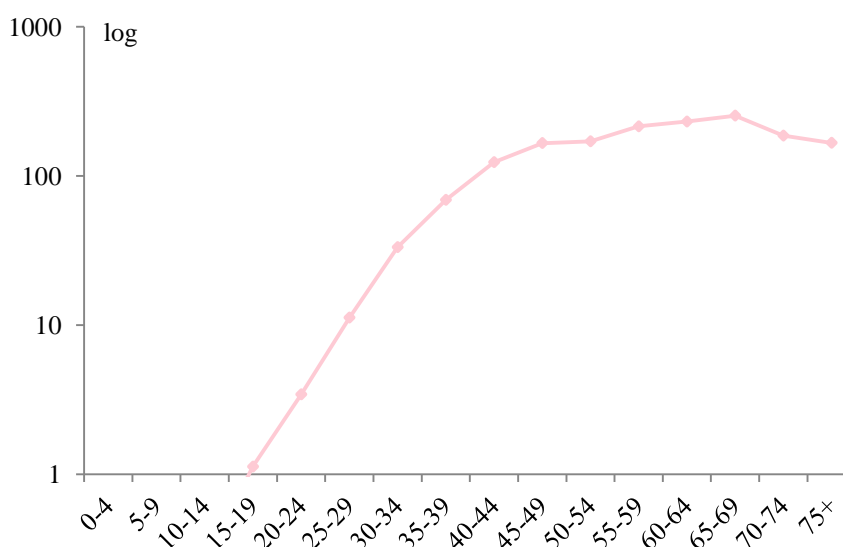


Figure 83 : Incidences spécifiques des cancers des organes féminins pour la période 2013-2017. RCGC

Ce groupe de localisations (C50-58) était dominé par le cancer du sein représentant 70,2 % des cas, suivi par le cancer du col de l'utérus puis le cancer de l'ovaire avec respectivement 15 % et 7,4 % des cas. (Figure 84)

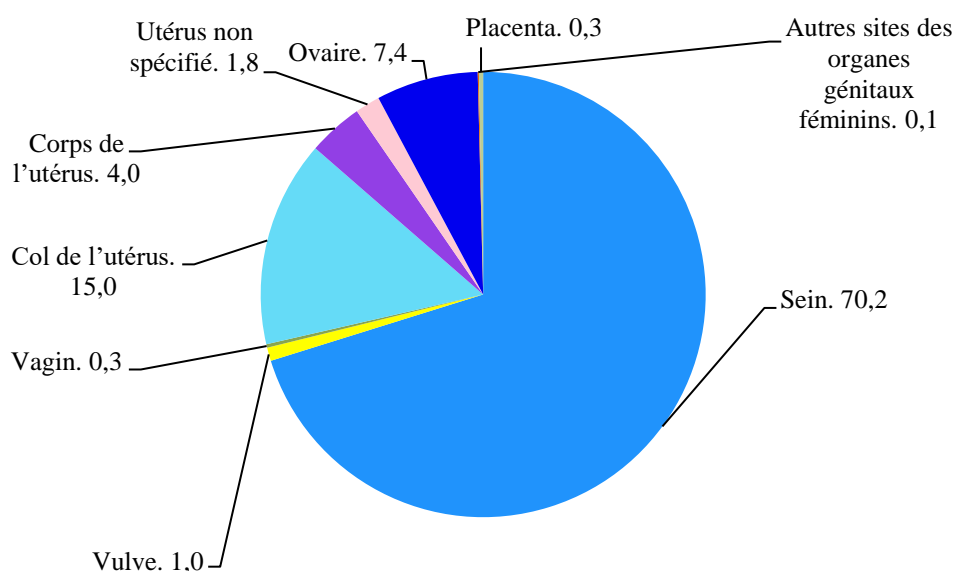


Figure 84 : Fréquences (%) des différentes localisations du cancer au sein du groupe C50-58 chez les femmes durant la période 2013-2017. RCGC

Sein C50

Un total de 5669 nouveaux cas de cancer du sein a été enregistré durant la période 2013-2017, soit une fréquence de 22,5 % des cas du total des cancers tous sexes confondus (38,1 % des cancers de la femme versus 1,1 % des cancers de l'homme). L'incidence brute était de 51,2 pour 100000 femmes tandis que chez l'homme le taux brute ne dépassait pas 1,1 pour 100000. (Tableau 30)

Tableau 30 : Incidences du cancer du sein par sexe pour la période 2013-2017. RCGC

| | Hommes | Femmes | Deux sexes |
|--|--------|--------|------------|
| Cas incidents | 114 | 5555 | 5669 |
| Fréquence ^a (%) | 1,1 | 38,1 | 22,5 |
| Incidence brute /100000 | 1,1 | 51,2 | 26,3 |
| Incidence standardisée sur la population Marocaine /100000 | 0,9 | 45,0 | 23,2 |
| Incidence standardisée sur la population Mondiale /100000 | 1,0 | 45,6 | 23,8 |
| Incidence cumulée 0-64 ans (%) | 0,1 | 3,7 | 1,9 |
| Incidence cumulée 0-74 ans (%) | 0,1 | 5,0 | 2,6 |
| Incidence cumulée 0-64 ans (%) | 0,1 | 3,6 | 1,9 |
| Incidence cumulée 0-74 ans (%) | 0,1 | 4,8 | 2,6 |

a : proportion calculée par rapport au total des cas enregistrés en fonction du sexe

La distribution des cas incidents selon les classes d'âge avait montré une classe modale, chez le sexe féminin, représentée par les femmes âgées entre 45 et 49 ans suivie de la classe d'âge 50- 54 ans puis 55-59 ans. Ces trois classes seules représentaient 46,6 % de tous les cancers du sein chez la femme. (Figure 85)

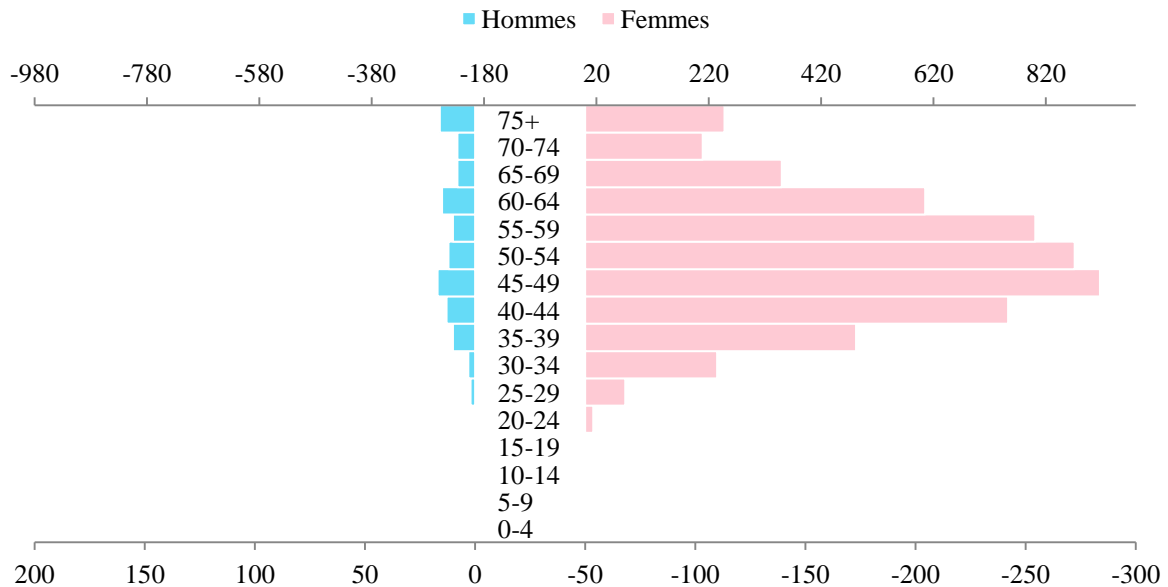


Figure 85 : Répartition du nombre de nouveaux cas du cancer du sein en fonction des classes d'âge et du sexe pour la période 2013-2017. RCGC

En termes d'incidence spécifique, les taux enregistrés chez la femme étaient très élevés comparativement à ceux de l'homme avec un pic d'incidence de 150,3 pour 10000, observé chez les femmes de 65 à 69 ans. (Figure 86)

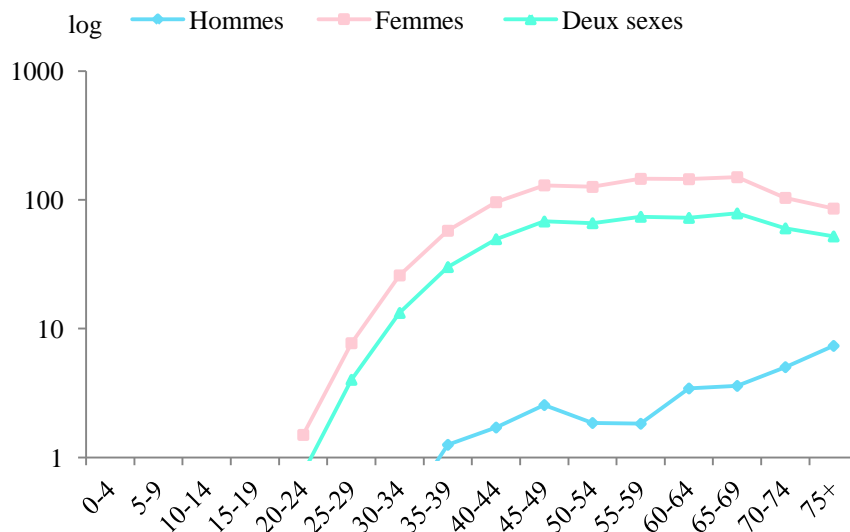


Figure 86 : Incidences spécifiques du cancer du sein selon le sexe pour la période 2013-2017. RCGC

Le type histologique le plus répandu dans le cancer du sein était le carcinome canalaire infiltrant avec une proportion de 78,9 %, le carcinome lobulaire était retrouvé dans 4,4 % des cas et les carcinomes sans aucune autre indication ont été enregistrés dans 10,4% des cas. (Figure 87)

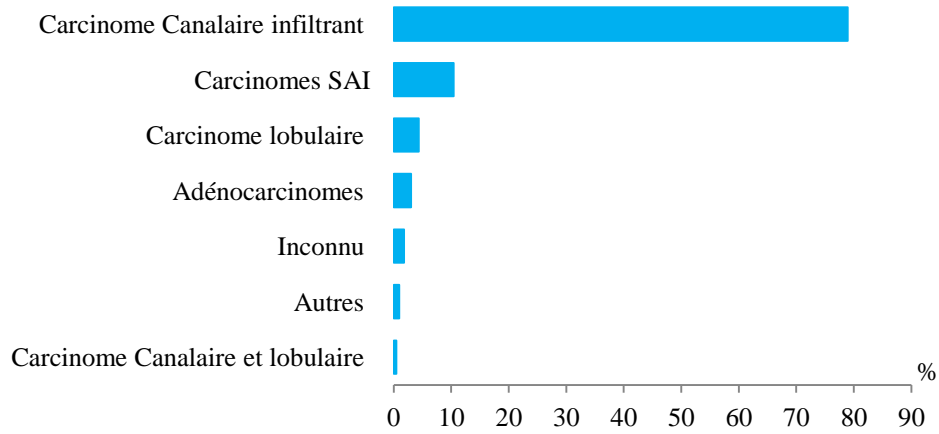


Figure 87 : Répartition des cas des cancers du sein selon le type histologique de la tumeur, pour la période 2013-2017. RCGC

Le stade de la tumeur, ou bien les données nécessaires pour stadifier les cancers du sein, au moment du diagnostic, ont été renseignés pour 68,8 % des cas. Ainsi 39 % des tumeurs ont été diagnostiquées à un stade II, 27 % à un stade III, 21 % à un stade I et 10,6 % à un stade IV. (Figure 88)

Parmi les tumeurs de stade I, 68 % des cas étaient des stades I non spécifiés (sans aucune autre indication) et 31,6 % étaient des stades IA. Pour les tumeurs classées stade II, 55,4 % étaient des stades IIA, 26,1 % étaient des stades IIB et les stades II non spécifiés représentaient 18,5 % du total des tumeurs stade II. Pour les tumeurs stade III, un stade IIIA a été noté dans 34,0 %, un stade IIIB dans 17,9 % et un stade IIIC dans 20 % des tumeurs stade III. Les tumeurs métastatiques étaient presque toutes non spécifiés (99,7 %). (Figure 88)

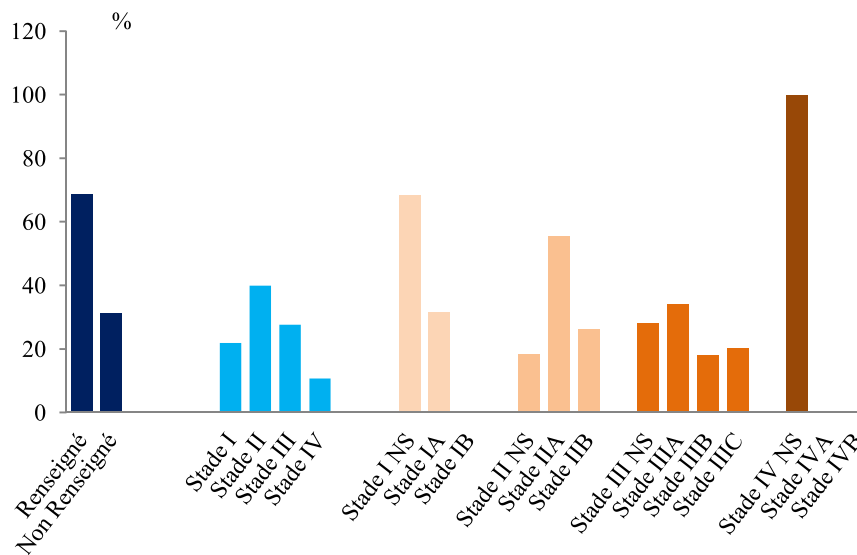


Figure 88 : Répartition des cas de cancer du sein selon le stade au moment du diagnostic, pour la période 2013-2017.RCGC

La population ciblée par le programme de détection précoce du cancer du sein dans notre pays est représenté par les femmes âgées entre 40 et 69 ans. Le nombre de cas incidents chez ce sous groupe de la population était de 4296 durant la période 2013-2017 représentant ainsi 77,3 % du nombre total de cancer du sein chez la femme. Son incidence brute était de 127,2 pour 100000 femmes âgées entre 40 et 69 ans.

Tableau 31 : Incidences du cancer du sein chez la population ciblée par le programme de la détection précoce (40 à 69 ans) durant la période 2013-2017. RCGC

| | Femmes |
|--|--------|
| Cas incidents | 4296 |
| Fréquence ^a (%) | 29,5 |
| Fréquence ^b (%) | 77,3 |
| Incidence brute /100000 | 127,2 |
| Incidence standardisée sur la population Marocaine /100000 | 126,8 |
| Incidence standardisée sur la population Mondiale /100000 | 128,6 |

a : proportion calculée par rapport au total des cas de cancer enregistrés chez la femme

b: proportion calculée par rapport au total des cas de cancer du sein enregistrés chez la femme

Col de l'utérus C53

Durant la période étudiée, un total de 1187 nouveaux cas de cancer du col a été enregistré, représentant 8,1% des cancers de la femme avec un taux brut de 10,9 pour 100000 femmes. L'incidence cumulée 0-74 ans était de 1,1 %. (Tableau 32)

Tableau 32 : Incidences du cancer du col de l'utérus pour la période 2013-2017. RCGC

| Paramètre | Résultat |
|--|----------|
| Cas incidents | 1187 |
| Fréquence parmi les cancers féminins (%) | 8,1 |
| Fréquence parmi tous les cancers (deux sexes) (%) | 4,7 |
| Incidence brute /100000 | 10,9 |
| Incidence standardisée sur la population Marocaine /100000 | 9,2 |
| Incidence standardisée sur la population Mondiale /100000 | 10,2 |
| Incidence cumulée 0-64 ans (%) | 0,7 |
| Incidence cumulée 0-74 ans (%) | 1,1 |
| Risque cumulé 0-64 ans (%) | 0,7 |
| Risque cumulé 0-74 ans (%) | 1,1 |

La distribution des cas de cancer du col de l'utérus selon l'âge avait montré une classe modale représentée par les femmes âgées entre 55 et 59 ans, suivie de celles comprise entre 60-64 ans puis 50-54 ans. Ces trois classes seules représentaient 43,9 % du total des cas de cancer du col utérin. (Figure 89)

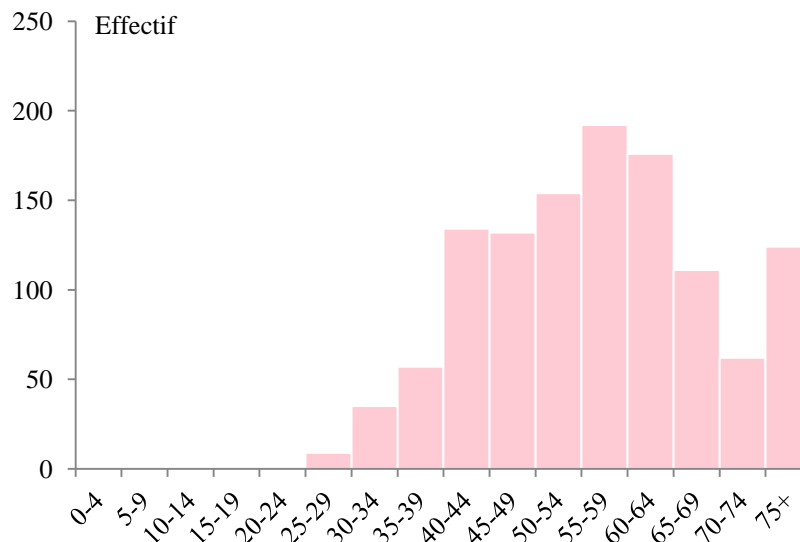


Figure 89 : Répartition du nombre de nouveaux cas de cancer du col de l'utérus en fonction des classes d'âge pour la période 2013-2017. RCGC

Les taux d'incidence spécifique du cancer du col de l'utérus augmentaient continuellement avec l'âge pour enregistrer un pic de 47,7 pour 100000 à l'âge de 65-69 ans. (Figure 90)

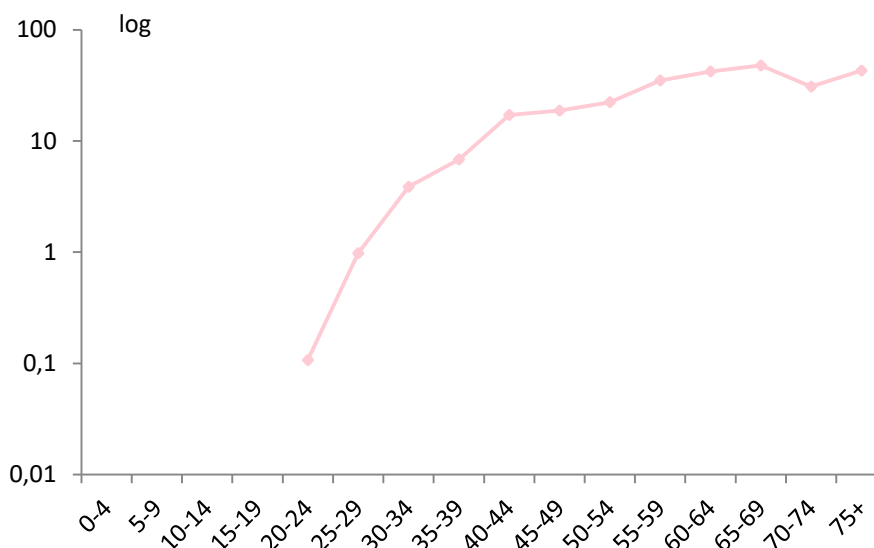


Figure 90 : Incidences spécifiques du cancer du col de l'utérus pour la période 2013-2017. RCGC

La majorité des tumeurs du col de l'utérus enregistrées était de type carcinome épidermoïde, soit une proportion de 82,6 %. Le type adénocarcinome représentait 7,3 % et les tumeurs épithéliales complexes 2,8 % des cas. (Figure 91)

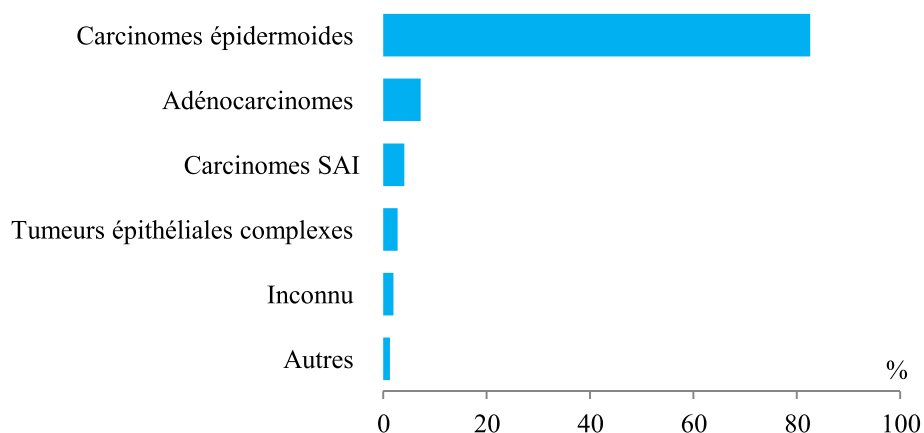


Figure 91 : Répartition des cas des cancers du col de l'utérus selon le type histologique de la tumeur, pour la période 2013-2017. RCGC

Le stade au moment du diagnostic pour les cancers du col de l'utérus a pu être évalué dans presque la moitié des cas (45,8 %). Les stades les plus représentés étaient le stade II, suivi du stade III, le stade I et le stade IV avec des proportions respectives de 41 %, 22,2 %, 21,4 % et 15,5 % des cas.

Parmi les tumeurs de stade I, 62% étaient des stades IB. Les tumeurs de stades II étaient aussi représentées par des stades IIB à une fréquence de 56 % des cas de même pour celles classées stades III, le IIIB représentait 44,4 % des cas. (Figure 92)

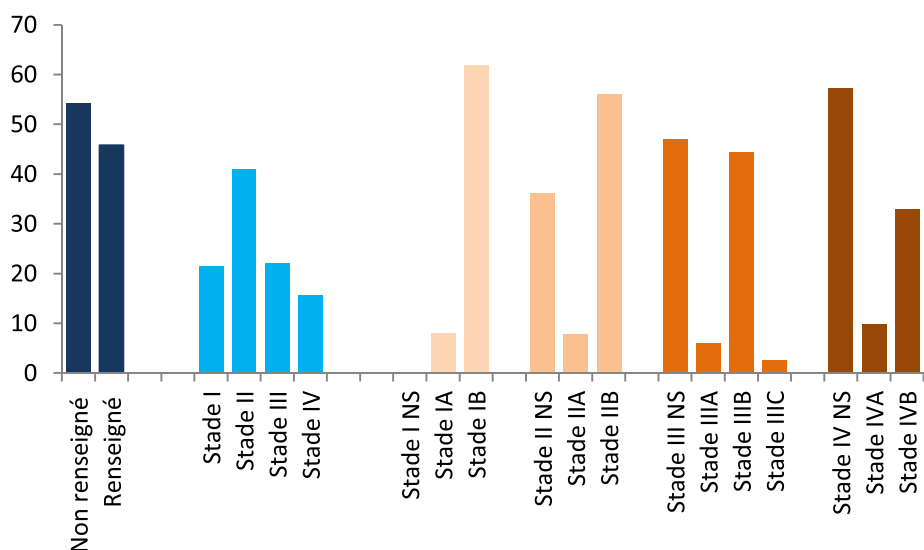


Figure 92 : Répartitions des cas du cancer du col de l'utérus selon le stade au moment du diagnostic, pour la période 2013-2017. RCGC

La population de femmes ciblées par le programme national de détection précoce du cancer du col de l'utérus dans notre pays est représentée par les femmes âgées entre 30 et 49 ans. Le nombre enregistré de cas de cancer du col chez cette population était de 358 durant la période 2013-2017. Ce total représentait 2,5 % du total des cancers enregistrés chez la femme et 30,2 % du total des cancers du col de l'utérus. Le taux d'incidence brute était de 11,1 pour 100000 femmes âgées entre 30 et 49 ans. (Tableau 33)

Tableau 33: Incidences du cancer du col de l'utérus chez la population ciblée par le programme dépistage (30 à 49 ans) durant la période 2013-2017. RCGC

| | Femmes |
|--|--------|
| Cas incidents | 358 |
| Fréquence ^a (%) | 2,5 |
| Fréquence ^b (%) | 30,2 |
| Incidence brute /100000 | 11,1 |
| Incidence standardisée sur la population Marocaine /100000 | 10,9 |
| Incidence standardisée sur la population Mondiale /100000 | 11,6 |

a : proportion calculée par rapport au total des cas de cancer enregistrés chez la femme

b: proportion calculée par rapport au total des cas de cancer du col de l'utérus enregistrés chez la femme

Utérus C54-55

Le nombre de cas de cancer de l'utérus enregistré entre 2013 et 2017 était de 459 cas incidents représentant ainsi 3,1 % des cas de cancer de la femme. Son incidence brute ne dépassait pas 4,2 pour 100000 femmes et une incidence cumulée avant 75 ans de 0,5 %. (Tableau 34)

Tableau 34 : Incidences du cancer de l'utérus pour la période 2013-2017. RCGC

| Paramètre | Résultat |
|--|----------|
| Cas incidents | 459 |
| Fréquence parmi les cancers féminins (%) | 3,1 |
| Fréquence parmi tous les cancers (deux sexes) (%) | 1,8 |
| Incidence brute /100000 | 4,2 |
| Incidence standardisée sur la population Marocaine /100000 | 3,6 |
| Incidence standardisée sur la population Mondiale /100000 | 4,1 |
| Incidence cumulée 0-64 ans (%) | 0,3 |
| Incidence cumulée 0-74 ans (%) | 0,5 |
| Risque cumulé 0-64 ans (%) | 0,3 |
| Risque cumulé 0-74 ans (%) | 0,5 |

La distribution des cas de cancer de l'utérus selon l'âge avait montré un nombre de cas incidents plus élevé chez les femmes âgées entre 60 et 64 ans suivie de la classe d'âge des 55-59 ans puis 65-69 ans. Ces trois classes représentaient plus de la moitié des cas (52,7 %). (Figure 93)

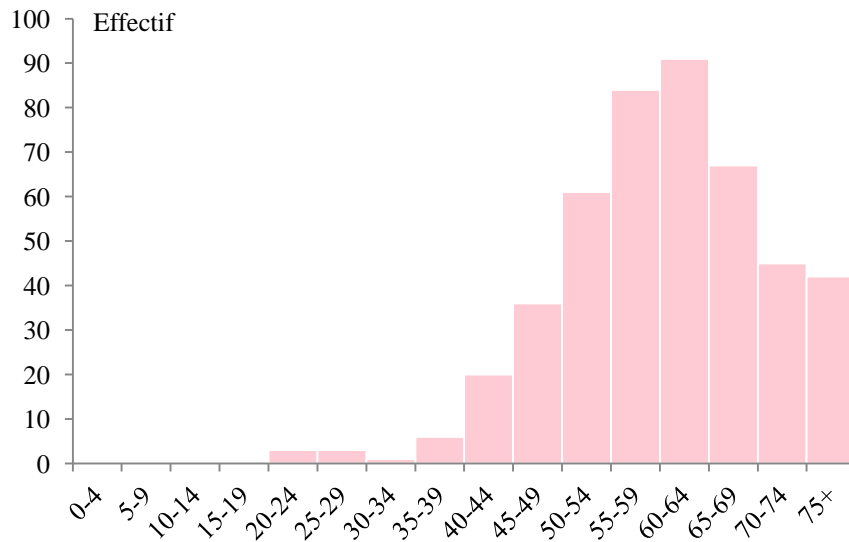


Figure 93 : Répartition du nombre de nouveaux cas de cancer de l'utérus en fonction des classes d'âge pour la période 2013-2017. RCGC

Les taux d'incidence spécifique du cancer de l'utérus augmentaient avec l'âge, enregistrant un pic d'incidence de 28,8 pour 100000 chez les femmes âgées entre 65 et 69 ans. (Figure 94)

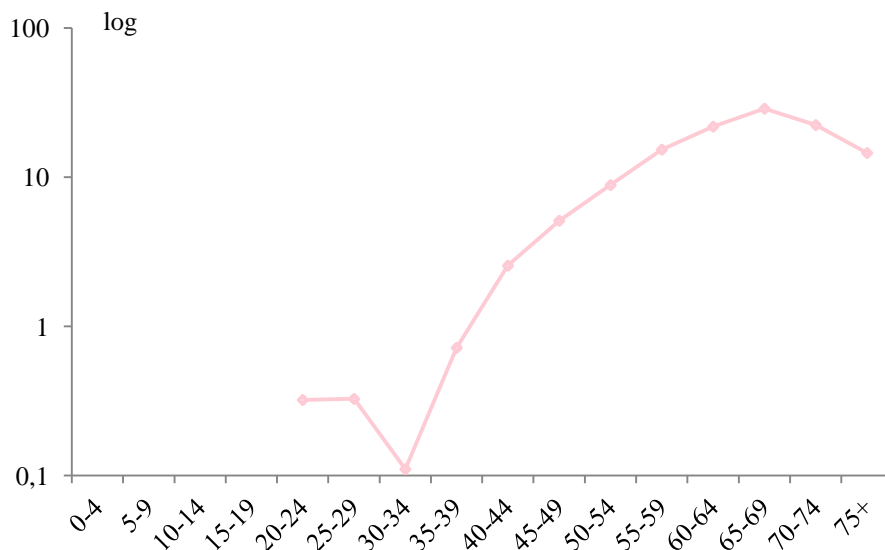


Figure 94 : Incidences spécifiques du cancer de l'utérus pour la période 2013-2017. RCGC

Environ 38 % des tumeurs enregistrées au niveau de l'utérus étaient de type adénocarcinome endométrioïdes. (Figure 95)

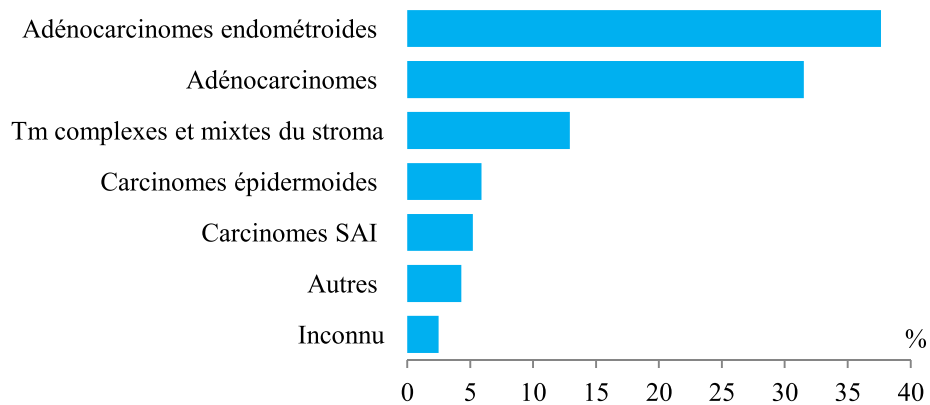


Figure 95 : Répartition des cas du cancer de l'utérus selon le type histologique de la tumeur, pour la période 2013-2017. RCGC

Le stade au moment du diagnostic pour les tumeurs de l'utérus était renseigné dans environ 52 % des cas. Le stade I a été enregistré dans 28 % des cas, les stades II, III et IV étaient notés respectivement dans 6,8 %, 7,7 % et 8,4 % des cas. (Figure 96)

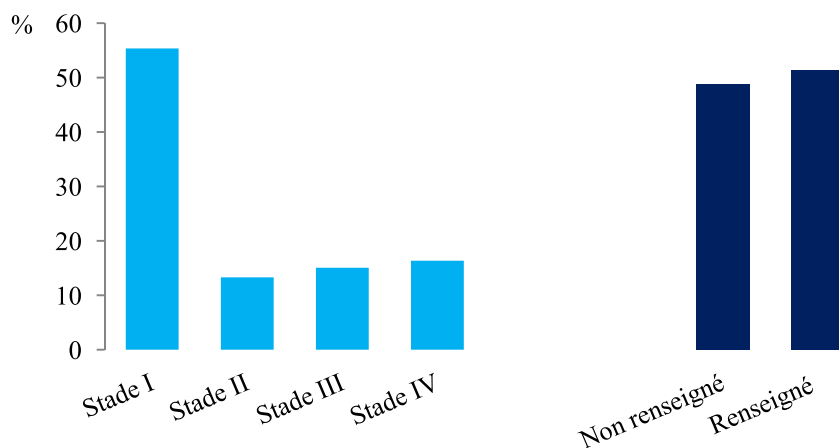


Figure 96 : Répartitions des cas de cancer de l'utérus selon le stade au moment du diagnostic, pour la période 2013-2017. RCGC

Ovaire C56

Un total de 585 cas de cancer de l’ovaire a été enregistré pour la période 2013-2017, soit une proportion de 4 % des cancers féminins et 2,3 % de tous les cancers enregistrés chez les deux sexes. Son incidence brute était de 5,4 pour 100000 femmes et le taux d’incidence standardisé sur la population mondial était de 5,0 pour 100000 femmes. (Tableau 35)

Tableau 35 : Incidences du cancer de l’ovaire pour la période 2013-2017. RCGC

| Paramètre | Résultat |
|--|----------|
| Cas incidents | 585 |
| Fréquence parmi les cancers féminins (%) | 4,0 |
| Fréquence parmi tous les cancers (deux sexes) (%) | 2,3 |
| Incidence brute /100000 | 5,4 |
| Incidence standardisée sur la population Marocaine /100000 | 4,7 |
| Incidence standardisée sur la population Mondiale /100000 | 5,0 |
| Incidence cumulée 0-64 ans (%) | 0,4 |
| Incidence cumulée 0-74 ans (%) | 0,6 |
| Risque cumulé 0-64 ans (%) | 0,4 |
| Risque cumulé 0-74 ans (%) | 0,6 |

La distribution des cas incidents en fonction des classes d’âge avait objectivé une prédominance de femmes âgées entre des 55 et 59 ans suivies des classes d’âge 50-54 ans puis 45-49 ans, et 60-64 ans. Ces classes représentaient 54,7 % du nombre de cas incidents. (Figure 97)

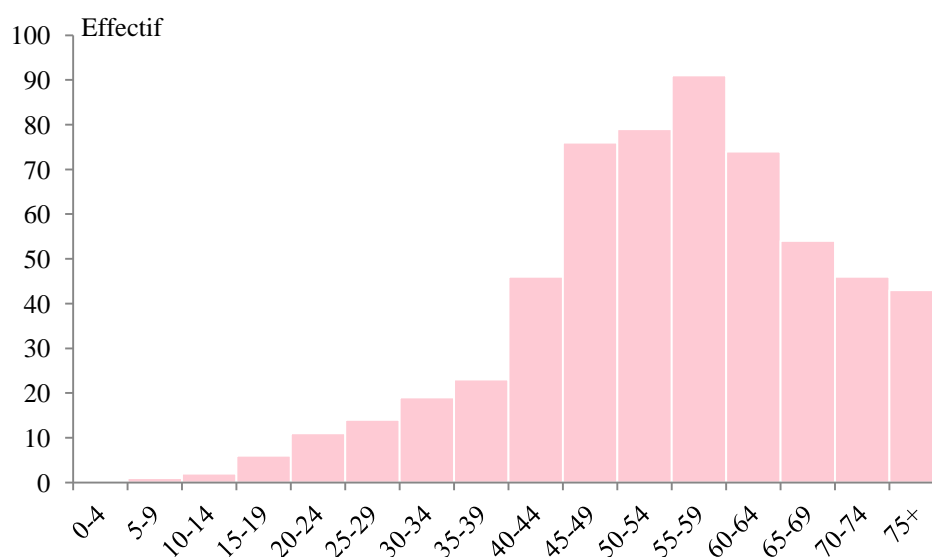


Figure 97 : Répartition du nombre de nouveaux cas de cancer de l’ovaire en fonction des classes d’âge pour la période 2013-2017. RCGC

Les taux d'incidences spécifiques augmentaient avec l'âge enregistrant un pic de 23,2 pour 100000 pour les femmes âgées de 65-69 ans. (Figure 98)

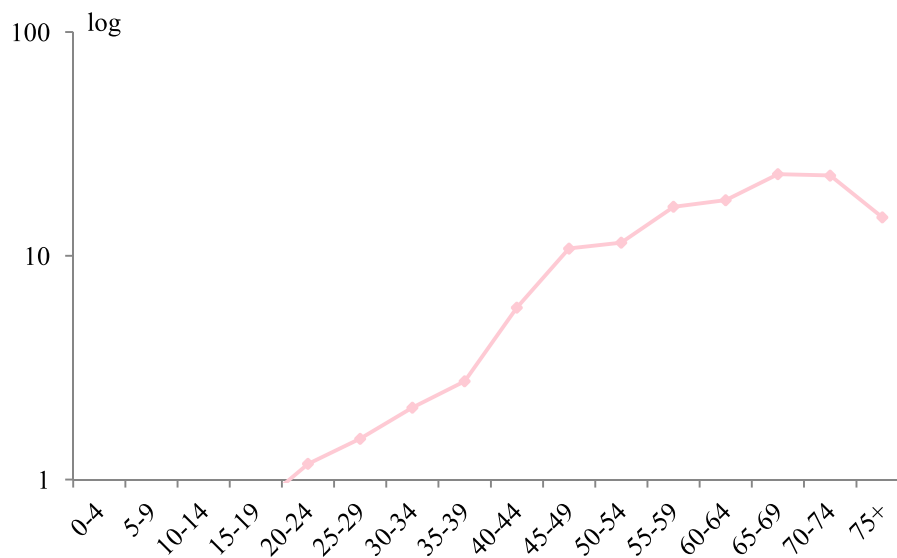


Figure 98 : Incidences spécifiques du cancer de l'ovaire pour la période 2013-2017. RCGC

Le type histologique le plus fréquent parmi les cancers enregistrés au niveau de l’ovaire était représenté par le type cystadénocarcinome avec une proportion de 43,4 % des cas, suivi par l’adénocarcinome avec 27 % des cas. D’autres types ont été enregistrés mais ils étaient peu fréquents comme les tumeurs malignes de la Granulosa et les carcinomes sans aucune autre indication. (Figure 99)

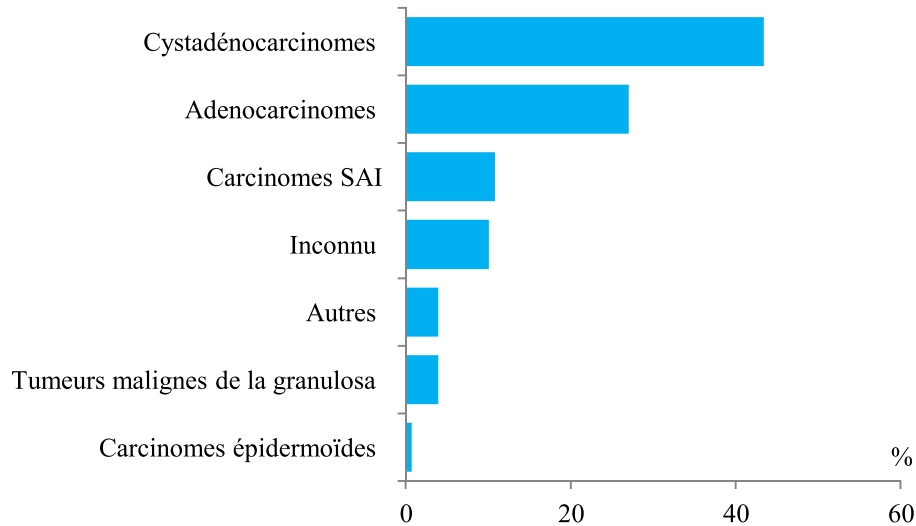


Figure 99 : Répartition des cas de cancer de l’ovaire selon le type histologique de la tumeur, pour la période 2013-2017. RCGC

Les organes masculins C60 - 63

REGISTRE DES CANCERS

de la Région
du Grand Casablanca

Rapport d'Incidence
2013 - 2017

Les organes masculins C60-63

Dans ce groupe, ont été incluses les localisations suivantes :

| Organes | Code CIM-O-3 |
|------------------------------------|--------------|
| Pénis | C60 |
| Prostate | C61 |
| Testicules | C62 |
| Autres sites des organes masculins | C63 |

Le nombre total des cas incidents survenant au niveau des organes masculins, s'élevait à 1507 durant la période 2013-2017, soit une fréquence de 14,3 % des cancers masculins et 6,0 % de tous les cancers enregistrés chez les deux sexes. L'incidence brute pour ce groupe de cancers était de 14,1 pour 100000 hommes et le taux standardisé sur la population mondiale était de 15,9 pour 100000. (Tableau 36)

Tableau 36 : Incidences des cancers des organes masculins pour la période 2013-2017. RCGC

| Paramètre | Résultat |
|--|----------|
| Cas incidents | 1507 |
| Fréquence parmi les cancers masculins (%) | 14,3 |
| Fréquence parmi tous les cancers (deux sexes) (%) | 6,0 |
| Incidence brute /100000 | 14,1 |
| Incidence standardisée sur la population Marocaine /100000 | 10,3 |
| Incidence standardisée sur la population Mondiale /100000 | 15,9 |
| Incidence cumulée 0-64 ans (%) | 0,4 |
| Incidence cumulée 0-74 ans (%) | 2,0 |
| Risque cumulé 0-64 ans (%) | 0,4 |
| Risque cumulé 0-74 ans (%) | 2,0 |

La distribution des cancers des organes masculins en fonction des classes d'âge avait montré une prédominance de la classe d'âge de 75 ans et plus représentant ainsi 57,834 % des cas, suivie de celle comprises entre 65-69 ans puis 70 et 74 ans avec des proportions respectives de 20,3 % et 19,6 % des cas. (Figure 100).

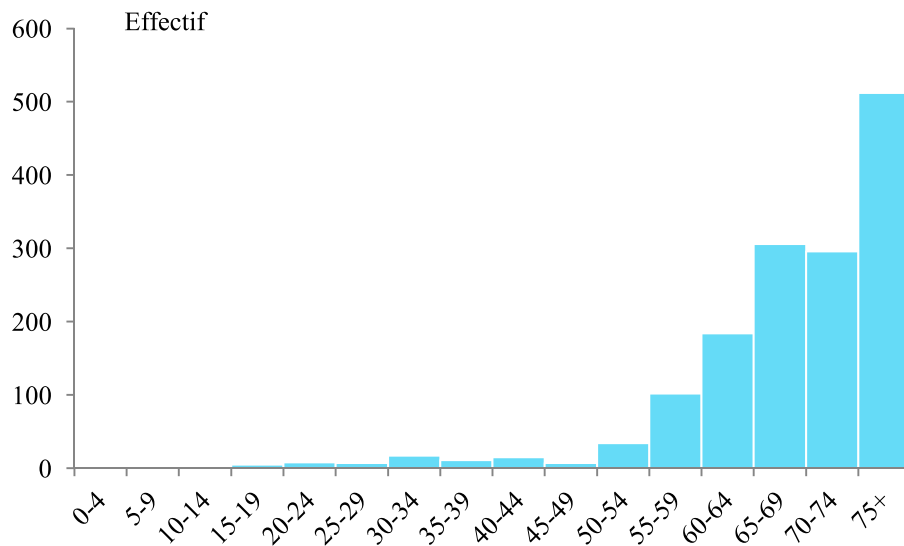


Figure 100 : Répartition du nombre de cas des cancers des organes masculins en fonction des classes d'âge pour la période 2013-2017. RCGC

Les taux d'incidences spécifiques augmentaient avec l'âge enregistrant un pic de 235 pour 100000 hommes chez les sujets âgés de 75 ans et plus. (Figure 101)

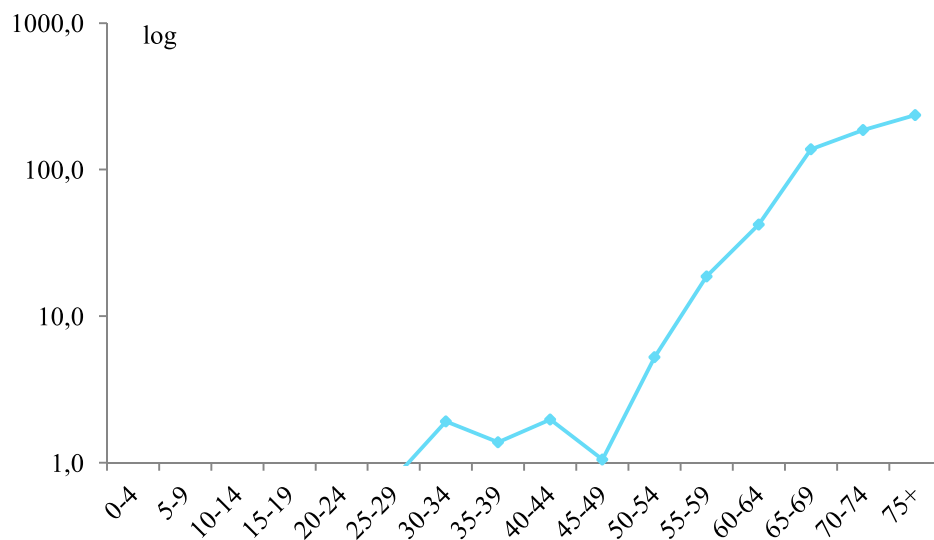


Figure 101 : Incidences spécifiques des cancers des organes masculins pour la période 2013-2017. RCGC

Ce groupe était dominé par la prostate représentant 95,4 %, les autres organes représentaient moins de 5 % des cas. (Figure 102)

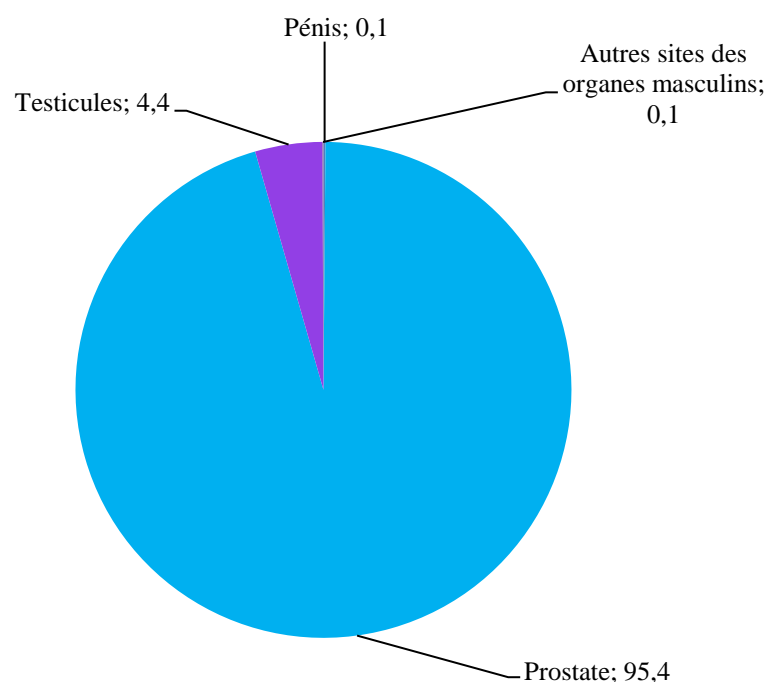


Figure 102 : Fréquences (%) des différentes localisations du cancer au sein du groupe C60-63 chez les hommes durant la période 2013-2017. RCGC

Prostate C61

Le nombre de nouveaux cas de cancer de la prostate enregistré s'élevait à 1438 durant la période 2013-2017 soit une proportion de 13,6 % des cancers de l'homme et 5,7 % de tous les cancers quelque soit le sexe. L'incidence brute était de 13,5 pour 100000 hommes et l'incidence standardisée sur la structure d'âge de la population mondiale était de 15,3 pour 100000. (Tableau 37)

Tableau 37 : Incidences du cancer de la prostate pour la période 2013-2017. RCGC

| Paramètre | Résultat |
|--|----------|
| Cas incidents | 1438 |
| Fréquence parmi les cancers masculins (%) | 13,6 |
| Fréquence parmi tous les cancers (deux sexes) (%) | 5,7 |
| Incidence brute /100000 | 13,5 |
| Incidence standardisée sur la population Marocaine /100000 | 9,7 |
| Incidence standardisée sur la population Mondiale /100000 | 15,3 |
| Incidence cumulée 0-64 ans (%) | 0,3 |
| Incidence cumulée 0-74 ans (%) | 2,0 |
| Incidence cumulée 0-64 ans (%) | 0,3 |
| Incidence cumulée 0-74 ans (%) | 1,9 |

La distribution des nouveaux cas de cancer de la prostate avait montré une classe modale représentée par les sujets âgés de 75 ans et plus. Cette dernière représentait 35,6 % des cas. (Figure 103)

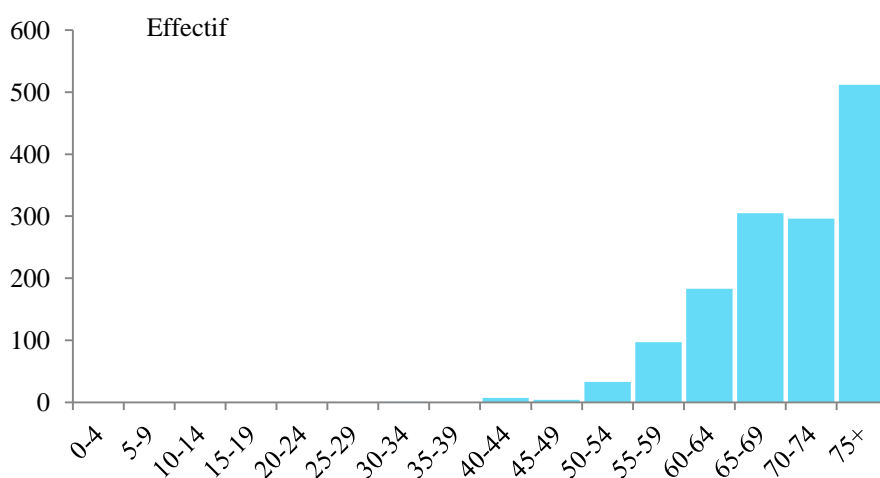


Figure 103 : Répartition du nombre de cas du cancer de la prostate en fonction des classes d'âge pour la période 2013-2017. RCGC

Les taux d'incidence spécifique du cancer de la prostate augmentaient avec l'âge, enregistrant un pic de 235,4 pour 100000 hommes âgés de 70-74 ans. (Figure 104)

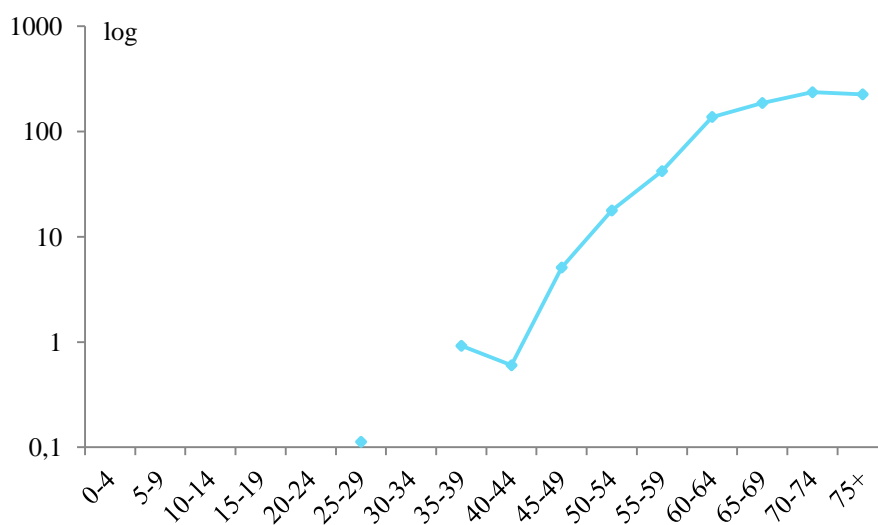


Figure 104 : Incidences spécifiques du cancer de la prostate pour la période 2013-2017. RCGC

La quasi-totalité des cancers enregistrés au niveau de la prostate était de type adénocarcinome, soit une proportion de 96,7 % des cas. Le type histologique n'était pas renseigné pour un nombre faible de cas représentant 0,6% des cas enregistrés. En termes de stade au moment du diagnostic, le pourcentage de cas pour lesquels cette information n'était pas renseignée s'élevait à 70 % des cas. Ainsi, le stade IV représentait 57,9 % du total des cas pour lesquels l'information était disponible (Figure 105, Figure 106)

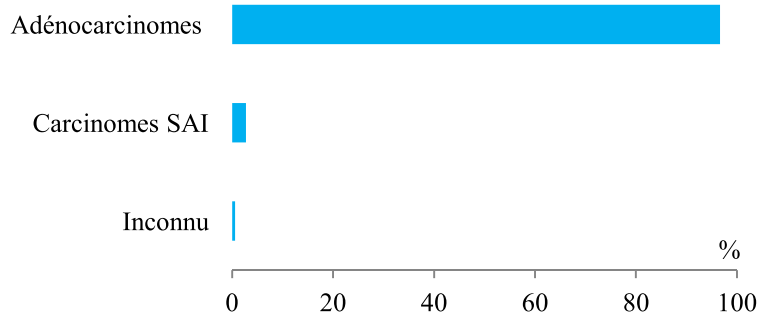


Figure 105 : Répartition des cas du cancer de la prostate selon le type histologique de la tumeur, pour la période 2013-2017. RCGC

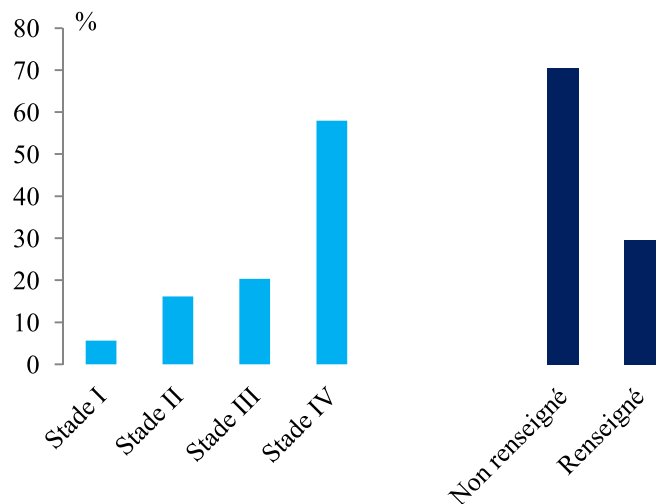


Figure 106 : Répartition des cas de cancer de la prostate selon le stade au moment du diagnostic, pour la période 2013-2017. RCGC

Les voies urinaires C64-68

REGISTRE DES CANCERS

**de la Région
du Grand Casablanca**

**Rapport d'Incidence
2013 - 2017**

Les voies urinaires C64-68

Dans ce groupe, ont été inclus les cancers suivants :

| Organes | Code CIM-O-3 |
|--|--------------|
| Rein | C64 |
| Bassinet | C65 |
| Uretère | C66 |
| Vessie | C67 |
| Autres organes urinaires non spécifiés | C68 |

Un total de 914 nouveaux cas a été enregistré pour les localisations incluses dans ce groupe durant 2013-2017, représentant ainsi 3,6 % du nombre total des cancers enregistrés. L'incidence brute était de 4,2 pour 100000 avec un taux plus élevé noté chez les hommes comparativement aux femmes (6,8 versus 1,7 pour 100000). L'incidence cumulée avant l'âge de 75 ans était de 0,5 %. (Tableau 38)

Tableau 38 : Incidences du cancer des voies urinaires pour la période 2013-2017. RCGC

| | Hommes | Femmes | Deux sexes |
|--|--------|--------|------------|
| Cas incidents | 724 | 190 | 914 |
| Fréquence (%) | 6,9 | 1,3 | 3,6 |
| Incidence brute /100000 | 6,8 | 1,7 | 4,2 |
| Incidence standardisée sur la population Marocaine /100000 | 5,5 | 1,5 | 3,4 |
| Incidence standardisée sur la population Mondiale /100000 | 7,1 | 1,8 | 4,3 |
| Incidence cumulée 0-64 ans (%) | 0,3 | 0,1 | 0,2 |
| Incidence cumulée 0-74 ans (%) | 0,9 | 0,2 | 0,5 |
| Risque cumulé 0-64 ans (%) | 0,3 | 0,1 | 0,2 |
| Risque cumulé 0-74 ans (%) | 0,9 | 0,2 | 0,5 |

a : proportion calculée par rapport au total des cas enregistrés en fonction du sexe

La distribution des nouveaux cas des cancers des voies urinaires selon l'âge, avait montré des effectifs élevés enregistrés pour les sujets de 75 et plus parmi les adultes et la classes de 0-4 ans parmi les enfants. (Figure 107)

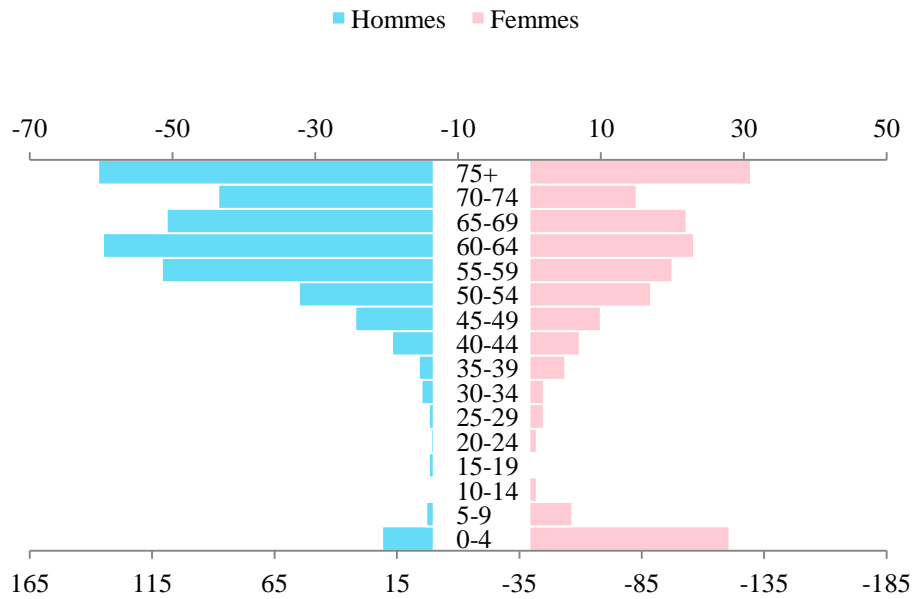


Figure 107 : Répartition du nombre de cas des cancers des voies urinaires en fonction du sexe et des classes d'âge pour la période 2013-2017. RCGC

En termes de taux d'incidence spécifique, des pics d'incidence ont été enregistrés chez l'adulte à l'âge de 75 ans et plus, atteignant 63,0 pour 100000 hommes et 10,7 pour 100000 femmes. Chez l'enfant, les pics enregistrés étaient respectivement de 2,9 et 2,1 pour 100000 chez les filles et les garçons. (Figure 108)

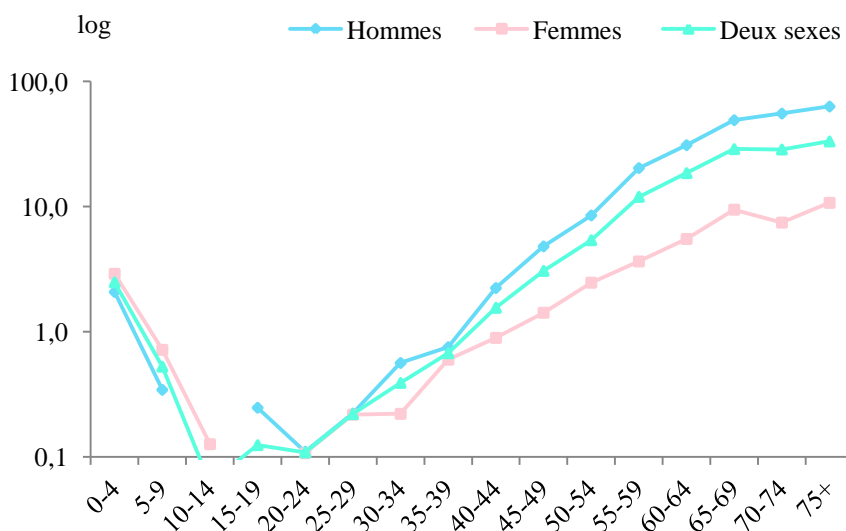


Figure 108 : Incidences spécifiques des cancers des voies urinaires selon le sexe pour la période 2013-2017. RCGC

Chez les hommes, ce groupe de localisations de cancers est dominé par le cancer de la vessie représentant 79,1 % suivi du cancer du rein avec une proportion de 19,1 % des cas. Chez les femmes, le cancer du rein représentait 54,5 % des cas et celui de la vessie 43,5 % des cas. (Figure 109, Figure 110)

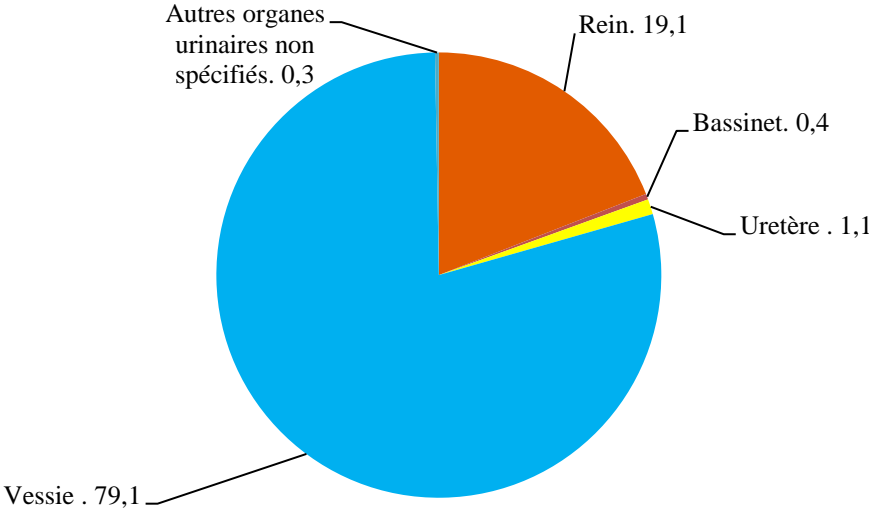


Figure 109 : Fréquences (%) des différentes localisations du cancer au sein du groupe C64-68 chez les hommes durant la période 2013-2017. RCGC

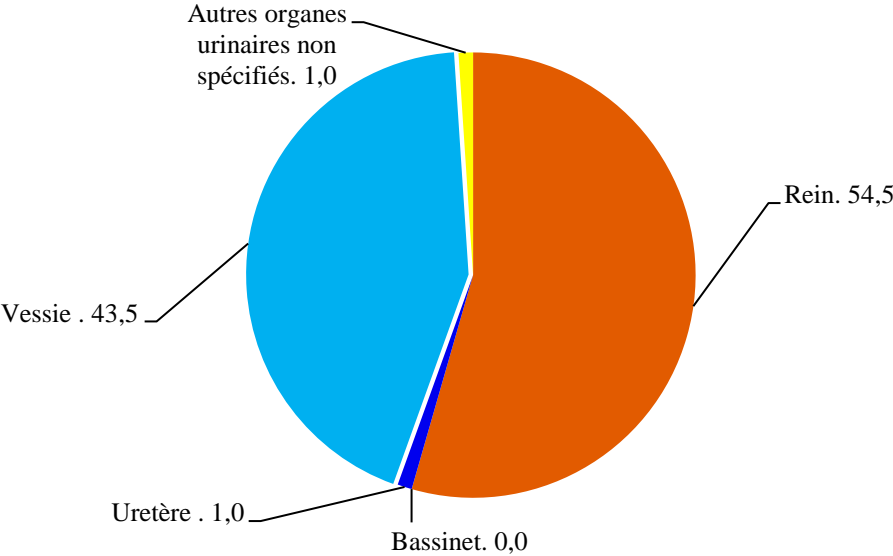


Figure 110 : Fréquences (%) des différentes localisations du cancer au sein du groupe C64-68 chez les femmes durant la période 2013-2017. RCGC

Rein C64

Le nombre total de cancer du rein enregistré entre 2013 et 2017 était de 242 nouveaux cas, soit une proportion de 1,0 % de toutes les localisations. Son incidence brute était de 1,1 pour 100000 habitants. L'incidence cumulée avant 75 ans était de 0,16 % chez les hommes et de 0,09 % pour les femmes. (Tableau 39)

Tableau 39 : Incidences du cancer du rein pour la période 2013-2017. RCGC

| | Hommes | Femmes | Deux sexes |
|--|--------|--------|------------|
| Cas incidents | 138 | 104 | 242 |
| Fréquence (%) | 1,3 | 0,7 | 1,0 |
| Incidence brute /100000 | 1,3 | 1,0 | 1,1 |
| Incidence standardisée sur la population Marocaine /100000 | 1,2 | 0,9 | 1,0 |
| Incidence standardisée sur la population Mondiale /100000 | 1,4 | 1,0 | 1,2 |
| Incidence cumulée 0-64 ans (%) | 0,07 | 0,06 | 0,07 |
| Incidence cumulée 0-74 ans (%) | 0,16 | 0,09 | 0,12 |
| Risque cumulé 0-64 ans (%) | 0,07 | 0,06 | 0,07 |
| Risque cumulé 0-74 ans (%) | 0,16 | 0,09 | 0,12 |

a : proportion calculée par rapport au total des cas enregistrés en fonction du sexe

La distribution des cas de cancer du rein selon l'âge était multimodale. Chez l'homme adulte, deux classes modales, représentées par les sujets âgés entre 70 et 74 ans et ceux entre 60 et 64 ans, étaient notées. Chez la femme, les classes comprises entre 55-59 ans et 60 et 64 ans étaient les plus représentées. En ce qui concerne les enfants, ce sont ceux âgés de moins de 5 ans qui étaient les plus représentés. (Figure 111)

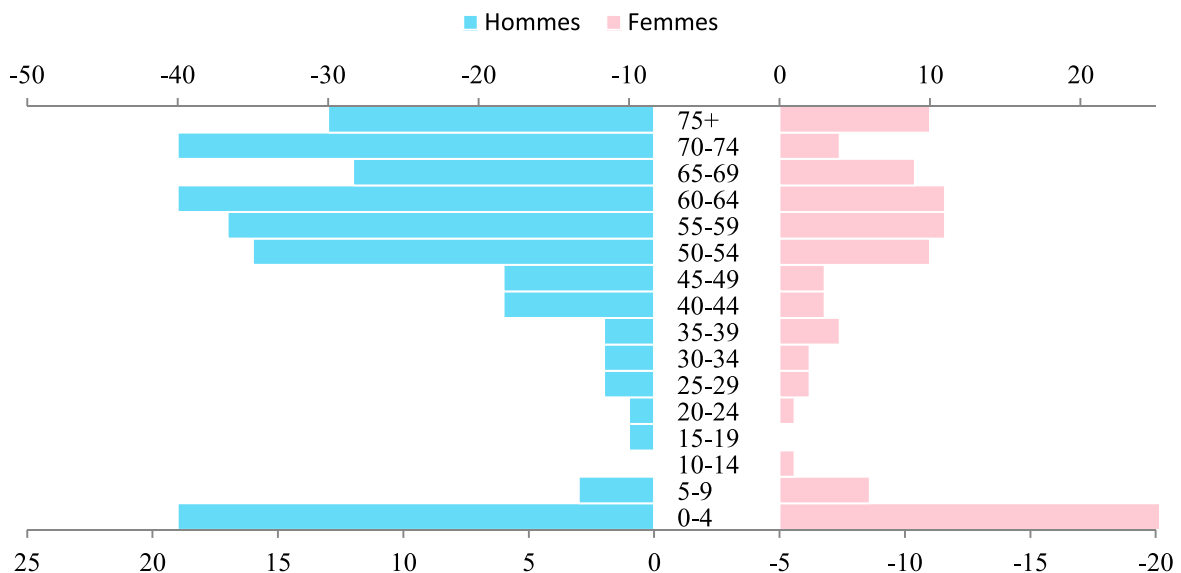


Figure 111 : Répartition du nombre de cas de cancer du rein en fonction du sexe et des classes d'âge pour la période 2013-2017. RCGC

En termes de taux d'incidence spécifique du cancer du rein, des pics ont été enregistrés pour l'adulte à l'âge de 70-74 ans chez l'homme et 65-69 ans chez la femme, avec respectivement 11,9 et 3,9 pour 100000. Pour l'enfant de moins de 5 ans, un taux d'incidence de 2,8 pour

100000 a été enregistré chez le sexe féminin contre 1,9 pour 100000 chez le sexe masculin. (Figure 112)

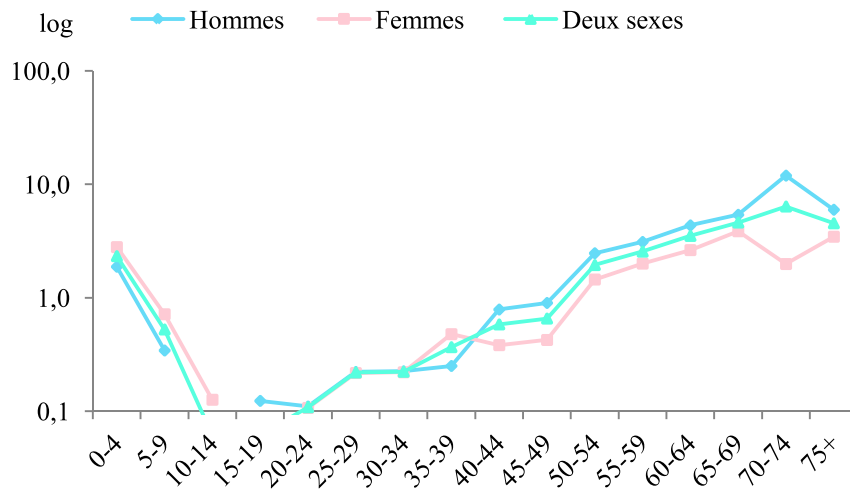


Figure 112 : Incidences spécifiques du cancer du rein selon le sexe pour la période 2013-2017. RCGC

Les adénocarcinomes représentaient les types histologiques les plus enregistrés avec une proportion de 43,3 % des cas, tout particulièrement l'adénocarcinome à cellules claires avec une proportion de 28,2 %. Le néphroblastome était enregistré dans 22,1% des cas. (Figure113)

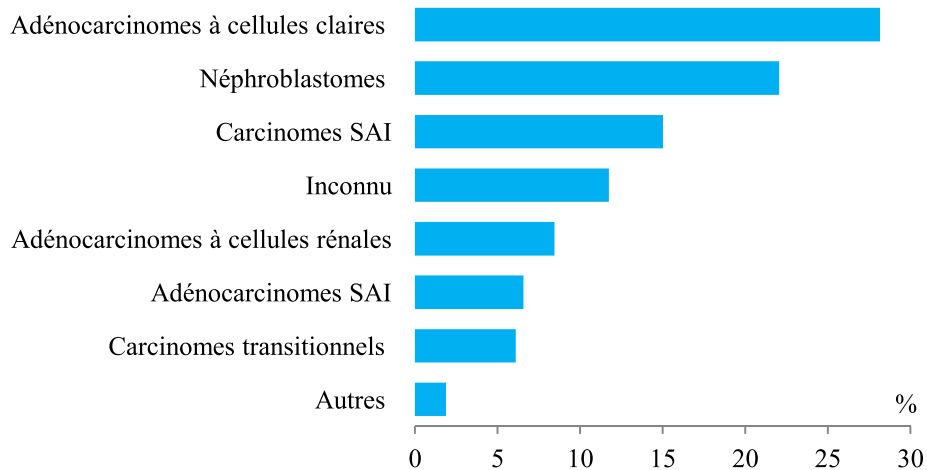


Figure 113 : Répartition des cas de cancer du rein selon le type histologique de la tumeur, pour la période 2013-2017. RCGC

Vessie C67

Un total de 655 nouveaux cas de cancer de la vessie a été enregistré durant la période étudiée, soit une fréquence de 2,6 %. L'incidence brute s'élevait à 3 pour 100000, elle était plus élevée chez les hommes comparativement aux femmes avec respectivement 5,4 versus 0,8 pour 100000 habitants. (Tableau 40)

Tableau 40 : Incidences du cancer de la vessie pour la période 2013-2017. RCGC

| | Hommes | Femmes | Deux sexes |
|--|--------|--------|------------|
| Cas incidents | 573 | 82 | 655 |
| Fréquence (%) | 5,4 | 0,6 | 2,6 |
| Incidence brute /100000 | 5,4 | 0,8 | 3,0 |
| Incidence standardisée sur la population Marocaine /100000 | 4,3 | 0,6 | 2,4 |
| Incidence standardisée sur la population Mondiale /100000 | 5,6 | 0,7 | 3,1 |
| Incidence cumulée 0-64 ans (%) | 0,28 | 0,04 | 0,16 |
| Incidence cumulée 0-74 ans (%) | 0,70 | 0,09 | 0,38 |
| Risque cumulé 0-64 ans (%) | 0,28 | 0,04 | 0,16 |
| Risque cumulé 0-74 ans (%) | 0,70 | 0,09 | 0,38 |

a : proportion calculée par rapport au total des cas enregistrés en fonction du sexe

La distribution des cas selon les classes d'âge avait montré une classe modale représentée par les sujets âgés de 75 ans et plus pour les deux sexes. Ainsi, les sujets de cette classe d'âge représentaient 21 % et 23 % du total des cas de cancer de la vessie enregistré chez les hommes et les femmes de manière respective. (Figure 114)

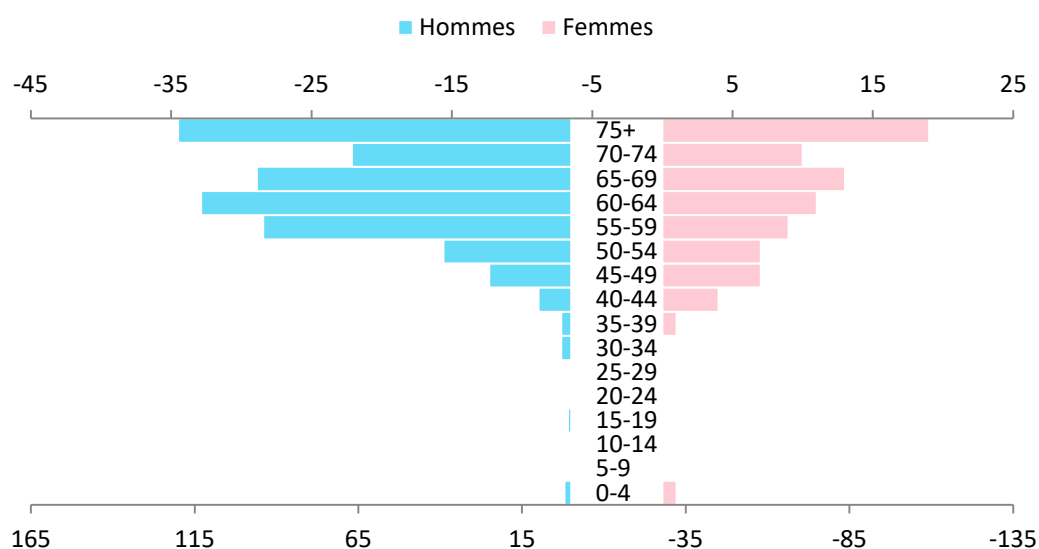


Figure 114 : Répartition du nombre de cas de cancer de la vessie en fonction du sexe et des classes d'âge pour la période 2013-2017. RCGC

Les taux d'incidence spécifique du cancer de la vessie étaient prédominants chez le sexe masculin et augmentaient avec l'âge enregistrant ainsi un pic de 55,2 et 6,6 pour 100000 hommes et femmes âgées de 75 ans et plus de manière respective. (Figure 115)

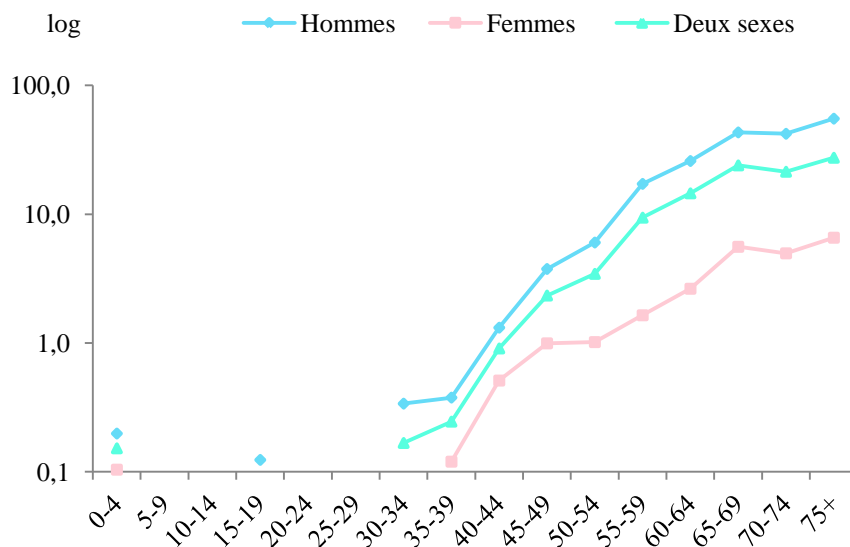


Figure 115 : Incidences spécifiques du cancer de la vessie selon le sexe pour la période 2013-2017. RCGC

Les carcinomes à cellules transitionnelles représentaient le type histologique le plus fréquent des cancers de la vessie avec une proportion de 73,2 %. La nature histologique des tumeurs était inconnue dans 10,2 % des cas. (Figure 116)

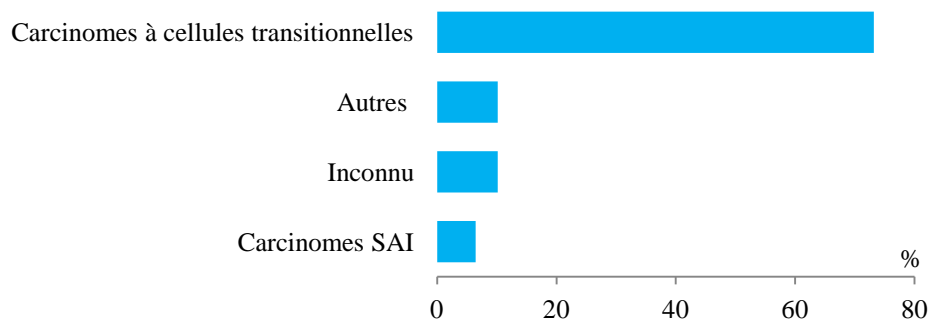


Figure 116 : Répartition des cas de cancer de la vessie selon le type histologique de la tumeur, pour la période 2013-2017. RCGC

**Œil, cerveau et autres localisations
du Système nerveux central C69-72**

REGISTRE DES CANCERS

**de la Région
du Grand Casablanca**

**Rapport d'Incidence
2013 - 2017**

Œil, cerveau et autres localisations du Système nerveux central C69-72

Dans ce groupe, ont été incluses les localisations suivantes :

| Organes | Code CIM-O-3 |
|--|--------------|
| Œil et annexes | C69 |
| Méninges | C70 |
| Encéphale | C71 |
| Moelle épinière, nerfs crâniens et autres régions du SNC | C72 |

Dans ce groupe de localisations, un total de 511 nouveaux cas de cancer a été enregistré représentant ainsi 2,0 % de tous les cas de cancers enregistrés durant la période considérée. Le taux brut pour ce groupe était de 2,4 pour 100000 avec un risque cumulé avant l'âge de 75 ans de 0,23 %. (Tableau 41)

Tableau 41 : Incidences des cancers de l'œil, du cerveau et des autres localisations du Système nerveux central pour la période 2013-2017. RCGC

| | Hommes | Femmes | Deux sexes |
|--|--------|--------|------------|
| Cas incidents | 276 | 235 | 511 |
| Fréquence (%) | 2,6 | 1,6 | 2,0 |
| Incidence brute /100000 | 2,6 | 2,2 | 2,4 |
| Incidence standardisée sur la population Marocaine /100000 | 2,4 | 2,0 | 2,2 |
| Incidence standardisée sur la population Mondiale /100000 | 2,6 | 2,2 | 2,4 |
| Incidence cumulée 0-64 ans (%) | 0,17 | 0,14 | 0,16 |
| Incidence cumulée 0-74 ans (%) | 0,25 | 0,20 | 0,23 |
| Risque cumulé 0-64 ans (%) | 0,17 | 0,14 | 0,16 |
| Risque cumulé 0-74 ans (%) | 0,25 | 0,20 | 0,23 |

a : proportion calculée par rapport au total des cas enregistrés en fonction du sexe

La distribution des cas selon les classes d'âge avait objectivé deux classes modales. Chez les sujets adultes, la classe modale était représentée par les sujets âgés entre 55 et 59 ans. Chez l'enfant, ce sont les enfants âgés entre 0 et 4 ans qui étaient les plus représentés. (Figure 117)

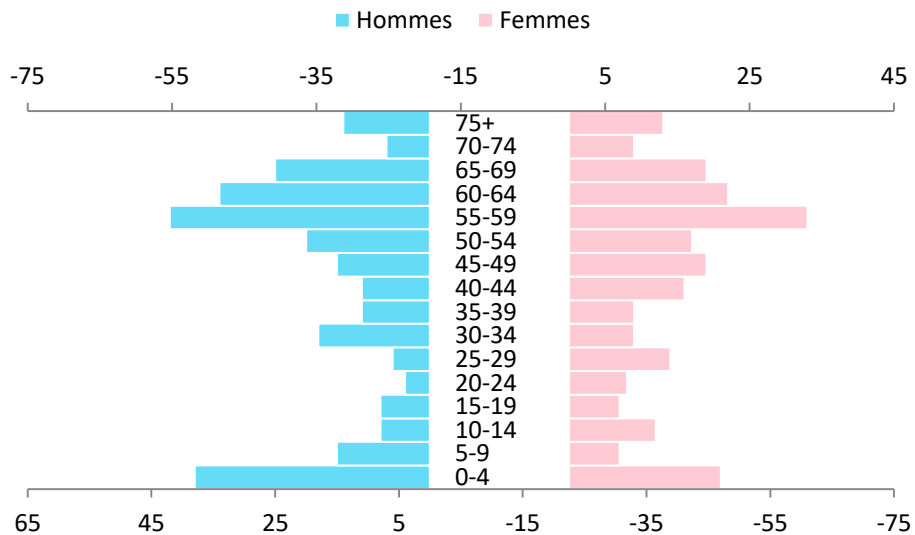


Figure 117 : Répartition du nombre de cas des cancers de l'œil, du cerveau et des autres localisations du Système nerveux central en fonction du sexe et des classes d'âge pour la période 2013-2017. RCGC

Chez les enfants, un pic d'incidence spécifique de 3,8 pour 100000 garçons et 2,2 pour 100000 filles a été enregistré pour la classe d'âge 0-4 ans. Chez le sujet adulte, le pic d'incidence spécifique a été enregistré chez les hommes et les femmes de 65 à 69 ans avec respectivement 11,2 et 8,2 pour 100000 sujets. (Figure 118)

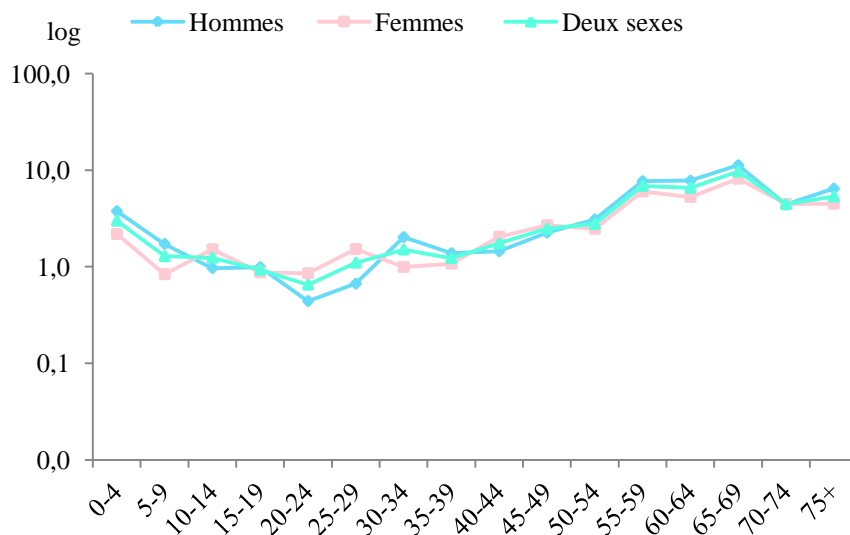


Figure 118 : Incidences spécifiques des cancers de l'œil, du cerveau et des autres localisations du Système nerveux central selon le sexe pour la période 2013-2017. RCGC

La majorité des cas enregistrés pour ce groupe (C69-72) était représentée par les cancers du système nerveux central avec respectivement 89,1 % et 90,6 % des cas chez les hommes et les femmes. (Figure 119, Figure 120)

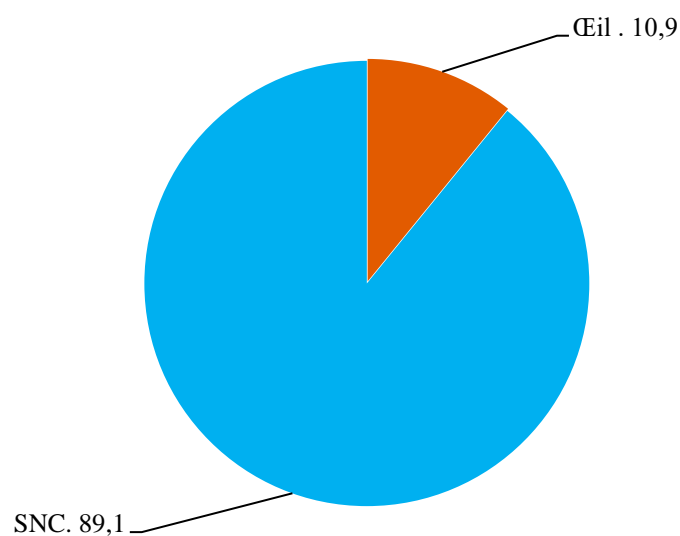


Figure 119 : Fréquences (%) des différentes localisations du cancer au sein du groupe C69-72 chez les hommes durant la période 2013-2017. RCGC

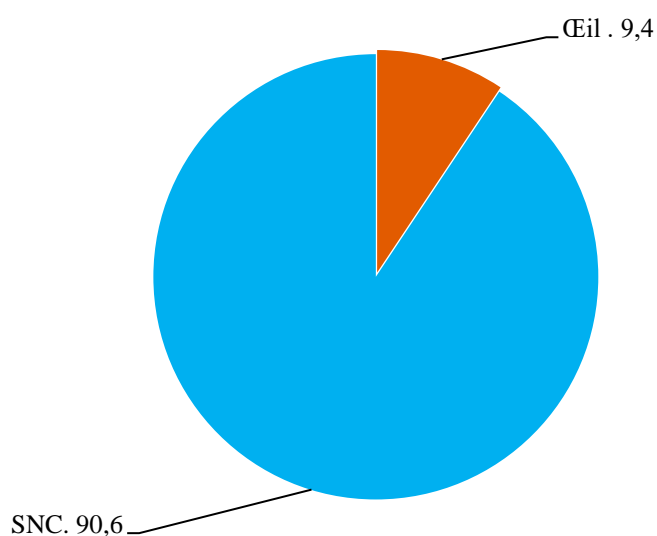


Figure 120 : Fréquences (%) des différentes localisations du cancer au sein du groupe C69-72 chez les femmes durant la période 2013-2017. RCGC

Système nerveux central C70-72

Pour le système nerveux central, un total de 459 nouveaux cas de cancer a été enregistré pour la période 2013-2017, soit une fréquence de 1,8 % du total des cas de cancers toutes localisations confondues. L'incidence brute était de 2,1 pour 100000 habitants et un risque cumulé avant l'âge de 75 ans de 0,21 % pour les deux sexes. (Tableau 42)

Tableau 42 : Incidences des cancers du Système nerveux central pour la période 2013-2017. RCGC

| | Hommes | Femmes | Deux sexes |
|--|--------|--------|------------|
| Cas incidents | 246 | 213 | 459 |
| Fréquence (%) | 2,3 | 1,5 | 1,8 |
| Incidence brute /100000 | 2,3 | 2,0 | 2,1 |
| Incidence standardisée sur la population Marocaine /100000 | 2,2 | 1,8 | 2,0 |
| Incidence standardisée sur la population Mondiale /100000 | 2,3 | 1,9 | 2,1 |
| Incidence cumulée 0-64 ans (%) | 0,16 | 0,13 | 0,14 |
| Incidence cumulée 0-74 ans (%) | 0,23 | 0,19 | 0,21 |
| Risque cumulé 0-64 ans (%) | 0,16 | 0,13 | 0,14 |
| Risque cumulé 0-74 ans (%) | 0,23 | 0,19 | 0,21 |

a : proportion calculée par rapport au total des cas enregistrés en fonction du sexe

En termes de cas incidents, les effectifs les plus élevés étaient notés chez les sujets âgés entre 55 et 59 ans avec des proportions respectives de 16,6 % et 14,6 % chez les hommes et les femmes. (Figure 121)

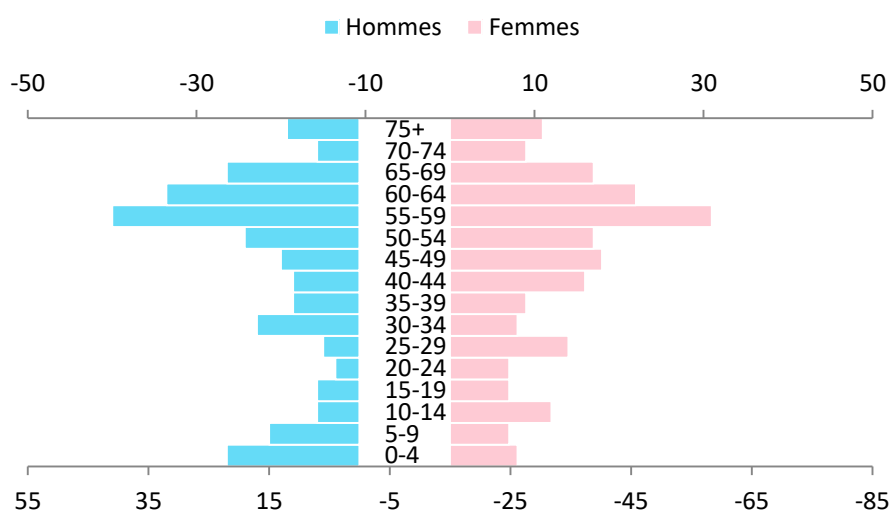


Figure 121 : Répartition du nombre de cas de cancer du Système nerveux central en fonction du sexe et des classes d'âge pour la période 2013-2017. RCGC

Chez l'adulte, les taux d'incidence spécifique les plus élevés ont été enregistrés chez les hommes âgés entre 5 et 59 ans avec un taux de 9,9 pour 100000 et les femmes âgées entre 65 et 69 ans avec un taux de 7,3 pour 100000. Chez l'enfant, le taux d'incidence spécifique le

plus élevé a été enregistré chez les garçons de 0-4 ans avec 2,2 pour 100000 et chez les filles âgées entre 10 et 14 ans avec 1,5 pour 100000. (Figure 122)

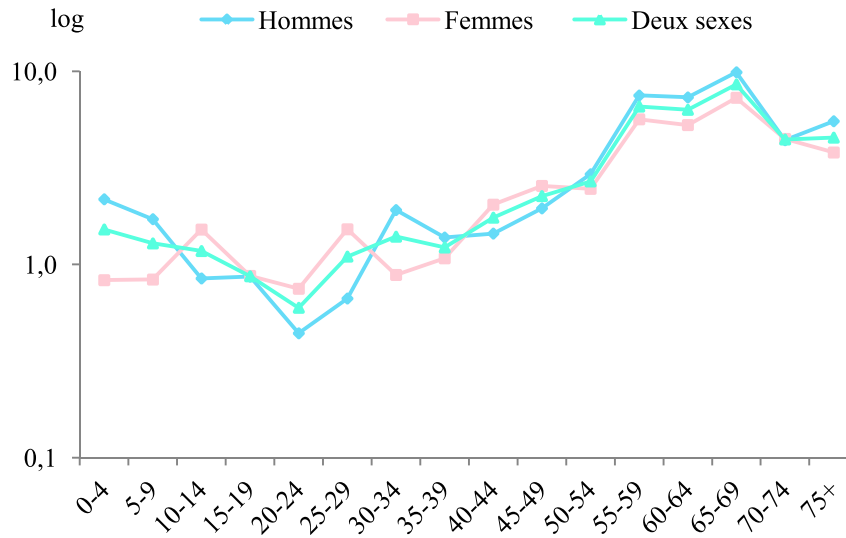


Figure 122 : Incidences spécifiques du cancer du Système nerveux central selon le sexe pour la période 2013-2017. RCGC

Environ 40 % des cas de cancer enregistrés au niveau du système nerveux central étaient des glioblastomes. Les astrocytomes, les méningiomes et les gliomes malins étaient fréquents à des proportions respectives de 17,4 %, 8,1 % et 6 % des cas. (Figure 123)

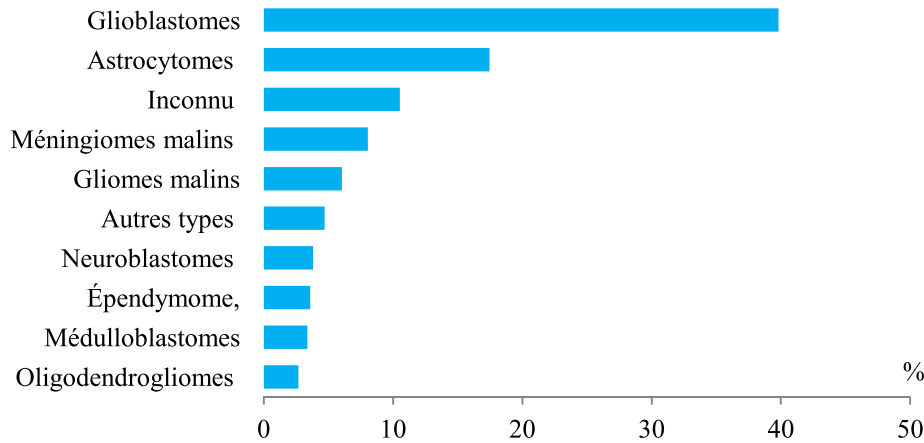


Figure 123 : Répartition des cas de cancer du Système nerveux central selon le type histologique de la tumeur, pour la période 2013-2017. RCGC

**Thyroïde et autres glandes endocrines
C73-75**

REGISTRE DES CANCERS

**de la Région
du Grand Casablanca**

**Rapport d'Incidence
2013 - 2017**

Thyroïde et autres glandes endocrines C73-75

Dans ce groupe, ont été incluses les localisations suivantes :

| <u>Organes</u> | <u>Code CIM-O-3</u> |
|---|---------------------|
| Thyroïde | C73 |
| Glande surrénale | C74 |
| Autres glandes endocrines et structures apparentées | C75 |

Un total de 1997 nouveaux cas de cancer a été enregistré au niveau de la glande thyroïde et des autres glandes endocrines. Ce groupe représentait 11,5 % des cancers de la femme et 3,0 % des cancers de l'homme. L'incidence brute était de 15,5 pour 100000 chez la femme versus 2,9 pour 100000 chez l'homme. (Tableau 43)

Tableau 43 : Incidences du cancer de la thyroïde et des autres glandes endocrines pour la période 2013-2017.
RCGC

| | Hommes | Femmes | Deux sexes |
|--|--------|--------|------------|
| Cas incidents | 313 | 1684 | 1997 |
| Fréquence (%) | 3,0 | 11,5 | 7,9 |
| Incidence brute /100000 | 2,9 | 15,5 | 9,3 |
| Incidence standardisée sur la population Marocaine /100000 | 2,7 | 14,2 | 8,5 |
| Incidence standardisée sur la population Mondiale /100000 | 2,8 | 13,8 | 8,4 |
| Incidence cumulée 0-64 ans (%) | 0,21 | 1,11 | 0,66 |
| Incidence cumulée 0-74 ans (%) | 0,29 | 1,38 | 0,84 |
| Risque cumulé 0-64 ans (%) | 0,21 | 1,10 | 0,66 |
| Risque cumulé 0-74 ans (%) | 0,29 | 1,37 | 0,84 |

a : proportion calculée par rapport au total des cas enregistrés en fonction du sexe

Selon la distribution des cas de cancer de la thyroïde et des glandes endocrines en fonction de l'âge, les femmes âgées entre 45 et 49 ans étaient les plus représentées (13,8%) suivies de celles âgées entre 50 et 54 ans (13,0%). Chez l'homme, la classe des 60 -64 ans et des 55-59 ans puis des 45-49 ans étaient les plus représentées avec des proportions respectives de 13,7 %, 13,7 % et 12,5%. (Figure 124)

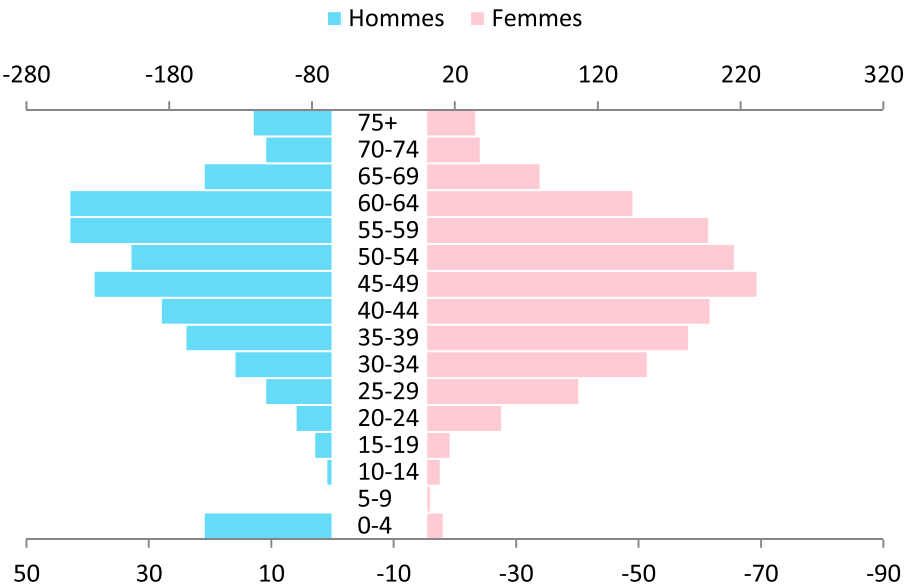


Figure 124 : Répartition du nombre de cas du cancer de la thyroïde et des autres glandes endocrines en fonction du sexe et des classes d'âge pour la période 2013-2017. RCGC

De manière générale, les taux enregistrés chez les femmes étaient plus élevés comparés à ceux notés chez les hommes. Les taux d'incidence spécifique de ce groupe augmentaient avec l'âge enregistrant un pic de 36,1 pour 100000 femmes âgées entre 55 et 59 ans et de 9,8 pour 100000 hommes âgés entre 60 et 64 ans. (Figure 125)

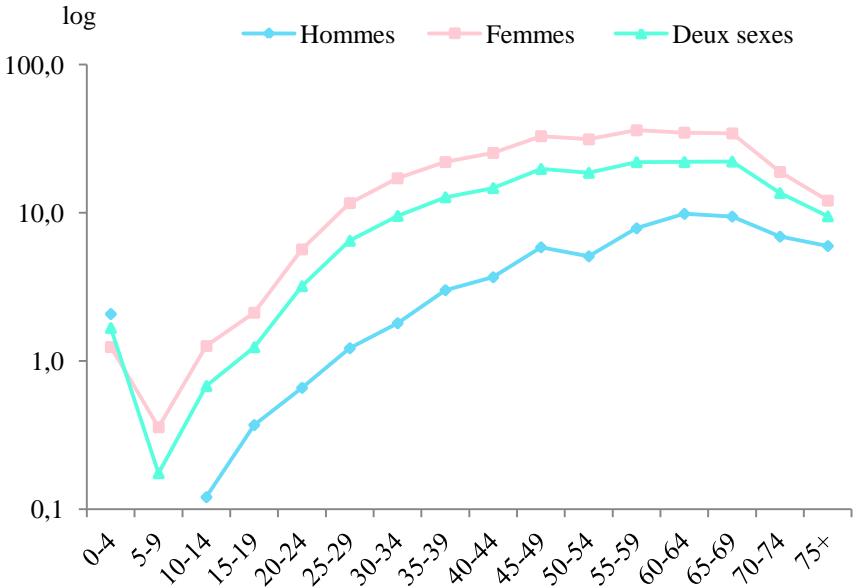


Figure 125 : Incidences spécifiques du cancer de la thyroïde et des autres glandes endocrines selon le sexe pour la période 2013-2017. RCGC

Dans ce groupe, la principale localisation était le cancer de la thyroïde avec une proportion 87,2 % et chez les hommes et 98,0 % chez les femmes. (Figure 126, Figure 127)

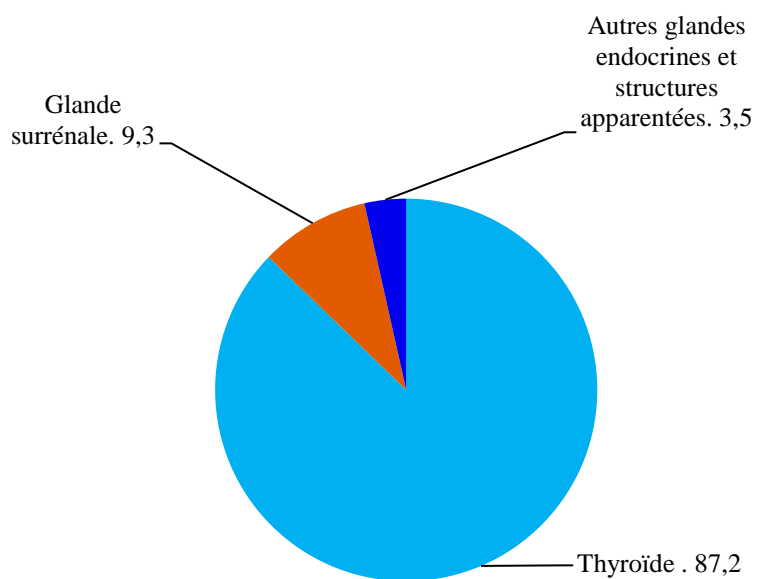


Figure 126 : Fréquences (%) des différentes localisations du cancer au sein du groupe C73-75 chez les hommes durant la période 2013-2017. RCGC

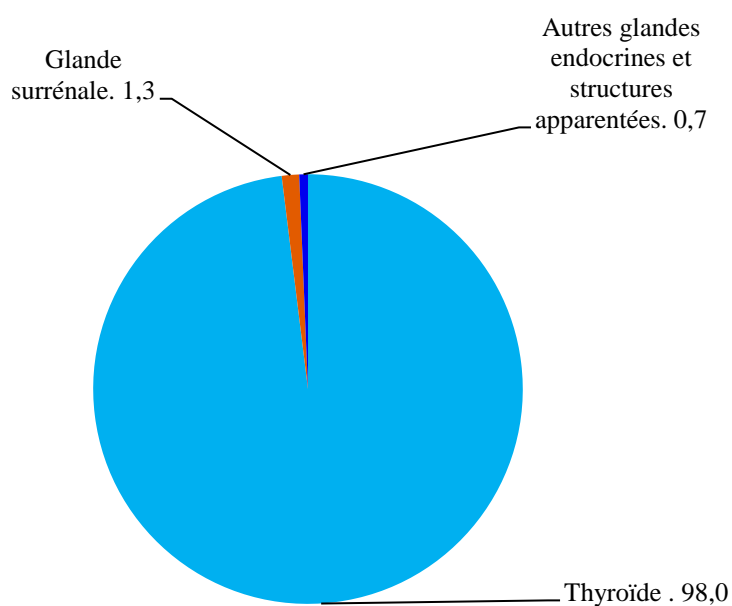


Figure 127 : Fréquences (%) des différentes localisations du cancer au sein du groupe C73-75 chez les femmes durant la période 2013-2017. RCGC

Thyroïde C73

Un total de 1924 nouveaux cas de cancer de la thyroïde a été enregistré durant la période 2013-2017, soit une proportion d'environ 8 % de tous les cancers chez les deux sexes et 11,3 % des cancers de la femme. L'incidence brute était de 15,2 chez la femme versus 2,6 pour 100000 chez l'homme. L'incidence cumulée et le risque cumulé avant l'âge de 65 ans étaient de 1,1 % chez la femme. (Tableau 44)

Tableau 44 : Incidences du cancer de la thyroïde pour la période 2013-2017. RCGC

| | Hommes | Femmes | Deux sexes |
|--|--------|--------|------------|
| Cas incidents | 273 | 1651 | 1924 |
| Fréquence (%) | 2,6 | 11,3 | 7,7 |
| Incidence brute /100000 | 2,6 | 15,2 | 8,9 |
| Incidence standardisée sur la population Marocaine /100000 | 2,3 | 13,9 | 8,1 |
| Incidence standardisée sur la population Mondiale /100000 | 2,4 | 13,4 | 8,0 |
| Incidence cumulée 0-64 ans (%) | 0,2 | 1,1 | 0,6 |
| Incidence cumulée 0-74 ans (%) | 0,3 | 1,4 | 0,8 |
| Risque cumulé 0-64 ans (%) | 0,2 | 1,1 | 0,6 |
| Risque Cumulé 0-74 ans (%) | 0,3 | 1,3 | 0,8 |

a : proportion calculée par rapport au total des cas enregistrés en fonction du sexe

En termes de cas incidents, la classe d'âge la plus représentée était celle des femmes âgées entre 45 et 49 ans, suivie de la classe de 50-54 ans puis celle comprise entre 55 et 59 ans et la classe 40-44 ans . Ces dernières représentaient 50,8 % du total des cancers de la thyroïde enregistrés chez la femme. Chez l'homme, les sujets âgés entre 55 et 64 ans représentaient 30 % du nombre total enregistrés chez le sexe masculin. (Figure 128)

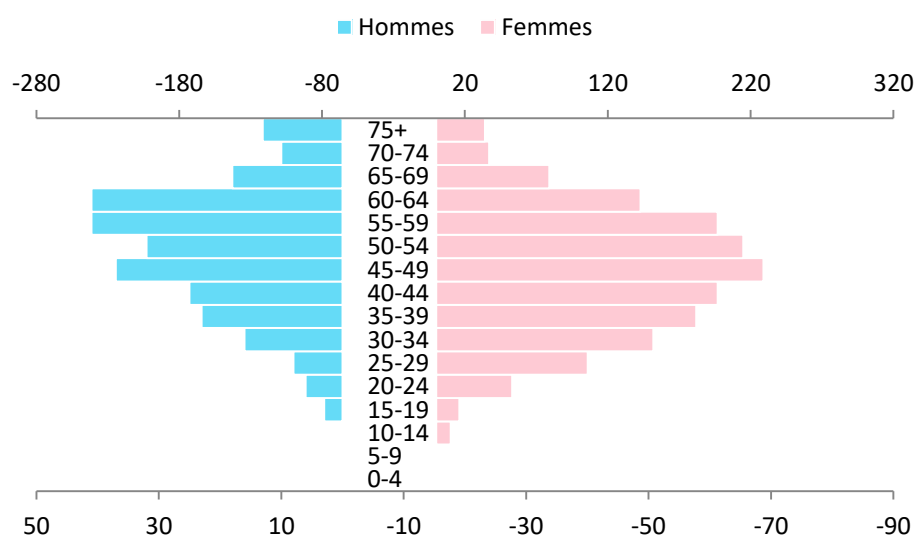


Figure 128 : Répartition du nombre de cas du cancer de la thyroïde en fonction du sexe et des classes d'âge pour la période 2013-2017. RCGC

La figure ci-dessous, représentant les taux d'incidence spécifique du cancer de la thyroïde selon le sexe, avait montré des taux plus élevés chez les femmes comparées aux hommes avec des pics d'incidence enregistrés chez les femmes âgées entre 55 et 59 ans (35,9 pour 100000 femmes) et des hommes âgés entre 60 et 64 ans (9,4 pour 100000 hommes). (Figure 129)

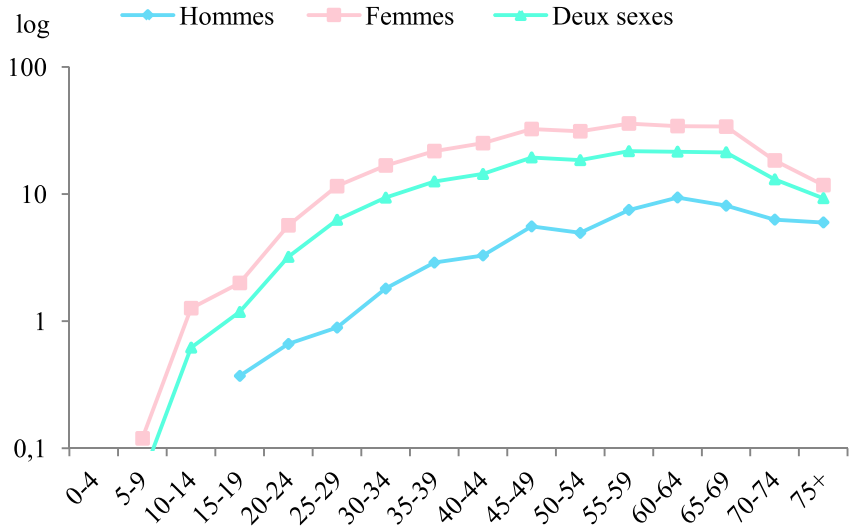


Figure 129 : Incidences spécifiques du cancer de la thyroïde selon le sexe pour la période 2013-2017. RCGC

La distribution des cas de cancer de la thyroïde selon la nature histologique des tumeurs avait objectivé une prédominance des carcinomes papillaires avec une proportion de 82 % des cas. Les micro-carcinomes papillaires occupaient le deuxième rang avec une fréquence de 8 % des cas, tandis que les autres types histologiques comme les adénocarcinomes vésiculaires et les carcinomes vésiculaires étaient enregistrés dans 3 % et 2% des cas respectivement. (Figure 130)

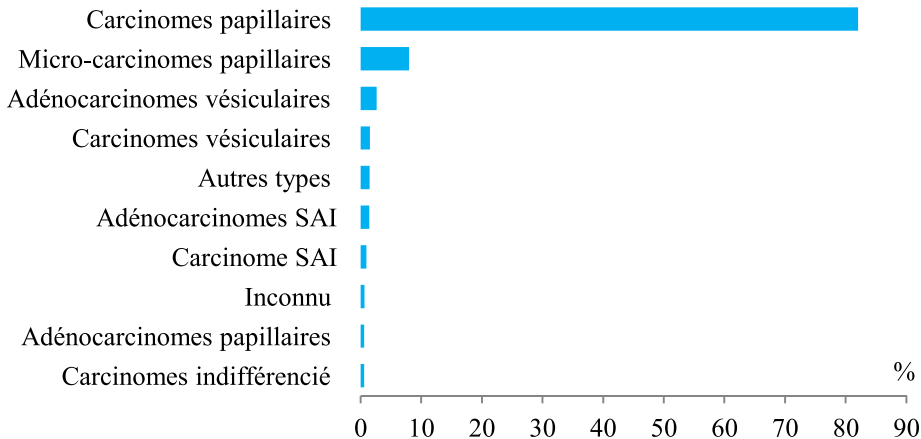


Figure 130 : Répartition des cas du cancer de la thyroïde selon le type histologique de la tumeur, pour la période 2013-2017. RCGC

Le stade des tumeurs était renseigné dans 85 % des cas, le stade I a été rapporté dans environ 88,5 % des cancers de la thyroïde. Le stade II, III et IV étaient notés dans 7,9 %, 1,7 % et 1,5 % des cas de manière respective. (Figure 131)

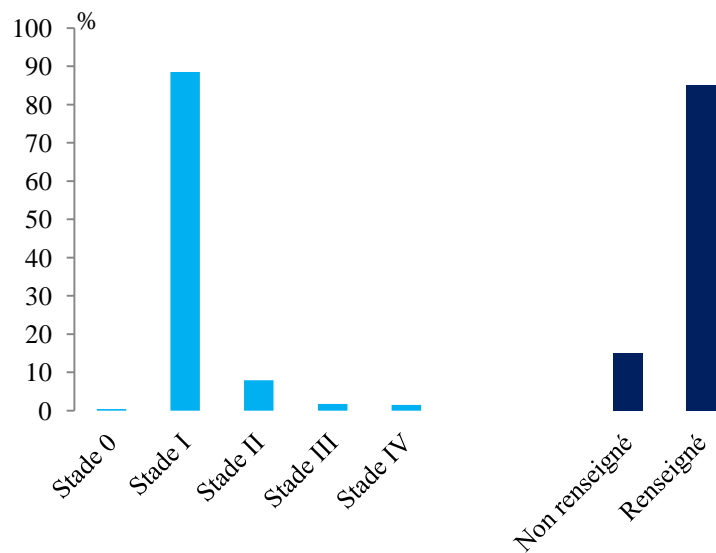


Figure 131 : Répartition des cas de cancer de la thyroïde selon le stade au moment du diagnostic, pour la période 2013-2017.RCGC

**Hémopathies malignes
(C81- 85, C88 , C91- 96, MPD, MDS)**

REGISTRE DES CANCERS

**de la Région
du Grand Casablanca**

**Rapport d'Incidence
2013 - 2017**

Hémopathies malignes (C81-85 ; C88 ; C91-96, MPD,MDS)

Dans ce groupe, ont été inclus les cancers suivants :

| Type d'hémopathie | Code CIM-O-3 |
|-------------------------------------|--------------|
| La maladie de Hodgkin | C81 |
| Lymphome Malin non Hodgkinien (LNH) | C82-85 ; C96 |
| Maladies immuno-prolifératives | C88 |
| Myélome multiple | C90 |
| Leucémies lymphoïdes | C91 |
| Leucémies myéloïdes | C92-94 |
| Leucémies non spécifiées | C95 |
| Syndrome myélo-prolifératif | MPD |
| Syndrome myélodysplasique | MDS |

Durant la période 2013-2017, les hémopathies malignes représentaient 8,9 % des cancers enregistrés soit un total de cas incidents de 2231. Le taux brut s'élevait à 10,4 pour 100000 chez les deux sexes (11,0 chez l'homme versus 9,7 pour 100000 chez la femme). Le risque cumulé avant l'âge de 75 ans était 1,1 %. (Tableau 45)

Tableau 45 : Incidences des hémopathies malignes pour la période 2013-2017. RCGC

| | Hommes | Femmes | Deux sexes |
|--|--------|--------|------------|
| Cas incidents | 1173 | 1058 | 2231 |
| Fréquence (%) | 11,1 | 7,3 | 8,9 |
| Incidence brute /100000 | 11,0 | 9,7 | 10,4 |
| Incidence standardisée sur la population Marocaine /100000 | 9,7 | 8,6 | 9,1 |
| Incidence standardisée sur la population Mondiale /100000 | 11,1 | 9,4 | 10,2 |
| Incidence cumulée 0-64 ans (%) | 0,6 | 0,6 | 0,6 |
| Incidence cumulée 0-74 ans (%) | 1,1 | 1,0 | 1,1 |
| Risque cumulé 0-64 ans (%) | 0,6 | 0,6 | 0,6 |
| Risque Cumulé 0-74 ans (%) | 1,1 | 1,0 | 1,1 |

a : proportion calculée par rapport au total des cas enregistrés en fonction du sexe

La distribution des cas selon l'âge était multimodale pour les deux sexes. Ainsi, chez les hommes les trois classes modales observées concernaient les sujets âgés de 75 ans et plus puis ceux âgés entre 55 et 59 ans et la classe d'âge allant de 60 à 64 ans. Chez les femmes les deux classes ayant enregistré les effectifs les plus élevés étaient la classe des 75 ans et plus et celle comprise entre 60 et 64 ans. (Figure 132)

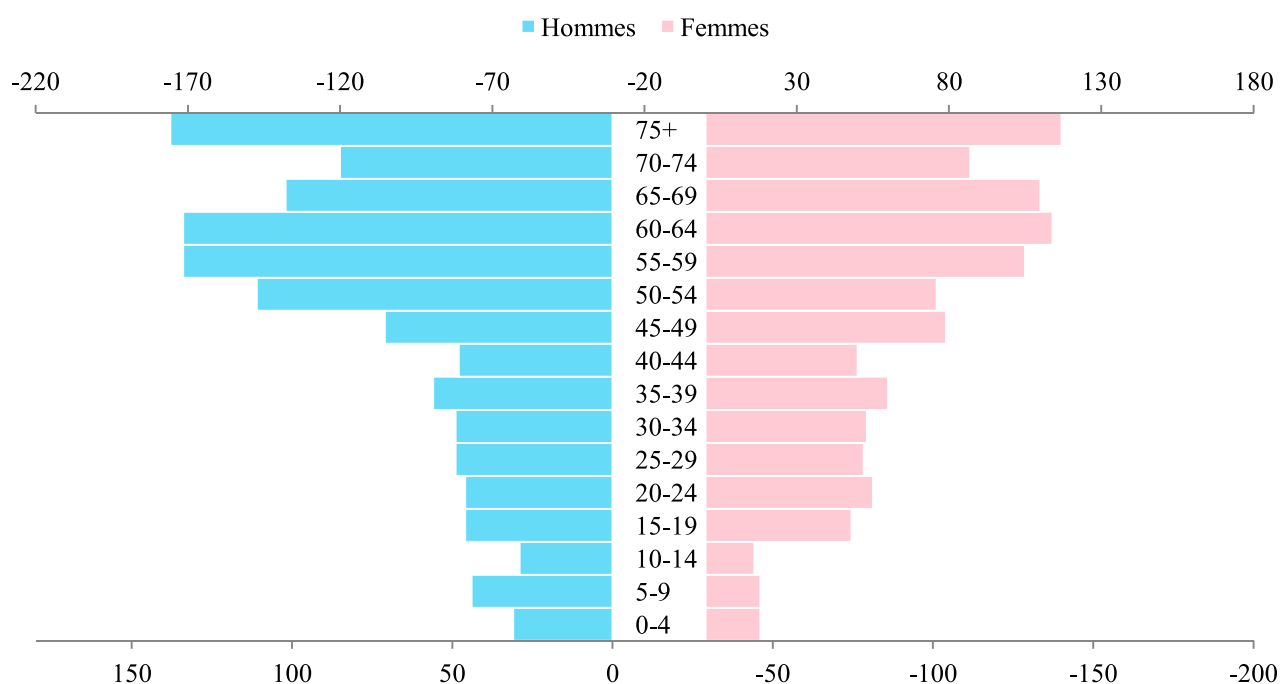


Figure 132 : Répartition du nombre de cas d'hémopathies malignes en fonction du sexe et des classes d'âge pour la période 2013-2017. RCGC

Les taux d'incidence spécifique des hémopathies malignes étaient pratiquement similaires chez les hommes et les femmes à l'exception des classes d'âge extrêmes où les incidences chez le sexe masculin étaient légèrement plus élevées que celles du sexe féminin. Les taux les plus élevés étaient notés chez les hommes de 75 et plus (63,4 pour 100000) et les femmes âgées entre 65 ans et 69 ans (47,2 pour 100000). (Figure 133)

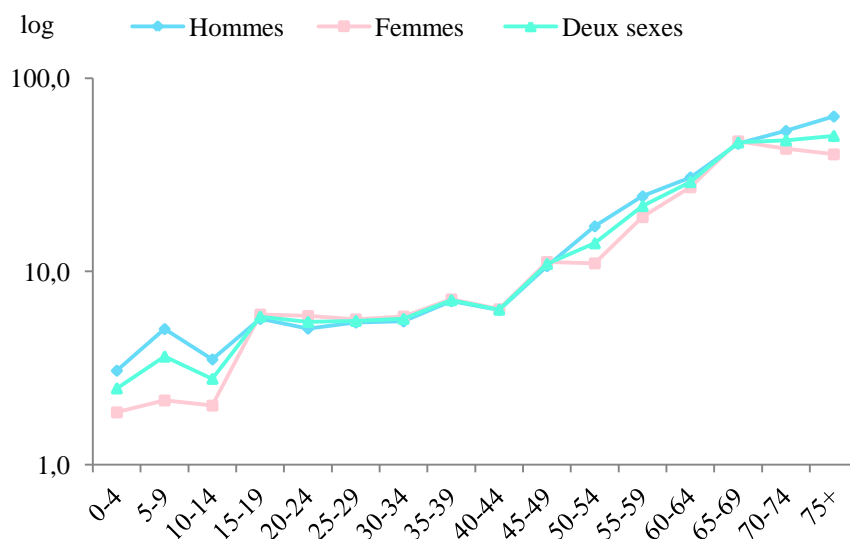


Figure 133 : Incidences spécifiques des hémopathies malignes selon le sexe pour la période 2013-2017. RCGC

Les hémopathies malignes étaient dominées par le lymphome malin non Hodgkinien avec une proportion de 40,9 % chez les hommes et 36,1 % chez les femmes. Les leucémies myéloïdes et lymphoïdes représentaient respectivement 12,5 % et 11,2 % chez les hommes versus 13,2 % et 8,1 % chez les femmes. (Figure 134, Figure 135)

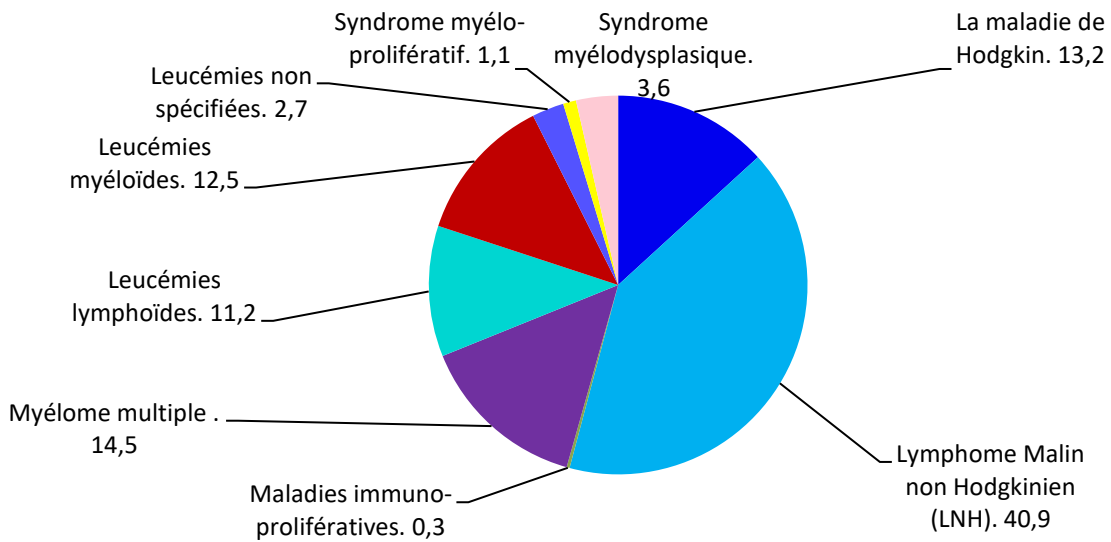


Figure 134 : Fréquences (%) des différents types d'hémopathies malignes au sein du groupe d'hémopathies chez les hommes durant la période 2013-2017. RCGC

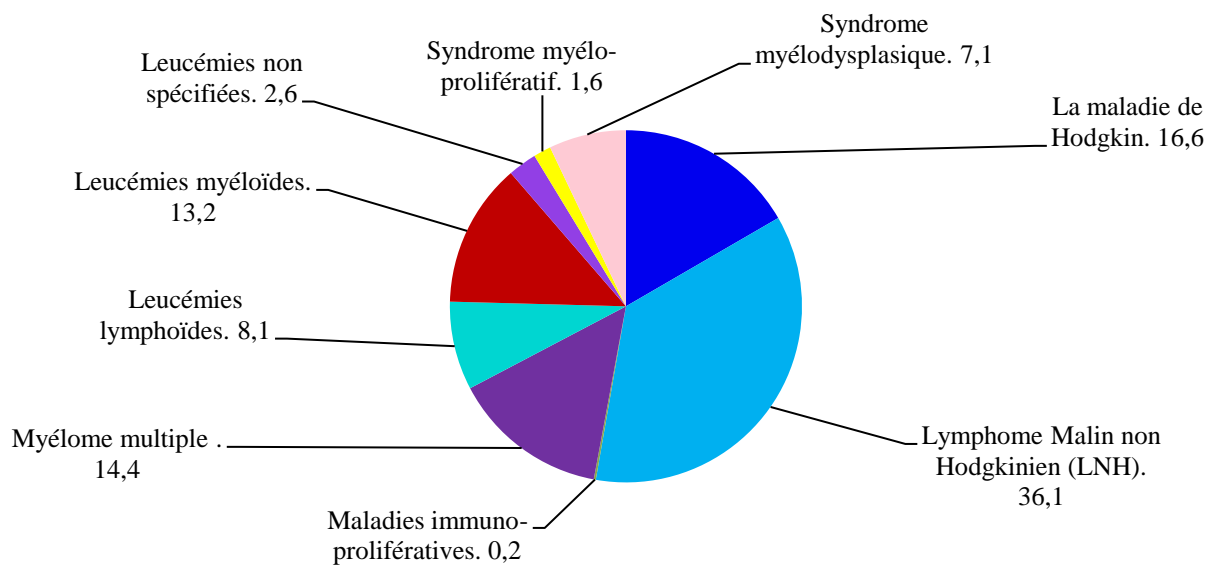


Figure 135 : Fréquences (%) des différents types d'hémopathies malignes au sein du groupe d'hémopathies chez les femmes durant la période 2013-2017. RCGC

Maladie de Hodgkin C81

Un total de 331 cas de maladie de Hodgkin a été enregistré durant la période 2013 -2017 soit une proportion de 1,3 % de tous les cancers enregistrés et 14,8 % des hémopathies. Son incidence brute était de 1,5 pour 100000 habitants, ce taux était presque similaire pour les deux sexes. Le risque cumulé 0-64 ans était de 0,1 %. (Tableau 46)

Tableau 46 : Incidences de la maladie de Hodgkin pour la période 2013-2017. RCGC

| | Hommes | Femmes | Deux sexes |
|--|--------|--------|------------|
| Cas incidents | 155 | 176 | 331 |
| Fréquence ^a (%) | 1,5 | 1,2 | 1,3 |
| Fréquence ^b (%) | 13,2 | 16,6 | 14,8 |
| Incidence brute /100000 | 1,5 | 1,6 | 1,5 |
| Incidence standardisée sur la population Marocaine /100000 | 1,4 | 1,6 | 1,5 |
| Incidence standardisée sur la population Mondiale /100000 | 1,4 | 1,5 | 1,5 |
| Incidence cumulée 0-64 ans (%) | 0,1 | 0,1 | 0,1 |
| Incidence cumulée 0-74 ans (%) | 0,1 | 0,1 | 0,1 |
| Incidence cumulée 0-64 ans (%) | 0,1 | 0,1 | 0,1 |
| Incidence cumulée 0-74 ans (%) | 0,1 | 0,1 | 0,1 |

a : proportion calculée par rapport au total des cas de cancer enregistrés en fonction du sexe

b : proportion calculée par rapport au total des hémopathies malignes en fonction du sexe

La distribution des cas de la maladie de Hodgkin selon l'âge avait objectivé une prédominance de jeunes femmes âgées entre 20 et 24 ans et des adolescents de sexe masculin âgés entre 15 et 19 ans avec des proportions respectives de 20,5 % et 11 % . (Figure 136)

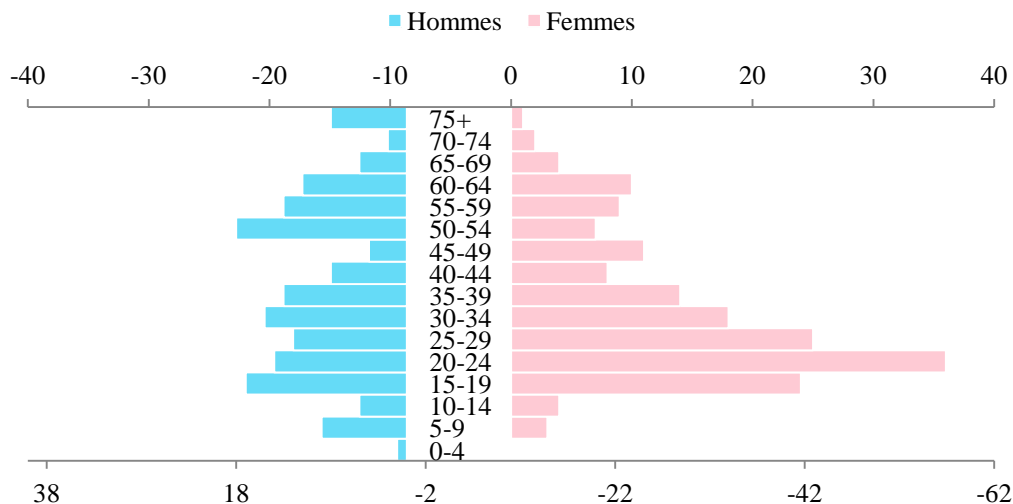


Figure 136 : Répartition du nombre de cas de la maladie de Hodgkin en fonction du sexe et des classes d'âge pour la période 2013-2017. RCGC

En termes d'incidences spécifiques, des pics de 3,9 et 3,7 pour 100000 ont été enregistrés chez les jeunes femmes âgées entre 20 et 24 ans et les sujets de sexe masculin âgés de 75 ans et plus respectivement. (Figure 137)

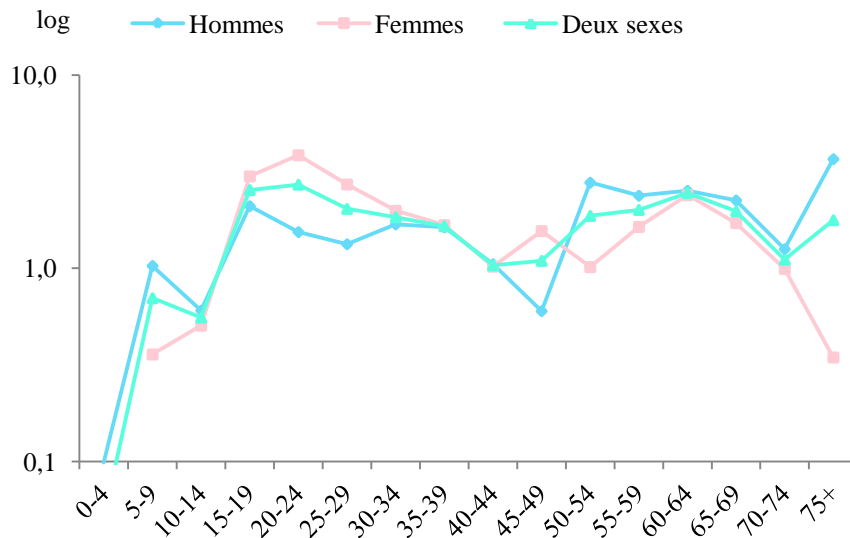


Figure 137 : Incidences spécifiques de la maladie de Hodgkin selon le sexe pour la période 2013-2017. RCGC

Lymphomes malins non Hodgkiniens C82-85,C96

Un total de 862 nouveaux cas de LNH a été enregistré entre 2013 et 2017, soit une proportion de 3,4 % de tous les cancers et 38,6 % des hémopathies, tous sexes confondus. Son taux brut était de 4 pour 100000 (4,5 chez l'homme versus 3,5 pour 100000 chez la femme) le risque cumulé 0-74 ans était de 0,4%. (Tableau 47)

Tableau 47 : Incidences des lymphomes malins non hodgkiniens selon le sexe pour la période 2013-2017. RCGC

| | Hommes | Femmes | Deux sexes |
|--|--------|--------|------------|
| Cas incidents | 480 | 382 | 862 |
| Fréquence ^a (%) | 4,5 | 2,6 | 3,4 |
| Fréquence ^b (%) | 40,9 | 36,1 | 38,6 |
| Incidence brute /100000 | 4,5 | 3,5 | 4,0 |
| Incidence standardisée sur la population Marocaine /100000 | 3,9 | 3,0 | 3,4 |
| Incidence standardisée sur la population Mondiale /100000 | 4,5 | 3,4 | 3,9 |
| Incidence cumulée 0-64 ans (%) | 0,3 | 0,2 | 0,2 |
| Incidence cumulée 0-74 ans (%) | 0,5 | 0,4 | 0,4 |
| Risque cumulé 0-64 ans (%) | 0,3 | 0,2 | 0,2 |
| Risque cumulé 0-74 ans (%) | 0,5 | 0,4 | 0,4 |

a : proportion calculée par rapport au total des cas de cancer enregistrés en fonction du sexe

b : proportion calculée par rapport au total des hémopathies malignes en fonction du sexe

Les effectifs les plus élevés ont été enregistrés parmi les femmes âgées de 75 ans et plus et entre 65 et 69 ans. Chez les hommes, se sont ceux âgés entre 55 et 59 qui étaient les plus représentés suivis de ceux âgés entre 60 et 64 ans puis ceux de 75 ans et plus. Les sujets de 60 ans et plus représentaient 49 % et 44 % des femmes et des hommes atteints de LNH de manière respective. (Figure 138)

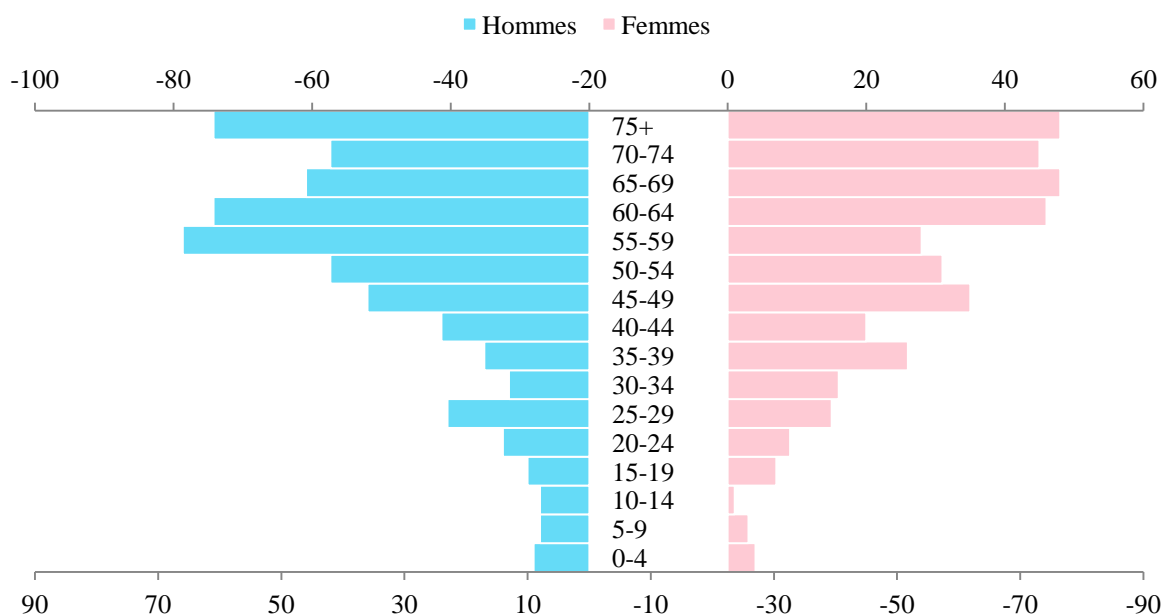


Figure 138 : Répartition du nombre de cas de lymphomes malin non hodgkiniens en fonction du sexe et des classes d'âge pour la période 2013-2017. RCGC

Les taux d'incidence spécifique du LNH étaient légèrement plus élevés chez le sexe masculin comparés aux taus enregistrés chez le sexe féminin. Ils augmentaient avec l'âge pour enregistrer des pics de 28,0 pour 100000 parmi les hommes de 75 ans et plus et de 22,3 chez les femmes âgées entre 70 et 74 ans. (Figure 139)

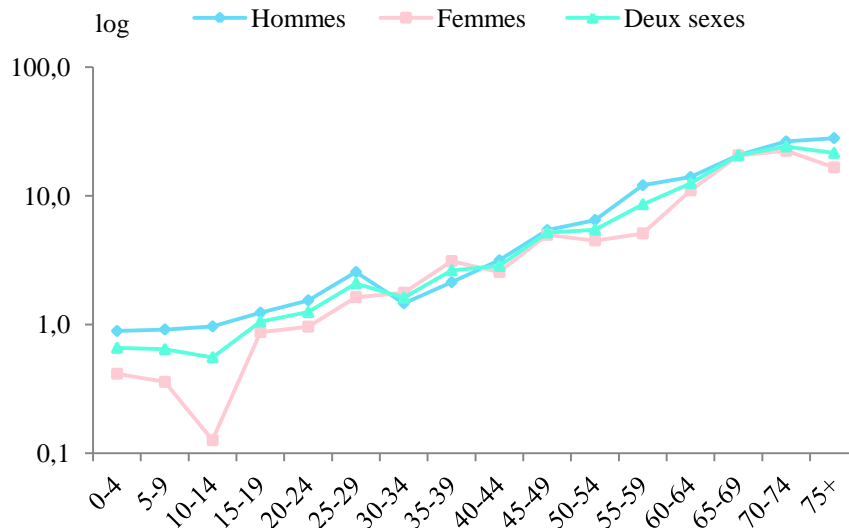


Figure 139 : Incidences spécifiques des lymphomes malin non hodgkiniens selon le sexe pour la période 2013-2017. RCGC

Leucémies C91,C92-94, C95

Durant la période 2013-2017, un total de 564 nouveaux cas de leucémies a été enregistré, représentant ainsi 2,2 % de tous les cancers enregistrés et 25 % du total des hémopathies malignes pour la même période. Leur taux brut était de 2,6 pour 100000 habitants (2,9 chez l'homme versus 2,3 pour 100000 chez la femme. (Tableau 48)

Tableau 48 : Incidences des leucémies selon le sexe pour la période 2013-2017. RCGC

| | Hommes | Femmes | Deux sexes |
|--|--------|--------|------------|
| Cas incidents | 310 | 254 | 564 |
| Fréquence ^a (%) | 2,9 | 1,7 | 2,2 |
| Fréquence ^b (%) | 26,4 | 24,0 | 25,3 |
| Incidence brute /100000 | 2,9 | 2,3 | 2,6 |
| Incidence standardisée sur la population Marocaine /100000 | 2,7 | 2,1 | 2,4 |
| Incidence standardisée sur la population Mondiale /100000 | 3,0 | 2,3 | 2,7 |
| Incidence cumulée 0-64 ans (%) | 0,2 | 0,1 | 0,2 |
| Incidence cumulée 0-74 ans (%) | 0,3 | 0,2 | 0,3 |
| Incidence cumulée 0-64 ans (%) | 0,2 | 0,1 | 0,2 |
| Incidence cumulée 0-74 ans (%) | 0,3 | 0,2 | 0,3 |

a : proportion calculé par rapport au total des cas de cancer enregistrés en fonction du sexe

b : proportion calculée par rapport au total des hémopathies malignes en fonction du sexe

Les sujets de 55 ans et plus représentaient respectivement 47,1 % et 54,3 % des cas de leucémies observés chez le sexe masculin et féminin, tandis que les enfants et les adolescents de sexe masculin et féminin de moins de 20 ans représentaient respectivement 26,1 % et 19,3 % de l'ensemble des cas de leucémies enregistrés. (Figure 140)



Figure 140 : Répartition du nombre de cas des leucémies en fonction du sexe et des classes d'âge pour la période 2013-2017. RCGC

Les taux enregistrés avant 40 ans étaient légèrement plus élevés chez le sexe masculin, tandis qu'au-delà, les taux observés étaient quasi similaires entre les deux sexes avec des pics de 13,3 pour 100000 hommes âgés de 75 ans et 11,0 pour 100000 femmes âgées entre 65 et 69 ans. (Figure 141)

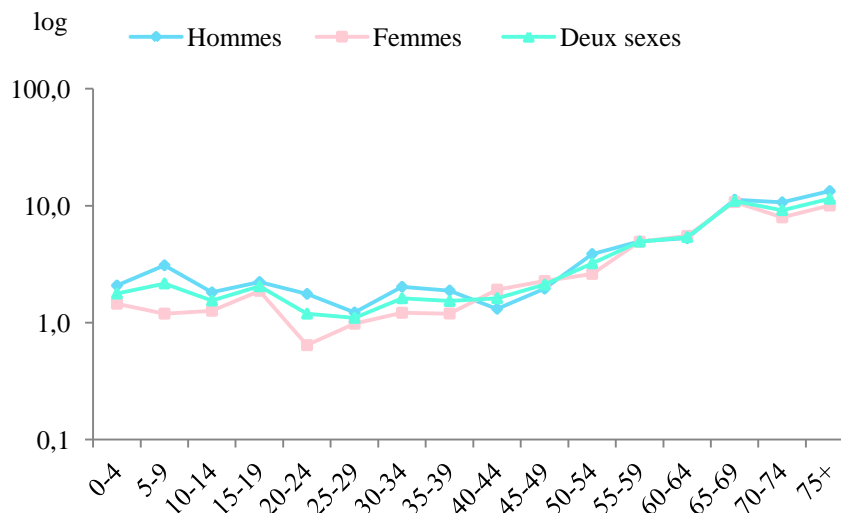


Figure 141 : Incidences spécifiques des leucémies selon le sexe pour la période 2013-2017. RCGC

Leucémies lymphoïdes C91

Le nombre de cas de leucémies lymphoïdes enregistrés entre 2013 et 2017 était de 217, soit 0,9 % du total de cancer enregistré et 38,5 % du total des leucémies. Le taux brut était d'environ 1 pour 100000 habitants. (Tableau 49)

Tableau 49 : Incidences des leucémies lymphoïdes selon le sexe pour la période 2013-2017. RCGC

| | Hommes | Femmes | Deux sexes |
|--|--------|--------|------------|
| Cas incidents | 131 | 86 | 217 |
| Fréquence ^a (%) | 1,2 | 0,6 | 0,9 |
| Fréquence ^b (%) | 11,2 | 8,1 | 9,7 |
| Incidence brute /100000 | 1,2 | 0,8 | 1,0 |
| Incidence standardisée sur la population Marocaine /100000 | 1,2 | 0,7 | 1,0 |
| Incidence standardisée sur la population Mondiale /100000 | 1,3 | 0,8 | 1,1 |
| Incidence cumulée 0-64 ans (%) | 0,07 | 0,04 | 0,06 |
| Incidence cumulée 0-74 ans (%) | 0,12 | 0,08 | 0,10 |
| Risque cumulé 0-64 ans (%) | 0,07 | 0,04 | 0,06 |
| Risque cumulé 0-74 ans (%) | 0,12 | 0,08 | 0,10 |

a : proportion calculée par rapport au total des cas de cancer enregistré en fonction du sexe

b : proportion calculée par rapport au total des hémopathies malignes en fonction du sexe

Les classes d'âge les plus représentées en termes de nombre de cas incidents étaient celles comprises entre 55 et 59 ans chez les adultes et celles comprises entre 0 et 4 chez les filles et entre 5 et 9 ans chez les garçons. (Figure 142)



Figure 142 : Répartition du nombre de cas des leucémies lymphoïdes en fonction du sexe et des classes d'âge pour la période 2013-2017. RCGC

Les pics d'incidence étaient de l'ordre de 5,7 pour 100000 hommes âgés entre 70 et 74 ans et de 4,3 pour 100000 femmes âgées entre 65 et 69 ans. Chez les enfants et les adolescents un pic d'incidence a été enregistré chez les garçons âgés entre 5 et 9 ans (1,9 pour 100000) et chez les filles âgées entre 0 et 4 ans (1 pour 100000). (Figure 143)

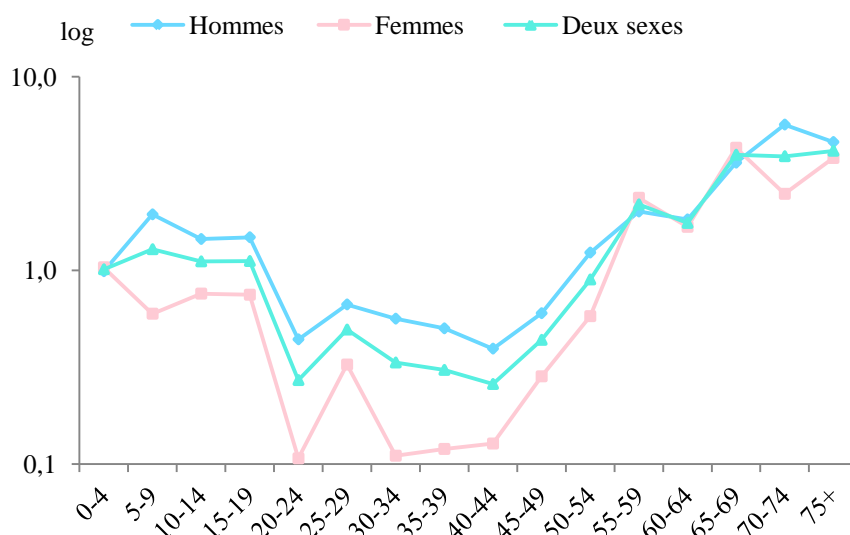


Figure 143 : Incidences spécifiques des leucémies lymphoïdes selon le sexe pour la période 2013-2017. RCGC

Leucémies Myéloïdes C92-94

Cette entité représentait 1,2 % de tous les cas de cancers enregistrés pour la période étudiée, correspondant ainsi à 287 de leucémies myéloïdes. Son incidence brute ne dépassait pas 1,3 pour 100000 habitants. (Tableau 50)

Tableau 50 : Incidence des leucémies myéloïdes selon le sexe pour la période 2013-2017. RCGC

| | Hommes | Femmes | Deux sexes |
|--|--------|--------|------------|
| Cas incidents | 147 | 140 | 287 |
| Fréquence ^a (%) | 1,6 | 1,0 | 1,2 |
| Fréquence ^b (%) | 12,5 | 13,2 | 12,9 |
| Incidence brute /100000 | 1,4 | 1,3 | 1,3 |
| Incidence standardisée sur la population Marocaine /100000 | 1,3 | 1,2 | 1,2 |
| Incidence standardisée sur la population Mondiale /100000 | 1,4 | 1,3 | 1,3 |
| Incidence cumulée 0-64 ans (%) | 0,08 | 0,08 | 0,08 |
| Incidence cumulée 0-74 ans (%) | 0,13 | 0,13 | 0,13 |
| Risque cumulé 0-64 ans (%) | 0,08 | 0,08 | 0,08 |
| Risque cumulé 0-74 ans (%) | 0,13 | 0,13 | 0,13 |

a : proportion calculée par rapport au total des cas enregistrés en fonction du sexe

b : proportion calculée par rapport au total des hémopathies en fonction du sexe

La distribution des cas de leucémies myéloïde était multimodale chez les deux sexes. Les sujets âgés de 50 et plus représentaient respectivement 48,3 % et 50,7 % des cas chez les hommes et les femmes. Les enfants et les adolescents de moins de 20 ans représentaient 16,4 % des cas (17,7 % des cas enregistrés chez le sexe masculin et 15 % des cas enregistrés chez le sexe féminin). (Figure 144)

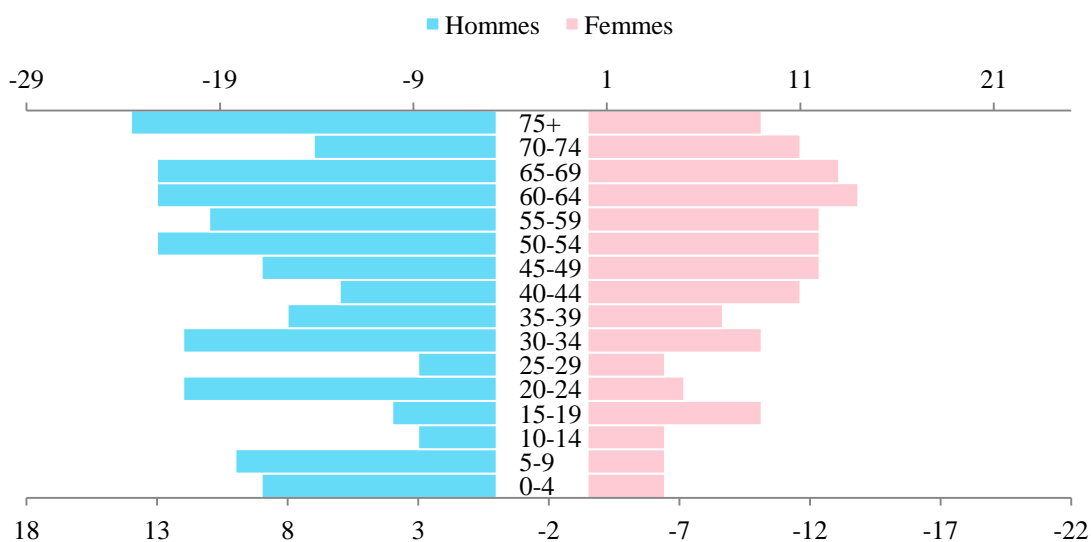


Figure 144 : Répartition du nombre de cas des leucémies myéloïdes en fonction du sexe et des classes d'âge pour la période 2013-2017. RCGC

Avant l'âge de 50 ans, les taux d'incidence spécifique des leucémies myéloïdes étaient inférieurs à 2 pour 100000 habitants. Au-delà de cet âge, une augmentation des taux d'incidence spécifique a été notée pour les deux sexes atteignant un pic de 6,4 pour 100000 chez les hommes de 75 ans et plus et 5,6 pour 100000 femmes âgées entre 65 et 69 ans. (Figure 145)

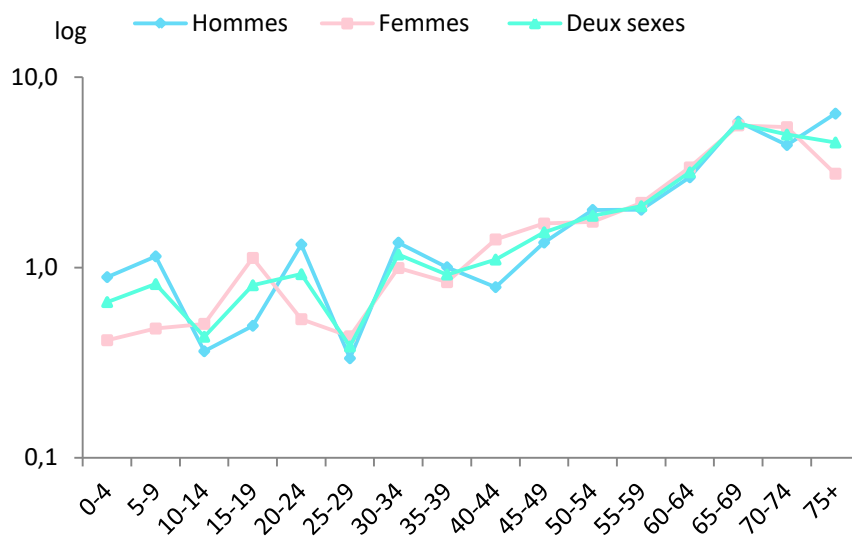


Figure 145 : Incidences spécifiques des leucémies lymphoïdes selon le sexe pour la période 2013-2017. RCGC

**Cancer de l'enfant et de l'adolescent
(0 -19 ans)**

REGISTRE DES CANCERS

**de la Région
du Grand Casablanca**

**Rapport d'Incidence
2013 - 2017**

Cancer de l'enfant et de l'adolescent (0-19 ans)

Dans ce groupe, sont inclus tous les cas de cancer enregistrés chez les sujets âgés entre 0 et 19 ans. Les localisations ont été regroupées par organes selon le tableau suivant :

| Codes | Organes |
|------------|---|
| C00-14 | Lèvres, cavités buccales et pharynx |
| C15-26 | Organes digestifs |
| C30-38;C45 | Système respiratoire et organes intra-thoraciques |
| C40-41 | Os articulation et cartilage articulaire |
| C43-44 | Peau |
| C46 | kaposi |
| C47-49 | Système nerveux autonome, nerfs périphériques et tissus mous |
| C50-58 | Organes féminins |
| C60-63 | Les organes masculins |
| C64-68 | Rein et les voies urinaires |
| C69-72 | Œil, cerveau et autres localisations du Système nerveux central |
| C73-75 | Thyroïde et autres glandes endocrines |
| HM | Hémopathies malignes (C81-85 ; C88 ; C91-96, MPD,MDS) |
| Autres | Autres sites (y compris les localisation non spécifiée) |

Chez les moins de 20 ans, les localisations du cancer les plus fréquentes étaient représentées par les hémopathies malignes avec une proportion de 36,3 % des cas, suivies des tumeurs système nerveux central avec une proportion de 17 % des cas et des tumeurs des glandes endocrines avec 9,7 % des cas. (Figure 146)

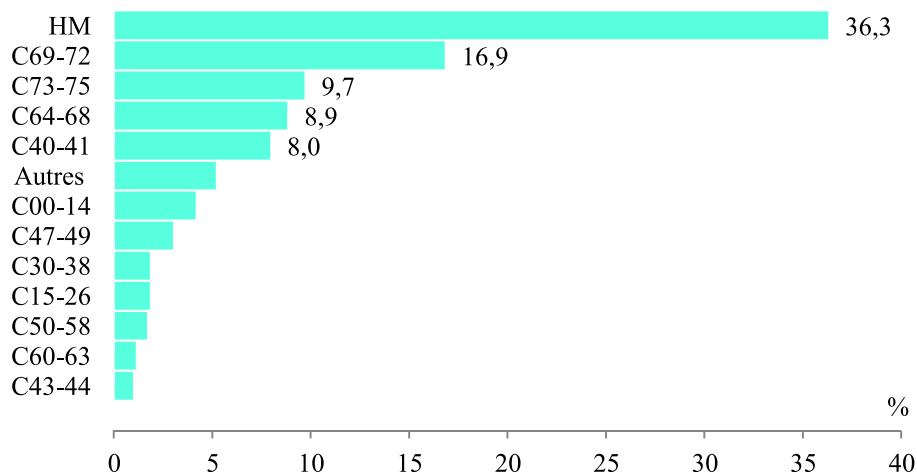


Figure 146 : Représentation des fréquences (%) des localisations des cancers chez l'enfant et l'adolescent (0-19 ans) enregistrées durant la période 2013-2017 chez les deux sexes. RCGC

Chez les filles de moins de 20 ans, les cancers les plus fréquents étaient représentés par les hémopathies malignes au premier rang avec une fréquence de 32,4% des cas suivis des tumeurs du système nerveux central (15,2 % des cas) puis les glandes endocrines enregistrées dans 13,6 % des cas. Les tumeurs du rein et des voies urinaires ainsi que celle de l’os et des articulations étaient notées dans 11,3 % et 7,8 % des cas de manière respective. (Figure 147)

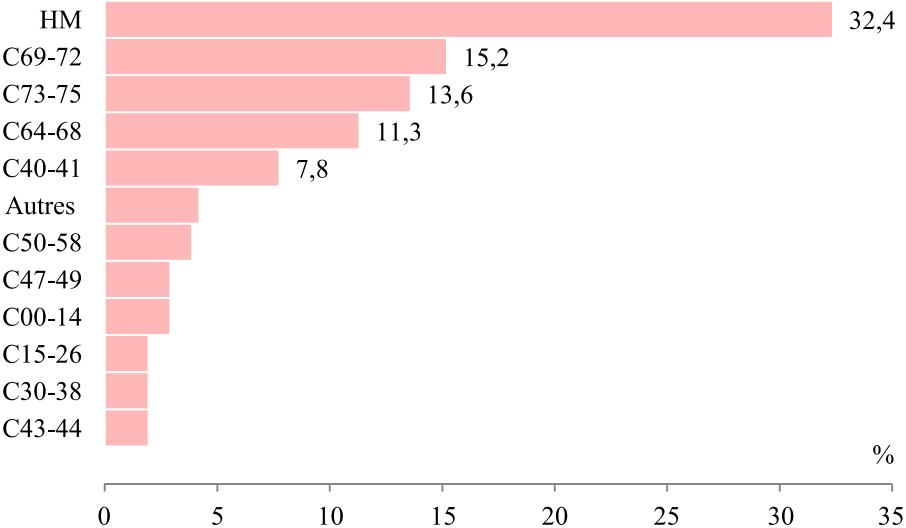


Figure 147 : Représentation des fréquences (%) des localisations cancéreuses chez l’enfant et l’adolescent (0-19 ans) de sexe féminin enregistrées durant la période 2013-2017. RCGC

Chez les garçons de moins de 20 ans, les cancers les plus fréquents étaient représentés par les hémopathies malignes au premier rang avec une fréquence de 39,5 % des cas suivis des tumeurs du système nerveux central avec une proportion de 18,2 %, puis l'os et des articulations avec une proportion de 8,2 % des cas. (Figure 148)

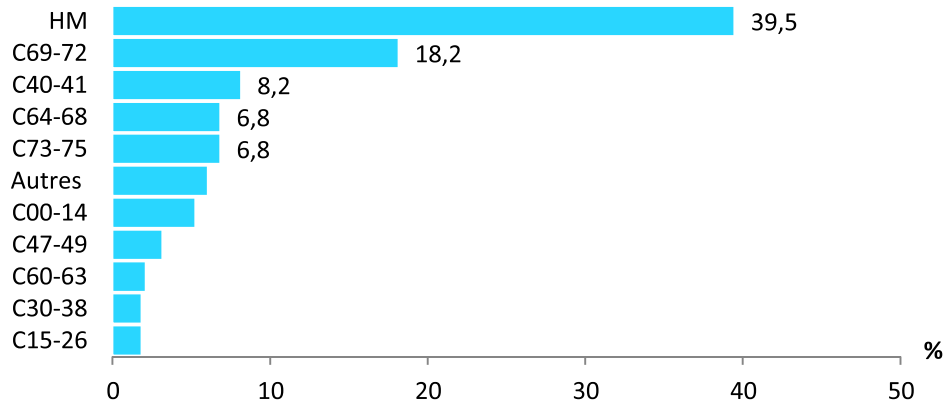


Figure 148 : Représentation des fréquences (%) des localisations cancéreuses chez l'enfant et l'adolescent (0-19 ans) de sexe masculin enregistrées durant la période 2013-2017. RCGC

Un total de 689 nouveaux cas de cancer a été enregistré chez les sujets âgés de moins de 20 ans, représentant ainsi 2,7 % du total des cancers quelque soit l'âge. Le taux brut était de 99,6 pour un million d'enfants chez les deux sexes (107,9 et 91,0 pour un million chez le sexe masculin et féminin respectivement). (Tableau 51)

Tableau 51 : Incidences du cancer chez les enfants et les adolescents (0-19 ans) selon le sexe pour la période 2013-2017. RCGC

| | Masculin | Féminin | Deux sexes |
|---|----------|---------|------------|
| Cas incidents | 380 | 309 | 689 |
| Fréquence ^a (%) | 3,6 | 2,1 | 2,7 |
| Incidence brute /1 million | 107,9 | 91,0 | 99,6 |
| Incidence standardisée sur la population Marocaine /1 million | 107,5 | 91,1 | 99,5 |
| Incidence standardisée sur la population Mondiale /1 million | 108,5 | 90,8 | 99,9 |

a : proportion calculée par rapport au total des cas de cancer enregistrés (tout âge) en fonction du sexe

La distribution des cas selon l'âge était bimodale avec une première classe modale représentée par les enfant âgés entre 0 et 4 ans, représentant 36,8 % chez le sexe masculin et 31,7 % chez le sexe féminin et une deuxième classe modale représentée par les adolescents âgés entre 15 et 19 ans et représentant 25,7 % et 35,3 % chez les garçons et les filles respectivement.(Figure 149)

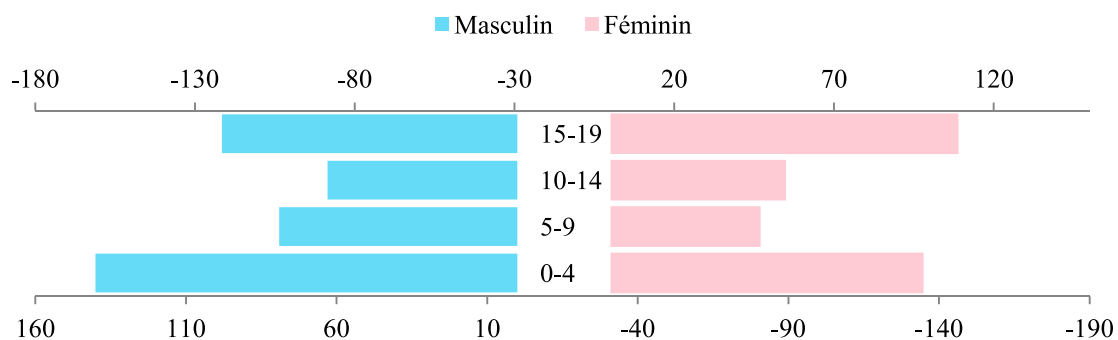


Figure 149 : Répartition des cas de cancers de l'enfant et de l'adolescent (0-19 ans) en fonction des classes d'âge et du sexe durant la période 2013-2017.RCGC

Chez les sujets âgés entre 0 et 19 ans, des pics d'incidences ont été enregistrés pour les classes d'âge de 0-4 ans et 15-19 ans atteignant respectivement 138,5 et 121,0 pour un million chez les garçons et 101,6 et 136,0 pour un million chez les filles de manière respective . (Figure 150)

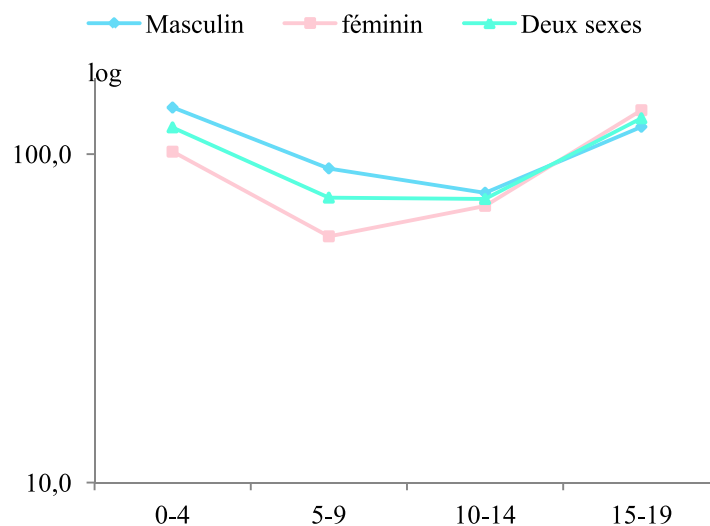


Figure 150 : Incidences spécifiques des cancers de l'enfant et de l'adolescent (0-19 ans) selon le sexe durant la période 2013-2019.RCGC

Hémopathies malignes (C81-85 ; C88 ; C91-96, MPD,MDS)

En termes de fréquence, les leucémies lymphoïdes occupaient le premier rang avec une proportion de 34,0% chez les garçons versus 27,0% chez les filles, suivies du lymphome malin non Hodgkinien et de la maladie de Hodgkin avec respectivement 23,3 % et 21,3 % chez les garçons et 15% puis 31 % chez les filles. (Figure 151)

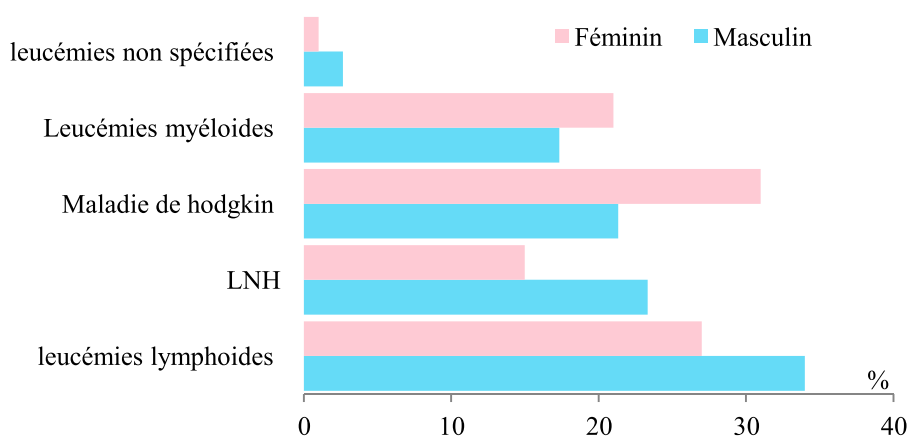


Figure 151 : Répartition des hémopathies malignes chez l'enfant et l'adolescent (0-19 ans) selon le type durant la période 2013-2017. RCGC

Le nombre de cas d'hémopathies malignes enregistrées chez les moins de 20 ans était de 250, soit une proportion de 36,2 % des cas avec un taux brut de 42,6 et 29,5 pour un million chez les garçons et les filles de manière respective. (Tableau 52)

Tableau 52 : Incidences des hémopathies malignes chez les enfants et les adolescents (0-19 ans) selon le sexe pour la période 2013-2017. RCGC

| | Hommes | Femmes | Deux sexes |
|---|--------|--------|------------|
| Cas incidents | 150 | 100 | 250 |
| Fréquence ^a (%) | 1,4 | 0,7 | 1,0 |
| Fréquence ^b (%) | 39,5 | 32,4 | 36,3 |
| Incidence brute / 1million | 42,6 | 29,5 | 36,2 |
| Incidence standardisée sur la population Marocaine /1 million | 42,7 | 29,7 | 36,4 |
| Incidence standardisée sur la population Mondiale /1 million | 42,5 | 29,0 | 35,9 |

a : proportion calculée par rapport au total des cas de cancer enregistrés (tout âge) en fonction du sexe

b : proportion calculée par rapport au total des cas de cancer enregistrés chez les moins de 20 ans en fonction du sexe

Les adolescents âgés entre 15 et 19 ans représentaient 37,6 % de l'ensemble des hémopathies malignes enregistrées chez les moins de 20 ans (30,7 % chez les garçons et 48,0 % chez les filles). (Figure 152)

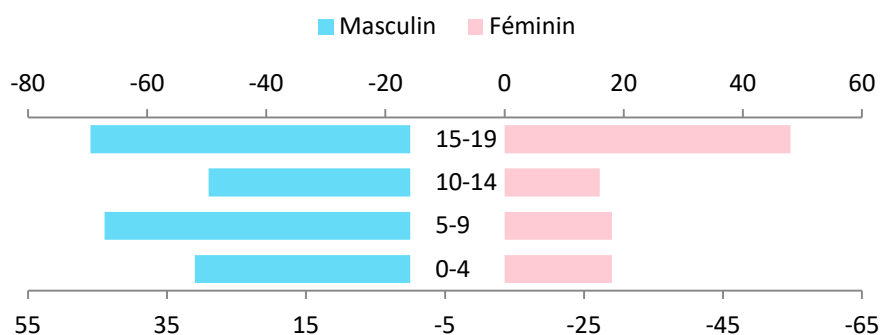


Figure 152 : Répartition des cas d'hémopathies malignes chez l'enfant et l'adolescent (0-19 ans) en fonction des classes d'âge et du sexe durant la période 2013-2017.RCGC

Les taux d'incidence spécifique enregistrés chez le sexe masculin étaient légèrement plus élevés comparés à ceux du sexe féminin. Des pics d'incidence de 56,8 et 59,9 pour un million ont été enregistrés respectivement chez les garçons et les filles de 15 à 19 ans. (Figure 153)

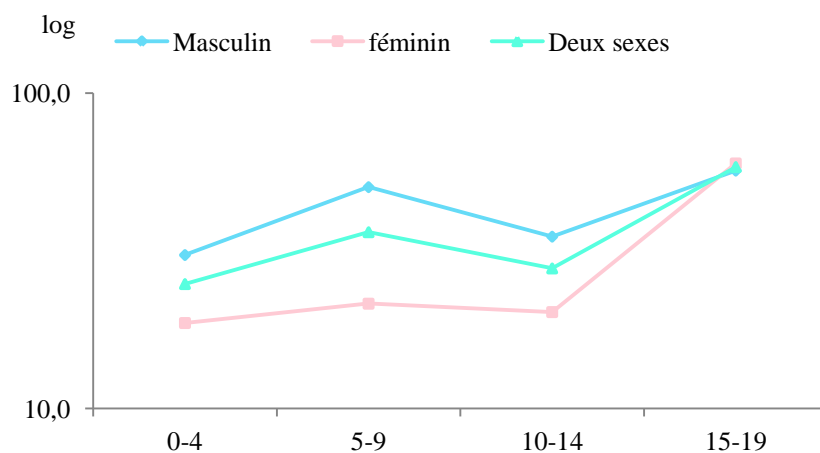


Figure 153 : Incidences spécifiques des hémopathies malignes chez l'enfant et l'adolescent (0-19 ans) selon le sexe durant la période 2013-2019.RCGC

Œil, cerveau et autres localisations du système nerveux central C69-72

Les cancers du système nerveux central et de l'œil enregistrés chez les moins de 20 ans représentaient 0,5 % de tous les cancers et 16,8 % des cancers des sujets de moins de 20 ans. Le taux brut était 16,8 pour un million (18,2 chez le sexe masculin versus 15,2 pour un million chez le sexe féminin). (Tableau 53)

Tableau 53 : Incidences des cancers de l'œil, du cerveau et des autres localisations du SNC chez les enfants et les adolescents (0-19 ans) selon le sexe pour la période 2013-2017. RCGC

| | Hommes | Femmes | Deux sexes |
|---|--------|--------|------------|
| Cas incidents | 69 | 47 | 116 |
| Fréquence ^a (%) | 0,7 | 0,3 | 0,5 |
| Fréquence ^b (%) | 18,2 | 15,2 | 16,8 |
| Incidence brute / 1million | 19,6 | 13,8 | 16,8 |
| Incidence standardisée sur la population Marocaine /1 million | 19,2 | 13,8 | 16,6 |
| Incidence standardisée sur la population Mondiale /1 million | 20,0 | 14,0 | 17,1 |

a : proportion calculée par rapport au total des cas de cancer enregistrés (tout âge) en fonction du sexe

b : proportion calculée par rapport au total des cas de cancer enregistrés chez les moins de 20 ans en fonction du sexe

En termes de nombre de cas de cancer incidents, les enfants âgés entre 0 et 4 ans étaient les plus représentés avec des proportions de 55,1 % chez garçons et 44,7 % chez les filles. (Figure 154)

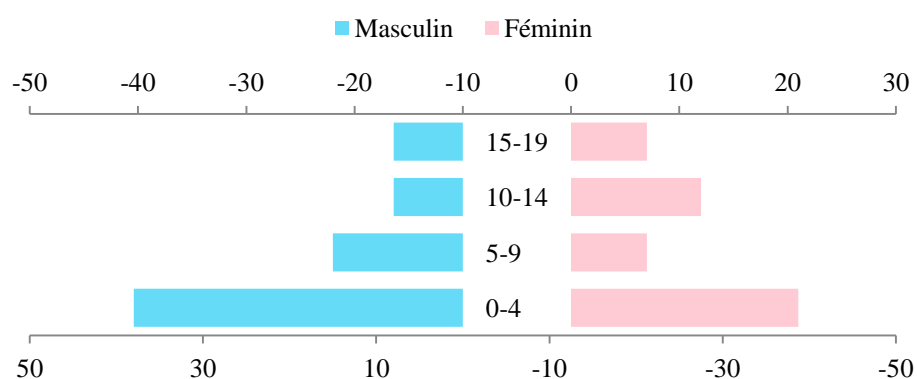


Figure 154 : Répartition des cancers de l'œil, du cerveau et des autres localisations du SNC chez l'enfant et l'adolescent (0-19 ans) en fonction des classes d'âge et du sexe durant la période 2013-2017. RCGC

Les taux d'incidence spécifique enregistrés chez le sexe masculin étaient légèrement plus élevés comparés à ceux enregistrés chez le sexe féminin avec des pics de 37,6 et 21,8 pour un million respectivement chez les garçons et les filles âgés entre 0 et 4 ans. (Figure 155)

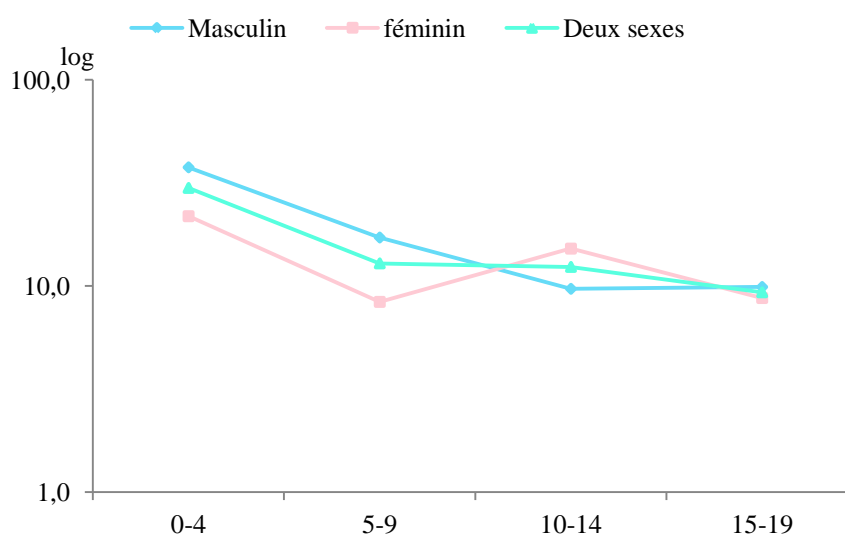


Figure 155 : Incidences spécifiques des cancers du l'œil, du cerveau et des autres localisations du SNC chez l'enfant et l'adolescent (0-19 ans) selon le sexe durant la période 2013-2019. RCGC

Os articulation et cartilage articulaire (C40-41)

Les cancers de l'os et des articulations de l'enfant et de l'adolescent de 0 à 19 ans représentaient à peu près 0,2 % de tous les cancers tout âge et 8 % de l'ensemble des cancers survenus chez ce groupe d'âge avec un taux d'incidence brute de 8,0 pour 1 million d'enfants et adolescents. (Tableau 54)

Tableau 54 : Incidences des cancers de l'os et des articulations chez les enfants et adolescents (0-19 ans) selon le sexe pour la période 2013-2017. RCGC

| | Hommes | Femmes | Deux sexes |
|--|--------|--------|------------|
| Cas incidents | 31 | 24 | 55 |
| Fréquence ^a (%) | 0,3 | 0,2 | 0,2 |
| Fréquence ^b (%) | 8,2 | 7,8 | 8,0 |
| Incidence brute / 1 million | 8,8 | 7,1 | 8,0 |
| Incidence standardisée sur la population Marocaine / 1 million | 9,0 | 7,2 | 8,1 |
| Incidence standardisée sur la population Mondiale / 1 million | 8,6 | 6,9 | 7,8 |

a : proportion calculée par rapport au total des cas de cancer enregistrés (tout âge) en fonction du sexe

b : proportion calculée par rapport au total des cas de cancer enregistrés chez les moins de 20 ans en fonction du sexe

La classe d'âge 15-19 ans était la plus représentée dans ce groupe des cancers de l'os et des articulations avec une proportion respectivement de 48,4 % et de 45,8 % chez les garçons et les filles. (Figure 156)

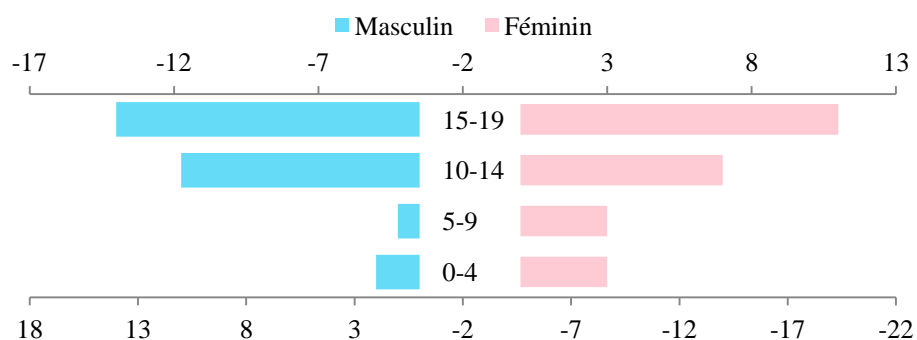


Figure 156 : Répartition des cas de cancers de l'os et des articulations chez l'enfant et l'adolescent (0-19 ans) en fonction des classes d'âge et du sexe durant la période 2013-2017.RCGC

En général les incidences spécifiques augmentaient avec l'âge. Ainsi, la classe des 15-19 ans avait enregistré un pic de 18,5 pour un million de garçons et de 13,7 pour un million de filles. (Figure 157)

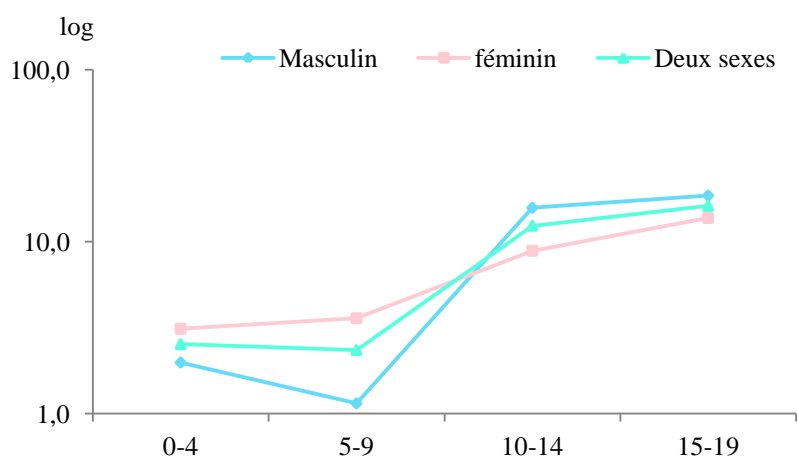


Figure 157 : Incidences spécifiques des cancers de l'os et des articulations chez l'enfant et l'adolescent (0-19 ans) selon le sexe durant la période 2013-2019.RCGC

Rein et voies urinaires (C64-68)

Les cancers du rein et des voies urinaires chez les enfants et les adolescents représentaient 0,2 % du total des cancers enregistrés quelque soit l'âge et 8,9 % des cas enregistrés chez le groupe d'âge 0-19 ans. L'incidence brute était de 8,8 pour un million chez les deux sexes. Les enfants âgés entre 0 et 4 ans représentaient 80,3 % des cas. (Tableau 55, Figure 158)

Tableau 55 : Incidences des cancers du rein et des voies urinaires chez les enfants et adolescents (0-19 ans) selon le sexe pour la période 2013-2017. RCGC

| | Hommes | Femmes | Deux sexes |
|--|--------|--------|------------|
| Cas incidents | 26 | 35 | 61 |
| Fréquence ^a (%) | 0,2 | 0,2 | 0,2 |
| Fréquence ^b (%) | 6,8 | 11,3 | 8,9 |
| Incidence brute / 1 million | 7,4 | 10,3 | 8,8 |
| Incidence standardisée sur la population Marocaine / 1 million | 7,2 | 10,0 | 8,5 |
| Incidence standardisée sur la population Mondiale / 1 million | 7,6 | 10,8 | 9,2 |

a : proportion calculée par rapport au total des cas de cancer enregistrés (tout âge) en fonction du sexe

b : proportion calculée par rapport au total des cas de cancer enregistrés chez les moins de 20 ans en fonction du sexe

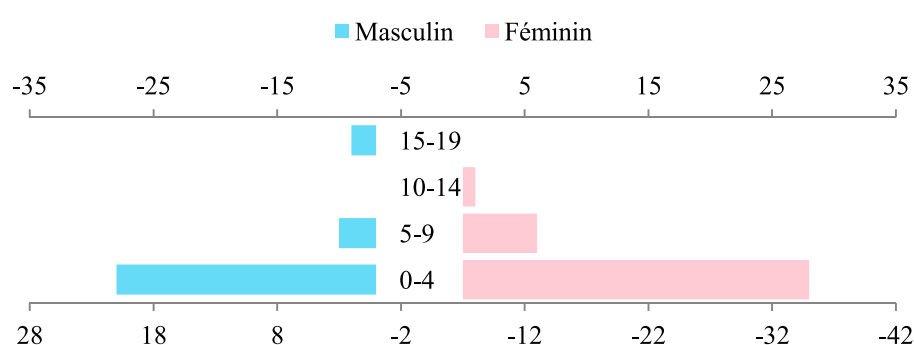


Figure 158 : Répartition des cas de cancers du rein et des voies urinaires chez l'enfant et l'adolescent (0-19 ans) en fonction des classes d'âge et du sexe durant la période 2013-2017. RCGC

Chez les filles âgées entre 0-4 ans, un taux d'incidence de 29,0 pour un million a été enregistré contre 20,8 pour un million chez les garçons du même âge. Pour les autres classes d'âge, les taux d'incidence spécifique enregistrés ne dépassaient pas 7 pour un million d'enfants. (Figure 159)

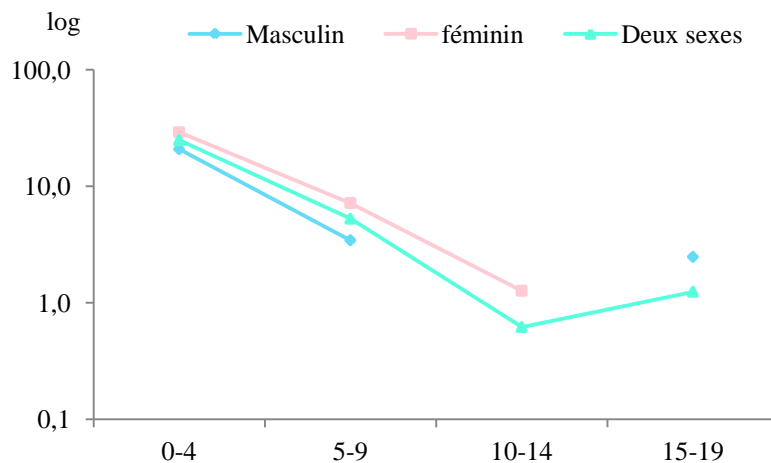


Figure 159 : Incidences spécifiques du cancer du rein et des voies urinaires chez l'enfant et l'adolescent (0-19 ans) selon le sexe durant la période 2013-2019.RCGC

Glandes endocrines (C73-75)

Le cancer des glandes endocrines représentaient 0,3 % du total des cancers tout âge et 9,9 % des cancers enregistrés chez les moins de 20 ans. L'incidence brute était respectivement de 7,4 et 12,4 pour un million chez les garçons et les filles. (Tableau 56)

Tableau 56 : Incidences des cancers des glandes endocrines chez les enfants et adolescents (0-19 ans) selon le sexe pour la période 2013-2017. RCGC

| | Hommes | Femmes | Deux sexes |
|--|--------|--------|------------|
| Cas incidents | 26 | 42 | 68 |
| Fréquence ^a (%) | 0,2 | 0,3 | 0,3 |
| Fréquence ^b (%) | 6,8 | 13,6 | 9,9 |
| Incidence brute /100000 | 7,4 | 12,4 | 9,8 |
| Incidence standardisée sur la population Marocaine /100000 | 7,2 | 12,5 | 9,8 |
| Incidence standardisée sur la population Mondiale /100000 | 7,6 | 12,2 | 9,9 |

a : proportion calculée par rapport au total des cas enregistrés (tout âge) en fonction du sexe

b : proportion calculée par rapport au total des cas enregistrés chez les moins de 20 ans en fonction du sexe

Les cancers des glandes endocrines étaient enregistrés surtout chez les garçons âgés entre 0 et 4 ans avec une proportion de 81 % et les filles âgées entre 15 et 19 ans avec une proportion de 40,5 %. (Figure 160)

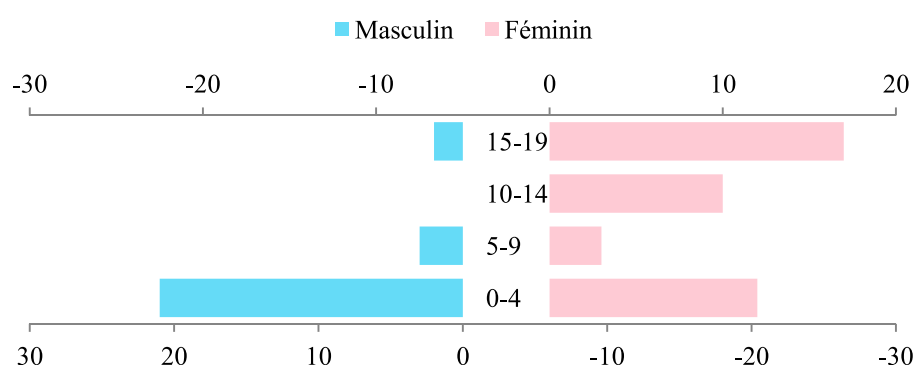


Figure 160 : Répartition des cas de cancers des glandes endocrines chez l'enfant et l'adolescent (0-19 ans) en fonction des classes d'âge et du sexe durant la période 2013-2017. RCGC

Un pic d'incidence de 20,8 pour un million de garçons a été enregistré chez la classe d'âge allant de 0 à 4 ans versus 12,4 pour un million de filles du même âge. (Figure 161)

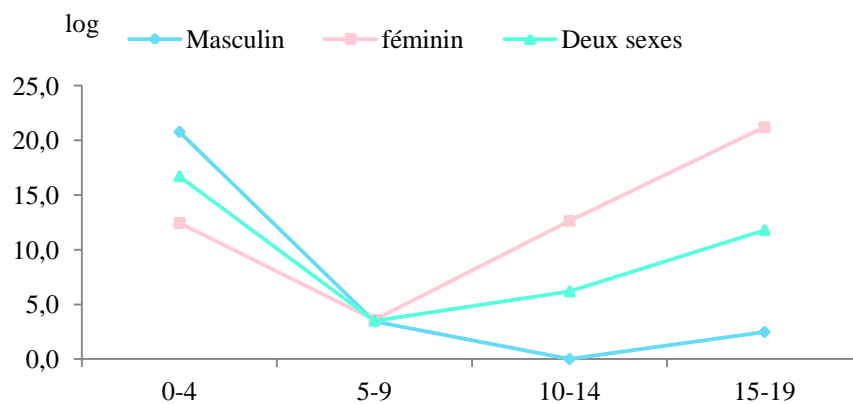


Figure 161 : Incidences spécifiques des cancers des glandes endocrines chez l'enfant et de l'adolescent (0-19 ans) selon le sexe durant la période 2013-2019.RCGC

Cancer de l'enfant (0 à 14 ans)

REGISTRE DES CANCERS

de la Région
du Grand Casablanca

Rapport d'Incidence
2013 - 2017

Cancer de l'enfant (0 à 14 ans)

Dans ce groupe, sont inclus tous les cas de cancer enregistrés chez les sujets âgés entre 0 et 14 ans. Les localisations ont été regroupées par organes selon le tableau suivant :

| Codes | Organes |
|----------------------|---|
| C00-14 | Lèvres, cavités buccales et pharynx |
| C15-26 | Organes digestifs |
| C30-38;C45 | Système respiratoire et organes intra-thoraciques |
| C40-41 | Os articulation et cartilage articulaire |
| C43-44 | Peau |
| C47-49 | Système nerveux autonome, nerfs périphériques et tissus mous |
| C50-58 | Organes féminins |
| C60-63 | Les organes masculins |
| C64-68 | Les voies urinaires |
| C69-72 | Œil, cerveau et autres localisations du Système nerveux central |
| C73-75 | Thyroïde et autres glandes endocrines |
| HM | Hémopathies malignes |
| Autres localisations | Autres sites et localisation non spécifiée |

Chez les enfants de moins de 15 ans tout sexe confondu, les hémopathies malignes occupaient le premier rang avec une fréquence de 32,5 % des cas, suivies des cancers du système nerveux central avec 21,0 % des cas et au troisième rang les cancers du rein et des voies urinaires avec une proportion de 12,3 %. (Figure 162)

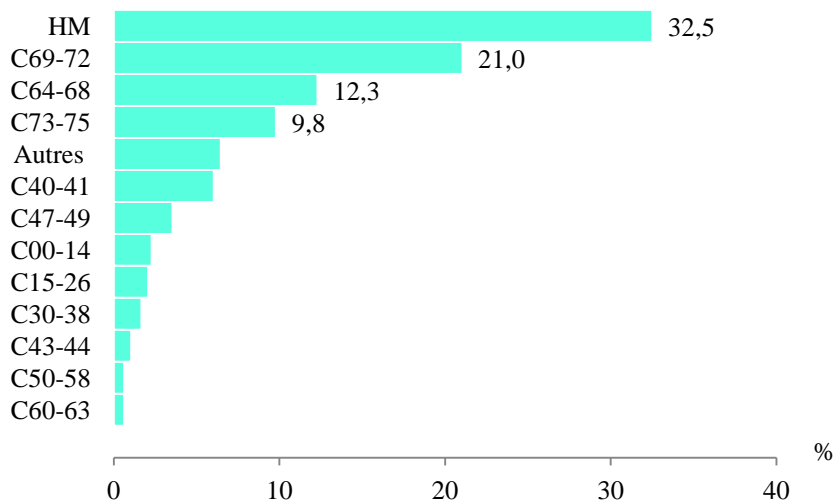


Figure 162 : Représentation des fréquences (%) des localisations des cancers chez l'enfant de 0 à 14 ans enregistrées durant la période 2013-2017 chez les deux sexes. RCGC

Chez le sexe féminin, les hémopathies représentaient 24,5 % du total des cas enregistrés pour ce groupe d'âge (0 à 14 ans), le système nerveux central était enregistré dans 18,9 % des cas et le rein avec les voies urinaires dans presque 17 % des cas. (Figure 163)

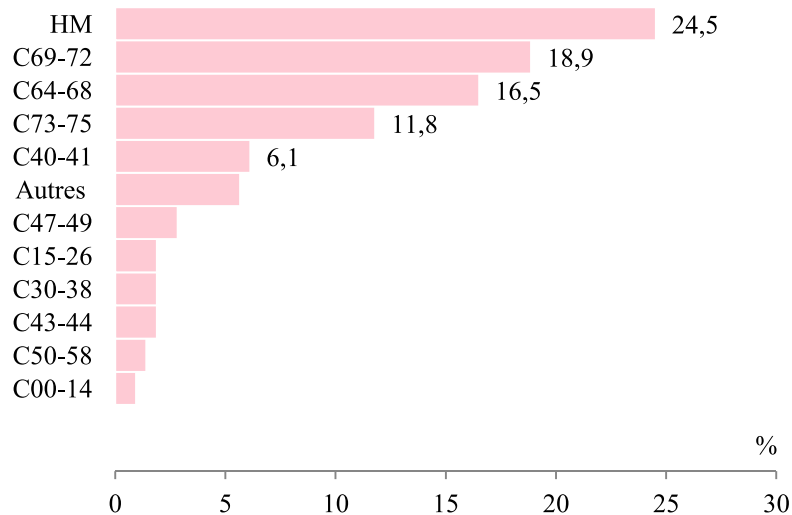


Figure 163 : Représentation des fréquences (%) des localisations cancéreuses chez l'enfant de 0 à 14 ans de sexe féminin enregistrées durant la période 2013-2017. RCGC

La distribution des cas selon la localisation du cancer chez les garçons était presque similaire à celle observée chez les filles. En effet les hémopathies occupaient le premier rang avec une fréquence de 36,9 % des cas, le système nerveux central au deuxième rang avec 21,6 % des cas et le rein avec les voies urinaires au troisième rang avec 8,5 % des cas de même pour les glandes endocrines. (Figure 164)

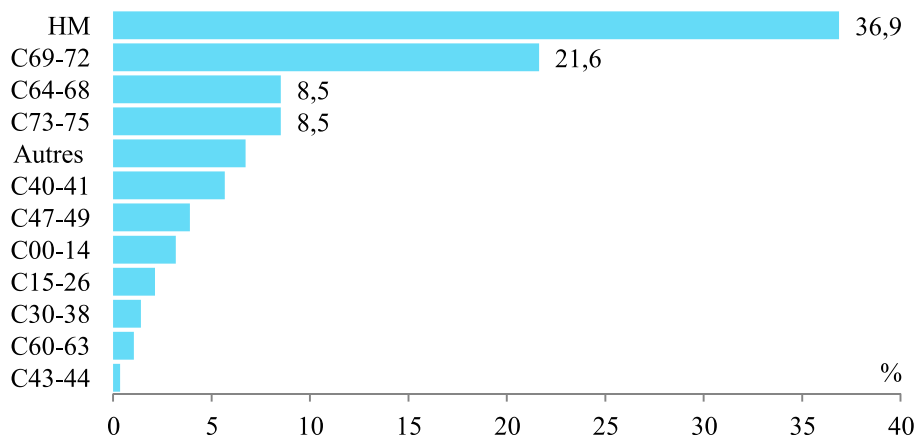


Figure 164 : Représentation des fréquences (%) des localisations cancéreuses chez l'enfant de 0 à 14 ans de sexe masculin enregistrées durant la période 2013-2017. RCGC

Chez les enfants de moins de 15 ans, l'incidence globale des cancers était respectivement de 104 et 81,8 pour un million chez les garçons et les filles. Les types de cancers ayant les incidences les plus élevées étaient représentés par les hémopathies malignes avec des taux bruts respectifs de 38,4 et 20,1 pour un million chez les garçons et les filles suivies des cancers du système nerveux central avec respectivement 22,5 et 15,4 pour un million comme incidence brute enregistrée chez les garçons et les filles. (Tableau 57)

Tableau 57 : Présentation du nombre de cas incidents, de la fréquence et de l'incidence brute des cancers enregistrés chez l'enfant de 0-14 ans selon le sexe

| | Nv cas | | % | | TIB | |
|--------------------------|--------|-----|------|------|-------|------|
| | M | F | M | F | M | F |
| C00-14 | 9 | 2 | 0,1 | 0,0 | 3,3 | 0,8 |
| C15-26 | 6 | 4 | 0,06 | 0,03 | 2,2 | 1,5 |
| C30-38 | 4 | 4 | 0,04 | 0,03 | 1,5 | 1,5 |
| C40-41 | 16 | 13 | 0,2 | 0,1 | 5,9 | 5,0 |
| C43-44 | 1 | 4 | 0,01 | 0,03 | 0,4 | 1,5 |
| C47-49 | 11 | 6 | 0,10 | 0,04 | 4,1 | 2,3 |
| C50-58 | - | 3 | - | 0,02 | - | 1,2 |
| C60-63 | 3 | - | 0,03 | - | 1,1 | - |
| C64-68 | 24 | 35 | 0,2 | 0,2 | 8,9 | 13,5 |
| C69-72 | 61 | 40 | 0,6 | 0,3 | 22,5 | 15,4 |
| C73-75 | 24 | 25 | 0,2 | 0,2 | 8,9 | 9,6 |
| HM | 104 | 52 | 1,0 | 0,4 | 38,4 | 20,1 |
| Autres cancers | 19 | 12 | 0,18 | 0,08 | 7,0 | 4,6 |
| Toutes les localisations | 282 | 212 | 2,7 | 1,5 | 104,0 | 81,8 |

Nv cas : nouveaux cas (nombre de cas incidents)

TIB : taux d'incidence brute / 1 million

M : sexe masculin F : sexe féminin

% : fréquence parmi le total des cas de cancer quelque soit l'âge

**Tableaux résumant les incidences
par localisation selon l'âge, le sexe
et la période**

REGISTRE DES CANCERS

**de la Région
du Grand Casablanca**

**Rapport d'Incidence
2013 - 2017**

Tableau 58 : Nombre de cas incidents, incidences brutes, incidences spécifiques, incidences cumulées et taux d'incidences standardisées selon la localisation du cancer chez les femmes pour la période 2013-2017.RCGC

| SITE | Total | Age Inconnu | 0-4 | 5-9 | 10-14 | 15-19 | 20-24 | 25-29 | 30-34 | 35-39 | 40-44 | 45-49 | 50-54 | 55-59 | 60-64 | 65-69 | 70-74 | 75+ | TIB | TIB (%) | CUM 0-64 | CUM 0-74 | TIS | CM10 | |
|----------------------------------|-------|-------------|-----|-----|-------|-------|-------|-------|-------|-------|-------|-------|-------|-------|-------|-------|-------|------|-------|---------|----------|----------|------|---------|--------|
| Levre | 12 | 0 | 0,0 | 0,0 | 0,0 | 0,0 | 0,0 | 0,0 | 0,1 | 0,0 | 0,3 | 0,0 | 0,3 | 0,2 | 0,2 | 0,0 | 0,0 | 1,7 | 0,11 | 0,1 | 0,01 | 0,01 | 0,01 | 0,1 | C00 |
| Langue | 58 | 0 | 0,0 | 0,0 | 0,0 | 0,0 | 0,0 | 0,0 | 0,1 | 0,2 | 0,4 | 0,7 | 1,6 | 1,5 | 1,7 | 1,3 | 2 | 4,8 | 0,53 | 0,4 | 0,03 | 0,05 | 0,5 | C01-02 | |
| Cavité buccale | 45 | 0 | 0,0 | 0,0 | 0,1 | 0,0 | 0,2 | 0,0 | 0,1 | 0,0 | 0,7 | 0,3 | 1,5 | 1,4 | 1,4 | 2,1 | 1,5 | 3,8 | 0,41 | 0,3 | 0,02 | 0,04 | 0,4 | C03-06 | |
| Glandes salivaires | 44 | 0 | 0,1 | 0,0 | 0,0 | 0,2 | 0,3 | 0,4 | 0,0 | 0,5 | 0,9 | 0,1 | 0,6 | 0,4 | 0,7 | 0,4 | 1 | 1,7 | 0,41 | 0,3 | 0,02 | 0,04 | 0,4 | C07-08 | |
| Amygdales | 12 | 0 | 0,0 | 0,0 | 0,0 | 0,0 | 0,0 | 0,0 | 0,0 | 0,0 | 0,1 | 0,0 | 0,1 | 0,5 | 1 | 0,9 | 0,0 | 0,3 | 0,11 | 0,1 | 0,01 | 0,01 | 0,1 | C09 | |
| Oropharynx | 6 | 0 | 0,0 | 0,0 | 0,0 | 0,0 | 0,0 | 0,0 | 0,0 | 0,0 | 0,1 | 0,0 | 0,1 | 0,0 | 0,7 | 0,4 | 0,0 | 0,0 | 0,06 | 0 | 0 | 0,01 | 0,1 | C10 | |
| Nasopharynx (exvivo) | 144 | 0 | 0,0 | 0,0 | 0,0 | 0,0 | 0,6 | 0,4 | 1,1 | 1,2 | 1,1 | 2,4 | 3,1 | 2,3 | 3,3 | 3,9 | 2,5 | 1,7 | 1,33 | 1 | 0,09 | 0,12 | 1,2 | C11 | |
| Hypo-pharynx | 12 | 0 | 0,0 | 0,0 | 0,0 | 0,0 | 0,0 | 0,0 | 0,0 | 0,0 | 0,1 | 0,0 | 0,3 | 0,4 | 0,4 | 0,2 | 0,0 | 0,0 | 0,11 | 0,1 | 0,01 | 0,01 | 0,1 | C12-13 | |
| Pharynx non spécifique | 3 | 0 | 0,0 | 0,0 | 0,0 | 0,0 | 0,0 | 0,0 | 0,0 | 0,0 | 0,1 | 0,0 | 0,0 | 0,0 | 0,0 | 0,0 | 0,0 | 0,3 | 0,03 | 0 | 0 | 0 | 0 | C14 | |
| Esophage | 55 | 0 | 0,0 | 0,0 | 0,0 | 0,0 | 0,0 | 0,0 | 0,1 | 0,4 | 0,0 | 0,5 | 0,9 | 0,9 | 1,6 | 1,4 | 1,7 | 3 | 3,1 | 0,51 | 0,4 | 0,03 | 0,05 | 0,5 | C15 |
| Estomac | 328 | 0 | 0,0 | 0,0 | 0,0 | 0,0 | 0,2 | 0,5 | 1 | 1,9 | 1,9 | 3,3 | 5,8 | 4,8 | 8,7 | 9,3 | 14,2 | 13,4 | 11,1 | 3,02 | 2,3 | 0,19 | 0,33 | 2,8 | C16 |
| Intestin grêle | 38 | 0 | 0,0 | 0,0 | 0,0 | 0,0 | 0,1 | 0,4 | 0,4 | 0,2 | 0,5 | 0,6 | 0,7 | 0,7 | 1,4 | 0,4 | 2 | 1 | 0,35 | 0,3 | 0,03 | 0,04 | 0,3 | C17 | |
| Colon | 591 | 1 | 0,0 | 0,0 | 0,1 | 0,0 | 0,4 | 0,9 | 1,4 | 3,9 | 3,7 | 7,9 | 13,2 | 14,2 | 20,4 | 36,1 | 25,3 | 19,7 | 5,44 | 4,1 | 0,33 | 0,64 | 5,2 | C18 | |
| Rectum | 414 | 0 | 0,0 | 0,0 | 0,0 | 0,0 | 0,1 | 0,8 | 1,4 | 3,1 | 3,1 | 4,5 | 6,8 | 12,6 | 16,1 | 21,9 | 15,4 | 15,9 | 3,81 | 2,9 | 0,24 | 0,43 | 3,6 | C19-20 | |
| Anus | 30 | 0 | 0,0 | 0,0 | 0,0 | 0,0 | 0,0 | 0,0 | 0,0 | 0,1 | 0,4 | 0,1 | 0,1 | 0,9 | 1,2 | 1,7 | 1 | 2,8 | 0,28 | 0,2 | 0,05 | 0,03 | 0,3 | C21 | |
| Foie | 127 | 0 | 0,3 | 0,0 | 0,0 | 0,0 | 0,0 | 0,1 | 0,2 | 0,1 | 0,5 | 0,6 | 0,9 | 0,7 | 3,5 | 3,6 | 8,2 | 5,5 | 12,4 | 1,17 | 0,9 | 0,05 | 0,12 | 1,1 | C22 |
| Vésicule biliaire | 119 | 0 | 0,0 | 0,0 | 0,0 | 0,0 | 0,0 | 0,2 | 0,3 | 0,6 | 0,6 | 1,1 | 1,9 | 4,4 | 3,6 | 7,3 | 4 | 7,6 | 1,1 | 0,8 | 0,06 | 0,12 | 1,8 | C23-24 | |
| Pancreas | 203 | 0 | 0,0 | 0,0 | 0,0 | 0,0 | 0,0 | 0,2 | 0,3 | 0,1 | 0,8 | 1,3 | 3,5 | 5,3 | 9,1 | 13,3 | 11,9 | 12,4 | 1,87 | 1,4 | 0,1 | 0,23 | 1,8 | C25 | |
| Nez, sinus | 20 | 0 | 0,2 | 0,1 | 0,0 | 0,0 | 0,0 | 0,0 | 0,0 | 0,1 | 0,0 | 0,1 | 0,0 | 0,0 | 0,7 | 0,2 | 0,9 | 0,9 | 0,18 | 0,1 | 0,07 | 0,02 | 0,2 | C30-31 | |
| Larynx | 43 | 0 | 0,0 | 0,0 | 0,0 | 0,0 | 0,0 | 0,0 | 0,0 | 0,1 | 0,0 | 0,1 | 0,1 | 0,7 | 1,1 | 2,6 | 0,4 | 3,5 | 0,4 | 0,3 | 0,02 | 0,04 | 0,2 | C32 | |
| Trachée, bronches et poumon | 426 | 0 | 0,0 | 0,0 | 0,0 | 0,0 | 0,1 | 0,2 | 0,5 | 0,6 | 1,2 | 1,9 | 5,5 | 7 | 13,3 | 18,7 | 20,6 | 21,4 | 20,4 | 3,92 | 2,9 | 0,25 | 0,45 | 3,7 | C33-34 |
| Autres organes thoraciques | 38 | 0 | 0,0 | 0,1 | 0,0 | 0,0 | 0,0 | 0,0 | 0,4 | 0,1 | 0,5 | 0,1 | 1 | 0,9 | 1 | 0,9 | 2 | 1,7 | 0,35 | 0,3 | 0,04 | 0,04 | 0,3 | C37-38 | |
| OS | 78 | 0 | 0,4 | 0,7 | 1,1 | 1,5 | 0,6 | 0,7 | 0,3 | 0,4 | 0,5 | 0,3 | 0,3 | 1,1 | 0,2 | 1,3 | 2,5 | 2,1 | 0,72 | 0,5 | 0,02 | 0,06 | 0,7 | C40-41 | |
| Mélanome de la peau | 44 | 0 | 0,0 | 0,0 | 0,1 | 0,0 | 0,0 | 0,3 | 0,1 | 0,0 | 0,6 | 0,6 | 1 | 0,9 | 1,9 | 1,9 | 1,5 | 1,7 | 0,41 | 0,3 | 0,03 | 0,04 | 0,4 | C43 | |
| Peau autres | 142 | 0 | 0,1 | 0,2 | 0,0 | 0,2 | 0,1 | 0,2 | 0,3 | 0,3 | 1 | 1,3 | 1,6 | 2,2 | 3,4 | 3,9 | 7,4 | 15,6 | 1,31 | 1 | 0,06 | 0,11 | 1,2 | C44 | |
| Mésothéliome | 11 | 0 | 0,0 | 0,0 | 0,0 | 0,0 | 0,0 | 0,0 | 0,0 | 0,1 | 0,1 | 0,0 | 0,1 | 0,0 | 0,0 | 0,4 | 3 | 0,3 | 0,1 | 0,1 | 0 | 0 | 0 | C45 | |
| Sarcome de Kaposi | 18 | 0 | 0,0 | 0,0 | 0,0 | 0,0 | 0,0 | 0,1 | 0,1 | 0,0 | 0,1 | 0,0 | 0,0 | 0,2 | 0,5 | 0,0 | 1,2 | 2,2 | 1,2 | 0,2 | 0,5 | 0,04 | 0,02 | 0,2 | C46 |
| Tissus mous | 104 | 0 | 0,6 | 0,2 | 0,3 | 0,2 | 0,6 | 0,8 | 0,7 | 1,2 | 1,4 | 1,4 | 1,4 | 1 | 2,2 | 3 | 3 | 3,1 | 0,96 | 0,7 | 0,06 | 0,08 | 0,9 | C47-C49 | |
| Sein | 5555 | 0 | 0,0 | 0,0 | 0,0 | 0,0 | 1,5 | 7,7 | 25,9 | 57,7 | 96,1 | 129,9 | 126,3 | 145,9 | 145 | 150,3 | 103,8 | 85,7 | 51,16 | 38,5 | 3,68 | 4,95 | 45,6 | C50 | |
| Vulve | 77 | 0 | 0,0 | 0,0 | 0,0 | 0,0 | 0,0 | 0,4 | 0,3 | 0,5 | 0,9 | 0,4 | 0,6 | 0,9 | 2,4 | 2,1 | 4,5 | 8 | 0,71 | 0,5 | 0,03 | 0,07 | 0,6 | C51 | |
| Vagin | 20 | 0 | 0,0 | 0,0 | 0,0 | 0,0 | 0,0 | 0,0 | 0,1 | 0,1 | 0,3 | 0,3 | 0,4 | 0,4 | 1 | 0,4 | 1,5 | 0,3 | 0,18 | 0,1 | 0,01 | 0,02 | 0,2 | C52 | |
| Col de l'utérus | 1187 | 0 | 0,0 | 0,0 | 0,0 | 0,0 | 0,1 | 1 | 3,9 | 6,8 | 17,1 | 18,7 | 22,3 | 35 | 42,2 | 47,7 | 30,8 | 42,9 | 10,93 | 8,2 | 0,74 | 1,13 | 10 | C53 | |
| Corps de l'utérus | 316 | 0 | 0,0 | 0,0 | 0,0 | 0,0 | 0,0 | 0,1 | 0,0 | 0,2 | 1,5 | 2,6 | 6,1 | 10,4 | 15,3 | 21,5 | 17,9 | 11,8 | 2,91 | 2,2 | 0,18 | 0,38 | 2,8 | C54 | |
| Utérus non spécifique | 143 | 0 | 0,0 | 0,0 | 0,0 | 0,0 | 0,3 | 0,2 | 0,1 | 0,5 | 1 | 2,6 | 2,8 | 4,9 | 6,5 | 7,3 | 4,5 | 2,8 | 1,32 | 1 | 0,09 | 0,15 | 1,2 | C55 | |
| Ovaire | 586 | 1 | 0,0 | 0,1 | 0,3 | 0,7 | 1,2 | 1,5 | 2,1 | 2,8 | 5,9 | 10,8 | 11,5 | 16,6 | 17,7 | 23,2 | 22,8 | 14,9 | 5,4 | 4,1 | 0,36 | 0,59 | 5 | C56 | |
| Autres organes génitaux féminins | 7 | 0 | 0,0 | 0,0 | 0,0 | 0,0 | 0,0 | 0,0 | 0,0 | 0,0 | 0,0 | 0,0 | 0,3 | 0,2 | 0,7 | 0,4 | 0,0 | 0,0 | 0,06 | 0 | 0,01 | 0,01 | 0,1 | C57 | |
| Placenta | 24 | 0 | 0,0 | 0,0 | 0,0 | 0,1 | 0,3 | 0,2 | 0,9 | 0,2 | 0,6 | 0,4 | 0,0 | 0,0 | 0,0 | 0,0 | 0,0 | 0,0 | 0,22 | 0,2 | 0,01 | 0,01 | 0,2 | C58 | |
| Rein | 104 | 0 | 2,8 | 0,7 | 0,1 | 0,0 | 0,1 | 0,2 | 0,2 | 0,5 | 0,4 | 0,4 | 1,5 | 2 | 2,6 | 3,9 | 2 | 3,5 | 0,96 | 0,7 | 0,06 | 0,09 | 1 | C64 | |
| Bassin du rein | 0 | 0 | 0,0 | 0,0 | 0,0 | 0,0 | 0,0 | 0,0 | 0,0 | 0,0 | 0,0 | 0,0 | 0,0 | 0,0 | 0,0 | 0,0 | 0,0 | 0,0 | 0,0 | 0 | 0 | 0 | 0 | C66 | |
| Uretere | 2 | 0 | 0,0 | 0,0 | 0,0 | 0,0 | 0,0 | 0,0 | 0,0 | 0,0 | 0,0 | 0,0 | 0,0 | 0,0 | 0,2 | 0,0 | 0,0 | 0,0 | 0,0 | 0 | 0 | 0 | 0 | C67 | |
| Vessie | 83 | 1 | 0,1 | 0,0 | 0,0 | 0,0 | 0,0 | 0,0 | 0,0 | 0,1 | 0,5 | 1 | 1 | 1,6 | 2,6 | 5,6 | 5 | 6,6 | 0,76 | 0,6 | 0,04 | 0,09 | 0,7 | C68 | |
| Autres organes urinaires | 2 | 0 | 0,0 | 0,0 | 0,0 | 0,0 | 0,0 | 0,0 | 0,0 | 0,0 | 0,0 | 0,0 | 0,0 | 0,0 | 0,0 | 0,0 | 0,5 | 0,3 | 0,02 | 0 | 0 | 0 | 0 | C69 | |
| EBL | 22 | 0 | 1,3 | 0,0 | 0,0 | 0,0 | 0,0 | 0,0 | 0,1 | 0,0 | 0,0 | 0,1 | 0,0 | 0,4 | 0,0 | 0,9 | 0,0 | 0,7 | 0,2 | 0,2 | 0,01 | 0,01 | 0,2 | C70-72 | |
| Cerveau, système nerveux | 213 | 0 | 0,8 | 0,8 | 1,5 | 0,9 | 0,7 | 1,5 | 0,9 | 1,1 | 2 | 2,6 | 2,5 | 5,6 | 5,3 | 7,3 | 4,5 | 3,8 | 1,96 | 1,5 | 0,13 | 0,19 | 1,9 | C73 | |
| Thyroïde | 1652 | 1 | 0,0 | 0,1 | 1,3 | 2 | 5,7 | 11,5 | 16,8 | 21,8 | 25,1 | 32,5 | 31,2 | 35,9 | 34,3 | 33,9 | 18,4 | 11,8 | 15,21 | 11,4 | 1,09 | 1,35 | 13,4 | C74 | |
| Glande surrénale | 22 | 0 | 1,1 | 0,2 | 0,0 | 0,0 | 0,0 | 0,0 | 0,0 | 0,1 | 0,0 | 0,1 | 0,3 | 0,1 | 0,0 | 0,2 | 0,4 | 0,5 | 0,0 | 0,2 | 0,2 | 0,02 | 0,2 | 0,2 | C75 |
| Autres glandes endocrines | 11 | 0 | 0,1 | 0,0 | 0,0 | 0,0 | 0,0 | 0,1 | 0,3 | 0,1 | 0,1 | 0,1 | 0,0 | 0,2 | 0,2 | 0,0 | 0,0 | 0,3 | 0,1 | 0,1 | 0,01 | 0,01 | 0,1 | C76 | |
| Maladie de Hodgkin | 176 | 0 | 0,0 | 0,4 | 0,5 | 3 | 3,9 | 2,7 | 2 | 1,7 | 1 | 1,6 | 1 | 1,6 | 2,4 | 1,7 | 1 | 0,3 | 1,62 | 1,2 | 0,11 | 0,12 | 1,5 | C81 | |
| Lymphome Non-Hodgkinien | 382 | 0 | 0,4 | 0,4 | 0,1 | 0,9 | 1 | 1,6 | 1,8 | 3,1 | 2,6 | 5 | 4,5 | 5,1 | 11 | 20,6 | 22,3 | 16,6 | 3,52 | 2,6 | 0,19 | 0,4 | 3,4 | C82-85 | |
| Maladies immunoprolifératives | 2 | 0 | 0,0 | 0,0 | 0,0 | 0,0 | 0,0 | 0,0 | 0,0 | 0,0 | 0,0 | 0,0 | 0,1 | 0,0 | 0,0 | 0,4 | 0,0 | 0,0 | 0,02 | 0 | 0 | 0 | 0 | C88 | |
| Mélanome Multiple | 152 | 0 | 0,0 | 0,0 | 0,0 | 0,0 | 0,0 | 0,0 | 0,4 | 0,4 | 0,4 | 1,7 | 1,7 | 5,3 | 5,8 | 9,4 | 8,3 | 8,3 | 1,4 | 1,1 | 0,08 | 0,17 | 1,3 | C90 | |
| Leucémie Lymphoïde | 86 | 0 | 1 | 0,6 | 0,0 | 0,8 | 0,7 | 0,1 | 0,3 | 0,1 | 0,1 | 0,3 | | | | | | | | | | | | | |

Tableau 59 : Nombre de cas incidents, incidences brutes, incidences spécifiques, incidences cumulées et taux d'incidences standardisées selon la localisation du cancer chez les hommes pour la période 2013-2017.RCGC

| SITE | Tout âge | Age inconnu | 0-4 | 5-9 | 10-14 | 15-19 | 20-24 | 25-29 | 30-34 | 35-39 | 40-44 | 45-49 | 50-54 | 55-59 | 60-64 | 65-69 | 70-74 | 75+ | TIB | TIB | (%) | CUM 0-64 | CUM 0-74 | TIS | CM10 | |
|------------------------------------|----------|-------------|------|-----|-------|-------|-------|-------|-------|-------|-------|-------|-------|-------|-------|-------|-------|-------|-------|-------|-------|----------|----------|-------|------------|--------|
| Levre | 27 | 0 | 0 | 0 | 0 | 0 | 0 | 0 | 0 | 0 | 0 | 0 | 0 | 0 | 0 | 0 | 0 | 0 | 0,25 | 0,25 | 0,3 | 0,02 | 0,03 | 0,2 | C00 | |
| Langue | 56 | 0 | 0 | 0 | 0 | 0 | 0 | 0,1 | 0 | 0,4 | 0,3 | 0,5 | 1,1 | 2,2 | 2,3 | 1,8 | 5 | 2,3 | 0,52 | 0,52 | 0,5 | 0,03 | 0,07 | 0,5 | C01-02 | |
| Cavité buccale | 43 | 0 | 0 | 0,1 | 0 | 0 | 0 | 0 | 0,1 | 0,1 | 0,1 | 0,3 | 1,5 | 1,3 | 1,6 | 1,8 | 3,8 | 1,8 | 0,4 | 0,4 | 0,3 | 0,03 | 0,05 | 0,4 | C03-06 | |
| Glandes salivaires | 55 | 0 | 0,1 | 0 | 0 | 0,1 | 0,1 | 0,1 | 0,1 | 0,5 | 0,4 | 0,5 | 1,1 | 1,1 | 1,8 | 2,7 | 3,8 | 3,2 | 0,52 | 0,52 | 0,5 | 0,03 | 0,06 | 0,5 | C07-08 | |
| Amygdales | 16 | 0 | 0 | 0 | 0 | 0 | 0 | 0,1 | 0 | 0,4 | 0 | 0,3 | 0,2 | 0,5 | 0 | 1,3 | 0,6 | 0,9 | 0,15 | 0,15 | 0,2 | 0,01 | 0,02 | 0,2 | C09 | |
| Oropharynx | 5 | 0 | 0 | 0 | 0 | 0 | 0 | 0 | 0 | 0,1 | 0 | 0 | 0 | 0,2 | 0,2 | 0 | 0 | 0,5 | 0 | 0,05 | 0 | 0 | 0 | 0 | C10 | |
| Nasopharynx (exvivo) | 250 | 0 | 0 | 0,1 | 0,7 | 1,2 | 1,5 | 0,4 | 1,4 | 1,5 | 3 | 5,6 | 5,4 | 7,1 | 6,2 | 5,4 | 6,3 | 3,7 | 2,34 | 2,34 | 2,4 | 0,17 | 0,23 | 2,2 | C11 | |
| Hypo-pharynx | 18 | 0 | 0 | 0 | 0 | 0 | 0,1 | 0,1 | 0 | 0 | 0,3 | 0,3 | 0 | 0,7 | 0,2 | 0,9 | 0 | 2,3 | 0,17 | 0,17 | 0,2 | 0,01 | 0,01 | 0,2 | C12-13 | |
| Pharynx non spécifique | 4 | 0 | 0 | 0 | 0 | 0 | 0 | 0 | 0 | 0 | 0 | 0,2 | 0 | 0,2 | 0 | 0 | 0 | 1,3 | 0,04 | 0 | 0 | 0 | 0 | 0 | C14 | |
| Œsophage | 66 | 0 | 0 | 0 | 0 | 0 | 0 | 0 | 0 | 0,5 | 0 | 0,3 | 1,1 | 2,2 | 2,1 | 4,5 | 3,8 | 7,4 | 0,62 | 0,62 | 0,6 | 0,03 | 0,07 | 0,6 | C15 | |
| Œsophage | 456 | 0 | 0 | 0 | 0 | 0,1 | 0,3 | 0,4 | 0,9 | 2,1 | 2,5 | 6,3 | 7,9 | 13,7 | 16,3 | 22,9 | 34,6 | 27,1 | 4,27 | 4,27 | 4,4 | 0,25 | 0,54 | 4,3 | C16 | |
| Intestin grêle | 32 | 0 | 0 | 0 | 0 | 0 | 0 | 0 | 0 | 0,1 | 0,4 | 0,3 | 0,6 | 0,5 | 0,7 | 1,4 | 1,3 | 3,8 | 0 | 0,3 | 0,3 | 0,02 | 0,05 | 0,3 | C17 | |
| Estomac | 466 | 0 | 0 | 0 | 0 | 0 | 0,3 | 0,4 | 0,9 | 2,1 | 2,5 | 6,3 | 7,9 | 13,7 | 16,3 | 22,9 | 34,6 | 27,1 | 4,27 | 4,27 | 4,4 | 0,25 | 0,54 | 4,3 | C18 | |
| Rectum | 506 | 0 | 0 | 0 | 0 | 0 | 0,2 | 0,9 | 0,7 | 2,3 | 4,3 | 6,5 | 6,9 | 11,2 | 18,6 | 38,7 | 33,9 | 31,7 | 4,74 | 4,74 | 4,9 | 0,26 | 0,62 | 4,9 | C19-20 | |
| Anus | 42 | 0 | 0 | 0 | 0 | 0 | 0,2 | 0,4 | 0,9 | 1,6 | 4,2 | 5,6 | 7,6 | 12,8 | 17,7 | 21,1 | 31,4 | 21,1 | 4,05 | 4,05 | 4,2 | 0,25 | 0,51 | 4 | C21 | |
| Foie | 124 | 0 | 0,2 | 0,5 | 0 | 0 | 0 | 0 | 0,5 | 0,8 | 0,1 | 0,3 | 1,2 | 3,3 | 3,4 | 7,2 | 5 | 18,4 | 1,16 | 1,16 | 1,2 | 0,05 | 0,11 | 1,2 | C22 | |
| Vésicule biliaire | 54 | 0 | 0 | 0 | 0 | 0 | 0 | 0 | 0 | 0,1 | 0,5 | 0,5 | 1,5 | 1,5 | 1,1 | 4,5 | 1,9 | 4,6 | 0,51 | 0,51 | 0,5 | 0,03 | 0,06 | 0,5 | C23-24 | |
| Pancreas | 287 | 0 | 0 | 0 | 0 | 0 | 0 | 0 | 0 | 0,7 | 1,3 | 0,9 | 3,2 | 4,3 | 8 | 11,7 | 20,7 | 18,8 | 2,69 | 2,69 | 2,8 | 0,15 | 0,36 | 2,8 | C25 | |
| Nez, sinus | 25 | 0 | 0 | 0 | 0,2 | 0,1 | 0 | 0 | 0,7 | 0,1 | 0 | 0,2 | 0,9 | 0,9 | 0,5 | 0,4 | 1,9 | 1,4 | 0,23 | 0,23 | 0,2 | 0,01 | 0,03 | 0,2 | C30-31 | |
| Larynx | 320 | 0 | 0 | 0 | 0 | 0 | 0 | 0 | 0,2 | 0,3 | 0,3 | 2,1 | 5,9 | 11,9 | 15,3 | 21,6 | 20,7 | 22,5 | 3 | 3 | 3,1 | 0,18 | 0,39 | 3,1 | C32 | |
| Trachée, bronches et poumon | 2698 | 0 | 0 | 0 | 0 | 0,3 | 0,7 | 1,5 | 3,9 | 7,9 | 7,9 | 24 | 52,2 | 103,5 | 121,6 | 205,2 | 154,6 | 134,2 | 25,28 | 25,28 | 26 | 1,58 | 3,37 | 25,8 | C33-34 | |
| Autres organes thoraciques | 64 | 0 | 0,3 | 0,1 | 0 | 0,1 | 0,2 | 0,3 | 0,1 | 0,3 | 0,3 | 0,3 | 0,9 | 0,5 | 1,8 | 2,1 | 4 | 3,8 | 0,6 | 0,6 | 0,6 | 0,03 | 0,07 | 0,6 | C35-38 | |
| OS | 91 | 0 | 0,2 | 0,1 | 1,6 | 1,9 | 1,1 | 0,6 | 0,3 | 0,3 | 1,1 | 0,3 | 0,2 | 0,6 | 0,9 | 2,3 | 1,8 | 1,9 | 2,3 | 0,85 | 0,85 | 0,9 | 0,06 | 0,07 | 0,9 | C40-41 |
| Mélanome de la peau | 37 | 0 | 0 | 0 | 0 | 0 | 0,1 | 0,3 | 0,1 | 0,3 | 0,3 | 0,6 | 0,5 | 0,4 | 0,5 | 2,2 | 1,3 | 4,6 | 0,35 | 0,35 | 0,4 | 0,01 | 0,03 | 0,3 | C43 | |
| Peau autres | 185 | 0 | 0,1 | 0 | 0 | 0 | 0,1 | 0,3 | 0,2 | 0,5 | 0,8 | 1,5 | 2,6 | 5,7 | 7,8 | 5,8 | 13,8 | 18,8 | 1,73 | 1,73 | 1,8 | 0,1 | 0,2 | 1,7 | C44 | |
| Mélothéiome | 20 | 0 | 0 | 0 | 0 | 0 | 0 | 0 | 0 | 0 | 0 | 0,3 | 0,6 | 0,5 | 1,1 | 1,3 | 1,3 | 0,5 | 0,19 | 0,19 | 0,2 | 0,01 | 0,03 | 0,2 | C45 | |
| Sarcome de Kaposi | 16 | 0 | 0 | 0 | 0 | 0 | 0 | 0 | 0 | 0 | 0,1 | 0 | 0 | 0,5 | 0,7 | 0,9 | 0,6 | 2,8 | 0,15 | 0,15 | 0,2 | 0,01 | 0,01 | 0,2 | C46 | |
| Tissus mous | 106 | 0 | 0,7 | 0,2 | 0,2 | 0,2 | 1 | 0,4 | 0,7 | 0,9 | 1,2 | 0,6 | 0,6 | 2,2 | 1,6 | 2,7 | 4,4 | 8,3 | 0,99 | 0,99 | 1 | 0,05 | 0,09 | 1 | C47-C49 | |
| Sein | 114 | 0 | 0 | 0 | 0 | 0 | 0 | 0,2 | 0,3 | 1,3 | 1,7 | 2,6 | 1,9 | 1,8 | 3,4 | 3,6 | 5 | 7,4 | 1,07 | 1,07 | 1,1 | 0,07 | 0,11 | 1 | C50 | |
| Penis | 2 | 0 | 0 | 0 | 0 | 0 | 0 | 0 | 0 | 0 | 0 | 0 | 0 | 0,4 | 0 | 0 | 0 | 0 | 0,02 | 0 | 0 | 0 | 0 | 0 | C50 | |
| Prostate | 1438 | 0 | 0 | 0 | 0 | 0 | 0 | 0 | 0,1 | 0 | 0,9 | 0,6 | 5,1 | 17,7 | 41,9 | 137,1 | 186,1 | 235,4 | 13,48 | 13,48 | 13,9 | 0,33 | 1,95 | 15,3 | C61 | |
| Testicules | 66 | 0 | 0,2 | 0 | 0,1 | 0,6 | 0,9 | 0,8 | 1,8 | 1,4 | 1,1 | 0,5 | 0,2 | 0,4 | 0,2 | 0,4 | 0 | 0 | 0,62 | 0,62 | 0,6 | 0,04 | 0,04 | 0,5 | C62 | |
| Autres organes génitaux masculins | 1 | 0 | 0 | 0 | 0 | 0 | 0 | 0 | 0 | 0 | 0 | 0 | 0 | 0,2 | 0 | 0 | 0 | 0 | 0,01 | 0,01 | 0 | 0 | 0 | 0 | C63 | |
| Rsein | 138 | 0 | 1,9 | 0,3 | 0 | 0,1 | 0,1 | 0,2 | 0,2 | 0,3 | 0,8 | 0,9 | 2,5 | 3,1 | 4,4 | 5,4 | 11,9 | 6 | 0,03 | 0,03 | 1,3 | 0,07 | 0,16 | 1,4 | C64 | |
| Bassinot du rein | 3 | 0 | 0 | 0 | 0 | 0 | 0 | 0 | 0 | 0,1 | 0 | 0 | 0 | 0 | 0,2 | 0 | 0,6 | 0 | 0,29 | 0,29 | 0,1 | 0 | 0 | 0 | C65 | |
| Utrécite | 8 | 0 | 0 | 0 | 0 | 0 | 0 | 0 | 0 | 0 | 0,1 | 0,2 | 0 | 0,5 | 0,4 | 0,6 | 0,6 | 0,9 | 0,07 | 0,07 | 0,1 | 0,01 | 0,1 | 0,1 | C66 | |
| Vessie | 573 | 0 | 0,2 | 0 | 0 | 0,1 | 0 | 0 | 0 | 0,3 | 0,4 | 1,3 | 3,8 | 6 | 17,2 | 25,9 | 43,2 | 42,1 | 5,37 | 5,37 | 5,5 | 0,28 | 0,7 | 5,6 | C67 | |
| Autres organes urinaires | 2 | 0 | 0 | 0 | 0 | 0 | 0 | 0 | 0 | 0 | 0 | 0 | 0 | 0 | 0 | 0 | 0 | 0,02 | 0 | 0,02 | 0 | 0 | 0 | 0 | C68 | |
| Gli | 30 | 0 | 1,6 | 0 | 0,1 | 0,1 | 0 | 0 | 0,1 | 0 | 0 | 0,3 | 0,2 | 0,2 | 0,5 | 1,3 | 0 | 0,9 | 0,28 | 0,28 | 0,3 | 0,02 | 0,02 | 0,3 | C69 | |
| Cerveau, système nerveux | 246 | 0 | 2,2 | 1,7 | 0,8 | 0,9 | 0,4 | 0,7 | 1,9 | 1,4 | 1,4 | 2 | 2,9 | 7,5 | 7,3 | 9,9 | 4,4 | 5,5 | 2,31 | 2,31 | 2,4 | 0,16 | 0,23 | 2,3 | C70-72 | |
| Thyroïde | 273 | 0 | 0 | 0 | 0 | 0,4 | 0,7 | 0,9 | 1,8 | 2,9 | 3,3 | 5,6 | 4,9 | 7,5 | 9,4 | 8,1 | 6,3 | 6 | 2,56 | 2,56 | 2,6 | 0,19 | 0,26 | 2,4 | C73 | |
| Glande surrénale | 29 | 0 | 2,1 | 0 | 0 | 0 | 0 | 0,1 | 0 | 0 | 0,1 | 0,2 | 0,2 | 0 | 1,3 | 0 | 0,6 | 0 | 0,27 | 0,27 | 0,3 | 0,01 | 0,02 | 0,3 | C74 | |
| Autres glandes endocrines | 11 | 0 | 0 | 0 | 0,1 | 0 | 0 | 0,2 | 0 | 0,1 | 0,3 | 0,2 | 0 | 0,4 | 0,5 | 0 | 0 | 0 | 0,1 | 0,1 | 0,1 | 0,01 | 0,01 | 0,1 | C75 | |
| Maladie de Hodgkin | 155 | 0 | 0,1 | 1 | 0,6 | 2,1 | 1,5 | 1,3 | 1,7 | 1,6 | 1,1 | 0,6 | 2,8 | 2,4 | 2,5 | 2,2 | 1,3 | 3,7 | 1,45 | 1,45 | 1,5 | 0,11 | 0,11 | 1,4 | C81 | |
| Lymphome Non-Hodgkinien | 480 | 0 | 0,9 | 0,9 | 1 | 1,2 | 1,5 | 2,6 | 1,5 | 2,1 | 3,2 | 5,4 | 6,5 | 12,1 | 14 | 20,7 | 26,4 | 28 | 4,5 | 4,5 | 4,6 | 0,26 | 0,5 | 4,5 | C82-85,C96 | |
| Maladies Immunoprolifératives | 3 | 0 | 0 | 0 | 0 | 0 | 0 | 0 | 0 | 0 | 0 | 0 | 0,2 | 0 | 0 | 0 | 0 | 0,03 | 0,03 | 0 | 0 | 0 | 0 | 0 | C88 | |
| Mélanome Multiple | 170 | 0 | 0 | 0 | 1,5 | 1,5 | 0,4 | 0,7 | 0,6 | 0,5 | 0,4 | 0,6 | 1,2 | 2 | 1,8 | 3,6 | 5,7 | 4,6 | 1,33 | 1,33 | 1,3 | 0,07 | 0,12 | 1,3 | C91 | |
| Leucémie Lymphoïde | 131 | 0 | 0,9 | 1,1 | 0,4 | 0,5 | 1,3 | 0,3 | 1,4 | 1 | 0,8 | 1,4 | 2 | 2 | 3 | 5,8 | 4,4 | 6,4 | 1,88 | 1,88 | 1,4 | 0,08 | 0,13 | 1,4 | C92-94 | |
| Leucémie Myéloïde | 32 | 0 | 0,2 | 0 | 0 | 0,2 | 0 | 0,2 | 0,1 | 0,4 | 0,1 | 0 | 0,6 | 0,9 | 0,5 | 1,8 | 0,6 | 2,3 | 0,3 | 0,3 | 0,3 | 0,02 | 0,03 | 0,3 | C95 | |
| Leucémies non spécifiques | 13 | 0 | 0 | 0 | 0 | 0 | 0 | 0 | 0 | 0 | 0 | 0,2 | 0,2 | 0 | 0,7 | 0,4 | 0,6 | 0,6 | 0,12 | 0,12 | 0,1 | 0,01 | 0,01 | 0,1 | M9D | |
| Syndromes Myéodysplastiques | 42 | 0 | 0 | 0 | 0,1 | 0,1 | 0,2 | 0 | 0,1 | 0,1 | 0,1 | 0,5 | 0,6 | 0,7 | 0,9 | 3,1 | 3,1 | 3,7 | 0,39 | 0,39 | 0,4 | 0,02 | 0,05 | 0,4 | M9S | |
| Autres leucémies | 410 | 3 | 1,4 | 0,6 | 0,2 | 0,4 | 0,6 | 0,9 | 0,8 | 0,9 | 1,7 | 2,6 | 5,9 | 10,6 | 11,9 | 22 | 30,2 | 37,2 | 3,84 | 3,84 | 4 | 0,19 | 0,46 | 4 | OKU | |
| Toutes les localisations | 10557 | 3 | 14,1 | 8,7 | 7,6 | 12,2 | 13,2 | 14,9 | 16,6 | 21,6 | 34,4 | 48,1 | 91,5 | 152,9 | 209 | 378,2 | 660,9 | 706 | 98,94 | 98,94 | 101,8 | 5,43 | 12,27 | 101,9 | ALL | |
| Toutes les localisations sauf peau | 10372 | 3 | 14 | 8,7 | 7,6 | 12,2 | 13,1 | 14,6 | 21,4 | 33,9 | 47,3 | 90 | 150,3 | 283,3 | 370,4 | 655 | 692,2 | 746,2 | 97,2 | 97,2 | 100 | 5,34 | 12,07 | 100,2 | ALLC44 | |

Tableau 60 : Nombre de cas incidents, incidences brutes, incidences spécifiques, incidences cumulées et taux d'incidences standardisées selon la localisation du cancer chez les femmes en 2013, RCGC

| SITE | Tout âge | Age inconnu | 0-4 | 5-9 | 10-14 | 15-19 | 20-24 | 25-29 | 30-34 | 35-39 | 40-44 | 45-49 | 50-54 | 55-59 | 60-64 | 65-69 | 70-74 | 75+ | TIB | (%) | CIUM 0-64 | CIUM 0-74 | TIS | CIIM10 | |
|------------------------------------|----------|-------------|-----|-----|-------|-------|-------|-------|-------|-------|-------|-------|-------|-------|-------|-------|-------|-------|-------|-------|-----------|-----------|-------|---------|--------|
| Levre | 2 | 0 | 0 | 0 | 0 | 0 | 0 | 0 | 0 | 0 | 0 | 0 | 0 | 0 | 0 | 0 | 0 | 0 | 0,09 | 0,1 | 0 | 0 | 0 | C00 | |
| Langue | 8 | 0 | 0 | 0 | 0 | 0 | 0 | 0 | 0 | 0,6 | 0 | 0 | 0 | 3 | 1,3 | 0 | 2,6 | 3,7 | 0,38 | 0,3 | 0,02 | 0,04 | 0,1 | C01-02 | |
| Cavité buccale | 11 | 0 | 0 | 0 | 0,6 | 0 | 0,5 | 0 | 0 | 0 | 0 | 0 | 0,8 | 2 | 2,2 | 0 | 0 | 9,3 | 0,52 | 0,4 | 0,02 | 0,03 | 0,5 | C03-06 | |
| Glandes salivaires | 8 | 0 | 0 | 0 | 1,2 | 0 | 0 | 0 | 0 | 0 | 1,3 | 0 | 1,6 | 1 | 0 | 0 | 0 | 1,9 | 0,38 | 0,3 | 0,02 | 0,03 | 0,3 | C07-08 | |
| Amygdales | 1 | 0 | 0 | 0 | 0 | 0 | 0 | 0 | 0 | 0 | 0 | 0 | 0 | 1 | 0 | 0 | 0 | 0 | 0,05 | 0 | 0 | 0 | 0 | C09 | |
| Oropharynx | 3 | 0 | 0 | 0 | 0 | 0 | 0 | 0 | 0 | 0 | 0 | 0 | 0,8 | 0 | 2,6 | 0 | 0 | 0 | 0,14 | 0,1 | 0,02 | 0,02 | 0,1 | C10 | |
| Naso-pharynx (examm) | 30 | 0 | 0 | 0 | 0 | 0 | 0 | 1,7 | 0,6 | 1,2 | 3,3 | 3,7 | 3,1 | 6 | 3,9 | 2,2 | 0 | 0 | 1,42 | 1,1 | 0,12 | 0,13 | 1,3 | C11 | |
| Hypo-pharynx | 3 | 0 | 0 | 0 | 0 | 0 | 0 | 0 | 0 | 0 | 0 | 0,7 | 1,6 | 0 | 0 | 0 | 0 | 0 | 0,14 | 0,1 | 0,01 | 0,01 | 0,1 | C12-13 | |
| Pharynx non spécifique | 1 | 0 | 0 | 0 | 0 | 0 | 0 | 0 | 0 | 0 | 0 | 0 | 0 | 1 | 0 | 0 | 0 | 0 | 0,05 | 0 | 0,01 | 0,01 | 0 | C14 | |
| Œsophage | 11 | 0 | 0 | 0 | 0 | 0 | 0,5 | 1,7 | 3,9 | 1,2 | 5,2 | 4,4 | 4,7 | 11 | 10,4 | 6,7 | 0 | 1,9 | 6,7 | 0 | 0,19 | 0,06 | 0,5 | C15 | |
| Estomac | 71 | 0 | 0 | 0 | 0 | 0 | 0,5 | 1,7 | 3,9 | 1,2 | 5,2 | 4,4 | 4,7 | 11 | 10,4 | 6,7 | 0 | 1,9 | 10,3 | 1,3 | 3,37 | 2,7 | 3,2 | C16 | |
| Intestin grêle | 10 | 0 | 0 | 0 | 0 | 0 | 0,5 | 1,1 | 2,3 | 2,5 | 5,9 | 10,3 | 19,5 | 12 | 25,9 | 33,6 | 23,2 | 14,9 | 4,47 | 0,4 | 0,03 | 0,04 | 0,4 | C17 | |
| Colon | 123 | 0 | 0 | 0 | 0 | 0 | 0,5 | 1,1 | 2,3 | 2,5 | 5,9 | 10,3 | 19,5 | 12 | 25,9 | 33,6 | 23,2 | 14,9 | 5,83 | 4,7 | 0,583 | 4,7 | 5,6 | C18 | |
| Rectum | 79 | 0 | 0 | 0 | 0 | 0 | 0 | 1,1 | 2,3 | 3,7 | 2,6 | 2,9 | 7 | 12 | 18,2 | 35,8 | 15,3 | 3,7 | 3,74 | 3 | 3,74 | 3 | 3,8 | C19-20 | |
| Annus | 6 | 0 | 0 | 0 | 0 | 0 | 0 | 0 | 0 | 0 | 1,3 | 0 | 0 | 1 | 1,3 | 2,2 | 2,6 | 0 | 0,28 | 0,2 | 0,02 | 0,04 | 0,3 | C21 | |
| Foie | 18 | 0 | 0 | 0 | 0 | 0 | 0 | 0,6 | 0 | 0 | 0,7 | 0 | 0 | 4 | 3,9 | 6,7 | 2,6 | 5,6 | 0,85 | 0,7 | 0,05 | 0,1 | 0,9 | C22 | |
| Vésicule biliaire | 16 | 0 | 0 | 0 | 0 | 0 | 0 | 0 | 0 | 0 | 0,7 | 1,5 | 0,8 | 3 | 2,6 | 4,5 | 7,7 | 3,7 | 7,7 | 0,76 | 0,6 | 0,1 | 0,8 | C23-24 | |
| Pancreas | 26 | 0 | 0 | 0 | 0 | 0 | 0 | 0 | 0 | 0,6 | 0,9 | 0 | 0 | 1 | 1,3 | 2,2 | 2,6 | 0 | 0,28 | 0,2 | 0,02 | 0,04 | 0,3 | C25 | |
| Nez sinus | 5 | 0 | 0 | 0 | 0 | 0 | 0 | 0 | 0 | 0,6 | 0 | 0 | 0 | 0 | 0 | 0 | 10,3 | 7,4 | 1,23 | 1 | 0,08 | 0,17 | 1,3 | C30-31 | |
| Larynx | 10 | 0 | 0 | 0 | 0 | 0 | 0 | 0 | 0 | 0 | 0 | 0,7 | 1,6 | 0 | 2,2 | 0 | 2,6 | 7,4 | 0,47 | 0,4 | 0,02 | 0,02 | 0,3 | C32 | |
| Trachée, bronches et poumon | 78 | 0 | 0 | 0 | 0 | 0,6 | 0 | 0,6 | 0 | 1,2 | 1,3 | 5,9 | 8,6 | 13 | 14,3 | 22,4 | 23,2 | 18,6 | 2,2 | 0 | 0,23 | 0,46 | 3,6 | C33-34 | |
| Autres organes thoraciques | 6 | 0 | 0 | 0 | 0 | 0 | 0 | 0 | 0 | 0,6 | 1,3 | 0,7 | 0,8 | 0 | 0 | 2,2 | 0 | 0 | 0,28 | 0,2 | 0,02 | 0,03 | 0,3 | C37-38 | |
| OS | 15 | 0 | 0 | 0 | 0,6 | 2,5 | 2,1 | 0 | 0,6 | 0,6 | 0,6 | 0,7 | 0,8 | 0 | 0 | 0 | 2,2 | 0 | 1,9 | 0,71 | 0,6 | 0,04 | 0,05 | 0,7 | C40-41 |
| Mélanome de la peau | 10 | 0 | 0 | 0 | 0,6 | 0 | 0 | 0,6 | 1,1 | 1,2 | 1,3 | 0,7 | 1,6 | 2 | 1,3 | 2,2 | 5,2 | 18,6 | 0,47 | 0,4 | 0,04 | 0,05 | 0,5 | C43 | |
| Peau autres | 28 | 0 | 0 | 0 | 0 | 0 | 0,5 | 0,6 | 1,1 | 1,2 | 1,3 | 0,7 | 1,6 | 2 | 1,3 | 2,2 | 5,2 | 18,6 | 1,33 | 1,1 | 0,04 | 0,09 | 1,2 | C44 | |
| Mésothéliome | 2 | 0 | 0 | 0 | 0 | 0 | 0 | 0 | 0 | 0 | 0 | 0 | 0 | 0 | 0 | 0 | 2,6 | 1,9 | 0,09 | 0,1 | 0,01 | 0,01 | 0,1 | C45 | |
| Sarcome de Kaposi | 14 | 0 | 0 | 0 | 0 | 0 | 0,5 | 1,1 | 0 | 0,6 | 0 | 0 | 0 | 1 | 0 | 0 | 2,6 | 1,9 | 0,09 | 0,19 | 0,02 | 0,02 | 0,2 | C46 | |
| Tissus mous | 977 | 0 | 0 | 0 | 0 | 0 | 1,1 | 5,5 | 27,1 | 50,3 | 99,6 | 139,1 | 131,6 | 121,3 | 119,3 | 103 | 82,5 | 61,4 | 4,631 | 3,7 | 3,47 | 4,4 | 41,7 | C47-C49 | |
| Vulve | 18 | 0 | 0 | 0 | 0 | 0 | 0 | 0,6 | 0 | 1,2 | 2 | 0,7 | 0 | 1,3 | 4,5 | 2,6 | 2,6 | 1,3 | 0,85 | 0,7 | 0,03 | 0,06 | 0,8 | C51 | |
| Vagin | 8 | 0 | 0 | 0 | 0 | 1,2 | 0 | 0 | 0,6 | 0,6 | 0,7 | 0 | 0 | 2 | 0 | 2,2 | 0 | 1,9 | 0,38 | 0,3 | 0,02 | 0,03 | 0,4 | C52 | |
| Col de l'utérus | 260 | 0 | 0 | 0 | 0 | 0 | 0 | 1,1 | 2,8 | 9,8 | 15 | 19,9 | 24,9 | 45,1 | 48 | 42,5 | 46,4 | 6,7 | 12,32 | 9,8 | 0,83 | 1,28 | 11,4 | C53 | |
| Corps de l'utérus | 36 | 0 | 0 | 0 | 0 | 0 | 0 | 0 | 0 | 0,6 | 3,3 | 2,2 | 7,7 | 11 | 13 | 13,4 | 15,5 | 9,3 | 2,65 | 2,1 | 0,19 | 0,33 | 2,6 | C54 | |
| Utérus non spécifique | 27 | 0 | 0 | 0 | 0 | 0 | 0,5 | 0 | 0 | 0,6 | 1,3 | 3,7 | 0,8 | 7 | 5,2 | 9 | 2,6 | 1,9 | 1,28 | 1 | 0,1 | 0,15 | 1,3 | C55 | |
| Ovaire | 123 | 0 | 0 | 0 | 0 | 0,6 | 1,6 | 0,6 | 2,3 | 1,8 | 7,2 | 14,7 | 15,6 | 19 | 14,3 | 24,6 | 20,6 | 20,5 | 5,83 | 4,7 | 0,39 | 0,61 | 5,5 | C56 | |
| Autres organes génitaux féminins | 7 | 0 | 0 | 0 | 0 | 0 | 0 | 0 | 0 | 0 | 0 | 0 | 0,8 | 0 | 1,3 | 0 | 0 | 0 | 0,09 | 0,1 | 0,01 | 0,01 | 0,1 | C57 | |
| Placenta | 2 | 0 | 0 | 0 | 0 | 0,6 | 0 | 0,6 | 0,6 | 0 | 1,3 | 1,5 | 0 | 0 | 0 | 0 | 0 | 0 | 0,33 | 0,3 | 0,02 | 0,02 | 0,3 | C58 | |
| Rein | 15 | 0 | 0 | 1,6 | 1,2 | 0,6 | 0 | 0 | 1,1 | 0 | 1,3 | 0 | 0 | 2 | 0 | 0 | 5,2 | 1,9 | 0,71 | 0,6 | 0,04 | 0,07 | 0,7 | C64 | |
| Bassin du rein | 0 | 0 | 0 | 0 | 0 | 0 | 0 | 0 | 0 | 0 | 0 | 0 | 0 | 0 | 0 | 0 | 0 | 0 | 0 | 0 | 0 | 0 | 0 | C65 | |
| Uretere | 0 | 0 | 0 | 0 | 0 | 0 | 0 | 0 | 0 | 0 | 0 | 0 | 0 | 0 | 0 | 0 | 0 | 0 | 0 | 0 | 0 | 0 | 0 | C66 | |
| Vessie | 14 | 0 | 0 | 0 | 0 | 0 | 0 | 0 | 0 | 0 | 0 | 1,5 | 1,6 | 1 | 3,9 | 2,2 | 0 | 0 | 0,66 | 0,5 | 0,04 | 0,05 | 0,6 | C67 | |
| Autres organes urinaires | 4 | 0 | 0 | 0 | 0 | 0 | 0 | 0 | 0 | 0 | 0 | 0 | 0 | 1 | 0 | 0 | 0 | 0 | 0 | 0 | 0 | 0 | 0 | C68 | |
| GÈL | 4 | 0 | 1,1 | 0 | 0 | 0 | 0 | 0 | 0 | 0 | 0 | 0,2 | 0,7 | 0 | 1 | 0 | 0 | 0 | 0,19 | 0,2 | 0,01 | 0,01 | 0,2 | C69 | |
| Cerveau, système nerveux | 32 | 0 | 1,6 | 0 | 3,2 | 0,6 | 1,1 | 1,7 | 0 | 1,2 | 0,7 | 2,2 | 1,6 | 0 | 1,3 | 4,5 | 10,3 | 5,6 | 1,52 | 1,2 | 0,08 | 0,15 | 1,6 | C70-72 | |
| Thyroïde | 262 | 1 | 0 | 0,6 | 0,6 | 1,9 | 3,8 | 10,5 | 11,8 | 14,1 | 21,5 | 22,8 | 31,9 | 30,1 | 42,8 | 24,6 | 7,7 | 9,3 | 12,42 | 9,9 | 0,96 | 1,12 | 11,2 | C73 | |
| Glande surrénale | 2 | 0 | 0 | 0 | 0 | 0 | 0 | 0 | 0 | 0 | 0 | 0,7 | 0 | 0 | 0 | 0 | 0 | 0 | 0,09 | 0,1 | 0,01 | 0,01 | 0,1 | C74 | |
| Autres glandes endocrines | 0 | 0 | 0 | 0 | 0 | 0 | 0 | 0 | 0 | 0 | 0 | 0 | 0 | 0 | 0 | 0 | 0 | 0 | 0 | 0 | 0 | 0 | 0 | C75 | |
| Maladie de Hodgkin | 46 | 0 | 0 | 0,6 | 0,6 | 4,3 | 4,8 | 4,4 | 1,7 | 1,8 | 2,6 | 0,7 | 0,8 | 4 | 2,6 | 4,5 | 0 | 0 | 2,18 | 1,7 | 0,15 | 0,17 | 2,1 | C81 | |
| Lymphome Non-Hodgkinien | 76 | 0 | 0,5 | 0 | 0,6 | 0,6 | 0,5 | 1,7 | 2,8 | 3,1 | 2 | 3,7 | 3,9 | 6 | 11,7 | 22,4 | 36,1 | 14,9 | 3,6 | 2,9 | 0,18 | 0,47 | 3,6 | C82-85 | |
| Maladies Immunoprolifératives | 0 | 0 | 0 | 0 | 0 | 0 | 0 | 0 | 0 | 0 | 0 | 0 | 0 | 0 | 0 | 0 | 0 | 0 | 0 | 0 | 0 | 0 | 0 | C88 | |
| Mélanome Multiple | 21 | 0 | 0 | 0 | 0 | 0 | 0 | 0 | 0,6 | 0 | 0 | 0,7 | 1,6 | 3 | 5,2 | 6,7 | 7,7 | 7,4 | 1 | 0,8 | 0,06 | 0,13 | 1 | C90 | |
| Leucémie Lymphoïde | 15 | 0 | 0 | 0,6 | 1,3 | 0,6 | 0 | 0,6 | 0 | 0 | 0,7 | 0,7 | 0 | 1 | 2,6 | 4,5 | 2,6 | 3,7 | 0,71 | 0,6 | 0,04 | 0,08 | 0,8 | C91 | |
| Leucémie Myéloïde | 27 | 0 | 0,5 | 0 | 0,6 | 1,9 | 0,5 | 0,6 | 1,1 | 0 | 2,6 | 0 | 1,6 | 2 | 3,9 | 6,7 | 5,2 | 3,7 | 1,28 | 1,3 | 0,08 | 0,14 | 1,3 | C92-94 | |
| Leucémies non spécifiques | 8 | 0 | 0 | 0 | 0 | 0 | 0 | 0,6 | 0,6 | 0 | 1,3 | 0 | 0 | 1 | 1,3 | 2,2 | 0 | 5,6 | 0,95 | 0,3 | 0,02 | 0,03 | 0,3 | C95 | |
| Syndromes Myéloprolifératifs | 2 | 0 | 0 | 0 | 0 | 0 | 0 | 0 | 0 | 0 | 0,7 | 0 | 0 | 0 | 0 | 0 | 0 | 1,9 | 0,09 | 0,1 | 0 | 0 | 0,1 | MED | |
| Autres non spécifiques | 9 | 0 | 0 | 0 | 0 | 0 | 0 | 0 | 0 | 0,6 | 0 | 0 | 0,8 | 2 | 1,3 | 0 | 5,2 | 1,9 | 0,43 | 0,3 | 0,03 | 0,05 | 0,4 | MDS | |
| Toutes les localisations | 2671 | 2 | 1,1 | 0,6 | 8,8 | 17,3 | 19,9 | 35,8 | 65,4 | 101,1 | 192 | 255,3 | 288,1 | 345,7 | 398 | 441,1 | 386,9 | 385,1 | 126,6 | 101,1 | 8,72 | 12,86 | 118,2 | 2,8 | ALL |
| Toutes les localisations sauf peau | 2643 | 2 | | | | | | | | | | | | | | | | | | | | | | | |

Tableau 61 : Nombre de cas incidents, incidences brutes, incidences spécifiques, incidences cumulées et taux d'incidences standardisées selon la localisation du cancer chez les hommes en 2013.RCGC

| SITE | Tout âge | Age inconnu | 0-4 | 5-9 | 10-14 | 15-19 | 20-24 | 25-29 | 30-34 | 35-39 | 40-44 | 45-49 | 50-54 | 55-59 | 60-64 | 65-69 | 70-74 | 75+ | TIB | (%) | CUM 0-64 | CUM 0-74 | TIS | CM10 |
|------------------------------------|----------|-------------|------|-----|-------|-------|-------|-------|-------|-------|-------|-------|-------|-------|-------|-------|-------|-------|-------|------|----------|----------|-------|------------|
| Levre | 4 | 0 | 0 | 0 | 0 | 0 | 0 | 0 | 0 | 0 | 0 | 0,8 | 1,6 | 2 | 1,3 | 2,4 | 0 | 2,4 | 0,19 | 0,2 | 0,02 | 0,03 | 0,2 | C00 |
| Langue | 7 | 0 | 0 | 0 | 0 | 0 | 0 | 0 | 0 | 0 | 0 | 0 | 1,6 | 2 | 1,3 | 2,4 | 0 | 2,4 | 0,34 | 0,3 | 0,02 | 0,04 | 0,3 | C01-02 |
| Cavité buccale | 11 | 0 | 0 | 0 | 0 | 0 | 0 | 0 | 0 | 0 | 0 | 0 | 4,1 | 1 | 2,5 | 2,4 | 3,2 | 2,4 | 0,53 | 0,5 | 0,04 | 0,07 | 0,5 | C03-06 |
| Glandes salivaires | 13 | 0 | 0 | 0 | 0,6 | 0 | 0 | 0,6 | 1,3 | 0 | 0,6 | 1,3 | 3,3 | 1 | 2,5 | 0 | 6,5 | 0 | 0,63 | 0,6 | 0,05 | 0,08 | 0,6 | C07-08 |
| Amygdales | 3 | 0 | 0 | 0 | 0 | 0 | 0 | 0,6 | 0 | 0,6 | 0 | 0 | 0 | 1 | 0 | 0 | 0 | 0 | 0,14 | 0,1 | 0,01 | 0,01 | 0,1 | C09 |
| Oropharynx | 1 | 0 | 0 | 0 | 0 | 0 | 0 | 0 | 0 | 0 | 0 | 0 | 0 | 1 | 0 | 0 | 0 | 0 | 0,05 | 0 | 0,01 | 0,01 | 0 | C10 |
| Nasopharynx (exvivo) | 66 | 0 | 0 | 0 | 0 | 2,5 | 1,1 | 0,6 | 1,7 | 3,9 | 3,4 | 10 | 7,3 | 10,1 | 11,4 | 2,4 | 6,5 | 2,4 | 3,19 | 3 | 0,26 | 0,3 | 3 | C11 |
| Hypo-pharynx | 1 | 0 | 0 | 0 | 0 | 0 | 0 | 0,6 | 0 | 0 | 0 | 0 | 0 | 0 | 0 | 0 | 0 | 0 | 0,05 | 0 | 0 | 0 | 0 | C12-13 |
| Pharynx non spécifique | 2 | 0 | 0 | 0 | 0 | 0 | 0 | 0 | 0 | 0 | 0 | 0,8 | 0 | 0 | 0 | 0 | 0 | 0 | 0,1 | 0,1 | 0,01 | 0,01 | 0,1 | C14 |
| Œsophage | 8 | 0 | 0 | 0 | 0 | 0 | 0 | 0 | 0,6 | 2,6 | 2,7 | 9,3 | 3,3 | 13,1 | 21,5 | 28,8 | 45,5 | 26,7 | 4,49 | 4,2 | 0,27 | 0,64 | 4,8 | C15 |
| Œsophage | 93 | 0 | 0 | 0 | 0 | 0 | 0,6 | 0 | 0,6 | 0 | 0 | 0,8 | 0,8 | 0 | 3,8 | 0 | 3,2 | 0 | 0,34 | 0,3 | 0,03 | 0,05 | 0,3 | C17 |
| Intestin grêle | 7 | 0 | 0 | 0 | 0 | 0 | 0 | 0 | 0,6 | 0 | 0 | 0,8 | 0 | 0 | 0 | 0 | 0 | 0 | 0,34 | 0,3 | 0,03 | 0,05 | 0,3 | C18 |
| Colon | 117 | 0 | 0 | 0 | 0 | 0 | 0 | 1,7 | 1,1 | 3,2 | 6,8 | 7 | 9 | 17,1 | 16,5 | 52,7 | 39 | 36,4 | 5,65 | 5,3 | 0,31 | 0,76 | 6 | C18 |
| Rectum | 85 | 0 | 0 | 0 | 0 | 0 | 1,1 | 1,1 | 0,6 | 0,6 | 6,8 | 4,6 | 10,6 | 13,1 | 16,5 | 16,8 | 35,7 | 14,5 | 4,11 | 3,9 | 0,27 | 0,54 | 4,2 | C19-20 |
| Anus | 7 | 0 | 0 | 0 | 0 | 0 | 0 | 0 | 0,6 | 0 | 0 | 1,5 | 0,8 | 1 | 0 | 2,4 | 3,2 | 0 | 0,34 | 0,3 | 0,02 | 0,05 | 0,3 | C21 |
| Anus | 19 | 0 | 0 | 0,6 | 0 | 0 | 0 | 0 | 1,2 | 1,3 | 0 | 1,5 | 0,8 | 1 | 0 | 2,4 | 3,2 | 0 | 0,34 | 0,3 | 0,02 | 0,05 | 0,3 | C22 |
| Foie | 9 | 0 | 0 | 0 | 0 | 0 | 0 | 0 | 0 | 0,7 | 0 | 4,6 | 4,1 | 9,1 | 11,4 | 26,4 | 29,2 | 26,7 | 3,04 | 2,9 | 0,16 | 0,43 | 3,3 | C23-24 |
| Pancréas | 63 | 0 | 0 | 0 | 0 | 0 | 0 | 0 | 0 | 1,9 | 0 | 0 | 0,8 | 2 | 1,3 | 4,8 | 3,2 | 2,4 | 3,04 | 2,9 | 0,16 | 0,43 | 3,3 | C25 |
| Nez, sinus | 3 | 0 | 0 | 0 | 0 | 0 | 0 | 0 | 0 | 0 | 0 | 0 | 0,8 | 1 | 0 | 0 | 0 | 0 | 0,14 | 0,1 | 0,01 | 0,01 | 0,1 | C30-31 |
| Larynx | 95 | 0 | 0 | 0 | 0 | 0 | 0 | 0 | 0,6 | 0,6 | 0 | 1,5 | 9,8 | 19,1 | 34,2 | 33,5 | 26 | 29,1 | 4,59 | 4,3 | 0,33 | 0,62 | 4,9 | C32 |
| Trachée, bronches et poumon | 612 | 0 | 0 | 0 | 0 | 0 | 0 | 2,3 | 0,6 | 3,2 | 10,8 | 34 | 65,1 | 123,9 | 160,8 | 222,8 | 149,5 | 177 | 29,57 | 27,9 | 2 | 3,86 | 31 | C33-34 |
| Autres organes thoraciques | 9 | 0 | 0 | 0,6 | 0 | 0 | 0,6 | 0 | 0,7 | 0,7 | 0,8 | 0 | 1,6 | 1 | 1,3 | 2,4 | 0 | 0 | 0,43 | 0,4 | 0,03 | 0,04 | 0,4 | C37-38 |
| OS | 24 | 0 | 0,5 | 0 | 1,8 | 0,6 | 1,1 | 0 | 1,7 | 0 | 3,4 | 0 | 0,8 | 0 | 3,8 | 7,2 | 3,2 | 2,4 | 1,16 | 1,1 | 0,07 | 0,12 | 1,2 | C40-41 |
| Mélanome de la peau | 11 | 0 | 0 | 0 | 0 | 0 | 0 | 0 | 0 | 1,3 | 0,7 | 0 | 0,8 | 1 | 1,3 | 4,8 | 3,2 | 4,8 | 0,53 | 0,5 | 0,03 | 0,07 | 0,6 | C43 |
| Peau autres | 35 | 0 | 0 | 0 | 0 | 0 | 0 | 0 | 0 | 0 | 2 | 3,1 | 2,4 | 7,1 | 10,1 | 2,4 | 13 | 12,1 | 1,69 | 1,6 | 0,12 | 0,2 | 1,7 | C44 |
| Mélaniome | 2 | 0 | 0 | 0 | 0 | 0 | 0 | 0 | 0 | 0 | 0 | 0 | 0 | 1 | 1,3 | 0 | 0 | 0 | 0,1 | 0,1 | 0,01 | 0,01 | 0,1 | C45 |
| Sarcome de Kaposi | 1 | 0 | 0 | 0 | 0 | 0 | 0 | 0 | 0 | 0 | 0 | 0 | 0 | 0 | 0 | 0 | 0 | 0 | 0,05 | 0 | 0 | 0,02 | 0,1 | C46 |
| Tissus mous | 13 | 0 | 1 | 0 | 0,6 | 0,6 | 0 | 0,6 | 0 | 0 | 0 | 0 | 0,8 | 4 | 0 | 2,4 | 3,2 | 2,4 | 0,63 | 0,6 | 0,04 | 0,07 | 0,7 | C47-C49 |
| Sein | 21 | 0 | 0 | 0 | 0 | 0 | 0 | 0 | 0 | 1,9 | 2 | 1,5 | 2,4 | 1 | 5,1 | 9,6 | 0 | 2,4 | 1,01 | 1 | 0,07 | 0,12 | 1 | C50 |
| Penis | 2 | 0 | 0 | 0 | 0 | 0 | 0 | 0 | 0 | 0 | 0 | 0 | 0 | 2 | 0 | 0 | 0 | 0 | 0,1 | 0,1 | 0,01 | 0,01 | 0,1 | C60 |
| Prostate | 297 | 0 | 0 | 0 | 0 | 0 | 0 | 0 | 0 | 0 | 0 | 0,8 | 2,4 | 17,1 | 55,7 | 177,3 | 198,2 | 235,1 | 14,35 | 13,5 | 0,38 | 2,26 | 17,1 | C61 |
| Testicules | 9 | 0 | 0 | 0 | 0 | 0 | 0 | 0,6 | 1,2 | 1,9 | 1,4 | 0 | 0 | 0 | 0 | 2,4 | 0 | 0 | 0,43 | 0,4 | 0,03 | 0,04 | 0,4 | C62 |
| Autres organes génitaux masculins | 0 | 0 | 0 | 0 | 0 | 0 | 0 | 0 | 0 | 0 | 0 | 0 | 0 | 0 | 0 | 0 | 0 | 0 | 0 | 0 | 0 | 0 | 0 | C63 |
| Rein | 18 | 0 | 1 | 0 | 0 | 0 | 0 | 0 | 0 | 0 | 0,7 | 2,3 | 3,3 | 1 | 1,3 | 2,4 | 9,7 | 4,8 | 0,87 | 0,8 | 0,05 | 0,11 | 0,9 | C64 |
| Bassinot du rein | 0 | 0 | 0 | 0 | 0 | 0 | 0 | 0 | 0 | 0 | 0 | 0 | 0 | 0 | 0 | 0 | 0 | 0 | 0 | 0 | 0 | 0 | 0 | C65 |
| Utrétre | 0 | 0 | 0 | 0 | 0 | 0 | 0 | 0 | 0 | 0 | 0 | 0 | 0 | 0 | 0 | 0 | 0 | 0 | 0 | 0 | 0 | 0 | 0 | C66 |
| Vessie | 124 | 0 | 0 | 0 | 0 | 0 | 0 | 0 | 0,6 | 0 | 0,7 | 3,1 | 7,3 | 22,2 | 24,1 | 59,9 | 58,5 | 60,6 | 5,99 | 5,7 | 0,29 | 0,88 | 6,7 | C67 |
| Autres organes urinaires | 1 | 0 | 0 | 0 | 0 | 0 | 0 | 0 | 0 | 0 | 0 | 0 | 0 | 0 | 0 | 0 | 0 | 0 | 0,05 | 0 | 0 | 0 | 0 | C68 |
| GHI | 8 | 0 | 2,1 | 0 | 0 | 0 | 0 | 0 | 0 | 0 | 0 | 0 | 0,8 | 0 | 2,5 | 0 | 0 | 2,4 | 0,39 | 0,4 | 0,03 | 0,03 | 0,4 | C69 |
| Cerveau, système nerveux | 44 | 0 | 2,1 | 2,3 | 0,6 | 0 | 0,6 | 0,6 | 1,7 | 1,3 | 0,7 | 0 | 4,1 | 5 | 8,9 | 12 | 6,5 | 7,3 | 2,13 | 2 | 0,14 | 0,23 | 2,2 | C70-72 |
| Thyroïde | 57 | 0 | 0 | 0 | 0 | 1,2 | 1,1 | 1,1 | 1,7 | 3,9 | 1,4 | 7 | 6,5 | 7,1 | 13,9 | 4,8 | 6,5 | 2,4 | 2,75 | 2,6 | 0,22 | 0,28 | 2,6 | C73 |
| Glande surrénale | 3 | 0 | 1,5 | 0 | 0 | 0 | 0 | 0 | 0 | 0 | 0 | 0 | 0 | 0 | 0 | 0 | 0 | 0 | 0,14 | 0,1 | 0,01 | 0,01 | 0,2 | C74 |
| Autres glandes endocrines | 1 | 0 | 0 | 0 | 0 | 0 | 0 | 0 | 0 | 0,6 | 0 | 0 | 0 | 0 | 0 | 0 | 0 | 0 | 0,05 | 0 | 0 | 0 | 0 | C75 |
| Maladie de Hodgkin | 38 | 0 | 0 | 2,9 | 0 | 1,2 | 1,1 | 1,7 | 1,7 | 1,3 | 2,7 | 0,8 | 3,3 | 4 | 5,1 | 2,4 | 0 | 9,7 | 1,84 | 1,7 | 0,13 | 0,14 | 1,8 | C81 |
| Lymphome Non-Hodgkinien | 102 | 0 | 2,6 | 1,8 | 0,6 | 1,8 | 1,7 | 1,1 | 1,7 | 1,3 | 1,4 | 7 | 4,1 | 20,1 | 12,7 | 12 | 45,5 | 36,4 | 4,93 | 4,7 | 0,29 | 0,58 | 5,1 | C82-85,C96 |
| Maladies Immunoprolifératives | 0 | 0 | 0 | 0 | 0 | 0 | 0 | 0 | 0 | 0 | 0 | 0 | 0 | 0 | 0 | 0 | 0 | 0 | 0 | 0 | 0 | 0 | 0 | C88 |
| Mélanome Multiple | 24 | 0 | 0 | 0 | 0 | 0 | 0 | 0 | 0,6 | 0 | 0 | 1,5 | 2,4 | 3 | 8,9 | 0 | 6,5 | 9,7 | 1,16 | 1,1 | 0,09 | 0,12 | 1,1 | C90 |
| Leucémie Lymphoïde | 15 | 0 | 0 | 0 | 1,8 | 0,6 | 0,6 | 0 | 0,6 | 0 | 0,7 | 0,8 | 0,8 | 3 | 2,5 | 0 | 0 | 2,4 | 0,72 | 0,7 | 0,06 | 0,06 | 0,7 | C91 |
| Leucémie Myéloïde | 18 | 0 | 0 | 0,6 | 0 | 0,6 | 0 | 0 | 1,2 | 0 | 0 | 1,5 | 1,6 | 2 | 5,1 | 0 | 3,2 | 7,3 | 0,87 | 0,8 | 0,08 | 0,08 | 0,9 | C92-94 |
| Leucémies non spécifiques | 5 | 0 | 0 | 0 | 0 | 0,6 | 0 | 0 | 0 | 0 | 0 | 0 | 0,8 | 1 | 0 | 2,4 | 0 | 2,4 | 0,24 | 0,2 | 0,01 | 0,02 | 0,3 | C95 |
| Syndromes Myéloprolifératifs | 4 | 0 | 0 | 0 | 0 | 0 | 0 | 0 | 0 | 0 | 0 | 0 | 0 | 0 | 1,3 | 0 | 3,2 | 4,8 | 0,19 | 0,2 | 0,01 | 0,02 | 0,2 | MND |
| Syndromes Myéloprolifératifs | 6 | 0 | 0 | 0 | 0 | 0 | 0 | 0 | 0,6 | 0 | 0 | 0 | 0,8 | 1 | 0 | 2,4 | 0 | 4,8 | 0,29 | 0,3 | 0,01 | 0,02 | 0,3 | MDS |
| Autres non spécifiques | 108 | 0 | 3,6 | 8,8 | 5,5 | 11,7 | 9,9 | 6,6 | 13 | 17,3 | 36,8 | 50 | 7,3 | 17,1 | 22,8 | 33,5 | 45,5 | 46,1 | 5,22 | 4,9 | 0,29 | 0,69 | 5,7 | OKU |
| Toutes les localisations | 2227 | 1 | 14,4 | 8,8 | 5,5 | 11,7 | 9,9 | 6,6 | 13 | 17,3 | 36,8 | 50 | 7,3 | 17,1 | 22,8 | 33,5 | 45,5 | 46,1 | 5,22 | 4,9 | 0,29 | 0,69 | 5,7 | OKU |
| Toutes les localisations sauf peau | 2192 | 1 | 14,4 | 8,8 | 5,5 | 11,7 | 9,9 | 6,6 | 13 | 17,3 | 36,8 | 47,9 | 105,9 | 173,3 | 335,5 | 463,3 | 745,8 | 763,7 | 105,9 | 100 | 6,22 | 13,76 | 112,6 | ALLC44 |

Tableau 62 : Nombre de cas incidents, incidences brutes, incidences spécifiques, incidences cumulées et taux d'incidences standardisées selon la localisation du cancer chez les femmes en 2014.RCCG

| SITE | Tout âge | Age inconnu | 0-4 | 5-9 | 10-14 | 15-19 | 20-24 | 25-29 | 30-34 | 35-39 | 40-44 | 45-49 | 50-54 | 55-59 | 60-64 | 65-69 | 70-74 | 75+ | TIB | (%) | CUM 0-64 | CUM 0-74 | TIS | CM10 | |
|----------------------------------|----------|-------------|------|-----|-------|-------|-------|-------|-------|-------|-------|-------|-------|-------|-------|-------|-------|------|-------|------|----------|----------|------|--------|---------|
| Levre | 4 | 0 | 0 | 0 | 0 | 0 | 0 | 0 | 0,6 | 0 | 0 | 0 | 0 | 0 | 1,2 | 0 | 0 | 3,6 | 0,19 | 0,1 | 0,01 | 0,01 | 0,2 | C00 | |
| Langue | 11 | 0 | 0 | 0 | 0 | 0 | 0 | 0 | 0 | 0 | 0 | 0,7 | 0,8 | 0 | 0 | 0 | 5,1 | 12,5 | 0,51 | 0,4 | 0,01 | 0,03 | 0,4 | C01-02 | |
| Cavité buccale | 3 | 0 | 0 | 0 | 0 | 0 | 0,5 | 0 | 0 | 0 | 0 | 0 | 0,8 | 1 | 0 | 0 | 0 | 0 | 0,8 | 0,14 | 0,1 | 0,01 | 0,1 | C03-06 | |
| Glandes salivaires | 18 | 0 | 0,5 | 0 | 0 | 0 | 1,1 | 2,2 | 0,6 | 1,3 | 0,7 | 0 | 0,8 | 1 | 1,2 | 2,2 | 2,5 | 5,4 | 0,84 | 0,6 | 0,04 | 0,07 | 0,8 | C07-08 | |
| Amygdales | 3 | 0 | 0 | 0 | 0 | 0 | 0 | 0 | 0 | 0 | 0 | 0 | 0,8 | 0 | 1,2 | 2,2 | 0 | 0 | 0,14 | 0,1 | 0,01 | 0,02 | 0,2 | C09 | |
| Oropharynx | 1 | 0 | 0 | 0 | 0 | 0 | 0 | 0 | 0 | 0 | 0,6 | 0 | 0 | 0 | 0 | 0 | 0 | 0 | 0,05 | 0 | 0 | 0 | 0 | C10 | |
| Nasopharynx (examm) | 28 | 0 | 0 | 0 | 0 | 0 | 0,5 | 0 | 1,1 | 2,4 | 4,5 | 2,9 | 2,3 | 0 | 2,5 | 2,2 | 5,1 | 3,6 | 1,31 | 1 | 0,08 | 0,12 | 1,2 | C11 | |
| Hypopharynx | 0 | 0 | 0 | 0 | 0 | 0 | 0 | 0 | 0 | 0 | 0 | 0 | 0 | 0 | 0 | 0 | 0 | 0 | 0 | 0 | 0 | 0 | 0 | C12-13 | |
| Pharynx non spécifié | 0 | 0 | 0 | 0 | 0 | 0 | 0 | 0 | 0 | 0 | 0 | 0 | 0 | 0 | 0 | 0 | 0 | 0 | 0 | 0 | 0 | 0 | 0 | C14 | |
| Œsophage | 10 | 0 | 0 | 0 | 0 | 0 | 0 | 0,5 | 0 | 0 | 0 | 0,7 | 1,5 | 1,9 | 0 | 0 | 5,1 | 3,6 | 0,47 | 0,4 | 0,02 | 0,05 | 0,4 | C15 | |
| Estomac | 63 | 0 | 0 | 0 | 0 | 0 | 0,5 | 0,5 | 0,6 | 3 | 3,9 | 7,9 | 4,5 | 10,5 | 8,7 | 6,6 | 17,7 | 17,2 | 2,94 | 2,3 | 0,2 | 0,32 | 2,7 | C16 | |
| Intestin grêle | 8 | 0 | 0 | 0 | 0 | 0 | 0 | 0 | 1,1 | 0 | 0,6 | 0,7 | 0,8 | 1 | 1,2 | 0 | 2,5 | 0 | 0,37 | 0,3 | 0,03 | 0,04 | 0,3 | C17 | |
| Colon | 105 | 0 | 0 | 0 | 0 | 0 | 0,5 | 0 | 2,2 | 4,2 | 2,6 | 5,1 | 12 | 14,3 | 12,5 | 39,5 | 32,9 | 17,9 | 4,91 | 3,8 | 0,27 | 0,63 | 4,8 | C18 | |
| Rectum | 86 | 0 | 0 | 0 | 0 | 0 | 0,5 | 0 | 1,6 | 1,7 | 1,8 | 3,9 | 6,5 | 8,3 | 11,5 | 17,4 | 10,1 | 17,9 | 4,02 | 3,1 | 0,26 | 0,43 | 3,8 | C19-20 | |
| Anus | 6 | 0 | 0 | 0 | 0 | 0 | 0 | 0 | 0 | 0 | 0 | 0,7 | 0 | 1 | 0 | 4,4 | 0 | 3,6 | 0,28 | 0,2 | 0,03 | 0,03 | 0,3 | C21 | |
| Foie | 23 | 0 | 0 | 0 | 0 | 0 | 0 | 0 | 0 | 0,6 | 0 | 0 | 3 | 1 | 2,5 | 15,3 | 2,5 | 12,5 | 1,07 | 0,8 | 0,04 | 0,12 | 1,1 | C22 | |
| Vésicule biliaire | 26 | 0 | 0 | 0 | 0 | 0 | 0 | 0 | 1,1 | 0,6 | 1,9 | 0,7 | 6 | 6,7 | 7,5 | 8,8 | 10,1 | 10,8 | 1,21 | 0,9 | 0,09 | 0,11 | 1,1 | C23-24 | |
| Pancreas | 42 | 0 | 0 | 0 | 0 | 0 | 0 | 0 | 1,1 | 0,6 | 1,9 | 0,7 | 6 | 6,7 | 7,5 | 8,8 | 10,1 | 10,8 | 1,96 | 1,5 | 0,12 | 0,22 | 1,8 | C25 | |
| Nez, sinus | 3 | 0 | 0 | 0,6 | 0 | 0 | 0 | 0 | 0 | 0 | 0,6 | 0 | 0 | 0 | 0 | 2,2 | 0 | 0 | 0,14 | 0,1 | 0,01 | 0,02 | 0,2 | C30-31 | |
| Larynx | 8 | 0 | 0 | 0 | 0 | 0 | 0 | 0 | 0 | 0 | 0 | 0 | 0 | 1,9 | 1,2 | 0 | 5,1 | 5,4 | 0,37 | 0,3 | 0,02 | 0,04 | 0,3 | C32 | |
| Trachée, bronches et poumon | 74 | 0 | 0 | 0 | 0 | 0 | 0,5 | 0 | 0,6 | 3,6 | 0,6 | 3,6 | 6,8 | 9,5 | 17,4 | 17,5 | 20,2 | 19,7 | 3,46 | 2,6 | 0,21 | 0,4 | 3,3 | C33-34 | |
| Autres organes thoraciques | 12 | 0 | 0 | 0 | 0 | 0 | 0 | 0 | 1,1 | 0,6 | 0 | 0,7 | 1,5 | 1 | 1,2 | 0 | 7,6 | 1,8 | 0,56 | 0,4 | 0,03 | 0,07 | 0,7 | C35-38 | |
| OS | 15 | 0 | 0,5 | 1,2 | 1,3 | 0 | 0,5 | 1,1 | 1,1 | 0,6 | 0 | 0 | 1 | 1 | 1 | 2,2 | 0 | 2,2 | 0,7 | 0,5 | 0,04 | 0,07 | 0,5 | C40-41 | |
| Mélanome de la peau | 10 | 0 | 0 | 0 | 0 | 0 | 0 | 0,5 | 0 | 0 | 1,3 | 0 | 0,8 | 0 | 3,7 | 0 | 2,5 | 3,6 | 0,47 | 0,4 | 0,03 | 0,04 | 0,4 | C43 | |
| Peau autres | 29 | 0 | 0 | 0,6 | 0 | 0 | 0 | 0 | 0 | 0 | 0,6 | 1,4 | 0 | 2,9 | 5 | 4,4 | 17,7 | 9 | 1,35 | 1 | 0,07 | 0,18 | 1,3 | C44 | |
| Mélanéome | 1 | 0 | 0 | 0 | 0 | 0 | 0 | 0 | 0 | 0 | 0 | 0 | 0 | 0 | 0 | 0 | 2,5 | 0 | 0,05 | 0 | 0 | 0 | 0 | C45 | |
| Sarcome de Kaposi | 2 | 0 | 0 | 0 | 0 | 0 | 0 | 0 | 0 | 0 | 0 | 0 | 0 | 0 | 0 | 0 | 2,5 | 1,8 | 0,09 | 0,1 | 0 | 0,01 | 0,1 | C46 | |
| Tissus mous | 21 | 0 | 0,5 | 0,6 | 0,6 | 0 | 0,5 | 1,1 | 0,6 | 0 | 0 | 5,1 | 0,8 | 2,9 | 1,2 | 2,2 | 2,2 | 2,5 | 0 | 0,98 | 0,8 | 0,07 | 0,09 | 0,1 | C47-C49 |
| Sein | 1100 | 0 | 0 | 0 | 0 | 0 | 1,1 | 8,8 | 25,1 | 52,1 | 103,1 | 126,4 | 123,9 | 153,7 | 149,5 | 166,6 | 116,4 | 86 | 51,39 | 39,4 | 3,72 | 5,13 | 46,6 | C50 | |
| Vagin | 18 | 0 | 0 | 0 | 0 | 0 | 0 | 1,1 | 1,1 | 1,1 | 0 | 0 | 0,8 | 1 | 5 | 4,4 | 5,1 | 7,2 | 0,84 | 0,6 | 0,04 | 0,09 | 0,8 | C51 | |
| Col de l'utérus | 3 | 0 | 0 | 0 | 0 | 0 | 0 | 0 | 0 | 0 | 0,6 | 0 | 0 | 0 | 1,2 | 0 | 2,5 | 0 | 0,14 | 0,1 | 0,01 | 0,02 | 0,1 | C52 | |
| Corps de l'utérus | 228 | 0 | 0 | 0 | 0 | 0 | 0 | 0,5 | 4,5 | 7,9 | 21,9 | 20,2 | 23,3 | 31,5 | 38,6 | 54,8 | 12,7 | 34 | 10,65 | 8,2 | 0,74 | 1,08 | 9,9 | C53 | |
| Autres organes génitaux féminins | 38 | 0 | 0 | 0 | 0 | 0 | 0 | 0,5 | 0 | 0 | 0,6 | 2,9 | 4,3 | 7,6 | 12,8 | 24,1 | 22,8 | 14,3 | 2,71 | 2,1 | 0,14 | 0,38 | 2,8 | C54 | |
| Ovaire | 21 | 0 | 0 | 0 | 0 | 1,2 | 0,5 | 1,6 | 2,2 | 0,6 | 5,2 | 13 | 10,5 | 10,5 | 13,7 | 17,5 | 27,8 | 16,1 | 0,98 | 0,8 | 0,07 | 0,12 | 0,9 | C55 | |
| Autres organes génitaux féminins | 1 | 0 | 0 | 0 | 0 | 0 | 0 | 0 | 0 | 0 | 0 | 0 | 0 | 0 | 0 | 2,2 | 0 | 0 | 0,05 | 0 | 0 | 0,01 | 0,1 | C56 | |
| Pleuro | 5 | 0 | 0 | 0 | 0 | 0 | 0,5 | 0,5 | 0,6 | 0,6 | 0,6 | 0 | 0 | 0 | 0 | 0 | 0 | 0 | 0,23 | 0,2 | 0,01 | 0,01 | 0,2 | C57 | |
| Rein | 15 | 0 | 1,1 | 0 | 0 | 0 | 0 | 0 | 0 | 0,6 | 0 | 0 | 0,8 | 1,9 | 0 | 6,6 | 2,5 | 7,2 | 0,7 | 0,5 | 0,02 | 0,07 | 0,7 | C58 | |
| Bassin du rein | 0 | 0 | 0 | 0 | 0 | 0 | 0 | 0 | 0 | 0 | 0 | 0 | 0 | 0 | 0 | 0 | 0 | 0 | 0,05 | 0 | 0 | 0 | 0 | C59 | |
| Uretere | 1 | 0 | 0 | 0 | 0 | 0 | 0 | 0 | 0 | 0 | 0 | 0 | 0 | 0 | 0 | 0 | 0 | 1,8 | 0 | 0 | 0 | 0 | 0 | C60 | |
| Vessie | 23 | 1 | 0,5 | 0 | 0 | 0 | 0 | 0 | 0 | 0 | 0,6 | 2,9 | 0,8 | 1,9 | 2,5 | 11 | 7,6 | 5,4 | 1,07 | 0,8 | 0,05 | 0,15 | 1,1 | C67 | |
| Autres organes urinaires | 1 | 0 | 0 | 0 | 0 | 0 | 0 | 0 | 0 | 0 | 0 | 0 | 0 | 0 | 0 | 2,2 | 0 | 0 | 0,05 | 0 | 0 | 0 | 0 | C68 | |
| Œil | 7 | 0 | 2,1 | 0 | 0 | 0 | 0,5 | 0 | 0 | 0 | 0 | 0 | 0 | 0 | 1 | 0 | 0 | 0 | 0,33 | 0,3 | 0,02 | 0,03 | 0,4 | C69 | |
| Cerveau, système nerveux | 47 | 0 | 1,1 | 1,8 | 0 | 1,2 | 0 | 1,6 | 1,1 | 0,6 | 3,2 | 4,3 | 3,8 | 6,7 | 3,7 | 4,4 | 10,1 | 3,6 | 2,2 | 2,2 | 1,7 | 0,15 | 0,22 | 2,1 | C70-72 |
| Thyroïde | 318 | 0 | 0 | 0,6 | 0 | 0,8 | 4,8 | 12 | 19,5 | 14,5 | 26,4 | 33,2 | 28,5 | 36,3 | 26,2 | 50,4 | 22,8 | 17,9 | 8,86 | 11,4 | 1,01 | 1,38 | 13,3 | C73 | |
| Glande surrénale | 4 | 0 | 1,1 | 0,6 | 0 | 0 | 0 | 0 | 0 | 0 | 0 | 0 | 0,8 | 0 | 0 | 0 | 0 | 0 | 0,19 | 0,1 | 0,01 | 0,01 | 0,2 | C74 | |
| Autres glandes endocrines | 1 | 0 | 0 | 0 | 0 | 0 | 0 | 0 | 0 | 0 | 0 | 0 | 0 | 0 | 0 | 0 | 0 | 0 | 0,05 | 0 | 0 | 0 | 0 | C75 | |
| Maladie de Hodgkin | 28 | 0 | 0 | 0 | 0,6 | 3,7 | 3,2 | 2,7 | 2,2 | 0,6 | 0,6 | 0,7 | 0,8 | 0 | 2,5 | 0 | 0 | 0 | 1,31 | 1 | 0,09 | 0,09 | 1,3 | C81 | |
| Lymphome Non-Hodgkin | 70 | 0 | 0,5 | 0 | 0 | 1,9 | 0,5 | 1,1 | 1,1 | 2,4 | 3,2 | 4,3 | 3,8 | 5,7 | 13,7 | 19,7 | 15,2 | 16,1 | 0,98 | 0,8 | 0,02 | 0,37 | 3,2 | C82-85 | |
| Maladies immunoprolifératives | 0 | 0 | 0 | 0 | 0 | 0 | 0 | 0 | 0 | 0 | 0 | 0 | 0 | 0 | 0 | 0 | 0 | 0 | 0 | 0 | 0 | 0 | 0 | C76 | |
| Mélanome Multiple | 26 | 0 | 0 | 0 | 0 | 0 | 0 | 0 | 0,6 | 0 | 0,6 | 2,2 | 0,8 | 3,8 | 7,5 | 11 | 5,1 | 5,4 | 1,21 | 0,9 | 0,08 | 0,16 | 1,2 | C90 | |
| Leucémie Lymphoïde | 16 | 0 | 1,6 | 1,2 | 0 | 0,6 | 0,6 | 0 | 0,6 | 0,6 | 0 | 0 | 0,8 | 1,9 | 1,2 | 0 | 2,5 | 3,6 | 0,75 | 0,6 | 0,05 | 0,06 | 0,8 | C91 | |
| Leucémie Myéloïde | 21 | 0 | 0,5 | 0 | 0 | 0,6 | 1,1 | 0,5 | 0,6 | 0,6 | 1,3 | 1,4 | 1,5 | 1,9 | 1,2 | 0 | 5,1 | 0 | 0,98 | 0,8 | 0,02 | 0,1 | 0,9 | C92-94 | |
| Leucémies non spécifiques | 6 | 0 | 0 | 0 | 0 | 0 | 0 | 0,5 | 0 | 0,6 | 0 | 0 | 0 | 1 | 1,2 | 0 | 0 | 3,6 | 0,28 | 0,2 | 0,02 | 0,02 | 0,2 | C95 | |
| Syndromes Myéodysplastiques | 2 | 0 | 0 | 0 | 0 | 0 | 0 | 0 | 0 | 0 | 0 | 0 | 0 | 0 | 0 | 0 | 0 | 1,8 | 0,09 | 0,1 | 0 | 0 | 0,1 | MDS | |
| Autres non spécifiés | 20 | 0 | 0 | 0,6 | 0 | 0 | 0 | 0 | 0,6 | 2,4 | 0 | 1,4 | 0,8 | 1 | 5 | 4,4 | 0 | 7,2 | 0,93 | 0,7 | 0,06 | 0,08 | 0,9 | MD5 | |
| Toutes les localisations | 69 | 1 | 1,1 | 0,6 | 0,6 | 0,9 | 1,1 | 0 | 0 | 0,6 | 1,9 | 4,3 | 7,5 | 5,7 | 13,7 | 13,2 | 15,2 | 23,3 | 3,22 | 2,5 | 0,19 | 0,33 | 3,1 | ORU | |
| Toutes les localisations | 2822 | 2 | 11,1 | 8,4 | 3,8 | 9,9 | | | | | | | | | | | | | | | | | | | |

Tableau 63 : nombre de cas incidents, incidences brutes, incidences spécifiques, incidences cumulées et taux d'incidences standardisées selon la localisation du cancer chez les hommes en 2014.RCCG

| SITE | Tout âge | Age inconnu | 0-4 | 5-9 | 10-14 | 15-19 | 20-24 | 25-29 | 30-34 | 35-39 | 40-44 | 45-49 | 50-54 | 55-59 | 60-64 | 65-69 | 70-74 | 75+ | TIB | (%) | CUM 0-64 | CUM 0-74 | TIS | CM10 | |
|------------------------------------|----------|-------------|------|------|-------|-------|-------|-------|-------|-------|-------|-------|-------|-------|-------|-------|-------|-------|--------|-------|----------|----------|-------|------------|--------|
| Levre | 7 | 0 | 0 | 0 | 0 | 0 | 0 | 0 | 0 | 0 | 0 | 0 | 0 | 0 | 0 | 0 | 0 | 0 | 0 | 0 | 0 | 0 | 0 | 0 | C00 |
| Langue | 10 | 0 | 0 | 0 | 0 | 0 | 0 | 0,6 | 0 | 0 | 0 | 0,8 | 3,2 | 1,9 | 0 | 0 | 0 | 3,2 | 2,4 | 0,33 | 0,3 | 0,02 | 0,02 | 0,3 | C01 |
| Cavité buccale | 9 | 0 | 0 | 0 | 0,6 | 0 | 0 | 0 | 0 | 0 | 0 | 0,8 | 1,6 | 1 | 2,4 | 0 | 0 | 3,2 | 2,4 | 0,48 | 0,5 | 0,03 | 0,05 | 0,4 | C01-02 |
| Glandes salivaires | 21 | 0 | 0 | 0 | 0 | 0 | 0,6 | 0,6 | 0 | 0 | 1,3 | 1,5 | 1,6 | 2,9 | 3,6 | 9,3 | 9,6 | 0 | 0,43 | 0,4 | 0,03 | 0,05 | 0,4 | C03-06 | |
| Amygdales | 3 | 0 | 0 | 0 | 0 | 0 | 0 | 0 | 0 | 0,6 | 0 | 0 | 0,8 | 0 | 0 | 0 | 0 | 0 | 1 | 1 | 0,06 | 0,15 | 1,1 | C07-08 | |
| Oropharynx | 1 | 0 | 0 | 0 | 0 | 0 | 0 | 0 | 0 | 0,6 | 0 | 0 | 0 | 0 | 0 | 0 | 0 | 0 | 0,14 | 0,1 | 0,01 | 0,01 | 0,1 | C09 | |
| Nasopharynx (exvivo) | 45 | 0 | 0 | 0 | 1,8 | 0,6 | 0,6 | 1,1 | 1,1 | 0 | 2,7 | 7,6 | 7,1 | 4,8 | 6 | 4,6 | 0 | 2,4 | 2,14 | 2,1 | 0,17 | 0,19 | 2 | C10 | |
| Hypo-pharynx | 5 | 0 | 0 | 0 | 0 | 0 | 0 | 0 | 0 | 0 | 0,7 | 0 | 0 | 1,9 | 0 | 2,3 | 0 | 0 | 0,24 | 0,2 | 0,02 | 0,03 | 0,2 | C11 | |
| Pharynx non spécifique | 1 | 0 | 0 | 0 | 0 | 0 | 0 | 0 | 0 | 0 | 0 | 0 | 0 | 0 | 0 | 0 | 0 | 0 | 0,05 | 0 | 0 | 0,02 | 0,1 | C12-13 | |
| Esophage | 12 | 0 | 0 | 0 | 0 | 0 | 0 | 0 | 2,9 | 0,6 | 0 | 0,8 | 0,8 | 1 | 0 | 4,6 | 6,4 | 9,4 | 4,14 | 4,1 | 0,57 | 0,6 | 0,25 | 0,6 | C14 |
| Estomac | 87 | 0 | 0 | 0 | 0 | 0 | 0 | 1,1 | 2,9 | 3,2 | 1,3 | 3 | 7,1 | 10,5 | 20,4 | 18,6 | 19,2 | 42,5 | 4,14 | 4,1 | 0,44 | 0,44 | 4,1 | C15 | |
| Intestin grêle | 6 | 0 | 0 | 0 | 0 | 0 | 0 | 0 | 0 | 0 | 0,7 | 0,8 | 0 | 1,9 | 1,2 | 2,3 | 0 | 0 | 0,29 | 0,3 | 0,02 | 0,03 | 0,3 | C16 | |
| Colon | 93 | 0 | 0 | 0 | 0 | 0 | 0 | 0 | 0 | 0,6 | 1,1 | 0,6 | 7,9 | 8,6 | 1,8 | 39,4 | 35,2 | 28,3 | 4,42 | 4,4 | 0,24 | 0,61 | 4,7 | C17 | |
| Rectum | 70 | 0 | 0 | 0 | 0 | 0 | 0 | 0,6 | 1,1 | 0,6 | 3,3 | 7,6 | 7,9 | 8,6 | 1,8 | 9,6 | 9,3 | 19,2 | 3,33 | 3,3 | 0,23 | 0,37 | 3,2 | C18 | |
| Anus | 10 | 0 | 0 | 0 | 0 | 0 | 0 | 0 | 0 | 0 | 1,3 | 4,6 | 9,5 | 15,3 | 9,6 | 2,3 | 3,2 | 0 | 0,48 | 0,5 | 0,04 | 0,06 | 0,5 | C19-20 | |
| Foie | 21 | 0 | 0 | 1 | 1,2 | 0 | 0 | 0 | 0 | 0 | 0 | 0 | 1,6 | 3,8 | 3,6 | 0 | 3,2 | 16,5 | 1 | 1 | 0,06 | 0,07 | 1 | C21 | |
| Vésicule biliaire | 8 | 0 | 0 | 0 | 0 | 0 | 0 | 0 | 0 | 0,6 | 0 | 0 | 2,4 | 1 | 0 | 2,3 | 0 | 4,7 | 0,38 | 0,4 | 0,02 | 0,03 | 0,4 | C22 | |
| Pancreas | 42 | 0 | 0 | 0 | 0 | 0 | 0 | 0 | 1,1 | 0 | 1,3 | 0,8 | 2,4 | 6,7 | 12 | 11,6 | 25,6 | 9,4 | 2 | 2 | 0,12 | 0,31 | 2,1 | C23-24 | |
| Nez, sinus | 5 | 0 | 0 | 0 | 0 | 0 | 0 | 0 | 0 | 0 | 0 | 0 | 0,8 | 1 | 0 | 0 | 0 | 2,4 | 0,24 | 0,2 | 0,01 | 0,01 | 0,2 | C25 | |
| Larynx | 69 | 0 | 0 | 0 | 0 | 0 | 0 | 0 | 1,1 | 0 | 0,6 | 0 | 7,1 | 13,4 | 16,8 | 13,9 | 32 | 26 | 3,28 | 3,3 | 0,2 | 0,43 | 3,3 | C30-31 | |
| Trachée, bronches et poumon | 579 | 0 | 0 | 0 | 0 | 0 | 0 | 0 | 2,9 | 4,5 | 13,3 | 22,9 | 58,6 | 121,8 | 141,9 | 183,2 | 163 | 158,1 | 27,55 | 27,4 | 1,83 | 3,56 | 28,1 | C32 | |
| Autres organes thoraciques | 17 | 0 | 0 | 0 | 0 | 0,6 | 0,6 | 1,1 | 0,6 | 0,6 | 0,7 | 1,5 | 0 | 3,8 | 2,4 | 0 | 0 | 4,7 | 0,81 | 0,8 | 0,06 | 0,06 | 0,7 | C33-34 | |
| OS | 12 | 0 | 0,5 | 0 | 0 | 0 | 0,6 | 1,1 | 0,6 | 0,6 | 1,3 | 0 | 0 | 3 | 0 | 0 | 3,2 | 0 | 0,57 | 0,6 | 0,04 | 0,06 | 0,6 | C35-38 | |
| Mélanome de la peau | 13 | 0 | 0 | 0 | 0 | 0 | 0 | 0,6 | 0,6 | 0,6 | 0,7 | 3 | 1,6 | 0 | 1,2 | 0 | 3,2 | 4,7 | 0,62 | 0,6 | 0,04 | 0,05 | 0,6 | C39-41 | |
| Peau autres | 40 | 0 | 0,5 | 0 | 0 | 0 | 0 | 0,6 | 0,6 | 0,6 | 0,7 | 2,3 | 4 | 5,8 | 4,8 | 4,6 | 16 | 23,6 | 1,9 | 1,9 | 0,1 | 0,2 | 1,9 | C42 | |
| Mélaniome | 5 | 0 | 0 | 0 | 0 | 0 | 0 | 0 | 0 | 0 | 0 | 1,5 | 0 | 1 | 1,2 | 2,3 | 0 | 0 | 0,24 | 0,2 | 0,02 | 0,03 | 0,2 | C43 | |
| Sarcome de Kaposi | 7 | 0 | 0 | 0 | 0 | 0 | 0 | 0 | 0 | 0 | 0,7 | 0 | 0 | 1 | 3,6 | 2,3 | 0 | 4,7 | 0,33 | 0,3 | 0,03 | 0,03 | 0,3 | C44 | |
| Tissus mous | 22 | 0 | 0,5 | 0,6 | 0 | 0 | 0 | 0,6 | 1,1 | 1,9 | 0,7 | 1,5 | 0 | 1 | 2,4 | 2,3 | 6,4 | 7,1 | 1,05 | 1 | 0,06 | 0,1 | 1 | C45 | |
| Sein | 22 | 0 | 0 | 0 | 0 | 0 | 0 | 0 | 0 | 0 | 4 | 3 | 0 | 1 | 4,8 | 2,3 | 3,2 | 11,8 | 1,05 | 1 | 0,06 | 0,09 | 1 | C47-C49 | |
| Penis | 0 | 0 | 0 | 0 | 0 | 0 | 0 | 0 | 0 | 0 | 0 | 0 | 0 | 0 | 0 | 0 | 0 | 0 | 0 | 0 | 0 | 0 | 0 | C50 | |
| Prostate | 286 | 0 | 0 | 0 | 0 | 0 | 0 | 0 | 0,6 | 0 | 1,3 | 0 | 8,7 | 16,3 | 50,5 | 111,3 | 242,9 | 210 | 13,61 | 13,5 | 0,39 | 2,16 | 15,6 | C61 | |
| Testicules | 16 | 0 | 1 | 0 | 0 | 1,2 | 0,6 | 0,6 | 1,1 | 1,9 | 2 | 0,8 | 0,8 | 0 | 0 | 0 | 0 | 0 | 0,76 | 0,8 | 0,05 | 0,05 | 0,7 | C62 | |
| Autres organes génitaux masculins | 0 | 0 | 0 | 0 | 0 | 0 | 0 | 0 | 0 | 0 | 0 | 0 | 0 | 0 | 0 | 0 | 0 | 0 | 0 | 0 | 0 | 0 | 0 | C63 | |
| Rein | 34 | 0 | 1 | 1,2 | 0 | 0 | 0 | 0,6 | 0,6 | 0,6 | 1,3 | 0 | 4 | 4,8 | 8,4 | 4,6 | 12,8 | 4,7 | 1,62 | 1,6 | 0,11 | 0,2 | 1,6 | C64 | |
| Bassinot du rein | 1 | 0 | 0 | 0 | 0 | 0 | 0 | 0 | 0 | 0 | 0 | 0 | 0 | 0 | 1,2 | 0 | 0 | 0 | 0,05 | 0 | 0,01 | 0,01 | 0 | C65 | |
| Uretere | 2 | 0 | 0 | 0 | 0 | 0 | 0 | 0 | 0 | 0 | 0,7 | 0,8 | 0 | 0 | 0 | 0 | 0 | 0 | 0,1 | 0,1 | 0,01 | 0,01 | 0,1 | C66 | |
| Vessie | 133 | 0 | 0 | 0 | 0 | 0,6 | 0 | 0 | 0 | 0 | 0 | 0 | 0 | 0 | 0 | 0 | 0 | 0 | 6,33 | 6,3 | 0,33 | 0,72 | 6,6 | C67 | |
| Autres organes urinaires | 7 | 0 | 0 | 0 | 0 | 0 | 0 | 0 | 0 | 0 | 0 | 0 | 0 | 0 | 0 | 0 | 0 | 0 | 0,05 | 0 | 0 | 0 | 0 | C68 | |
| GHI | 7 | 0 | 1,5 | 0 | 0 | 0 | 0 | 0 | 0 | 0 | 0 | 0,8 | 0 | 0 | 0 | 4,6 | 0 | 2,4 | 0,33 | 0,3 | 0,01 | 0,03 | 0,4 | C69 | |
| Cerveau, système nerveux | 45 | 0 | 0,5 | 1,7 | 0,6 | 1,8 | 1,1 | 0 | 0,6 | 1,9 | 2,7 | 1,5 | 3,2 | 10,5 | 3,6 | 11,6 | 6,4 | 0 | 2,14 | 2,1 | 0,15 | 0,24 | 2,1 | C70-72 | |
| Thyroïde | 32 | 0 | 0 | 0 | 0 | 0 | 0 | 0,6 | 1,7 | 2,5 | 2,7 | 1,5 | 1,6 | 4,8 | 4,8 | 4,6 | 9,6 | 4,7 | 1,52 | 1,5 | 0,17 | 0,17 | 1,4 | C73 | |
| Glande surrénale | 7 | 0 | 2 | 0 | 0 | 0 | 0 | 0,6 | 0 | 0 | 0 | 0 | 0 | 0 | 0 | 2,3 | 3,2 | 0 | 0,33 | 0,3 | 0,01 | 0,04 | 0,4 | C74 | |
| Autres glandes endocrines | 0 | 0 | 0 | 0 | 0 | 0 | 0 | 0 | 0 | 0 | 0 | 0 | 1,6 | 3,8 | 1,2 | 0 | 0 | 0 | 1,24 | 1,2 | 0,09 | 0,09 | 1,1 | C75 | |
| Maladie de Hodgkin | 26 | 0 | 0 | 0 | 1,2 | 1,8 | 2,8 | 2,2 | 1,7 | 1,9 | 1,3 | 0 | 0 | 0 | 0 | 0 | 0 | 0 | 5,71 | 5,7 | 0,37 | 0,61 | 5,6 | C82-85,C96 | |
| Lymphome Non-Hodgkinien | 120 | 0 | 0 | 0 | 0 | 0 | 0 | 0 | 0 | 0 | 0 | 0 | 0 | 0 | 0 | 0 | 0 | 0 | 0 | 0 | 0 | 0 | 0 | C88 | |
| Maladies Immunoprolifératives | 0 | 0 | 0 | 0 | 0 | 0 | 0 | 0 | 0 | 0 | 0 | 0 | 0 | 0 | 0 | 0 | 0 | 0 | 0 | 0 | 0 | 0 | 0 | C90 | |
| Myélome Multiple | 32 | 0 | 0 | 0 | 0 | 0 | 0 | 0 | 0 | 0,6 | 0 | 0,8 | 4 | 6,7 | 9,6 | 7 | 12,8 | 7,1 | 1,52 | 1,5 | 0,11 | 0,21 | 1,5 | C91 | |
| Leucémie Lymphoïde | 28 | 0 | 2 | 4,6 | 1,2 | 0,6 | 0 | 1,1 | 1,1 | 0 | 0,7 | 0,8 | 0 | 1,9 | 2,4 | 0 | 3,2 | 4,7 | 1,33 | 1,3 | 0,08 | 0,1 | 1,4 | C92 | |
| Leucémie Myéloïde | 22 | 0 | 0,5 | 0,6 | 0 | 0 | 0,6 | 0,6 | 0,6 | 2,5 | 0,7 | 0,8 | 1,6 | 1,9 | 1,2 | 9,3 | 0 | 4,7 | 1,05 | 1 | 0,06 | 0,1 | 1,1 | C92-94 | |
| Leucémies non spécifiques | 12 | 0 | 0,5 | 0 | 0 | 0 | 0 | 0,6 | 0 | 0,6 | 0,7 | 0 | 1,6 | 1,9 | 1,2 | 4,6 | 3,2 | 0 | 0,57 | 0,6 | 0,04 | 0,07 | 0,6 | C95 | |
| Syndromes Myéloprolifératifs | 2 | 0 | 0 | 0 | 0 | 0 | 0 | 0 | 0 | 0 | 0 | 0 | 0 | 0 | 0 | 0 | 0 | 2,4 | 0,1 | 0,1 | 0 | 0 | 0,1 | M9D | |
| Syndromes Myéodysplastiques | 7 | 0 | 0 | 0 | 0 | 0 | 0 | 0 | 0 | 0 | 0 | 0 | 0 | 1 | 2,4 | 2,3 | 3,2 | 2,4 | 0,33 | 0,3 | 0,02 | 0,05 | 0,4 | M9S | |
| Toutes les localisations | 97 | 1 | 13,6 | 12,7 | 6,7 | 9,9 | 13,2 | 2,2 | 1,1 | 30,6 | 61,9 | 92,2 | 170,4 | 312,6 | 417,3 | 561,3 | 763,7 | 804,7 | 102,43 | 101,9 | 5,93 | 12,56 | 105,6 | 4,9 | ALL |
| Toutes les localisations sauf peau | 2113 | 1 | 13,1 | 12,7 | 6,7 | 9,9 | 13,2 | 19,1 | 25,1 | 29,9 | 61,3 | 89,9 | 166,4 | 306,8 | 412,5 | 556,7 | 747,8 | 781,1 | 100,52 | 100 | 5,84 | 12,36 | 103,7 | ALLC44 | |

Tableau 64 : Nombre de cas incidents, incidences brutes, incidences cumulées et taux d'incidences standardisées selon la localisation du cancer chez les femmes en 2015.RCGC

| SITE | Tout âge | Age inconnu | 0-4 | 5-9 | 10-14 | 15-19 | 20-24 | 25-29 | 30-34 | 35-39 | 40-44 | 45-49 | 50-54 | 55-59 | 60-64 | 65-69 | 70-74 | 75+ | TIB | (%) | CUM 0-64 | CUM 0-74 | TIS | CI-M10 |
|------------------------------------|----------|-------------|-----|-----|-------|-------|-------|-------|-------|-------|-------|-------|-------|-------|-------|-------|-------|-------|--------|-------|----------|----------|-------|-------------|
| Levre | 0 | 0 | 0 | 0 | 0 | 0 | 0 | 0 | 0 | 0 | 0 | 0 | 0 | 0 | 0 | 0 | 0 | 0 | 0 | 0 | 0 | 0 | 0 | C00 |
| Langue | 9 | 0 | 0 | 0 | 0 | 0 | 0 | 0 | 0 | 0,6 | 0 | 2,1 | 2,2 | 0 | 1,2 | 2,1 | 0 | 0 | 0,41 | 0,3 | 0,03 | 0,04 | 0,4 | C01-02 |
| Cavité buccale | 10 | 0 | 0 | 0 | 0 | 0 | 0 | 0 | 0 | 0,6 | 0 | 0 | 0 | 2,7 | 2,4 | 4,3 | 2,5 | 1,7 | 0,46 | 0,3 | 0,03 | 0,06 | 0,5 | C03-06 |
| Glandes salivaires | 7 | 0 | 0 | 0 | 0 | 0 | 0 | 0 | 1,2 | 0,6 | 0 | 0 | 0 | 0 | 1,2 | 2,1 | 2,5 | 1,7 | 0,32 | 0,2 | 0,02 | 0,04 | 0,3 | C07-08 |
| Amygdales | 5 | 0 | 0 | 0 | 0 | 0 | 0 | 0 | 0 | 0 | 0,6 | 0 | 0 | 0,9 | 2,4 | 2,1 | 0 | 0 | 0,23 | 0,2 | 0,02 | 0,03 | 0,2 | C09 |
| Oropharynx | 0 | 0 | 0 | 0 | 0 | 0 | 0 | 0 | 0 | 0 | 0 | 0 | 0 | 0 | 0 | 0 | 0 | 0 | 0 | 0 | 0 | 0 | 0 | C10 |
| Nasopharynx (examm) | 32 | 0 | 0 | 0 | 0 | 1,2 | 0,5 | 0,5 | 1,1 | 0,6 | 3,2 | 4,3 | 3,6 | 4,6 | 2,4 | 2,1 | 2,5 | 0 | 1,47 | 1,1 | 0,11 | 0,13 | 1,3 | C11 |
| Hypo-pharynx | 3 | 0 | 0 | 0 | 0 | 0 | 0 | 0 | 0 | 0 | 0 | 0 | 0,7 | 1,8 | 0 | 0 | 0 | 1,7 | 0,14 | 0,1 | 0,01 | 0,01 | 0,1 | C12-13 |
| Pharynx non spécifique | 1 | 0 | 0 | 0 | 0 | 0 | 0 | 0 | 0 | 0 | 0 | 0 | 0 | 0 | 0 | 0 | 0 | 0 | 0,05 | 0 | 0 | 0 | 0 | C14 |
| Esophage | 11 | 0 | 0 | 0 | 0 | 0 | 0 | 0 | 0 | 0 | 0,6 | 2,1 | 2,2 | 0 | 2,4 | 0 | 2,5 | 1,7 | 0,51 | 0,4 | 0,04 | 0,05 | 0,5 | C15 |
| Estomac | 69 | 0 | 0 | 0 | 0,6 | 0,6 | 0 | 0,5 | 1,1 | 1,8 | 5,1 | 7,8 | 5,1 | 9,1 | 7,2 | 12,9 | 14,9 | 13,8 | 3,18 | 2,3 | 0,19 | 0,33 | 2,9 | C16 |
| Intestin grêle | 9 | 0 | 0 | 0 | 0 | 0 | 0 | 0 | 1,1 | 0,6 | 0 | 0 | 0 | 0,9 | 3,6 | 2,1 | 0 | 1,7 | 0,41 | 0,3 | 0,03 | 0,04 | 0,4 | C17 |
| Colon | 113 | 1 | 0 | 0 | 0 | 0 | 0 | 0,5 | 0,6 | 5,4 | 4,5 | 5,7 | 8,7 | 13,7 | 18 | 45,1 | 29,8 | 19 | 5,2 | 3,8 | 0,29 | 0,67 | 5,1 | C18 |
| Rectum | 102 | 0 | 0 | 0 | 0 | 0 | 0 | 0,5 | 1,7 | 6,6 | 2,6 | 5,7 | 7,3 | 16,4 | 19,2 | 15 | 14,9 | 29,4 | 4,7 | 3,4 | 0,3 | 0,45 | 4,2 | C19-20 |
| Anus | 4 | 0 | 0 | 0 | 0 | 0 | 0 | 0 | 0 | 0 | 0 | 0 | 0 | 0 | 0 | 0 | 0 | 6,9 | 0,18 | 0,1 | 0 | 0 | 0,1 | C21 |
| Foie | 27 | 0 | 0 | 0 | 0 | 0 | 0 | 0 | 0,6 | 1,2 | 1,9 | 0 | 0 | 1,8 | 1,2 | 8,6 | 7,4 | 19 | 1,24 | 0,9 | 0,03 | 0,11 | 1,1 | C22 |
| Vésicule biliaire | 18 | 0 | 0 | 0 | 0 | 0 | 0 | 0,5 | 0 | 0,6 | 0,6 | 0 | 0,7 | 2,7 | 2,4 | 6,4 | 2,5 | 8,6 | 0,83 | 0,6 | 0,04 | 0,08 | 0,8 | C23-24 |
| Pancreas | 26 | 0 | 0 | 0 | 0 | 0 | 0 | 0 | 0,6 | 0 | 0 | 2,1 | 4,4 | 2,7 | 4,8 | 8,6 | 2,5 | 6,9 | 1,2 | 0,9 | 0,07 | 0,13 | 1,1 | C25 |
| Nez, sinus | 4 | 0 | 0 | 0 | 0 | 0 | 0 | 0 | 0 | 0,6 | 0 | 0 | 0 | 2,7 | 0 | 0 | 0 | 0 | 0,18 | 0,1 | 0,02 | 0,02 | 0,1 | C30-31 |
| Larynx | 4 | 0 | 0 | 0 | 0 | 0 | 0 | 0 | 0 | 0,6 | 0 | 0 | 0 | 0,9 | 0 | 0 | 5 | 0 | 0,18 | 0,1 | 0,01 | 0,03 | 0,2 | C32 |
| Trachée, bronches et poumon | 84 | 0 | 0 | 0 | 0 | 0 | 0 | 0,5 | 0,6 | 0 | 1,3 | 8,5 | 4,4 | 14,6 | 25,2 | 19,3 | 12,4 | 19 | 3,87 | 2,8 | 0,27 | 0,43 | 3,7 | C33-34 |
| Autres organes thoraciques | 4 | 0 | 0 | 0 | 0 | 0 | 0 | 0 | 0 | 0 | 0 | 0 | 1,5 | 0,9 | 1,2 | 0 | 0 | 0 | 0,18 | 0,1 | 0,02 | 0,02 | 0,2 | C37-38 |
| OS | 19 | 0,5 | 1,8 | 0 | 0 | 3,7 | 0,5 | 0,5 | 0 | 0 | 1,3 | 0 | 0,7 | 0,9 | 1,0 | 2,1 | 0 | 3,5 | 0,87 | 0,6 | 0,05 | 0,06 | 0,9 | C40-41 |
| Mélanome de la peau | 4 | 0 | 0 | 0 | 0 | 0,6 | 0 | 0,5 | 0 | 0 | 0 | 2,1 | 2,2 | 2,7 | 4,8 | 2,1 | 7,4 | 20,7 | 0,18 | 0,1 | 0,02 | 0,02 | 0,2 | C43 |
| Peau autres | 34 | 0 | 0 | 0 | 0 | 0,6 | 0 | 0,5 | 0 | 1,8 | 0 | 0 | 0 | 0 | 0 | 0 | 0 | 0 | 1,57 | 1,1 | 0,07 | 0,12 | 1,4 | C44 |
| Mésothéliome | 1 | 0 | 0 | 0 | 0 | 0 | 0 | 0 | 0 | 0 | 0 | 0 | 0 | 0 | 0 | 0 | 2,5 | 0 | 0,05 | 0 | 0 | 0,01 | 0 | C45 |
| Sarcome de Kaposi | 2 | 0 | 0 | 0 | 0 | 0 | 0 | 0 | 0 | 0 | 0 | 0 | 0 | 0 | 0 | 2,1 | 0 | 1,7 | 0,09 | 0,1 | 0 | 0,01 | 0,1 | C46 |
| Tissus mous | 24 | 0 | 1 | 0 | 0 | 0 | 1,6 | 0 | 1,1 | 3,6 | 3,2 | 0 | 0,7 | 0,9 | 0 | 2,1 | 0 | 5,2 | 1,11 | 0,8 | 0,06 | 0,07 | 1 | C47-C49 |
| Sein | 1116 | 0 | 0 | 0 | 0 | 0 | 2,1 | 11,4 | 23,7 | 66,4 | 78,5 | 132,6 | 123,3 | 165,8 | 154,6 | 128,8 | 104,3 | 76 | 51,39 | 37,5 | 3,79 | 4,96 | 45,6 | C50 |
| Vagin | 14 | 0 | 0 | 0 | 0 | 0 | 0 | 0 | 0,6 | 0,6 | 0 | 0,7 | 0,7 | 0,9 | 1,2 | 0 | 9,9 | 6,9 | 0,64 | 0,5 | 0,07 | 0,07 | 0,6 | C51 |
| Col de l'utérus | 6 | 0 | 0 | 0 | 0 | 0 | 0 | 0,5 | 1,1 | 5,5 | 6 | 17,9 | 19,6 | 35,5 | 44,3 | 49,4 | 32,3 | 34,6 | 11,47 | 8,4 | 0,2 | 0,02 | 0,3 | C52 |
| Corps de l'utérus | 249 | 0 | 0 | 0 | 0 | 0 | 0 | 0,5 | 1,1 | 6 | 17,9 | 27,7 | 19,6 | 35,5 | 44,3 | 49,4 | 32,3 | 34,6 | 11,47 | 8,4 | 0,2 | 0,02 | 0,3 | C53 |
| Utérus non spécifique | 70 | 0 | 0 | 0 | 0 | 0 | 0 | 0,5 | 0 | 0,6 | 0 | 2,8 | 5,1 | 12,8 | 21,6 | 23,6 | 19,9 | 12,1 | 3,22 | 2,3 | 0,21 | 0,43 | 3,2 | C54 |
| Ovaire | 31 | 0 | 0 | 0 | 0 | 1,1 | 0,5 | 0,5 | 0 | 0,6 | 0,6 | 2,8 | 1,5 | 5,5 | 8,4 | 2,1 | 7,4 | 5,2 | 1,43 | 1 | 0,1 | 0,15 | 1,3 | C55 |
| Autres organes génitaux féminins | 110 | 0 | 0 | 0 | 0 | 1,2 | 2,7 | 2,2 | 1,7 | 1,8 | 5,7 | 9,9 | 10,9 | 17,3 | 19,2 | 17,2 | 17,4 | 8,6 | 5,07 | 3,7 | 0,36 | 0,54 | 4,7 | C56 |
| Placenta | 2 | 0 | 0 | 0 | 0 | 0 | 0 | 0 | 0 | 0 | 0 | 0 | 0 | 0,9 | 1,2 | 0 | 0 | 0 | 0,09 | 0,1 | 0,01 | 0,01 | 0,1 | C57 |
| Rein | 3 | 0 | 0 | 0 | 0 | 0 | 0 | 0 | 1,1 | 0 | 0 | 0,7 | 0 | 0 | 0 | 0 | 0 | 0 | 0,14 | 0,1 | 0,01 | 0,01 | 0,1 | C58 |
| Bassin et du rein | 27 | 0 | 5,2 | 1,2 | 0 | 0 | 0 | 0 | 0 | 0 | 0,6 | 0,7 | 2,2 | 1,8 | 6 | 4,3 | 0 | 1,7 | 1,24 | 0,9 | 0,09 | 0,11 | 1,4 | C64 |
| Uretere | 0 | 0 | 0 | 0 | 0 | 0 | 0 | 0 | 0 | 0 | 0 | 0 | 0 | 0 | 0 | 0 | 0 | 0 | 0 | 0 | 0 | 0 | 0 | C66 |
| Vessie | 0 | 0 | 0 | 0 | 0 | 0 | 0 | 0 | 0 | 0 | 0 | 0 | 0 | 0 | 1,2 | 12,9 | 9,9 | 6,9 | 0,83 | 0,6 | 0,02 | 0,13 | 0,9 | C67 |
| Autres organes urinaires | 18 | 0 | 0 | 0 | 0 | 0 | 0 | 0 | 0 | 0 | 0,6 | 0 | 0,7 | 0,9 | 1,2 | 12,9 | 9,9 | 6,9 | 0,83 | 0,6 | 0,02 | 0,13 | 0,9 | C67 |
| EBIL | 1 | 0 | 0 | 0 | 0 | 0 | 0 | 0 | 0 | 0 | 0 | 0 | 0 | 0 | 0 | 0 | 2,5 | 0 | 0,05 | 0 | 0 | 0,01 | 0 | C68 |
| Cerveau, système nerveux | 2 | 0,5 | 0 | 0 | 0,6 | 0,6 | 0 | 0 | 0 | 0 | 0 | 0 | 0 | 0 | 0 | 0 | 1,7 | 0 | 0,09 | 0,1 | 0 | 0,1 | 0 | C69 |
| Thyroïde | 47 | 0 | 0 | 0,6 | 0,6 | 0,6 | 0 | 3,3 | 1,7 | 0,6 | 3,8 | 2,1 | 3,6 | 5,5 | 8,4 | 8,6 | 2,5 | 3,5 | 2,16 | 1,6 | 0,15 | 0,21 | 2 | C70-72 |
| Glande surrénale | 373 | 0 | 0 | 0 | 1,3 | 1,2 | 7,5 | 9,2 | 21,5 | 23,3 | 33,8 | 36,9 | 38,4 | 40,1 | 33,5 | 32,2 | 27,3 | 6,9 | 17,18 | 12,5 | 1,23 | 1,53 | 1,5 | C73 |
| Autres glandes endocrines | 5 | 1,6 | 0 | 0 | 0 | 0 | 0 | 0 | 0 | 0,6 | 0,6 | 0 | 0 | 0 | 0 | 0 | 0 | 0 | 0,23 | 0,2 | 0,01 | 0,01 | 0,3 | C74 |
| Maladie de Hodgkin | 27 | 0 | 0 | 0 | 0 | 1,2 | 4,3 | 1,1 | 1,1 | 1,8 | 0 | 3,5 | 0,7 | 2,7 | 0 | 0 | 2,5 | 0 | 0,14 | 0,1 | 0,08 | 0,1 | 1,1 | C75 |
| Lymphome Non-Hodgkinien | 86 | 0,5 | 0,6 | 0 | 0,6 | 2,7 | 0,5 | 1,7 | 4,8 | 1,3 | 3,3 | 4,3 | 7,3 | 6,4 | 15,6 | 17,2 | 24,8 | 17,3 | 3,96 | 2,9 | 0,23 | 0,44 | 3,8 | C82-85, C96 |
| Maladies immunoprolifératives | 0 | 0 | 0 | 0 | 0 | 0 | 0 | 0 | 0 | 0 | 0 | 0 | 0 | 0 | 0 | 0 | 0 | 0 | 0 | 0 | 0 | 0 | 0 | C88 |
| Mélanome Multiple | 27 | 0 | 0 | 0 | 0 | 0 | 0 | 0 | 0 | 0 | 0 | 1,4 | 2,2 | 4,6 | 4,8 | 12,9 | 7,4 | 6,9 | 1,24 | 0,9 | 0,06 | 0,17 | 1,2 | C90 |
| Leucémie Lymphoïde | 21 | 0 | 1 | 0 | 0,6 | 0,6 | 0 | 0 | 0 | 0 | 0 | 0 | 2,2 | 2,7 | 3,6 | 8,6 | 2,5 | 5,2 | 0,97 | 0,7 | 0,05 | 0,11 | 1 | C91 |
| Leucémie Myéloïde | 36 | 0,5 | 0 | 0,6 | 0,6 | 0,6 | 0,5 | 0 | 1,7 | 1,2 | 1,3 | 2,8 | 4,4 | 1,8 | 0 | 10,7 | 7,4 | 8,6 | 1,66 | 1,2 | 0,08 | 0,17 | 1,6 | C92-94 |
| Leucémies non spécifiques | 7 | 0 | 0,6 | 0 | 0 | 0 | 0 | 0,5 | 0 | 0 | 0 | 0,7 | 0 | 0 | 0 | 2,1 | 0 | 5,2 | 0,32 | 0,2 | 0,01 | 0,02 | 0,3 | C95 |
| Syndromes Myéloprolifératifs | 5 | 0 | 0 | 0 | 0 | 0 | 0,5 | 0 | 0,6 | 0 | 0 | 0 | 0 | 0,9 | 2,4 | 4,3 | 2,5 | 1,7 | 0,23 | 0,2 | 0,01 | 0,02 | 0,2 | MDS |
| Autres non spécifiques | 16 | 0 | 0 | 0 | 0 | 0,6 | 0 | 0,5 | 0,6 | 0 | 0,6 | 1,4 | 0 | 2,7 | 2,4 | 4,3 | 2,5 | 3,5 | 0,74 | 0,5 | 0,04 | 0,08 | 0,7 | MDS |
| Toutes les localisations | 85 | 0,5 | 0,6 | 0 | 0,6 | 0,6 | 0,5 | 1,1 | 3,3 | 3,6 | 1,9 | 5,7 | 3,6 | 7,3 | 14,4 | 15 | 14,7 | 31,1 | 3,91 | 2,9 | 0,22 | 0,37 | 3,6 | ORU |
| Toutes les localisations | 3013 | 11,4 | 5,4 | 3,2 | 3,2 | 13,7 | 25,7 | 35,9 | 74 | 136,4 | 174,8 | 278 | 271,9 | 398,1 | 442,1 | 491,6 | 409,9 | 409,6 | 138,75 | 101,1 | 9,36 | 13,86 | 126,5 | ALL |
| Toutes les localisations sauf peau | 2979 | 11,4 | 5,4 | 3,2 | 13,1 | 25,7 | 35,3 | 35,3 | 74 | 134,6 | 174,8 | 275,8 | 269,8 | 395,3 | 437,3 | 489,5 | 402,3 | 388,9 | 137,18 | 100 | 9,28 | 13,74 | 125,2 | ALLHC44 |

Tableau 66 : Nombre de cas incidents, incidences brutes, incidences spécifiques, incidences cumulées et taux d'incidences standardisées selon la localisation du cancer chez les femmes en 2016, RCGC

| SITE | Tout âge | Age Inconnu | 0-4 | 5-9 | 10-14 | 15-19 | 20-24 | 25-29 | 30-34 | 35-39 | 40-44 | 45-49 | 50-54 | 55-59 | 60-64 | 65-69 | 70-74 | 75+ | TIB | (%) | CUM 0-44 | CUM 0-74 | TIS | CI-M10 | |
|----------------------------------|----------|-------------|-----|-----|-------|-------|-------|-------|-------|-------|-------|-------|-------|-------|-------|-------|-------|-------|-------|------|----------|----------|------|--------|-------------|
| Yeux | 3 | 0 | 0 | 0 | 0 | 0 | 0 | 0 | 0 | 0 | 0 | 0 | 0 | 0 | 0 | 0 | 0 | 0 | 0 | 0 | 0 | 0 | 0 | 0 | C00 |
| Langue | 12 | 0 | 0 | 0 | 0 | 0 | 0 | 0 | 0 | 0 | 0 | 0 | 0 | 0 | 0 | 0 | 0 | 0 | 0 | 0 | 0 | 0 | 0 | 0 | C01-02 |
| Cavité buccale | 11 | 0 | 0 | 0 | 0 | 0 | 0 | 0 | 0 | 0 | 0 | 0 | 0 | 0 | 0 | 0 | 0 | 0 | 0 | 0 | 0 | 0 | 0 | 0 | C03-06 |
| Glandes salivaires | 6 | 0 | 0 | 0 | 0 | 0 | 0 | 0 | 0 | 0 | 0 | 0 | 0 | 0 | 0 | 0 | 0 | 0 | 0 | 0 | 0 | 0 | 0 | 0 | C07-08 |
| Amygdales | 1 | 0 | 0 | 0 | 0 | 0 | 0 | 0 | 0 | 0 | 0 | 0 | 0 | 0 | 0 | 0 | 0 | 0 | 0 | 0 | 0 | 0 | 0 | 0 | C09 |
| Oropharynx | 0 | 0 | 0 | 0 | 0 | 0 | 0 | 0 | 0 | 0 | 0 | 0 | 0 | 0 | 0 | 0 | 0 | 0 | 0 | 0 | 0 | 0 | 0 | 0 | C10 |
| Naso-pharynx (exvivo) | 24 | 0 | 0 | 0 | 0 | 1,9 | 0,5 | 0,5 | 1,1 | 1,2 | 0,6 | 2,8 | 0,7 | 1,7 | 1,2 | 4,2 | 2,4 | 5 | 1,09 | 0,8 | 0,06 | 0,09 | 1 | 0 | C11 |
| Hypo-pharynx | 2 | 0 | 0 | 0 | 0 | 0 | 0 | 0 | 0 | 0 | 0,6 | 0 | 0 | 0 | 1,2 | 0 | 0 | 0 | 0,09 | 0,1 | 0,01 | 0,01 | 0 | 0 | C12-13 |
| Pharynx non spécifique | 10 | 0 | 0 | 0 | 0 | 0 | 0 | 0 | 0 | 0 | 0 | 0 | 0 | 0 | 0 | 0 | 0 | 0 | 0,05 | 0 | 0 | 0 | 0 | 0 | C14 |
| Esophage | 65 | 0 | 0 | 0 | 0 | 0,6 | 1,6 | 2,2 | 1,1 | 1,2 | 0,6 | 0,7 | 0 | 0,9 | 2,3 | 6 | 4,9 | 5 | 0,45 | 0,3 | 0,02 | 0,05 | 0,4 | 0 | C15 |
| Estomac | 5 | 0 | 0 | 0 | 0 | 0 | 0 | 0 | 0 | 0,6 | 0 | 0 | 0,7 | 0,9 | 0 | 0 | 4,9 | 0 | 0,23 | 0,2 | 0,02 | 0,04 | 0,2 | 0 | C17 |
| Intestin grêle | 113 | 0 | 0 | 0 | 0,6 | 0 | 1,1 | 1,1 | 1,1 | 2,4 | 1,9 | 8,4 | 10,5 | 14,8 | 23,1 | 29,5 | 24,4 | 18,4 | 5,13 | 3,8 | 0,32 | 0,32 | 0,59 | 4,8 | C18 |
| Colon | 69 | 0 | 0 | 0 | 0 | 0 | 0 | 0,5 | 1,1 | 0,6 | 5,1 | 4,2 | 2,8 | 11,3 | 6,9 | 18,9 | 24,4 | 15 | 3,13 | 2,3 | 0,16 | 0,38 | 2,9 | 0 | C19-20 |
| Rectum | 9 | 0 | 0 | 0 | 0 | 0 | 0 | 0 | 0 | 0,6 | 0,6 | 0,6 | 0 | 0 | 1,7 | 3,5 | 2,1 | 0 | 0,41 | 0,3 | 0,03 | 0,04 | 0,4 | 0 | C21 |
| Anus | 39 | 0 | 0,5 | 0 | 0 | 0 | 0 | 0 | 0 | 0,6 | 0,6 | 2,8 | 0,7 | 5,2 | 6,9 | 8,4 | 12,2 | 16,7 | 1,77 | 1,3 | 0,09 | 0,04 | 0,19 | 1,7 | C22 |
| Foie | 35 | 0 | 0 | 0 | 0 | 0 | 0 | 0 | 0 | 0,6 | 0,6 | 2,1 | 2,8 | 7 | 4,6 | 10,5 | 2,4 | 13,4 | 1,59 | 1,2 | 0,09 | 0,15 | 1,4 | 0 | C23-24 |
| Vésicule biliaire | 64 | 0 | 0 | 0 | 0 | 0 | 0 | 0,5 | 0 | 0 | 3,5 | 2,1 | 7,8 | 19,6 | 18,9 | 21,9 | 18,4 | 0 | 2,91 | 2,1 | 0,17 | 0,37 | 2,8 | 0 | C25 |
| Nez, sinus | 5 | 0 | 0 | 0 | 0 | 0,6 | 0 | 0 | 0 | 1,2 | 0 | 0 | 0 | 0,9 | 0 | 0 | 2,4 | 0 | 0,23 | 0,2 | 0,01 | 0,03 | 0,2 | 0 | C30-31 |
| Larynx | 13 | 0 | 0 | 0 | 0 | 0 | 0 | 0 | 0 | 0 | 0 | 0 | 1,4 | 1,7 | 5,8 | 2,1 | 2,4 | 3,3 | 0,59 | 0,4 | 0,04 | 0,07 | 0,5 | 0 | C32 |
| Trachée, bronches et poumon | 96 | 0 | 0 | 0 | 0 | 0 | 0 | 0 | 0 | 0,6 | 4,4 | 4,9 | 8,4 | 10,5 | 16,2 | 25,2 | 36,6 | 26,7 | 4,36 | 3,2 | 0,22 | 0,53 | 4,1 | 0 | C33-34 |
| Autres organes thoraciques | 9 | 0 | 0 | 0 | 0 | 0 | 0 | 0 | 0,5 | 0 | 0 | 0 | 0 | 0,7 | 1,7 | 1,2 | 2,1 | 0 | 0,41 | 0,3 | 0,02 | 0,03 | 0,3 | 0 | C37-38 |
| OS | 12 | 0 | 0 | 0,6 | 1,9 | 1,3 | 0 | 0 | 0 | 0 | 0 | 0,7 | 0 | 1,7 | 0 | 0 | 0 | 5 | 0,54 | 0,4 | 0,03 | 0,03 | 0,6 | 0 | C40-41 |
| Mélanome de la peau | 11 | 0 | 0 | 0 | 0 | 0,6 | 0 | 0 | 0,5 | 0 | 0,6 | 0,7 | 2,6 | 2,1 | 2,3 | 0 | 4,9 | 0 | 0,5 | 0,4 | 0,03 | 0,06 | 0,5 | 0 | C43 |
| Peau autres | 24 | 0 | 0 | 0 | 0 | 0 | 0 | 0 | 0,5 | 0 | 0,6 | 0,7 | 0,7 | 2,6 | 2,3 | 0 | 4,9 | 15 | 1,09 | 0,8 | 0,09 | 0,07 | 0,9 | 0 | C44 |
| Mésothéliome | 3 | 0 | 0 | 0 | 0 | 0 | 0 | 0 | 0 | 0,6 | 0,6 | 0 | 0 | 0 | 0 | 0 | 2,4 | 0 | 0,14 | 0,14 | 0,01 | 0,02 | 0,1 | 0 | C45 |
| Sarcome de Kaposi | 3 | 0 | 0 | 0 | 0 | 0 | 0 | 0 | 0 | 0,6 | 0,6 | 0 | 0 | 0 | 0 | 0 | 0 | 0 | 0,14 | 0,14 | 0,01 | 0,01 | 0,1 | 0 | C46 |
| Tissus mous | 23 | 0,5 | 0 | 0 | 0 | 0,6 | 0 | 1,1 | 1,1 | 1,2 | 1,9 | 1,4 | 1,4 | 0,9 | 2,3 | 4,2 | 0 | 5 | 1,04 | 0,8 | 0,06 | 0,08 | 0,1 | 0 | C47, C49 |
| Sein | 1157 | 0 | 0 | 0 | 0 | 0 | 1,1 | 7 | 26,8 | 58,5 | 103 | 127,4 | 132,5 | 139,4 | 133,9 | 162 | 107,2 | 103,5 | 52,53 | 38,5 | 3,65 | 4,99 | 46,2 | 0 | C50 |
| Vulve | 13 | 0 | 0 | 0 | 0 | 0 | 0 | 0 | 0 | 1,9 | 0,7 | 1,7 | 0 | 0 | 2,3 | 2,1 | 2,4 | 3,3 | 0,59 | 0,4 | 0,04 | 0,06 | 0,5 | 0 | C51 |
| Vagin | 1 | 0 | 0 | 0 | 0 | 0 | 0 | 0 | 0 | 0 | 0 | 0 | 0 | 0 | 0 | 0 | 2,4 | 0 | 0,05 | 0 | 0 | 0 | 0 | 0 | C52 |
| Col de l'utérus | 223 | 0 | 0 | 0 | 0 | 0 | 0 | 1,6 | 3,3 | 5,3 | 15,2 | 15,3 | 21,7 | 29,6 | 38,1 | 52,6 | 36,6 | 35,1 | 10,13 | 7,4 | 0,65 | 1,1 | 9,3 | 0 | C53 |
| Corps de l'utérus | 55 | 0 | 0 | 0 | 0 | 0 | 0 | 0 | 0 | 0 | 1,3 | 2,1 | 5,6 | 8,7 | 10,4 | 21 | 17,1 | 10 | 2,5 | 1,8 | 0,14 | 0,33 | 2,4 | 0 | C54 |
| Utérus non spécifique | 29 | 0 | 0 | 0 | 0 | 0 | 0 | 0,5 | 0 | 0 | 0,6 | 2,8 | 5,6 | 4,4 | 3,5 | 8,4 | 4,9 | 1,7 | 1,32 | 1 | 0,09 | 0,15 | 1,2 | 0 | C55 |
| Ovaire | 134 | 1 | 0 | 0 | 0,6 | 0,6 | 0 | 1,1 | 2,7 | 5,9 | 3,8 | 9,7 | 10,5 | 14,8 | 25,4 | 40 | 29,2 | 15 | 6,08 | 4,5 | 0,38 | 0,73 | 5,8 | 0 | C56 |
| Autres organes génitaux féminins | 2 | 0 | 0 | 0 | 0 | 0 | 0 | 0 | 0 | 0 | 0 | 0 | 0,7 | 0 | 1,2 | 0 | 0 | 0 | 0,09 | 0,1 | 0,01 | 0,01 | 0,1 | 0 | C57 |
| Placenta | 6 | 0 | 0 | 0 | 0 | 0 | 0 | 0 | 1,1 | 0 | 0,6 | 0 | 0 | 0 | 0 | 0 | 0 | 0 | 0,27 | 0,2 | 0,02 | 0,02 | 0,2 | 0 | C58 |
| Rein | 27 | 0 | 2,5 | 0,6 | 0 | 0 | 0 | 0,5 | 0 | 1,2 | 0 | 1,4 | 3,5 | 1,7 | 3,5 | 6,3 | 2,4 | 3,3 | 1,23 | 0,9 | 0,07 | 0,12 | 1,2 | 0 | C64 |
| Bassin et du rein | 0 | 0 | 0 | 0 | 0 | 0 | 0 | 0 | 0 | 0 | 0 | 0 | 0 | 0 | 0 | 0 | 0 | 0 | 0 | 0 | 0 | 0 | 0 | 0 | C65 |
| Uretere | 0 | 0 | 0 | 0 | 0 | 0 | 0 | 0 | 0 | 0 | 0 | 0 | 0 | 0 | 0 | 0 | 0 | 0 | 0 | 0 | 0 | 0 | 0 | 0 | C66 |
| Vessie | 13 | 0 | 0 | 0 | 0 | 0 | 0 | 0 | 0 | 0,6 | 0,6 | 0 | 0 | 1,4 | 2,6 | 3,5 | 2,1 | 2,4 | 0,59 | 0,4 | 0,04 | 0,07 | 0,5 | 0 | C67 |
| Autres organes urinaires | 0 | 0 | 0 | 0 | 0 | 0 | 0 | 0 | 0,5 | 0 | 0 | 0 | 0 | 0 | 0 | 0 | 0 | 0 | 0 | 0 | 0 | 0 | 0 | 0 | C68 |
| Edil | 2 | 0 | 0 | 0 | 0 | 0 | 0 | 0 | 0 | 0 | 0 | 0 | 0 | 0 | 0 | 0 | 0 | 0 | 0 | 0 | 0 | 0 | 0 | 0 | C69 |
| Cerveau, système nerveux | 46 | 1,5 | 0,6 | 1,3 | 1,9 | 1,1 | 1,1 | 0 | 1,8 | 0,6 | 2,1 | 2,1 | 2,1 | 7 | 10,4 | 10,5 | 0 | 1,7 | 2,09 | 1,5 | 0,16 | 0,21 | 2,1 | 0 | C70-72 |
| Thyroïde | 374 | 0 | 0 | 3,2 | 6,3 | 7,5 | 15,7 | 19,1 | 26,6 | 27,8 | 37,6 | 31,6 | 33,1 | 34,6 | 29,5 | 7,3 | 13,4 | 0 | 16,98 | 12,5 | 1,21 | 1,4 | 1,5 | 0 | C73 |
| Glande surrénale | 6 | 0 | 1 | 0 | 0 | 0,6 | 0 | 0,5 | 0 | 0 | 0,7 | 0 | 0 | 0 | 1,2 | 2,1 | 0 | 0 | 0,27 | 0,2 | 0,02 | 0,03 | 0,3 | 0 | C74 |
| Autres glandes endocrines | 3 | 0 | 0 | 0 | 0 | 0 | 0 | 0,5 | 0 | 0 | 0 | 0 | 0 | 0 | 1,2 | 0 | 0 | 0 | 0,14 | 0,1 | 0,01 | 0,01 | 0,1 | 0 | C75 |
| Maladie de Hodgkin | 39 | 0 | 0 | 0 | 0 | 4,4 | 2,7 | 2,7 | 4,4 | 2,4 | 0,6 | 1,4 | 2,1 | 0 | 3,5 | 2,1 | 0 | 0 | 1,77 | 1,3 | 0,12 | 0,13 | 1,7 | 0 | C81 |
| Lymphome Non-Hodgkinien | 78 | 0,5 | 1,2 | 0,6 | 1,3 | 0,5 | 4,9 | 1,1 | 2,4 | 1,3 | 7 | 4,9 | 4,4 | 4,4 | 4,6 | 21 | 26,8 | 11,7 | 3,54 | 2,6 | 0,17 | 0,41 | 3,5 | 0 | C82-85, C96 |
| Maladies immunoprolifératives | 2 | 0 | 0 | 0 | 0 | 0 | 0 | 0 | 0 | 0 | 0 | 0 | 0,7 | 0 | 0 | 2,1 | 0 | 0 | 0,09 | 0,1 | 0 | 0,01 | 0,1 | 0 | C88 |
| Méiome Multiple | 37 | 0 | 0 | 0 | 0 | 0 | 0 | 0 | 0 | 0 | 0,6 | 2,8 | 2,1 | 6,1 | 8,1 | 6,3 | 12,2 | 11,7 | 1,68 | 1,2 | 0,1 | 0,19 | 1,5 | 0 | C90 |
| Leucémie Lymphoïde | 13 | 0 | 2 | 0 | 0,6 | 1,3 | 0 | 0 | 0 | 0 | 0 | 0 | 0 | 2,6 | 1,2 | 2,1 | 0 | 1,7 | 0,59 | 0,4 | 0,04 | 0,05 | 0,7 | 0 | C91 |
| Leucémie Myéloïde | 20 | 0,5 | 1,2 | 1,3 | 1,3 | 0 | 0 | 0,5 | 0 | 0,6 | 0 | 0,7 | 0,7 | 1,7 | 1,2 | 10,5 | 0 | 1,7 | 0,91 | 0,7 | 0,05 | 0,1 | 1 | 0 | C92-94 |
| Leucémies non spécifiques | 6 | 0 | 0 | 0 | 0 | 0 | 0 | 0 | 0,6 | 0,6 | 0 | 0 | 0 | 1,4 | 0,9 | 0 | 0 | 0 | 0,27 | 0,2 | 0,02 | 0,02 | 0,2 | 0 | C95 |
| Syndromes Myéloprolifératifs | 6 | 0 | 0 | 0,6 | 0,6 | 0 | 0 | 0,5 | 0 | 0 | 0 | 0 | 0 | 0,7 | 0 | 0 | 2,1 | 0 | 0,27 | 0,2 | 0,02 | 0,03 | 0,3 | 0 | MHD |
| Syndromes Myéloprolifératifs | 7 | 0 | 0 | 0 | 0 | 0 | 0,5 | 0 | 0 | 0,6 | 0 | 0 | 0 | 0,7 | 0,9 | 0 | 2,1 | 0 | 0,32 | 0,2 | 0,02 | 0,03 | 0,3 | | |

Tableau 67 : Nombre de cas incidents, incidences brutes, incidences spécifiques , incidences cumulées et taux d'incidences standardisées selon la localisation du cancer chez les hommes en 2016.RCCG

| SITE | Tout âge | Age inconnu | 0-4 | 5-9 | 10-14 | 15-19 | 20-24 | 25-29 | 30-34 | 35-39 | 40-44 | 45-49 | 50-54 | 55-59 | 60-64 | 65-69 | 70-74 | 75+ | TIB | (%) | CUM 0-64 | CUM 0-74 | TIS | CM10 | |
|------------------------------------|----------|-------------|------|-----|-------|-------|-------|-------|-------|-------|-------|-------|-------|-------|-------|-------|-------|-------|-------|-------|----------|----------|------|------------|-----|
| Levre | 4 | 0 | 0 | 0 | 0 | 0 | 0 | 0 | 0 | 0 | 0 | 0 | 0 | 1,7 | 2,2 | 2,2 | 0 | 0 | 0,18 | 0,2 | 0,02 | 0,02 | 0,2 | C00 | |
| Langue | 13 | 0 | 0 | 0 | 0 | 0 | 0 | 0 | 0 | 0,6 | 0 | 0,7 | 0 | 1,7 | 6,6 | 2,2 | 3,1 | 2,2 | 0,6 | 0,7 | 0,05 | 0,07 | 0,6 | C01-02 | |
| Cavité buccale | 11 | 0 | 0 | 0 | 0 | 0 | 0 | 0 | 0,6 | 0 | 0 | 0 | 0 | 3,5 | 1,1 | 0 | 12,4 | 2,2 | 0,51 | 0,6 | 0,03 | 0,09 | 0,5 | C03-06 | |
| Glandes salivaires | 8 | 0 | 0 | 0 | 0 | 0 | 0 | 0 | 0 | 0 | 0 | 0,7 | 0 | 0,9 | 0 | 0 | 3,1 | 11,2 | 0,37 | 0,4 | 0,01 | 0,02 | 0,4 | C07-08 | |
| Amygdales | 1 | 0 | 0 | 0 | 0 | 0 | 0 | 0 | 0 | 0 | 0 | 0 | 0 | 0 | 0 | 0 | 0 | 2,2 | 0,05 | 0,1 | 0 | 0 | 0 | C09 | |
| Oropharynx | 0 | 0 | 0 | 0 | 0 | 0 | 0 | 0 | 0 | 0 | 0 | 0 | 0 | 0 | 0 | 0 | 0 | 0 | 0 | 0 | 0 | 0 | 0 | 0 | C10 |
| Naso-pharynx (exvum) | 57 | 0 | 0 | 0,6 | 0,6 | 1,2 | 2,2 | 0 | 2,8 | 1,2 | 3,2 | 4,4 | 5,3 | 7 | 8,7 | 4,4 | 9,3 | 6,7 | 2,63 | 2,9 | 0,19 | 0,25 | 2,4 | C11 | |
| Hypo-pharynx | 5 | 0 | 0 | 0 | 0 | 0 | 0,5 | 0 | 0 | 0 | 0 | 0,7 | 0 | 0 | 0 | 0 | 0 | 0 | 0,23 | 0,3 | 0,01 | 0,01 | 0,2 | C12-13 | |
| Pharynx non spécifique | 0 | 0 | 0 | 0 | 0 | 0 | 0 | 0 | 0 | 0 | 0 | 0 | 0 | 0 | 0 | 0 | 0 | 0 | 0 | 0 | 0 | 0 | 0 | 0 | C14 |
| Esophage | 14 | 0 | 0 | 0 | 0 | 0 | 0 | 0 | 0 | 0 | 0,6 | 0 | 1,5 | 3,5 | 1,1 | 6,5 | 3,1 | 4,5 | 0,65 | 0,7 | 0,03 | 0,08 | 0,6 | C15 | |
| Estomac | 96 | 0 | 0 | 0 | 0 | 0 | 0,5 | 0,6 | 0,6 | 3,1 | 3,2 | 7,4 | 9 | 12,2 | 16,4 | 21,8 | 40,2 | 20,2 | 4,43 | 4,8 | 0,27 | 0,58 | 4,4 | C16 | |
| Intestin grêle | 6 | 0 | 0 | 0 | 0 | 0 | 0 | 0 | 0 | 1,2 | 0 | 0,7 | 0 | 1,7 | 0 | 0 | 3,1 | 0 | 0,28 | 0,3 | 0,02 | 0,03 | 0,3 | C17 | |
| Colon | 92 | 0 | 0 | 0 | 0 | 0 | 1,1 | 0 | 0,6 | 3,1 | 2,6 | 8,9 | 8,3 | 12,2 | 19,7 | 19,6 | 24,7 | 17,9 | 4,25 | 4,6 | 0,28 | 0,5 | 4,1 | C18 | |
| Rectum | 89 | 0 | 0 | 0 | 0 | 0 | 0 | 0,6 | 1,1 | 1,2 | 2,6 | 5,9 | 7,5 | 14 | 17,5 | 26,2 | 24,7 | 22,4 | 4,11 | 4,5 | 0,25 | 0,51 | 4,1 | C19-20 | |
| Anus | 9 | 0 | 0 | 0 | 0 | 0 | 0 | 0 | 0 | 0 | 0,6 | 0 | 0 | 0,9 | 0,2 | 2,2 | 0 | 9 | 0,42 | 0,5 | 0,02 | 0,03 | 0,4 | C21 | |
| Foie | 18 | 0 | 0 | 0 | 0 | 0 | 0 | 0 | 0 | 0 | 0 | 0 | 0,8 | 1,7 | 3,3 | 13,1 | 3,1 | 11,2 | 0,83 | 0,9 | 0,02 | 0,05 | 0,5 | C22 | |
| Vésicule biliaire | 10 | 0 | 0 | 0 | 0 | 0 | 0 | 0 | 0 | 0 | 0,6 | 0 | 1,5 | 0 | 1,1 | 6,5 | 0 | 6,7 | 0,46 | 0,5 | 0,02 | 0,05 | 0,5 | C23-24 | |
| Pancreas | 62 | 0 | 0 | 0 | 0 | 0 | 0 | 0 | 0 | 0 | 0 | 0 | 0,8 | 1,7 | 3,3 | 13,1 | 2,4 | 22,4 | 2,86 | 3,1 | 0,17 | 0,32 | 2,9 | C25 | |
| Nez, sinus | 3 | 0 | 0 | 0 | 0 | 0 | 0 | 0 | 0 | 0 | 0 | 0 | 0,8 | 0,9 | 1,1 | 0 | 0 | 0 | 0,14 | 0,2 | 0,01 | 0,01 | 0,1 | C30-31 | |
| Larynx | 54 | 0 | 0 | 0 | 0 | 0 | 0 | 0 | 0 | 0 | 0 | 2,2 | 5,3 | 8,7 | 7,7 | 21,8 | 18,6 | 22,4 | 2,49 | 2,7 | 0,12 | 0,32 | 2,6 | C32 | |
| Trachée, bronches et poumon | 440 | 0 | 0 | 0 | 0 | 0 | 0 | 0 | 0,6 | 1,2 | 5,2 | 16,3 | 39,9 | 76,9 | 96,2 | 187,5 | 154,6 | 94,1 | 20,31 | 2,2 | 1,18 | 2,89 | 20,9 | C33-34 | |
| Autres organes thoraciques | 13 | 0 | 0 | 0 | 0 | 0 | 0 | 0,6 | 0 | 0,6 | 0 | 0 | 1,5 | 0,9 | 3,3 | 8,7 | 0 | 2,2 | 0,6 | 0,7 | 0,03 | 0,08 | 0,6 | C35-38 | |
| OS | 17 | 0 | 0 | 0 | 2,4 | 2,5 | 0,5 | 0,6 | 0 | 0,6 | 0 | 0 | 0,8 | 0 | 1,1 | 2,2 | 0 | 6,7 | 0,78 | 0,9 | 0,04 | 0,05 | 0,8 | C39-41 | |
| Mélanome de la peau | 7 | 0 | 0 | 0 | 0 | 0 | 0,5 | 1,1 | 0 | 0 | 0 | 0 | 0 | 0 | 0 | 4,4 | 0 | 4,5 | 0,32 | 0,4 | 0,01 | 0,03 | 0,4 | C43 | |
| Peau autres de la peau | 37 | 0 | 0 | 0 | 0 | 0 | 0 | 1,1 | 0 | 0 | 0,6 | 0 | 3,8 | 6,1 | 5,5 | 4,4 | 18,6 | 20,2 | 1,71 | 1,9 | 0,09 | 0,2 | 1,7 | C44 | |
| Mésothéliome | 4 | 0 | 0 | 0 | 0 | 0 | 0 | 0 | 0 | 0 | 0 | 0 | 1,5 | 0 | 0 | 2,2 | 0 | 2,2 | 0,18 | 0,2 | 0,01 | 0,02 | 0,2 | C45 | |
| Sarcome de Kaposi | 0 | 0 | 0 | 0 | 0 | 0 | 0 | 0 | 0 | 0 | 0 | 0 | 0 | 0 | 0 | 0 | 0 | 0 | 0 | 0 | 0 | 0 | 0 | 0 | C46 |
| Tissus mous | 23 | 0 | 0 | 1 | 0 | 0 | 1,1 | 0 | 0 | 1,2 | 1,9 | 0 | 0,8 | 4,4 | 1,1 | 0 | 3,1 | 13,4 | 1,06 | 1,2 | 0,06 | 0,07 | 1 | C47-C49 | |
| Sein | 26 | 0 | 0 | 0 | 0 | 0 | 0 | 0,6 | 0 | 1,2 | 0,6 | 1,5 | 3 | 1,7 | 3,3 | 6,5 | 12,4 | 9 | 1,2 | 1,3 | 0,06 | 0,15 | 1,2 | C50 | |
| Penis | 0 | 0 | 0 | 0 | 0 | 0 | 0 | 0 | 0 | 0 | 0 | 0 | 0 | 0 | 0 | 0 | 0 | 0 | 0 | 0 | 0 | 0 | 0 | 0 | C51 |
| Prostate | 283 | 0 | 0 | 0 | 0 | 0 | 0 | 0 | 0 | 0 | 1,3 | 0 | 6 | 18,4 | 43,7 | 152,6 | 142,3 | 215,1 | 13,06 | 14,2 | 0,35 | 1,82 | 14,6 | C61 | |
| Testicules | 8 | 0 | 0 | 0 | 0 | 0 | 0,5 | 0,6 | 1,1 | 0,6 | 1,3 | 0 | 0 | 0 | 1,1 | 0 | 0 | 0 | 0,37 | 0,4 | 0,03 | 0,03 | 0,3 | C62 | |
| Autres organes génitaux masculins | 0 | 0 | 0 | 0 | 0 | 0 | 0 | 0 | 0 | 0 | 0 | 0 | 0 | 0 | 0 | 0 | 0 | 0 | 0 | 0 | 0 | 0 | 0 | 0 | C63 |
| Rein | 24 | 0 | 0 | 2,4 | 0 | 0 | 0 | 0 | 0 | 0 | 0 | 0 | 2,3 | 2,6 | 3,3 | 6,5 | 9,3 | 9 | 1,11 | 1,2 | 0,05 | 0,13 | 1,2 | C64 | |
| Bassinot du rein | 2 | 0 | 0 | 0 | 0 | 0 | 0 | 0 | 0 | 0 | 0 | 0 | 0 | 0 | 0 | 0 | 3,1 | 0 | 0,09 | 0,1 | 0 | 0,02 | 0,1 | C65 | |
| Utérine | 3 | 0 | 0 | 0 | 0 | 0 | 0 | 0 | 0 | 0 | 0 | 0 | 0 | 1,1 | 0 | 3,1 | 2,2 | 0,14 | 0,2 | 0,01 | 0,02 | 0,2 | C66 | | |
| Vessie | 108 | 0 | 0 | 0 | 0 | 0 | 0 | 0 | 0 | 0,6 | 1,3 | 3,7 | 6 | 17,5 | 20,8 | 39,2 | 46,4 | 44,8 | 4,99 | 5,4 | 0,25 | 0,68 | 5,2 | C67 | |
| Autres organes urinaires | 0 | 0 | 0 | 0 | 0 | 0 | 0 | 0 | 0 | 0 | 0 | 0 | 0 | 0 | 0 | 0 | 0 | 0 | 0 | 0 | 0 | 0 | 0 | 0 | C68 |
| GHI | 5 | 0 | 0 | 1,9 | 0 | 0 | 0 | 0 | 0 | 0 | 0 | 0 | 0 | 0,9 | 0 | 0 | 0 | 0 | 0,23 | 0,3 | 0,01 | 0,01 | 0,3 | C69 | |
| Cerveau, système nerveux | 63 | 0 | 4,4 | 0,6 | 2,4 | 0,6 | 0,5 | 1,7 | 2,8 | 0,6 | 1,3 | 5,2 | 1,5 | 7,9 | 12 | 6,5 | 0 | 9 | 2,91 | 3,2 | 0,21 | 0,24 | 2,9 | C70-72 | |
| Thyroïde | 78 | 0 | 0 | 0 | 0 | 0,6 | 2,2 | 2,2 | 3,3 | 5,6 | 3,9 | 8,9 | 4,5 | 9,6 | 7,7 | 15,3 | 6,2 | 6,7 | 3,6 | 3,9 | 0,24 | 0,35 | 3,3 | C73 | |
| Glande surrénale | 6 | 0 | 1,9 | 0 | 0 | 0 | 0 | 0 | 0 | 0 | 0,6 | 0 | 0 | 0 | 0 | 2,2 | 0 | 0 | 0,28 | 0,3 | 0,01 | 0,02 | 0,3 | C74 | |
| Autres glandes endocrines | 1 | 0 | 0 | 0 | 0 | 0 | 0 | 0 | 0 | 0 | 0,6 | 0 | 0 | 0 | 0 | 0 | 0 | 0 | 0,05 | 0,1 | 0 | 0 | 0 | C75 | |
| Maladie de Hodgkin | 35 | 0 | 0,5 | 1,7 | 1,2 | 3,1 | 1,6 | 0,6 | 2,2 | 1,2 | 0 | 1,5 | 3,8 | 1,7 | 3,3 | 0 | 6,2 | 0 | 1,62 | 1,8 | 0,11 | 0,14 | 1,6 | C81 | |
| Lymphome Non-Hodgkinien | 96 | 0 | 0,5 | 1,1 | 0,6 | 0,6 | 1,6 | 6,1 | 0,6 | 1,9 | 5,2 | 3 | 6,8 | 10,5 | 8,7 | 32,7 | 6,2 | 33,6 | 4,43 | 4,8 | 0,24 | 0,43 | 4,4 | C82-85,C96 | |
| Maladies Immunoprolifératives | 2 | 0 | 0 | 0 | 0 | 0 | 0 | 0 | 0 | 0 | 0 | 0 | 0,8 | 0 | 0 | 0 | 0 | 2,2 | 0,09 | 0,1 | 0 | 0 | 0 | C88 | |
| Mélanome Multiple | 45 | 0 | 0 | 0 | 0 | 0 | 0 | 0 | 0 | 0 | 0 | 2,2 | 3 | 3,5 | 8,7 | 8,7 | 15,5 | 15,7 | 2,08 | 2,3 | 0,12 | 0,24 | 2 | C90 | |
| Leucémie Lymphoïde | 28 | 0 | 1 | 1,7 | 1,8 | 2,5 | 0,5 | 0,6 | 0 | 0,6 | 0,6 | 1,5 | 0,8 | 1,7 | 2,2 | 2,2 | 3,1 | 6,7 | 1,29 | 1,4 | 0,08 | 0,1 | 1,4 | C91 | |
| Leucémie Myéloïde | 35 | 0 | 0 | 0,6 | 0,6 | 0,6 | 3,3 | 0 | 0,6 | 1,2 | 1,9 | 2,2 | 2,3 | 1,7 | 2,2 | 8,7 | 6,2 | 9 | 1,62 | 1,8 | 0,09 | 0,16 | 1,6 | C92-94 | |
| Leucémies non spécifiques | 9 | 0 | 0 | 0 | 0 | 0,6 | 0 | 0 | 0,6 | 0,6 | 0 | 0 | 0,8 | 1,7 | 1,1 | 2,2 | 0 | 2,2 | 0,42 | 0,5 | 0,03 | 0,04 | 0,4 | C95 | |
| Syndromes Myéloprolifératifs | 3 | 0 | 0 | 0 | 0 | 0 | 0 | 0 | 0 | 0 | 0 | 0 | 0 | 0 | 1,1 | 0 | 0 | 0 | 0,14 | 0,2 | 0,01 | 0,01 | 0,4 | M9D | |
| Syndromes Myéodysplastiques | 14 | 0 | 0 | 0 | 0 | 0 | 0 | 0 | 0 | 0 | 0 | 0,7 | 0,8 | 0,9 | 2,2 | 8,7 | 3,1 | 6,7 | 0,65 | 0,7 | 0,03 | 0,09 | 0,7 | M9S | |
| Toutes les localisations | 67 | 0 | 1 | 0,6 | 0,6 | 0 | 1,6 | 1,1 | 0,6 | 0 | 3,9 | 1,5 | 6 | 4,4 | 5,5 | 10,9 | 30,9 | 35,9 | 3,94 | 3,4 | 0,13 | 0,34 | 3,2 | 0&U | |
| Toutes les localisations sauf peau | 2035 | 0 | 14,5 | 6,8 | 10,3 | 12,4 | 18,7 | 18,2 | 18,9 | 35,2 | 49,3 | 86,6 | 137 | 250,9 | 336,7 | 660,7 | 624,7 | 723,8 | 93,94 | 101,9 | 4,98 | 11,4 | 96 | ALL | |
| Toutes les localisations sauf peau | 1998 | 0 | 14,5 | 6,8 | 10,3 | 12,4 | 18,7 | 17,1 | 18,9 | 35,2 | 48,6 | 86,6 | 133,3 | 244,8 | 331,2 | 656,3 | 606,2 | 703,6 | 92,23 | 100 | 4,89 | 11,2 | 94,3 | ALLC&H4 | |

Tableau 68 : Nombre de cas incidents, incidences brutes, incidences spécifiques , incidences cumulées et taux d'incidences standardisées selon la localisation du cancer chez les femmes en 2017.RCGC

| SITE | Tout âge | Age inconnu | 0-4 | 5-9 | 10-14 | 15-19 | 20-24 | 25-29 | 30-34 | 35-39 | 40-44 | 45-49 | 50-54 | 55-59 | 60-64 | 65-69 | 70-74 | 75+ | TIB | (%) | CUM 0-64 | CUM 0-74 | TIS | CM10 |
|----------------------------------|----------|-------------|------|-----|-------|-------|-------|-------|-------|-------|-------|-------|-------|-------|-------|-------|-------|-------|--------|-------|----------|----------|--------|---------|
| Yeux | 3 | 0 | 0 | 0 | 0 | 0 | 0 | 0 | 0 | 0 | 0 | 0 | 0 | 0 | 0 | 0 | 0 | 0 | 0,13 | 0,1 | 0,01 | 0,01 | 0,01 | C00 |
| Langue | 18 | 0 | 0 | 0 | 0 | 0 | 0 | 0 | 0,5 | 0,6 | 0,6 | 0,7 | 3,4 | 1,7 | 2,2 | 2,1 | 0 | 6,5 | 0,81 | 0,6 | 0,05 | 0,06 | 0,7 | C01-02 |
| Cavité buccale | 10 | 0 | 0 | 0 | 0 | 0 | 0 | 0 | 0 | 0 | 0 | 1,4 | 0 | 1,7 | 3,3 | 2,1 | 0 | 3,2 | 0,45 | 0,03 | 0,04 | 0,4 | C03-06 | |
| Grandes salivaires | 5 | 0 | 0 | 0 | 0 | 0 | 0,5 | 0 | 0 | 0 | 0,6 | 0 | 1,4 | 0 | 0 | 2,1 | 0 | 0 | 0,22 | 0,2 | 0,01 | 0,02 | 0,2 | C07-08 |
| Amygdales | 2 | 0 | 0 | 0 | 0 | 0 | 0 | 0 | 0 | 0 | 0 | 0 | 0 | 0,8 | 0 | 0 | 0 | 1,6 | 0,09 | 0,1 | 0 | 0 | 0,1 | C09 |
| Oropharynx | 2 | 0 | 0 | 0 | 0 | 0 | 0 | 0 | 0 | 0 | 0 | 0 | 0 | 0 | 1,1 | 2,1 | 0 | 0 | 0,09 | 0,1 | 0,01 | 0,01 | 0 | C10 |
| Nasopharynx (examm) | 30 | 0 | 0 | 0 | 0 | 0 | 0,5 | 2,7 | 2,2 | 0 | 0,6 | 2,1 | 2 | 4,2 | 3,3 | 8,2 | 2,4 | 0 | 1,34 | 1 | 0,09 | 0,14 | 1,2 | C11 |
| Hypopharynx | 4 | 0 | 0 | 0 | 0 | 0 | 0 | 0 | 0,5 | 0 | 0,6 | 1,4 | 0 | 0 | 0 | 0 | 0 | 0 | 0,18 | 0,1 | 0,01 | 0,01 | 0,2 | C12-13 |
| Hypopharynx non spécifique | 0 | 0 | 0 | 0 | 0 | 0 | 0 | 0 | 0 | 0 | 0 | 0 | 0 | 0 | 0 | 0 | 0 | 0 | 0 | 0 | 0 | 0 | 0 | C14 |
| Œsophage | 13 | 0 | 0 | 0 | 0 | 0 | 0 | 0 | 1,1 | 0,6 | 0,6 | 0,7 | 0,7 | 3,4 | 2,5 | 1,1 | 2,4 | 3,2 | 0,58 | 0,4 | 0,03 | 0,06 | 0,5 | C15 |
| Œsophage | 60 | 0 | 0 | 0 | 0 | 0 | 0 | 0 | 2,7 | 2,3 | 1,9 | 2,7 | 3,4 | 8,3 | 8,9 | 16,5 | 9,6 | 14,5 | 2,69 | 2 | 0,15 | 0,28 | 2,4 | C16 |
| Estomac | 6 | 0 | 0 | 0 | 0 | 0 | 0 | 0 | 0 | 0 | 0 | 1,4 | 1,4 | 0 | 1,1 | 0 | 0 | 1,6 | 0,27 | 0,2 | 0,02 | 0,02 | 0,2 | C17 |
| Intestin grêle | 137 | 0 | 0 | 0 | 0 | 0 | 0 | 0 | 1,6 | 1,1 | 5,3 | 3,8 | 10,3 | 15,6 | 22,3 | 33 | 16,8 | 27,4 | 6,13 | 4,5 | 0,38 | 0,63 | 5,5 | C18 |
| Rectum | 78 | 0 | 0 | 0 | 0 | 0 | 0 | 0 | 0,5 | 2,9 | 1,3 | 3,4 | 8,8 | 11,7 | 18,9 | 16,5 | 12 | 12,9 | 3,49 | 2,6 | 0,24 | 0,38 | 3,1 | C19-20 |
| Anus | 5 | 0 | 0 | 0 | 0 | 0 | 0 | 0 | 0 | 0 | 0 | 0 | 0,7 | 0,8 | 1,1 | 0 | 2,4 | 1,6 | 0,22 | 0,2 | 0,01 | 0,03 | 0,2 | C21 |
| Foie | 20 | 0 | 0 | 0 | 0 | 0 | 0 | 0,5 | 0 | 0,6 | 0,6 | 0,7 | 0 | 5 | 3,3 | 2,1 | 2,4 | 8,1 | 0,9 | 0,7 | 0,05 | 0,05 | 0,8 | C22 |
| Vésicule biliaire | 45 | 0 | 0 | 0 | 0 | 0 | 0 | 0,5 | 0 | 0 | 1,3 | 0 | 1,4 | 2,7 | 2,5 | 4,2 | 12,4 | 4,8 | 1,07 | 0,8 | 0,07 | 0,14 | 1,1 | C23-24 |
| Pancréas | 3 | 0 | 0 | 0 | 0 | 0 | 0 | 0 | 0 | 0 | 0 | 0 | 0 | 0 | 0 | 0 | 0 | 0 | 0,2 | 0,2 | 0,01 | 0,02 | 0,2 | C25 |
| Nez, sinus | 8 | 0 | 0 | 0 | 0 | 0 | 0 | 0 | 0 | 0 | 0 | 0 | 0 | 0 | 0 | 0 | 2,4 | 1,6 | 0,13 | 0,1 | 0,01 | 0,02 | 0,1 | C30-31 |
| Larynx | 94 | 0 | 0 | 0 | 0 | 0 | 0,5 | 1,6 | 1,6 | 0,6 | 1,9 | 0 | 0,7 | 0,8 | 3,3 | 0 | 2,4 | 3,2 | 0,36 | 0,3 | 0,02 | 0,04 | 0,3 | C32 |
| Trachée, bronches et poumon | 7 | 0 | 0 | 0 | 0 | 0 | 0 | 0 | 0 | 0 | 0 | 4,8 | 6,8 | 18,4 | 20 | 18,6 | 14,4 | 17,8 | 4,21 | 3,1 | 0,28 | 0,45 | 3,8 | C33-34 |
| Autres organes thoraciques | 17 | 0 | 0 | 0 | 1,9 | 0 | 0 | 1,6 | 0 | 0,6 | 1,3 | 0 | 0,7 | 0,8 | 1,1 | 0 | 2,4 | 1,6 | 0,31 | 0,2 | 0,02 | 0,03 | 0,3 | C35-38 |
| OS | 9 | 0 | 0 | 0 | 0 | 0 | 0 | 0 | 0,5 | 0 | 1,3 | 0,7 | 0,7 | 2,5 | 0 | 0 | 0 | 1,6 | 0,76 | 0,6 | 0,05 | 0,08 | 0,8 | C40-41 |
| Mélanome de la peau | 27 | 0 | 0,5 | 0 | 0 | 0 | 0 | 0 | 0 | 1,8 | 0,6 | 1,4 | 0,7 | 0,8 | 3,3 | 10,3 | 2,4 | 14,5 | 1,21 | 0,9 | 0,03 | 0,03 | 0,3 | C43 |
| Peau autres | 4 | 0 | 0 | 0 | 0 | 0 | 0 | 0 | 0 | 0 | 0 | 0 | 0,7 | 0 | 2,1 | 2,1 | 4,8 | 0 | 0,18 | 0,1 | 0,01 | 0,04 | 0,2 | C44 |
| Mélanome | 7 | 0 | 0 | 0 | 0 | 0 | 0 | 0 | 0 | 0 | 0 | 0 | 0 | 0 | 2,2 | 2,1 | 2,4 | 4,8 | 0,31 | 0,2 | 0,01 | 0,04 | 0,2 | C45 |
| Sarcome de Kaposi | 22 | 0 | 0 | 0,6 | 0,6 | 0,6 | 0,5 | 0,5 | 0,5 | 0,6 | 1,9 | 0,7 | 1,4 | 0,8 | 4,5 | 4,1 | 2,4 | 1,6 | 0,99 | 0,7 | 0,07 | 0,1 | 1 | C47-C49 |
| Tissus mous | 1205 | 0 | 0 | 0 | 0 | 0 | 2,1 | 5,9 | 27 | 60,8 | 96,4 | 124,5 | 120,8 | 147,8 | 164,8 | 187,6 | 107,7 | 98,4 | 53,96 | 39,8 | 3,75 | 5,23 | 47,5 | C50 |
| Sein | 14 | 0 | 0 | 0 | 0 | 0 | 0,5 | 0 | 0,6 | 0,6 | 0,6 | 0 | 0,7 | 0,8 | 2,2 | 0 | 2,4 | 9,7 | 0,63 | 0,5 | 0,03 | 0,04 | 0,5 | C51 |
| Vagin | 2 | 0 | 0 | 0 | 0 | 0 | 0 | 0 | 0 | 0,6 | 0 | 0 | 0 | 0 | 1,1 | 0 | 0 | 0 | 0,09 | 0,1 | 0,01 | 0,01 | 0,1 | C52 |
| Col de l'utérus | 227 | 0 | 0 | 0 | 0 | 0 | 0 | 0,5 | 3,2 | 5,3 | 15,6 | 10,9 | 22,4 | 34,2 | 42,3 | 39,2 | 26,3 | 45,2 | 10,16 | 7,5 | 0,67 | 1 | 8,9 | C53 |
| Corps de l'utérus | 77 | 0 | 0 | 0 | 0 | 0 | 0 | 0 | 0 | 0 | 2,5 | 2,7 | 8,1 | 11,7 | 18,9 | 24,7 | 14,4 | 12,9 | 3,45 | 2,5 | 0,22 | 0,42 | 3,2 | C54 |
| Utérus non spécifique | 35 | 0 | 0 | 0 | 0 | 0 | 0 | 0 | 0 | 1,2 | 1,3 | 0,7 | 2 | 5,8 | 11,1 | 10,3 | 4,8 | 4,8 | 1,57 | 1,2 | 0,11 | 0,19 | 1,5 | C55 |
| Ovaire | 118 | 0 | 0 | 0,6 | 0,6 | 0 | 1,1 | 2,1 | 1,6 | 3,5 | 7,5 | 6,8 | 10,2 | 20,9 | 15,6 | 16,5 | 19,1 | 14,5 | 5,28 | 3,9 | 0,35 | 0,53 | 4,7 | C56 |
| Autres organes génitaux féminins | 3 | 0 | 0 | 0 | 0 | 0 | 0 | 0 | 0 | 0 | 0,6 | 0,6 | 0 | 0 | 0 | 0 | 0 | 0 | 0 | 0 | 0 | 0 | 0 | C57 |
| Pancréas | 20 | 0 | 3,5 | 0,6 | 0 | 0 | 0 | 0 | 0,5 | 0 | 0,6 | 0 | 0,7 | 2,5 | 3,3 | 2,1 | 0 | 3,2 | 0,9 | 0,7 | 0,06 | 0,07 | 1 | C58 |
| Rein | 0 | 0 | 0 | 0 | 0 | 0 | 0 | 0 | 0 | 0 | 0 | 0 | 0 | 0 | 0 | 0 | 0 | 0 | 0,04 | 0 | 0 | 0 | 0 | C59 |
| Bassin et du rein | 1 | 0 | 0 | 0 | 0 | 0 | 0 | 0 | 0 | 0 | 0 | 0 | 0 | 0 | 1,1 | 0 | 0 | 0 | 0 | 0 | 0 | 0 | 0 | C60 |
| Uretere | 15 | 0 | 0 | 0 | 0 | 0 | 0 | 0 | 0 | 0 | 0,6 | 0,7 | 0,7 | 1,7 | 2,2 | 0 | 4,8 | 9,7 | 0,67 | 0,5 | 0,03 | 0,05 | 0,6 | C66 |
| Vessie | 0 | 0 | 0 | 0 | 0 | 0 | 0 | 0 | 0 | 0 | 0 | 0 | 0 | 0 | 0 | 0 | 0 | 0 | 0 | 0 | 0 | 0 | 0 | C67 |
| Autres organes urinaires | 7 | 0 | 3 | 0 | 0 | 0 | 0 | 0 | 0 | 0 | 0 | 0 | 0 | 0 | 0 | 2,1 | 0 | 0 | 0,31 | 0,2 | 0,01 | 0,03 | 0,4 | C68 |
| Œil | 41 | 0 | 0 | 1,2 | 2,5 | 0 | 1,6 | 0 | 1,6 | 1,2 | 1,9 | 2,1 | 1,4 | 8,3 | 2,2 | 8,2 | 0 | 4,8 | 0,31 | 1,4 | 0,01 | 0,16 | 1,7 | C70-72 |
| Cerveau, système nerveux | 325 | 0 | 0 | 0 | 1,3 | 0 | 4,8 | 10,2 | 11,9 | 29,8 | 16,3 | 31,5 | 25,8 | 39,2 | 34,5 | 33 | 26,3 | 11,3 | 14,55 | 10,7 | 1,03 | 1,32 | 12,7 | C73 |
| Thyroïde | 5 | 0 | 0 | 0 | 0 | 0 | 0 | 0 | 0 | 0 | 0 | 0 | 0 | 0 | 0 | 0 | 2,4 | 0 | 0,22 | 0,2 | 0,01 | 0,02 | 0,3 | C74 |
| Grande surrénale | 4 | 0 | 0,5 | 0 | 0 | 0 | 0 | 0 | 0 | 0,6 | 0 | 0 | 0 | 0,8 | 0 | 0 | 0 | 1,6 | 0,18 | 0,1 | 0,01 | 0,01 | 0,2 | C75 |
| Autres glandes endocrines | 36 | 0 | 0 | 1,2 | 1,3 | 1,3 | 4,3 | 2,7 | 0,5 | 1,8 | 1,3 | 1,4 | 0,7 | 1,7 | 3,3 | 2,1 | 2,4 | 1,6 | 1,61 | 1,2 | 0,11 | 0,13 | 1,6 | C81 |
| Maladie de Hodgkin | 72 | 0 | 0 | 0 | 0 | 0 | 0,5 | 0 | 2,2 | 2,9 | 5 | 5,5 | 2,7 | 3,3 | 10 | 22,7 | 9,6 | 22,6 | 3,22 | 2,4 | 0,16 | 0,32 | 3 | C82-85 |
| Lymphome Non-Hodgkinien | 0 | 0 | 0 | 0 | 0 | 0 | 0 | 0 | 0 | 0 | 0 | 0 | 0 | 0 | 0 | 0 | 0 | 0 | 0 | 0 | 0 | 0 | 0 | C86 |
| Maladies immunoprolifératives | 41 | 0 | 0 | 0 | 0 | 0 | 0 | 0 | 0 | 0 | 0,6 | 1,4 | 2 | 8,3 | 3,3 | 10,3 | 14,4 | 9,7 | 1,84 | 1,4 | 0,09 | 0,22 | 1,6 | C88 |
| Mélanome Multiple | 21 | 0 | 0,5 | 1,2 | 0,6 | 0,6 | 0,5 | 0,5 | 0,5 | 0 | 0 | 0,7 | 0 | 3,3 | 0 | 6,2 | 4,8 | 4,8 | 0,94 | 0,7 | 0,04 | 0,1 | 1 | C89 |
| Leucémie Lymphoïde | 36 | 0 | 0 | 1,2 | 0 | 1,3 | 0,5 | 0,5 | 1,6 | 1,8 | 1,9 | 3,4 | 0,7 | 3,3 | 6,7 | 0 | 9,6 | 1,6 | 1,61 | 1,2 | 0,11 | 0,16 | 1,5 | C92-94 |
| Leucémie Myéloïde | 1 | 0 | 0 | 0 | 0 | 0 | 0 | 0 | 0 | 0 | 0 | 0 | 0 | 0 | 0 | 0 | 0 | 0 | 0,04 | 0 | 0 | 0 | 0 | C95 |
| Leucémies non spécifiques | 2 | 0 | 0 | 0 | 0 | 0 | 0 | 0 | 0 | 0 | 0 | 0 | 0 | 0,8 | 0 | 2,1 | 0 | 0 | 0,09 | 0,1 | 0,01 | 0,01 | 0,1 | MDS |
| Syndromes Myéloprolifératifs | 23 | 0 | 0 | 0 | 0 | 0 | 1,1 | 0 | 0,5 | 0,6 | 1,3 | 0,7 | 2 | 0,8 | 4,5 | 6,2 | 2,4 | 6,5 | 1,03 | 0,8 | 0,06 | 0,1 | 0,9 | MDS |
| Autres non spécifiques | 60 | 0 | 1,5 | 0 | 0,6 | 0 | 1,1 | 0,5 | 1,1 | 0,6 | 2,5 | 3,4 | 2,7 | 9,2 | 11,1 | 6,2 | 9,6 | 17,8 | 2,69 | 2 | 0,17 | 0,25 | 2,4 | ORU |
| Toutes les localisations | 3052 | 0 | 12,5 | 6,4 | 9,5 | 3,8 | 18,6 | 33,8 | 64,9 | 129,1 | 176,5 | 229,9 | 257,9 | 392,4 | 448,8 | 536,1 | 373,4 | 434,1 | 136,66 | 100,9 | 8,92 | 13,47 | 122,3 | ALL |
| Toutes les localisations | | | | | | | | | | | | | | | | | | | | | | | | |

Tableau 69 : Nombre de cas incidents, incidences brutes, incidences spécifiques, incidences cumulées et taux d'incidences standardisées selon la localisation du cancer chez les hommes en 2017.RCCG

| SITE | Tout âge | Age inconnu | 0-4 | 5-9 | 10-14 | 15-19 | 20-24 | 25-29 | 30-34 | 35-39 | 40-44 | 45-49 | 50-54 | 55-59 | 60-64 | 65-69 | 70-74 | 75+ | TIB | (%) | CUM 0-64 | CUM 0-74 | TIS | CIM10 |
|------------------------------------|----------|-------------|------|-----|-------|-------|-------|-------|-------|-------|-------|-------|-------|-------|-------|-------|-------|-------|-------|-------|----------|----------|------|------------|
| Levre | 8 | 0 | 0 | 0 | 0 | 0 | 0 | 0 | 0 | 0 | 0 | 0 | 1,5 | 0,8 | 5,2 | 0 | 0 | 0 | 0,36 | 0,4 | 0,04 | 0,04 | 0,5 | C00 |
| Langue | 12 | 0 | 0 | 0 | 0 | 0 | 0 | 0 | 0 | 0 | 0,6 | 0 | 0,7 | 3,3 | 0 | 0 | 12,2 | 4,4 | 0,55 | 0,6 | 0,02 | 0,08 | 0,3 | C01-02 |
| Cavité buccale | 5 | 0 | 0 | 0 | 0 | 0 | 0 | 0 | 0 | 0 | 0 | 0,7 | 1,5 | 0,8 | 0 | 0 | 0 | 2,2 | 0,23 | 0,2 | 0,02 | 0,2 | 0,2 | C03-06 |
| Glandes salivaires | 5 | 0 | 0 | 0 | 0 | 0 | 0 | 0 | 0 | 0 | 0 | 0 | 0 | 0 | 0 | 0 | 0 | 0 | 0,23 | 0,2 | 0,02 | 0,03 | 0,2 | C07-08 |
| Amygdales | 2 | 0 | 0 | 0 | 0 | 0 | 0 | 0 | 0 | 0 | 0 | 0,7 | 0 | 0 | 0 | 2,1 | 0 | 0 | 0,09 | 0,1 | 0 | 0,01 | 0,1 | C09 |
| Oropharynx | 2 | 0 | 0 | 0 | 0 | 0 | 0 | 0,5 | 0 | 0 | 0 | 0 | 0 | 0 | 1 | 0 | 0 | 0 | 0,09 | 0,1 | 0,01 | 0,1 | 0,1 | C10 |
| Naso-pharynx (carum) | 36 | 0 | 0 | 0 | 1,2 | 1,2 | 1,1 | 0 | 1,1 | 0,6 | 3,2 | 2,2 | 2,9 | 5,9 | 0 | 10,6 | 6,1 | 2,2 | 1,64 | 1,8 | 0,1 | 0,18 | 1,6 | C11 |
| Hypo-pharynx | 3 | 0 | 0 | 0 | 0 | 0 | 0 | 0 | 0 | 0 | 0,6 | 0 | 0 | 0,8 | 0 | 2,1 | 0 | 0 | 0,14 | 0,1 | 0,01 | 0,02 | 0,1 | C12-13 |
| Pharynx non spécifique | 1 | 0 | 0 | 0 | 0 | 0 | 0 | 0 | 0 | 0 | 0 | 0 | 0 | 0 | 0 | 0 | 0 | 0 | 0,05 | 0 | 0 | 0 | 0 | C14 |
| Œsophage | 16 | 0 | 0 | 0 | 0 | 0 | 0 | 0 | 0 | 0,6 | 0 | 0 | 0,7 | 2,5 | 2,1 | 6,4 | 6,1 | 8,7 | 0,73 | 0,8 | 0,03 | 0,09 | 0,7 | C15 |
| Estomac | 87 | 0 | 0 | 0 | 0 | 0 | 0,5 | 0 | 0 | 1,2 | 1,3 | 5,1 | 8,1 | 16,7 | 10,5 | 21,2 | 39,6 | 24 | 3,96 | 4,3 | 0,22 | 0,52 | 3,9 | C16 |
| Intestin grêle | 8 | 0 | 0 | 0 | 0 | 0 | 0 | 0 | 0 | 0,6 | 0,6 | 0 | 0,7 | 0 | 0 | 2,1 | 12,2 | 0 | 0,36 | 0,4 | 0,01 | 0,08 | 0,4 | C17 |
| Colon | 102 | 0 | 0 | 0 | 0 | 0 | 0 | 0 | 1,1 | 1,2 | 5,1 | 3,7 | 5,1 | 9,2 | 15,7 | 35 | 33,5 | 28,4 | 4,64 | 5 | 0,21 | 0,65 | 4,9 | C18 |
| Rectum | 96 | 0 | 0 | 0 | 0 | 0 | 0 | 0 | 0,5 | 2,4 | 5,8 | 5,1 | 5,1 | 11,7 | 15,7 | 29,6 | 33,5 | 30,6 | 4,37 | 4,7 | 0,23 | 0,55 | 4,4 | C19-20 |
| Anus | 7 | 0 | 0 | 0 | 0 | 0 | 0 | 0 | 0,5 | 0 | 0 | 0 | 1,5 | 0,8 | 1 | 0 | 6,1 | 0 | 0,32 | 0,3 | 0,02 | 0,05 | 0,3 | C21 |
| Foie | 37 | 0 | 0 | 0,6 | 0 | 0 | 0 | 0 | 0,5 | 1,2 | 0 | 0 | 1,5 | 5,9 | 3,1 | 8,5 | 6,1 | 32,8 | 1,68 | 1,8 | 0,06 | 0,14 | 1,6 | C22 |
| Vésicule biliaire | 16 | 0 | 0 | 0 | 0 | 0 | 0 | 0 | 0 | 0 | 0,6 | 1,5 | 2,2 | 1,7 | 1 | 4,2 | 3 | 8,7 | 0,73 | 0,8 | 0,04 | 0,07 | 0,7 | C23-24 |
| Pancreas | 69 | 0 | 0 | 0 | 0 | 0 | 0 | 0 | 0 | 0 | 0 | 2,9 | 8,1 | 12,6 | 10,5 | 23,3 | 24,3 | 15,3 | 3,14 | 3,4 | 0,42 | 0,42 | 3,1 | C25 |
| Nez sinus | 8 | 0 | 0 | 0 | 0 | 0 | 0 | 0 | 0 | 0 | 0 | 0 | 0,7 | 0,8 | 0 | 0 | 6,1 | 2,2 | 0,36 | 0,4 | 0,01 | 0,06 | 0,4 | C30-31 |
| Larynx | 53 | 0 | 0 | 0 | 0 | 0 | 0 | 0 | 0 | 0 | 0,6 | 1,5 | 3,7 | 12,6 | 11,5 | 12,7 | 21,3 | 13,1 | 2,41 | 2,6 | 0,15 | 0,32 | 2,3 | C32 |
| Trachée, bronches et poumon | 529 | 0 | 0 | 0 | 0 | 0 | 0,5 | 0 | 2,2 | 6,7 | 4,5 | 24,1 | 52,2 | 82,1 | 96,2 | 220,2 | 164,4 | 118 | 24,06 | 25,9 | 1,34 | 3,26 | 24,3 | C33-34 |
| Autres organes thoraciques | 18 | 0 | 1,4 | 0 | 0 | 0 | 0 | 0 | 0 | 0 | 0,7 | 0,7 | 1,7 | 1,7 | 1 | 8,5 | 0 | 12,2 | 0,82 | 0,9 | 0,03 | 0,13 | 0,9 | C37-38 |
| OS | 21 | 0 | 0 | 0,6 | 1,2 | 3,1 | 1,6 | 0,5 | 0 | 0,6 | 0,6 | 0,7 | 0 | 3,3 | 1 | 0 | 2,2 | 0 | 0,96 | 1 | 0,07 | 0,07 | 1 | C40-41 |
| Mélanome de la peau | 3 | 0 | 0 | 0 | 0 | 0 | 0 | 0 | 0 | 0 | 0 | 0 | 0 | 0,8 | 0 | 0 | 0 | 4,4 | 0,14 | 0,1 | 0 | 0,1 | 0 | C43 |
| Peau autres | 33 | 0 | 0 | 0 | 0 | 0 | 0,5 | 0 | 0 | 0 | 0,6 | 0 | 0 | 0 | 0 | 1,5 | 10,6 | 9,1 | 2,2 | 2,5 | 0,07 | 0,17 | 1,5 | C44 |
| Mésothéliome | 3 | 0 | 0 | 0 | 0 | 0 | 0 | 0 | 0 | 0 | 0 | 0 | 0 | 0 | 0 | 0 | 0 | 0 | 0,23 | 0,2 | 0,02 | 0,04 | 0,2 | C45 |
| Sarcome de Kaposi | 6 | 0 | 0 | 0 | 0 | 0 | 0 | 0 | 0 | 0 | 0 | 0 | 0 | 0,8 | 0 | 0 | 4,2 | 0 | 0,27 | 0,3 | 0,03 | 0,03 | 0,1 | C46 |
| Tissus mous | 24 | 0 | 0 | 0 | 0,6 | 0 | 1,1 | 0,5 | 1,1 | 0,6 | 1,3 | 2,2 | 0,7 | 1,7 | 2,1 | 0 | 4,2 | 9,1 | 1,09 | 1,2 | 0,04 | 0,11 | 1,1 | C47-C49 |
| Sein | 15 | 0 | 0 | 0 | 0 | 0 | 0 | 0 | 1,1 | 0,6 | 1,3 | 2,2 | 0,7 | 1,7 | 2,1 | 0 | 0 | 4,4 | 0,68 | 0,7 | 0,05 | 0,05 | 0,6 | C50 |
| Prostate | 286 | 0 | 0 | 0 | 0 | 0 | 0 | 0 | 0 | 0 | 0,6 | 0 | 2,9 | 19,3 | 35,6 | 120,7 | 155,2 | 253,5 | 13,01 | 14 | 0,29 | 1,67 | 14,2 | C61 |
| Testicules | 19 | 0 | 0 | 0 | 0 | 1,2 | 2,2 | 0,5 | 3,8 | 1,2 | 0,6 | 0,7 | 0 | 0,8 | 0 | 0 | 0 | 0 | 0,86 | 0,9 | 0,06 | 0,06 | 0,8 | C62 |
| Autres organes génitaux masculins | 30 | 0 | 2,9 | 0,6 | 0 | 0 | 0,5 | 0 | 0 | 0,6 | 1,9 | 1,5 | 1,5 | 3,3 | 1 | 4,2 | 12,2 | 6,6 | 1,36 | 1,5 | 0,07 | 0,15 | 1,4 | C64 |
| Rein | 0 | 0 | 0 | 0 | 0 | 0 | 0 | 0 | 0 | 0 | 0 | 0 | 0 | 0 | 0 | 0 | 0 | 0 | 0 | 0 | 0 | 0 | 0 | C65 |
| Bassinnet du rein | 2 | 0 | 0 | 0 | 0 | 0 | 0 | 0 | 0 | 0 | 0 | 0 | 0 | 0 | 0 | 0 | 0 | 0 | 0,09 | 0,1 | 0 | 0 | 0 | C66 |
| Urètre | 0 | 0 | 0 | 0 | 0 | 0 | 0 | 0 | 0 | 0 | 0 | 0 | 0 | 0 | 0 | 0 | 0 | 0 | 0 | 0 | 0 | 0 | 0 | C67 |
| Vésie | 102 | 0 | 0 | 0 | 0 | 0 | 0 | 0 | 0 | 0,6 | 0,6 | 1,5 | 6,6 | 15,1 | 26,1 | 44,5 | 36,5 | 28,4 | 4,64 | 5 | 0,25 | 0,66 | 4,8 | C67 |
| Autres organes urinaires | 0 | 0 | 0 | 0 | 0 | 0 | 0 | 0 | 0 | 0 | 0 | 0 | 0 | 0 | 0 | 0 | 0 | 0 | 0 | 0 | 0 | 0 | 0 | C68 |
| Œil | 6 | 0 | 1,4 | 0 | 0 | 0,6 | 0 | 0 | 0,5 | 0 | 0 | 0 | 0 | 0 | 0 | 0 | 2,1 | 0 | 0,27 | 0,3 | 0,01 | 0,02 | 0,3 | C69 |
| Cerveau, système nerveux | 48 | 0 | 2,4 | 3,4 | 0,6 | 1,2 | 0 | 0,5 | 2,2 | 0,6 | 1,9 | 1,5 | 1,5 | 1,7 | 9,4 | 10,6 | 6,1 | 6,6 | 2,18 | 2,3 | 0,13 | 0,22 | 2,3 | C70-72 |
| Thyroïde | 51 | 0 | 0 | 0 | 0 | 0 | 0 | 0 | 1,1 | 1,8 | 4,5 | 4,4 | 4,4 | 7,5 | 8,4 | 12,7 | 3 | 6,6 | 2,32 | 2,5 | 0,16 | 0,24 | 2,1 | C73 |
| Glande surrénale | 7 | 0 | 2,9 | 0 | 0 | 0 | 0 | 0 | 0 | 0 | 0 | 0 | 0 | 0 | 0 | 2,1 | 0 | 0 | 0,32 | 0,3 | 0,01 | 0,02 | 0,4 | C74 |
| Autres glandes endocrines | 4 | 0 | 0 | 0,6 | 0 | 0 | 0 | 0,5 | 0 | 0 | 0,6 | 0 | 0 | 0 | 1 | 0 | 0 | 0 | 0,18 | 0,2 | 0,01 | 0,01 | 0,2 | C75 |
| Maladie de Hodgkin | 32 | 0 | 0 | 0 | 1,8 | 2,5 | 0,5 | 0,5 | 1,6 | 1,3 | 0,7 | 2,2 | 1,7 | 2,1 | 8,5 | 0 | 6,6 | 0 | 1,46 | 1,6 | 0,08 | 0,13 | 1,4 | C81 |
| Lymphome Non-Hodgkinien | 87 | 0 | 1 | 0 | 0,6 | 0 | 1,1 | 1,1 | 1,1 | 3 | 0,6 | 4,4 | 6,7 | 19,9 | 27,5 | 0 | 27,4 | 24 | 3,96 | 4,3 | 0,22 | 0,49 | 4 | C82-85,C96 |
| Maladies Immunoprolifératives | 1 | 0 | 0 | 0 | 0 | 0 | 0 | 0 | 0 | 0 | 0 | 0 | 0 | 0 | 0 | 0 | 0 | 0 | 0,05 | 0 | 0 | 0,02 | 0,1 | C88 |
| Myélome Multiple | 37 | 0 | 0 | 0 | 0 | 0 | 0 | 0 | 0,5 | 1,8 | 0 | 4,4 | 2,9 | 4,2 | 1 | 14,8 | 12,2 | 13,1 | 1,68 | 1,8 | 0,07 | 0,21 | 1,7 | C90 |
| Leucémie Lymphoïde | 25 | 0 | 1 | 0,6 | 1,2 | 2,5 | 0,5 | 1,1 | 0 | 0,6 | 0 | 1,5 | 1,7 | 1 | 6,4 | 4,4 | 4,4 | 4,4 | 1,14 | 1,2 | 0,06 | 0,12 | 1,3 | C91 |
| Leucémie Myéloïde | 38 | 0 | 3,3 | 1,7 | 0,6 | 0,6 | 1,1 | 1,1 | 2,7 | 0,6 | 0,6 | 2,2 | 2,2 | 0,8 | 3,1 | 4,2 | 3 | 4,4 | 1,73 | 1,9 | 0,14 | 0,14 | 1,8 | C92-94 |
| Leucémies non spécifiques | 2 | 0 | 0 | 0 | 0 | 0 | 0 | 0 | 0 | 0 | 0 | 0 | 0 | 0 | 0 | 0 | 0 | 0 | 0,09 | 0,1 | 0 | 0 | 0 | C95 |
| Syndromes Myéloprolifératifs | 2 | 0 | 0 | 0 | 0 | 0 | 0 | 0 | 0 | 0 | 0 | 0 | 0,7 | 1,5 | 0,8 | 0 | 0 | 0 | 0,09 | 0,1 | 0,01 | 0,01 | 0,1 | MPD |
| Syndromes Myéloplasmatiques | 8 | 0 | 0 | 0 | 0 | 0 | 0,6 | 0,5 | 0 | 0 | 0 | 0 | 0 | 0 | 1 | 0 | 0 | 0 | 0,36 | 0,4 | 0,02 | 0,02 | 0,3 | MDS |
| Toutes les localisations | 62 | 0 | 0,5 | 0 | 0 | 0 | 0 | 0,5 | 0,5 | 0,6 | 0,6 | 2,2 | 4,4 | 10,9 | 9,4 | 19,1 | 18,3 | 24 | 2,82 | 3 | 0,15 | 0,34 | 2,8 | O&U |
| Toutes les localisations | 2078 | 0 | 16,6 | 7,3 | 8,4 | 14,9 | 12,1 | 8,7 | 23 | 32,3 | 40,3 | 76,7 | 137,4 | 254,6 | 312,7 | 713,4 | 694 | 734,4 | 94,52 | 101,6 | 4,72 | 11,76 | 96,4 | ALL |
| Toutes les localisations sans peau | 2045 | 0 | 16,6 | 7,3 | 8,4 | 14,9 | 11,5 | 8,7 | 23 | 31,7 | 40,3 | 75,2 | 135,2 | 252,1 | 305,3 | 702,8 | 684,8 | 716,9 | 93,02 | 100 | 4,65 | 11,59 | 94,8 | ALLBC4 |

Conclusion

L'analyse des données, portant sur les nouveaux cas de cancer enregistrés entre 2013 et 2017 au sein de la population du Grand Casablanca, a pu objectiver certaines tendances pour quelques localisations cancéreuses. Ainsi l'incidence du cancer du sein, qui occupait le premier rang parmi les cancers de la femme, ne cesse pas d'augmenter atteignant une incidence de 51,2 pour 100000 femmes. De même pour le cancer de la thyroïde qui a gagné de la place au dépend du cancer du col de l'utérus surtout chez le sexe féminin. En effet le nombre enregistré de nouveaux cas de cancer de la thyroïde durant cette période s'est traduit par une incidence s'élevant à 15,2 pour 100000 femmes. Cette augmentation pourrait s'expliquer par une meilleure accessibilité aux moyens de diagnostic entraînant un surdiagnostic et une anticipation dans le diagnostic de cette localisation de cancer. Ainsi, dans presque 89 % des cas, le cancer de la thyroïde était diagnostiqué à un stade I.

Plus de dix ans après la mise en œuvre du programme national de détection précoce du cancer du col de l'utérus et l'impact des campagnes de communication autour des cancers en général et des cancers de la femmes en particulier, à savoir le cancer du sein et du col de l'utérus, ce dernier a connu une baisse en termes d'incidence brute qui est actuellement de l'ordre de 10,9 pour 100000 femmes.

Les autres types de cancers, notamment les plus fréquents à savoir le cancer du poumon, le colo-rectum, la prostate et les hémopathies malignes représentées essentiellement par le lymphome malin non Hodgkinien constituent encore un problème de santé publique dans notre pays. Raison pour laquelle ces localisations continueront à occuper une place importante dans les différents stratégies du deuxième plan national de prévention et du control du cancer.

Tableau 70 : population du Grand Casablanca pour la période 2013-2017 selon le sexe.

| | 2013 | | 2014 | | 2015 | | 2016 | | 2017 | |
|----------------|---------|---------|---------|---------|---------|---------|---------|---------|---------|---------|
| | hommes | femmes | hommes | femmes | hommes | femmes | hommes | femmes | hommes | femmes |
| 0-4 ans | 193178 | 183874 | 197590 | 187465 | 202104 | 191092 | 206720 | 194754 | 211441 | 198452 |
| 5-9 ans | 170668 | 163990 | 172691 | 165612 | 174738 | 167231 | 176810 | 168849 | 178905 | 170464 |
| 10-14 ans | 164610 | 158604 | 164971 | 158415 | 165333 | 158225 | 165696 | 158037 | 166059 | 157850 |
| 15-19 ans | 162565 | 161346 | 162241 | 160666 | 161917 | 159985 | 161593 | 159302 | 161270 | 158617 |
| 20-24 ans | 180987 | 186013 | 181314 | 186429 | 181642 | 186846 | 181970 | 187267 | 182299 | 187691 |
| 25-29 ans | 176519 | 181312 | 178247 | 182541 | 179993 | 183782 | 181756 | 185037 | 183536 | 186305 |
| 30-34 ans | 172634 | 176793 | 175104 | 178644 | 177610 | 180517 | 180152 | 182412 | 182731 | 184331 |
| 35-39 ans | 154378 | 162666 | 156877 | 164646 | 159417 | 166645 | 161998 | 168662 | 164620 | 170698 |
| 40-44 ans | 147816 | 153091 | 149972 | 154493 | 152160 | 155921 | 154380 | 157376 | 156633 | 158860 |
| 45-49 ans | 129097 | 134845 | 131106 | 137380 | 133146 | 140001 | 135217 | 142710 | 137321 | 145513 |
| 50-54 ans | 121909 | 123627 | 125625 | 127759 | 129454 | 132097 | 133400 | 136649 | 137466 | 141421 |
| 55-59 ans | 95819 | 94080 | 102145 | 98796 | 108888 | 103656 | 116077 | 108662 | 123740 | 113818 |
| 60-64 ans | 75997 | 72796 | 81266 | 75010 | 86901 | 77274 | 92926 | 79591 | 99369 | 81972 |
| 65-69 ans | 41219 | 44191 | 42803 | 45160 | 44447 | 46249 | 46155 | 47510 | 47928 | 48998 |
| 70-74 ans | 30684 | 41044 | 31242 | 46113 | 31810 | 53385 | 32389 | 62993 | 32978 | 75075 |
| 75 ans et plus | 40917 | 239932 | 42180 | 344267 | 43482 | 454792 | 44824 | 571926 | 46207 | 696115 |
| Total | 2058996 | 2278205 | 2095374 | 2413395 | 2133041 | 2557699 | 2172062 | 2711739 | 2212504 | 2876180 |

Références

1. Haut commissariat au plan. Annuaire statistique de la région du grand Casablanca 2011 [Internet]. [cité 7 janv 2021]. Disponible sur: https://www.hcp.ma/downloads/Annuaire-statistiques-regionaux_t11956.html
2. OM J, DM P, R M, CS M, RG S. Enregistrement des Cancers : Principes et Méthodes [Internet]. [cité 7 janv 2021]. Disponible sur: <https://publications.iarc.fr/Book-And-Report-Series/Iarc-Scientific-Publications/Enregistrement-Des-Cancers-Principes-Et-M%C3%A9thodes-1996>
3. Parkin DM. IARC Publications Website - Home [Internet]. [cité 23 déc 2021]. Disponible sur: <https://publications.iarc.fr/>

